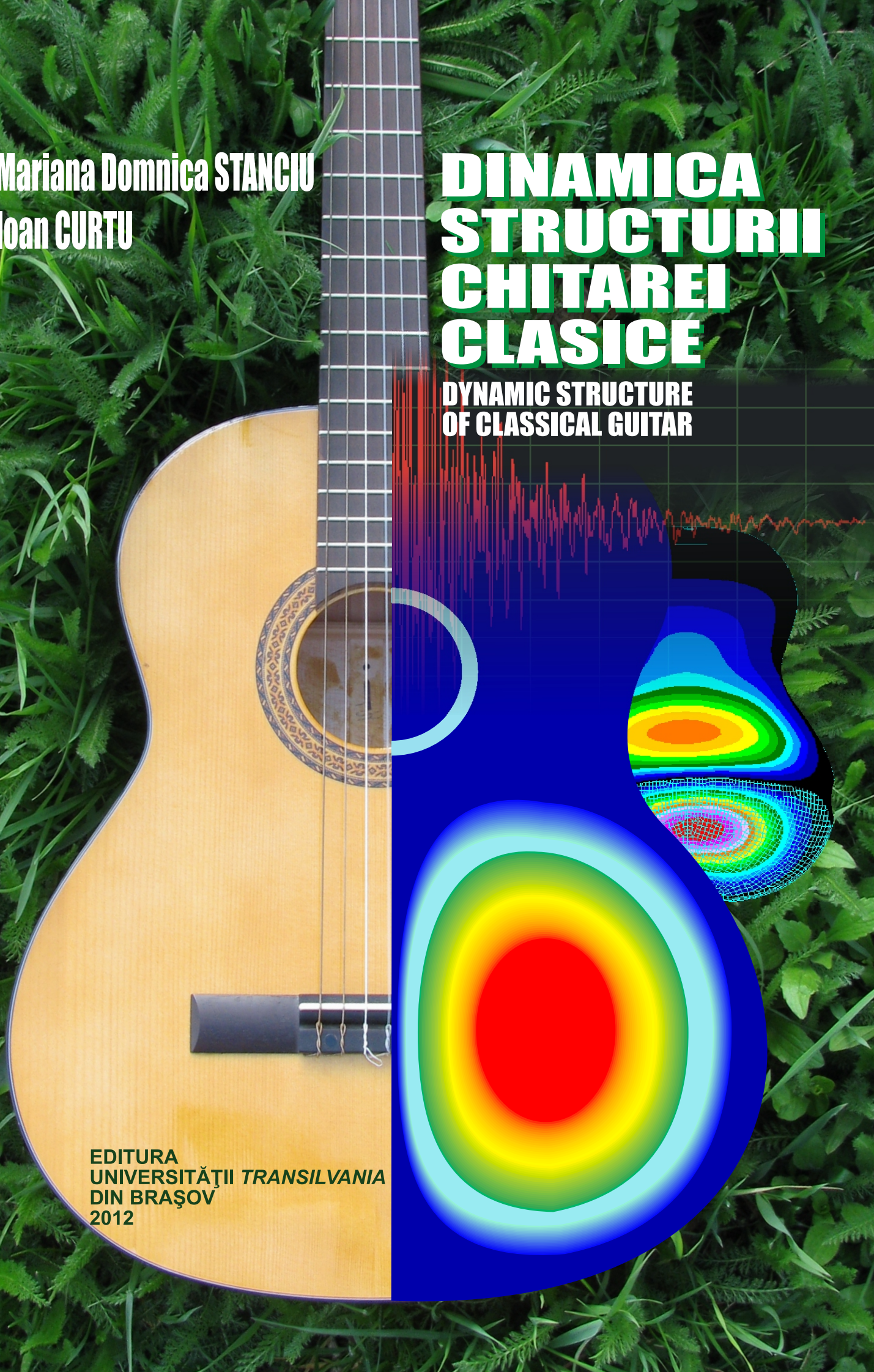


**Mariana Domnica STANCIU**  
**Ioan CURTU**

# **DINAMICA STRUCTURII CHITAREI CLASICE**

**DYNAMIC STRUCTURE  
OF CLASSICAL GUITAR**

**EDITURA  
UNIVERSITĂȚII TRANSILVANIA  
DIN BRAȘOV  
2012**





# Prefață

Arhitectura sunetelor emise de chitara clasică este determinată de îmbinarea organică dintre ingineria și tehnologia obținerii instrumentului muzical. Cartea de față investighează tocmai fundamentele structurii care generează, prin măiestria interpretului, emoțiile muzicale ale auditoriului, respectiv aspectele teoretice și experimentale ale comportării mecanice, elastice și dinamice ale plăcilor din componența corpurilor de chitară într-o zonă de graniță interdisciplinară a ingineriei mecanice. Subiectul cărții se dezvoltă plecând de la problemele legate de criteriile de calitate pe care trebuie să le îndeplinească chitara, fără a aprofunda problematicile muzicale și sonore ale instrumentului.

Astfel, este prezentată chitara clasică din punct de vedere al structurii, sistemului funcțional, al evoluției istorice cu toate aspectele implicate - componente ale chitarei clasice, formele, dimensiunile, materialele, tipurile de chitare, sistemul funcțional și istoricul evoluției chitarelor. În cadrul cercetărilor științifice teoretice (analitice, numerice - FEM) și experimentale a fost analizată influența diferiților factori (specia lemnoasă – densitate, modul de elasticitate, lemn masiv, lemn stratificat, grosime, dimensiuni, geometrie, forma, dimensiunile și dispunerea barelor de rigidizare) asupra comportării statice și dinamice a structurilor din plăci – chitara în ansamblul ei (frecvențe proprii, frecvențe de rezonanță, modurile proprii de vibrații, coeficient de amortizare etc.).

Noutatea cărții constă în: *tematica și obiectul investigațiilor teoretice și experimentale* - la noi în țară nemaexistând o astfel de abordare, atât din punct de vedere al obiectului de studiu, *studierea comparativă* a structurilor din plăci de chitară cu sisteme de nervurații diferite, cât și studiarea structurilor cu grade diferite de complexitate. Considerăm că această carte se constituie într-o bogată bază de date.

Dorim să mulțumim în mod deosebit echipei tehnice a fabricii de instrumente muzicale S.C. Hora S.A. Reghin, reprezentată de domnul director ing. Nicolae BÂZGAN și directorul tehnic ing. Dorin MAN, precum și colegilor asist. univ. Călin ITU pentru ajutorul oferit în modelările cu FEM și domnului conf. univ. dr. fiz. Nicolae Constantin CREȚU pentru echipamentele și aparatele puse la dispoziție, pentru îndrumările științifice din domeniul fizicii. Aceleași gânduri bune și gratitudine pentru profesorii și colegii de la Facultatea de Ingineria Lemnului, care au răspuns cu solitudine tuturor întrebărilor și provocărilor cercetării.

\*

Cartea are la bază teza de doctorat intitulată *Cercetări privind optimizarea formei și structurii plăcilor compozite lignocelulozice supuse la solicitări ciclice, cu aplicații la instrumente muzicale – chitara clasică*, finalizată în anul 2009 de ing. Mariana Domnica STANCIU.



# CUPRINS

CUPRINS.....	I
1. INTRODUCERE.....	1
2. CHITARA – STRUCTURĂ, SISTEM FUNCȚIONAL, ISTORIC.....	7
2.1. Părți componente – forme, dimensiuni, materiale.....	7
2.2. Sistem funcțional.....	11
2.3. Istoric.....	13
2.3.1. Din istoria chitarei.....	13
2.3.2. Evoluția formei constructive a chitarei.....	17
2.4. Concluzii.....	22
3. STADIUL ACTUAL AL CERCETĂRILOR TEORETICE ȘI EXPERIMENTALE PRIVIND MATERIALELE, STRUCTURA ȘI FUNCȚIONAREA CHITAREI.....	23
3.1. Materiale utilizate în construcția chitarei – studii și cercetări.....	23
3.1.1. Proprietățile lemnului de rezonanță.....	23
3.1.2. Elemente de ordin silvicultural și morfologic specifice lemnului de rezonanță.....	27
3.1.3. Condiții de recoltare, uscare și păstrare.....	28
3.2. Comportarea dinamică a plăcilor și structurilor din plăci din componența chitarei.....	30
3.3. Concluzii, comparații și probleme incomplet studiate.....	47
4. TENDIȚE ACTUALE ÎN CERCETAREA ȘTIINȚIFICĂ A CHITAREI CLASICE..	49
5. MODELAREA ANALITICĂ ȘI NUMERICĂ A STRUCTURILOR DIN PLĂCI DIN COMPONENTA CHITAREI CLASICE.....	51
5.1. Modelarea analitică a plăcilor din componența corpului de chitară.....	51
5.1.1. Considerații generale privind structurile geometrice din componența chitarei și tipurile de solicitări.....	51
5.1.2. Solicitarea statică a structurii chitarei.....	53
5.1.3. Aspecte analitice privind solicitările ciclice și dinamice ale plăcilor de chitară.....	60
5.1.3.1. Vibrațiile libere ale plăcilor dreptunghiulare.....	63
5.1.3.2. Determinarea frecvențelor proprii ale plăcilor de chitară prin metoda analitică.....	67
5.2. Modelarea analitică a corpului de chitară.....	70
5.3. Modelarea numerică a plăcilor de chitară prin metoda elementului finit.....	76



5.3.1. Analiza dinamică prin metoda elementului finit.....	77
5.3.1.1. Determinarea frecvențelor proprii și modurilor proprii ale plăcilor lignocelulozice compozite.....	81
5.3.1.2. Determinarea comportării dinamice a plăcilor la vibrații forțate.....	89
5.4. Modelarea numerică a corpului de chitară – structură din plăci lignocelulozice.....	94
5.4.1. Determinarea frecvențelor proprii și modurilor de vibrație.....	94
5.4.2. Determinarea frecvențelor de rezonanță și amplitudinilor de vibrații a structurilor din plăci prin metoda elementelor finite.....	103
5.5. Modelarea analitică a chitarei.....	106
5.6. Concluzii.....	111
5.6.1. Comparații între structuri: plăci de chitară, corpuri de chitară, chitară.....	111
5.6.2. Comparații cu datele din literatura de specialitate.....	115
5.6.3. Concluzii.....	120
6. CERCETĂRI EXPERIMENTALE PRIVIND CARACTERISTICILE MECANICE, ELASTICE ȘI ACUSTICE ALE STRUCTURILOR DIN PLĂCI DIN COMPONENTA CHITAREI CLASICE.....	121
6.1. Cercetări experimentale privind răspunsul sistemului de excitare cu ciocanul de impact.....	122
6.1.1. Metoda ciocanului de impact.....	124
6.1.2. Materiale și structuri testate.....	127
6.1.3. Determinarea decrementului logaritm pentru plăcile de chitară din diferite specii lemnoase.....	129
6.1.4. Determinarea frecvențelor proprii pentru plăci din diferite specii utilizate în structura cutiei de chitară.....	130
6.1.5. Comparații între rezultatele obținute numeric și cele experimentale..	132
6.2. Cercetări experimentale privind răspunsul plăcilor și structurilor din plăci lignocelulozice compozite la vibrații forțate.....	133
6.2.1. Metoda vibrațiilor forțate întreținute.....	134
6.2.2. Materiale și structuri testate.....	137
6.2.3. Determinarea răspunsului în domeniul timp și frecvență al structurilor	138



6.2.4. Determinarea modurilor de vibrații și analiza lor în funcție de diferiți factori de influență.....	155
6.3. Optimizarea formei și structurii plăcilor din componența chitarei.....	172
6.4. Concluzii.....	179
7. CONCLUZII ȘI DIRECȚII VIITOARE DE CERCETARE ÎN DINAMICA STRUCTURII CHITAREI CLASICE.....	181
7.1. Concluzii generale.....	181
7.1.1. Concluziile privind chitara ca structură, sistem funcțional și istoric...	181
7.1.2. Concluziile stadiului actual al cercetărilor teoretice și experimentale privind structura, funcționarea și factorii de calitate a unei chitare...	181
7.1.3. Concluziile cercetărilor teoretice privind modelarea analitică și numerică a structurilor din plăci din componența chitarei.....	182
7.1.4. Concluzii ale cercetării experimentale privind caracteristicile mecanice, elastice și acustice ale structurilor din plăci din componența chitarei clasice.....	185
7.2. Aspecte personale și originale.....	187
7.3. Elemente de noutate.....	189
7.4. Utilitatea rezultatelor cercetării.....	189
7.5. Direcții viitoare de cercetare.....	190
BIBLIOGRAFIE.....	191
LISTA FIGURILOR.....	205
LISTA TABELELOR.....	211



# Contents

Contents	I
1. INTRODUCTION .....	1
2. GUITAR – STRUCTURE, FUNCTIONAL SYSTEM, HISTORY.....	7
2.1. Parts - shapes, sizes, materials.....	7
2.2. Functional system.....	11
2.3. Historical.....	13
2.4. Conclusions.....	22
3. STATE OF ART.....	23
3.1. Materials used in construction of the guitar - Studies and Researches.....	23
3.2. Dynamic behaviour of plates and plate structures from guitar construction.....	30
3.3. Conclusions, comparison and incomplete problems studied.....	47
4. CURRENT TRENDS IN THE SCIENTIFIC RESEARCH OF CLASSICAL GUITAR.....	49
5. ANALYTICAL AND NUMERICAL MODELLING OF STRUCTURES MADE FROM GUITAR'S PLATES.....	51
5.1. Analytical modelling of classical guitar structure.....	51
5.2. Analytical modelling of guitar body.....	70
5.3. Numerical modelling of guitar plates by means of finite element method (FEM).....	76
5.4. Numerical modelling of guitar body as plates structure.....	94
5.5. Numerical modelling of classical guitar.....	106
5.6. Conclusions.....	111
6. EXPERIMENTAL RESEARCH ON MECHANICAL, ELASTICAL AND ACOUSTICAL CHARACTERISTICS OF PLATES STRUCTURES FROM CLASSICAL GUITAR BODY...	121
6.1. Experimental research on the system's response to the excitation with an impact hammer.....	123
6.2. Experimental research on response of plates and structures on forced vibration.....	134
6.3. Shape and structure optimisation of structures from guitar construction.....	173
6.4. Conclusions.....	180
7. CONCLUSIONS AND FUTURE DIRECTIONS FOR RESEARCH IN DYNAMIC STRUCTURE OF CLASSICAL GUITAR.....	181
BIBLIOGRAPHY.....	191
LIST OF FIGURES.....	205
LIST OF TABLES.....	211

# 1

## INTRODUCERE

Încă din antichitatea îndepărtată, a existat tendința de a studia muzica atât sub aspectele sale specifice artei, cât și sub aspectele interdependenței sale cu științele exacte. De-a lungul timpului, preocupările s-au concentrat asupra unuia sau altuia dintre aspectele ce guvernează muzica. Din amplul domeniu muzical, un segment al investigațiilor teoretice, practice și economice îl constituie instrumentele muzicale.

În prezent se observă o orientare a culturii muzicale către o muzică aflată la granița dintre clasic și modern, fapt pentru care chitara clasică este exponentul cel mai relevant al acestei legături istorice. Studiarea dialectică a acestui instrument atât din punct de vedere muzical, cât și din punct de vedere constructiv datează din a doua jumătate a secolului al XIX – lea, însă în zilele noastre apar noi abordări bazate pe aspectele tehnologice, economice – motivate de tendința societății actuale de evaluare financiară a tuturor costurilor de producție, dar și educative – bazate pe nevoia pedagogilor de a explica fenomenele științifice din fizică, mecanică, dinamică, matematică ș.a. utilizând chitara ca material didactic. Astfel, s-a constatat că studiile științifice referitoare la calitatea acustică a chitarei clasice se îmbogățesc, dar în același timp apar dispersate într-un număr mare de scrieri tipărite sau electronice, majoritatea străine, în țară existând o carență informațională autohtonă a cercetărilor științifice obiective. Într-o perioadă a concurenței economice, raportul nouitate – calitate – preț a unui produs este o problemă ce preocupă nu numai mediul economic, cât și cel academic, calitatea fiind trăsătura care ne definește pe noi oamenii ca pe niște ființe superioare aflate în căutarea perfecțiunii.

Calitatea chitarei este exprimată prin două aspecte: unul material ce se referă la partea fizică, structura ei materială și fiabilitatea în timp, și altul spiritual care vizează rolul însuși al chitarei – de a emite sunete clare, plăcute capabile să intermedieze comunicarea transcendentă dintre interpret și audiență. Asemeni ființei umane, calitatea chitarei se exprimă prin concepția dialectică dintre material și imaterial, respectiv prin legătura dintre corpul instrumentului, structura lui materială și funcția psiho-acustică pe care o are aceasta.

E unanim recunoscut faptul că „steaua polară” a calității chitarei este reprezentată de calitatea sunetelor emise de chitară în timpul cântatului. Dar cum se obțin aceste sunete plăcute, clare, percutante, dulci, purtătoarele mesajului spiritual, al trăirilor exprimate fără cuvinte, care sunt condițiile ce favorizează formarea muzicii? La această întrebare au încercat să dea răspuns o serie de cercetători din domeniu – teoreticieni și practicieni, lutieri și muzicieni, fiecare considerând mai important un anumit aspect.



Astfel, o chitară de calitate trebuie să îndeplinească numeroase criterii:

- Criterii psihoacustice și muzicale:
  - să aibă rezonanță;
  - să emită clar, limpede sunetele;
  - să aibă un timbru bogat, cald, dulce;
  - să atingă octavele;
  - să nu falseze;
  - să țină sunetele;
  - să producă numeroase armonice;
- Criterii ergonomice:
  - greutatea redusă a structurii;
  - manipulare lejeră a corzilor și gâtului de chitară în timpul cântatului;
  - forme și dimensiuni proporționale corpului uman;
- Criterii de rezistență și fiabilitate:
  - rigiditate ridicată a gâtului și a plăcilor din structura corpului de chitară;
  - deformații reologice reduse ale gâtului și plăcii de față;
  - rezistență la cicluri periodice de uzură;
  - rezistență la încovoiere și torsiune;
  - tensiuni mici;
- Criterii estetice:
  - planeitatea gâtului și a tastierei;
  - planeitatea gradației;
  - planeitatea plăcii acustice;
  - calitatea finisajului;
  - ornamente deosebite prin formă și material ale rozetei și ale gâtului;
  - lemn de rezonanță cu inelele anuale regulate, înguste atât în lungime cât și pe lățimea acestora, pe întreaga suprafață a feței, ponderea acestora de aproximativ 10-12 inele/cm cel mult 8-10 inele/cm; zona lemnului târziu din inelul anual să fie cât mai mică și constantă ca lățime, aproximativ 25-30% din lățimea acestuia pe toată lungimea inelului anual; fără defecte de structură sau de debitare necorespunzătoare sau defecte ce au apărut prin depozitarea și uscarea naturală în condiții improprii;
- Criterii economice și tehnologice:
  - raportul optim calitate/preț;
  - manoperă redusă.

Aceste criterii nu trebuie înțelese „sine qua non”, deoarece calitatea chitarei este dată nu doar de îndeplinirea fiecărui criteriu în parte ci și de îndeplinirea raporturilor de interdependență funcțională și rațională dintre acestea.

Pornind de la aceste considerente, cartea **„Dinamica structurii chitarei clasice”** abordează cercetări teoretice și experimentale privind comportarea mecanică, elastică și dinamică a plăcilor din componența corpului de chitară clasică într-o zonă de graniță interdisciplinară a ingineriei mecanice. Abordarea unei asemenea tematici a constituit o provocare științifică pentru care a fost necesară în primul rând sistematizarea, sintetizarea și convertirea cunoștințelor din domeniul ingineriei lemnului, a ingineriei mecanice, a fizicii și a muzicii în puncte de pornire în investigațiile propuse. Pe baza acestora, îmbinând specificul modelării cu elemente finite a plăcilor și structurilor din plăci lignocelulozice compozite din construcția chitărelor clasice fabricate în România, cu cel al metodelor experimentale, s-au extras, prelucrat și sintetizat o serie de date referitoare la factorii care influențează comportarea plăcilor la solicitări ciclice armonice, în vederea optimizării formei și structurii acestora în concordanță cu cerințele calitative impuse de produsul finit.

Astfel, Capitolul 1 – *Introducere* – constituie un preambul al lucrării, fiind prezentate criteriile de calitate pe care trebuie să le îndeplinească chitărele și pe care se fundamentează cercetările teoretice și experimentale.

În Capitolul 2 - *Chitara – structură, sistem funcțional, istoric* sunt prezentate părțile componente ale chitarei clasice, formele, dimensiunile, materialele, tipurile de chitare, sistemul funcțional și istoricul evoluției chitărelor. Astfel este evidențiată complexitatea constructivă a chitarei în care fiecare element prezintă un rol bine definit – funcțional, mecanic, dinamic, estetic. Calitatea acustică a chitarei, ca produs finit, depinde pe de o parte de calitatea materialelor, cunoașterea proprietăților acestora în vederea utilizării optime, iar pe de altă parte depinde de precizia de prelucrare la formă și dimensiuni a fiecărei element în parte.

Din epopeea chitarei rezultă faptul că principiul constructiv și de funcționare al chitarei s-a conservat de-a lungul timpului, modificările produse fiind mai mult de natură dimensională (dimensiuni de gabarit, grosimi ale plăcilor, sisteme de rigidizare, etc.). Împietirea tradiției în construcția chitarei cu elementele moderne, a cunoștințelor practice cu cele științifice au dus în prezent la creșterea productivității și calității în domeniul construcției de chitare.

Capitolul 3 - *Stadiul actual al cercetărilor teoretice și experimentale privind materialele, structura și funcționarea chitarei* constituie o sinteză a investigațiilor asupra chitarei realizate și diseminate în literatura de specialitate internațională și națională, fiind prezentate cercetările teoretice și experimentale cele mai semnificative legate de structura, modul de funcționare, factorii de calitate și propuneri de optimizare a componentelor chitarei.

Pe baza unui bogat studiu bibliografic, este realizată o sinteză a stadiului actual al cercetărilor având ca tematică chitara (clasică și acustică), fiind focalizată pe două aspecte:



materialele utilizate în structura chitarei (caracteristici mecanice, dinamice, acustice, estetice) care se constituie în baza de date utilizată ulterior în investigațiile întreprinse, prezentate pe larg în subcapitolul 3.1 și cercetări directe privind chitara ca structură mecanică și dinamică, metode numerice și experimentale utilizate, părți componente analizate, date ce vor constitui criterii de comparație pentru rezultatele cercetărilor teoretice și experimentale – care constituie tematica subcapitolului 3.2. De asemenea, în urma analizei critice a stadiului actual al cercetărilor, sunt identificate o serie de aspecte și problematici incomplet studiate până în prezent, unele cu caracter general, altele cu specific național.

Cel de-al patrulea capitol, *Tendențe actuale în dinamica structurii clasice*, este dedicat prezentării direcțiilor de cercetare teoretică și experimentală, de diseminare și valorificare a rezultatelor cercetării. Prezentarea ariei și sub-ariei tematice conform clasificărilor europene, definirea scopului ce guvernează totalitatea investigațiilor din acest domeniu și stabilirea obiectivelor sunt aspecte cuprinse în capitolul 4.

Obiectivele lucrării de față au fost: studiul sintetic privind evoluția structurii și a caracteristicilor mecanice, elastice și acustice ale chitarei, studiul stadiului actual al cercetărilor din domeniu și extragerea problemelor incomplet abordate, modelări analitice și numerice ale structurilor din plăci din componența chitarei clasice fabricate la noi în țară, simulări numerice privind comportarea dinamică a structurilor modelate, studiul experimental al comportării dinamice a plăcilor și structurilor din plăci, propuneri de structuri optimizate din punct de vedere al materialului sistemelor de bare sau al formei, diseminarea și valorificarea rezultatelor cercetării. Fiecare obiectiv general a presupus atingerea obiectivelor specifice – cognitive (de informare și documentare) și operaționale, necesitând dobândirea unor competențe și abilități specifice activității de cercetare.

Capitolul 5 intitulat *Modelarea analitică și numerică a structurilor din plăci din componența chitarei clasice* a vizat o serie de obiective specifice precum: stabilirea tipurilor de materiale și variantelor geometrice și structurale ale plăcilor și corpurilor din plăci de chitară, identificarea tipurilor de solicitări statice, ciclice și dinamice, modelarea prin metode analitice și numerice a structurilor din plăci supuse solicitărilor statice și dinamice, analiza influenței diferiților factori (geometrici, de material, de structură, etc.) asupra răspunsului dinamic al structurilor, modelarea structurilor din plăci cu grade diferite de complexitate ș.a.

Acest capitol se constituie atât într-o bază de date cu modele numerice ale diferitelor tipuri de structuri modelate cu element finit, cât și într-un amplu studiu privind analiza diferiților factori ce influențează comportarea statică și dinamică a chitarei, în ansamblul ei. Toate rezultatele obținute au fost comparate atât cu cele din literatura de specialitate, cât și cu cele similare obținute prin alte metode de investigare. De asemenea, au fost vizate aspecte privind optimizarea structurilor prin modificarea design-ului sau a materialului barelor de rezonanță.

Capitolul 6 este dedicat *Cercetărilor experimentale privind caracteristicile mecanice, elastice și acustice ale structurilor din plăci* din componența chitarei clasice. În cadrul acestui capitol sunt prezentate metodele de testare, standurile experimentale utilizate, materialele și structurile investigate și seturile de rezultate obținute.

Echipamentele, aparatura și softurile moderne din dotarea Catedrei de Rezistența Materialelor și Vibrații a Universității Transilvania din Brașov au permis ca investigațiile experimentale să se realizeze în condiții optime, comparabile cu cele din laboratoarele internaționale similare. S-au realizat determinări privind răspunsul structurilor din plăci, începând cu plăci individuale și ajungând până la structuri complexe – de tipul corpului de chitară cu gât, urmărindu-se atât aspecte legate de comportarea dinamică a acestora cât și aspecte legate de factorii care influențează răspunsul dinamic al structurilor testate. Rezultatele experimentale obținute au fost comparate cu cele teoretice, precum și cu cele din literatura de specialitate, constatându-se o serie de similitudini.

Capitolul 7 – *Concluzii și direcții viitoare de cercetare* reprezintă un corolar privind concluziile atât cu caracter științific, grupate pe fiecare capitol în parte, cât și cu caracter tehnic și educativ. De asemenea, sunt evidențiate contribuțiile personale și originale aduse la dezvoltarea științei prin cercetările teoretice și experimentale, cele cu caracter de sinteză, cu caracter științific și curricular și nu în ultimul rând contribuțiile cu impact socio-economic. Raportările și comparările investigațiilor teoretice și experimentale la activitățile și rezultatele de referință din literatura de specialitate, au condus la numeroase elemente de noutate – cu precădere pe plan național și nu în ultimul rând pe plan internațional, în ceea ce privește modul de abordare, volumul, calitatea și natura cercetărilor.

Lucrarea de față se bazează pe cercetările realizate în cadrul tezei de doctorat intitulată „*Cercetări privind optimizarea formei și structurii plăcilor compozite lignocelulozice supuse la solicitări ciclice, cu aplicații la instrumente muzicale*” – chitara clasică și susținută public în 2009, numeroase rezultate fiind diseminate și prezentate în mediul academic al conferințelor internaționale și naționale. Tematica abordată a constituit subiectul proiectului de cercetare CNCSIS tip TD 182/2007, precum și a unor capitole din cadrul unor contracte de cercetare cu parteneri din universități și institute de cercetare din țară.

*Bibliografia* conține un număr important de lucrări internaționale și naționale, din domeniul cercetării și din domenii conexe. Documentația bibliografică studiată a necesitat cunoștințe dintr-un spectru larg: muzică, mecanică, lemn și materiale compozite, rezistența materialelor, vibrații mecanice, acustică, modelare și simulare, fizică, tehnologie.

Rezultatele cercetărilor stadiului actual, al investigațiilor propriu-zise pe cale teoretică și experimentală sunt evidențiate prin cele 195 figuri și 45 tabele inserate în text. Bibliografia cuprinde 170 de referințe naționale și internaționale, din care peste 35 sunt lucrările științifice publicate și prezentate la evenimente naționale și internaționale prin care s-a realizat diseminarea

rezultatelor cercetării. Bibliografia se bazează atât pe metode moderne de informare și documentare, cât și pe metode clasice.



# 2

## CHITARA – STRUCTURĂ, SISTEM FUNCȚIONAL, ISTORIC

Chitara reprezintă un instrument complex în ceea ce privește structura, modul de realizare și asamblare a componentelor, finisajul, modul de producere a sunetelor muzicale ș.a. În construcția acestui tip de instrument se utilizează diferite specii lemnoase cu roluri bine definite: lemn de rezonanță, specii lemnoase cu rol estetic și specii cu rezistență mare la uzură.

### 2.1. Părți componente – forme, dimensiuni, materiale

Structura unui instrument muzical cu corzi ciupite este formată din trei subansamble: cutia sonoră (corpul chitarei), gâtul și corzile. Fiecare element din structura chitarei prezintă un rol bine definit: de rezistență, de funcționalitate, estetic, acustic, dinamic. Corpul chitarei, cunoscut și sub denumirea de cutia de rezonanță, este subansamblul format din două tipuri de plăci –placa sonoră sau fața - cu rol acustic, placa de spate sau spatele și rama cutiei alcătuită din eclise, contra-eclise și butuci (Fig. 2.1). Placa de față, realizată din lemn de rezonanță, prezintă pe partea interioară sistemul de bare cu rol de rezistență și de rezonanță. Modul de dispunere al barelor, dimensiunile și forma acestora variază de la un tip de chitară la altul. De asemenea, placa de față prezintă o degajare circulară cunoscută sub denumirea de rozetă sau gaura sonoră având rolul de a permite circulația aerului din și în interiorul cavității. În jurul rozetei sunt aplicate ornamente, în general sub formă de intarsie sau încrustații cu sidef. Placa de spate, realizată îndeosebi din specii valoroase din punct de vedere estetic (exotice sau indigene – nuc, paltin creț, cireș etc.) este rigidizată cu bare transversale și o întăritură longitudinală pe axa de simetrie. Fața și spatele de chitară sunt înțeleate pe eclise și contra-eclise, cele din urmă având rolul de a mări suprafața de înțeleiere a plăcilor cu rama cutiei. Eclisele sunt fixate de butuci - inferior și superior, formând astfel conturul închis al ramei. Pe fața chitarei este aplicat cordarul având rolul de fixare a corzilor. Gâtul chitarei asigură lungimea de coardă necesară producerii optime a sunetelor. Acesta este alcătuit din gât, călcâi, tastiera cu gradații, mecanismul de fixare și acordare a corzilor și prăgușul. Forma geometrică și elementele constructive ale plăcii (bare de rezistență, bare de rezonanță, poziția cordarului), dimensiunile și precizia de execuție a gâtului de chitară, poziția corectă a gradațiilor, toate influențează calitatea acustică a instrumentului în care sunt integrate acestea.





**Fig. 2.1.** Structura chitarei clasice  
(<http://www.madehow.com/Volume-1/Guitar.html>)

Forma, dimensiunile și elementele auxiliare depind de tipul, gama de armonice, sonoritatea și timbrul chitarei ce se doresc a fi obținute, precum și de vârsta interpretului (dimensiunile 1/2, 3/4, 7/8, 4/4). Din aceasta decurge și varietatea mare a chitărelor clasice. În țara noastră, conform documentației tehnice de la fabrica de instrumente muzicale S.C. Hora S.A. Romania, se produc diferite tipuri de chitare din punct de vedere al formei, materialelor, finisajelor, categoriilor profesionale și al capacității acustice (Tabelul 2.1. și Fig. 2.2. a, b și c) (Stanciu, 2007 [S17]).

**Tabelul 2.1.**

Tipuri de chitare clasice produse la S.C. Hora S.A. Reghin România

Tip chitara		Materiale						Finisaj	Culori
		Fata	Spate	Eclisa	Gat	Tastiera	Cordar		
0	1	2	3	4	5	6	7	8	9
Concert "Segada mauro"	Clasic normală	olid solid	mahon solid	mahon solid	mahon	palisandru	palisandru	luciu înalt	cedru roșu
		olid solid	mahon placaj	mahon placaj	paltin	Palisandr u/abanos	palisandru	luciu înalt	cedru roșu
		olid solid	mahon placaj	mahon placaj	paltin	palisandru	palisandru	luciu înalt	cedru roșu
		olid solid	palisandru solid	palisandru	cedru	palisandru	palisandru	luciu înalt	natur
	Clasic asimetrică	olid solid	mahon placaj	mahon placaj	paltin	palisandru	palisandru	luciu înalt	cedru rosu
		olid solid	palisandru solid	palisandru	cedru	palisandru	palisandru	luciu înalt	natur
	Western normală	olid solid	mahon placaj	mahon placaj	paltin	palisandru	palisandru	luciu înalt	natur
	Western asimetrică	olid solid	mahon placaj	mahon placaj	paltin	palisandru	palisandru	luciu înalt	natur

Tabelul 2.1. (Continuare)

Tabelul 2.1. (Continuare)									
Chitara Pronatura	Clasic normală	molid solid	placaj cireș	placaj nuc	paltin	salcâm, salcâm tratat	salcâm, salcâm tratat	satinat pori semi- deschiși	nuc deschis natur
			placaj paltin	cireș solid				satinat	nuc deschis natur
			placaj nuc	placaj paltin					
			cireș solid	cireș solid					
			paltin solid	paltin spate					
Chitara Picado	Clasic normală	molid/ cedru cal. 1	palisandru solid	palisandru solid	cedru	abanos	palisandru	luciu înalt	natur
			paltin solid	paltin solid	paltin				
Chitara Madrigal string meytar	Clasic normală	cedru solid cal. 3	placaj tei	fag	paltin	palisandru	palisandru	luciu înalt	mahon
		cedru solid cal. 3	placaj mahon	placaj mahon	paltin				mahon
		cedru solid cal. 2	placaj nuc	placaj nuc	cedru				natur
			placaj mahon	placaj mahon	cedru				
			placaj palisandru	placaj palisandru	cedru				
		molid solid cal. 1	paltin solid	paltin solid	paltin				galben
	Clasic asimetrică	cedru solid cal. 2	placaj palisandru	placaj palisandru	cedru				natur
	Clasic asimetrică îngust	molid solid cal. 1	paltin solid	paltin solid	paltin				galben
	Clasic îngust	molid solid cal. 2	paltin solid	paltin solid	paltin				galben
		cedru solid cal. 3	placaj mahon	placaj mahon	paltin				natur
	Chitare GC GEWA	Clasic normală	placaj molid	placaj mahon	placaj mahon				fag
placaj molid			placaj mahon	placaj mahon	fag	palisandru	palisandru		
placaj molid			placaj tei	placaj tei	paltin 2x1	salcâm	paltin		
placaj molid			placaj mahon	placaj mahon	fag	palisandru	palisandru		
placaj molid			placaj mahon	placaj mahon	saman guila				
cedru II solid			placaj mahon	placaj mahon	saman guila				
cedru II solid			placaj palisandru	placaj palisandru	saman guila				
Chitare clasice	Spaniol - clasic normală	molid solid cal 1 molid solid	paltin solid natur paltin solid	paltin solid natur paltin solid	paltin natur paltin	palisandru	palisandru	luciu înalt	cedru roșu/ tabac
	Laura	molid solid	placaj tei	fag/fag cul. mierei	paltin/ paltin cul. mierei	salcâm	paltin	luciu înalt/ satinat	
	Standard N	placaj tei	placaj tei	fag	paltin	salcâm	paltin		
	Student	placaj molid	placaj tei	fag	paltin	salcâm	paltin	luciu înalt	cedru roșu/ închis
	Student plus	placaj molid	placaj tei	fag	paltin	salcâm	paltin	luciu înalt	cedru roșu/ tabac



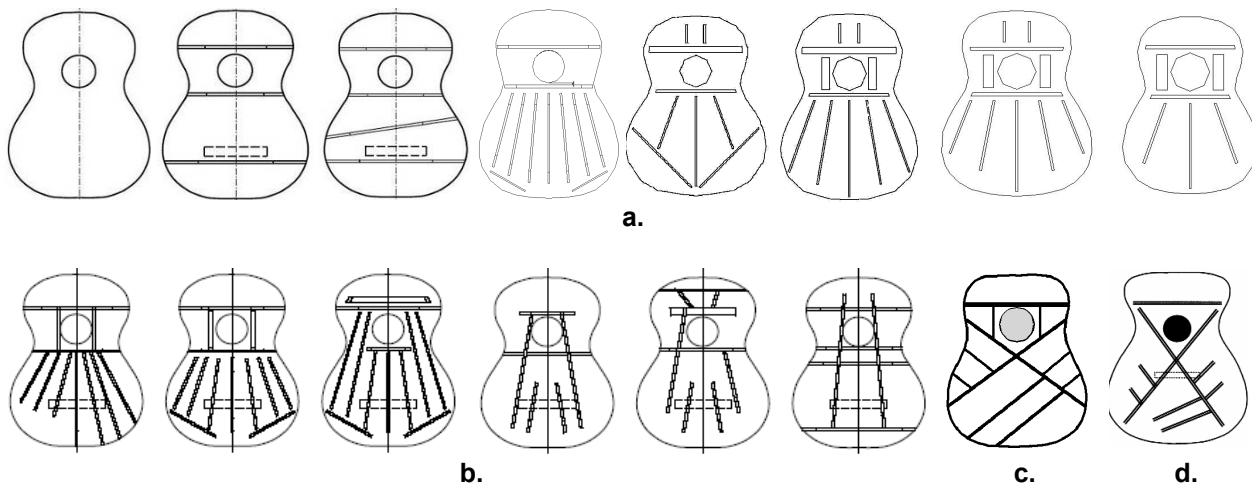
**Fig. 2.2. a.** Tipuri de chitare clasice produse la S.C. Hora S.A. Reghin, Romania  
([http://www.hora.ro/pages/guitars\\_ro.htm](http://www.hora.ro/pages/guitars_ro.htm))



**Fig. 2.2. b.** Chitare acustice  
([http://www.hora.ro/pages/guitars\\_ro.htm](http://www.hora.ro/pages/guitars_ro.htm))

**Fig. 2.2. c.** Chitare acustice western  
([http://www.hora.ro/pages/guitars\\_ro.htm](http://www.hora.ro/pages/guitars_ro.htm))

Dintre toate elementele componente ale chitarei, cercetările s-au focalizat pe plăcile și structurile din plăci utilizate în construcția corpului de chitară.



**Fig. 2.3.** Variante de dispunere a barelor de rigidizare la fețele de chitară: **a.** variante de dispunere a barelor de rigidizare practicate la fabrica de instrumente muzicale S.C. Hora S. A. România, **b.** moduri de dispunere sistemului de rigidizare studiat de Vladimirovici (2004) **c.** Moduri de dispunere a barelor de rezonanță la chitara folk studiată de Russell (1982), **d.** Mod de dispunere a barelor de rezonanță în X, studiat de French și Hosler (1997)

Plăcile din structura cutiei, fie că sunt obținute din lemn masiv, fie din placaj, au grosimi relativ mici cuprinse între 2 – 2,5 până la 3 mm după calibrare, fapt pentru care ele pot fi considerate membrane din punct de vedere mecanic. Având grosimi foarte mici și fiind supuse la eforturi mari în timpul cântatului, plăcile sunt prevăzute pe interior cu bare de rezistență care au rolul de a rigidiza placa, fiind dispuse transversal față de axa longitudinală a plăcii, precum și bare

de rezonanță. În acest sens există mai multe moduri de dispunere a barelor de rezonanță, în funcție de categoriile de chitare în care vor fi integrate plăcile (Curtu, Stanciu ș.a. 2008 [C23]). În Fig. 2.3 sunt prezentate diverse variante de dispunere a barelor de rezonanță, studiate sau propuse spre cercetare.

## 2.2. Sistemul funcțional al chitarei

Cutia de rezonanță are rolul de a amplifica sunetele muzicale, fiind alcătuită din placa acustică, spate și eclise (laterale). Aceste elemente sunt realizate din lemn de rezonanță selecționat sau din materiale lignocelulozice compozite cu proprietăți mecanice, elastice și acustice similare lemnului masiv și apte să reziste la solicitările statice și variabile specifice instrumentelor muzicale (Stanciu, 2007 [S16]).

Transferul energiei de vibrație a corzilor se face prin sistemul solid ( $s_1$  – coarda) - solid ( $s_2$  – cordar) - solid ( $s_3$  – placa sonora) – fluid ( $f_1$  – aerul din cavitate) - solid ( $s_4$  - spate) - solid ( $s_5$  - eclise) - fluid ( $f_1$  – aer din cavitate și gaura sonoră) (Fig. 2.4.). Astfel, presiunea aerului din cutie se modifică periodic (Curtu, Stanciu ș.a. 2008 – [C25]). Ținând cont de condițiile de contur, undele sonore sunt reflectate și radiate de pereții cutiei în toate direcțiile, producându-se compunerea undelor sonore sub un spectru bogat de armonice. Corpul chitarei transformă presiunea înaltă a vibrațiilor de la cordar în vibrații de presiune joasă a aerului înconjurător, realizând astfel un fenomen de “egalare a impedanței”. Viteza de propagare a undelor sonore prin mediile solide (coardă – cordar – placă - cutie) este mai mare decât cea prin aer, fapt pentru care structura mecanica a instrumentului influențează calitatea acustică. Sistemul de bare aplicat pe plăcile din componența corpului chitarei creează un volum cu formă geometrică nedefinibilă, ceea ce contribuie la amplificarea neselectivă a sunetelor într-o bandă lată de frecvențe (Urmă, 1982). Astfel, corpul chitarei a fost asemănat cu un rezonator de tip Helmholtz.

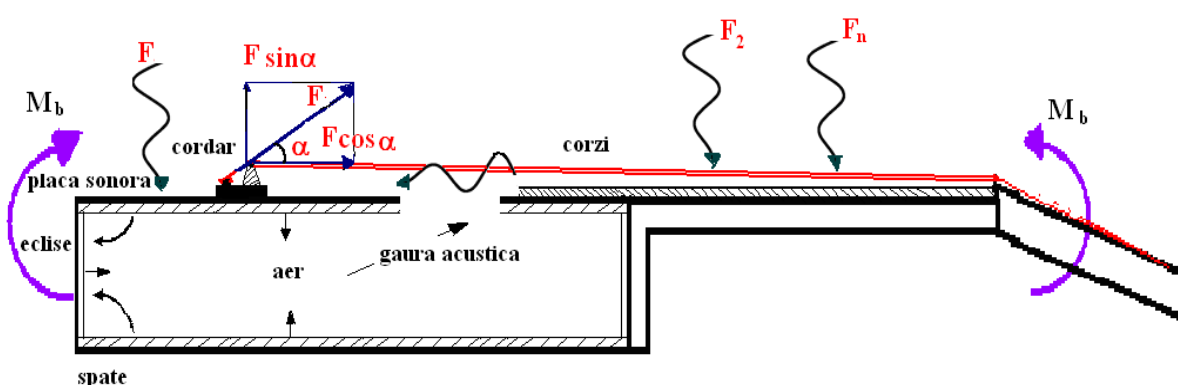


Fig.2.4. Schema încărcării statice și dinamice a structurii mecanice (Stanciu, 2008 - [S18])

După unii cercetători, instrumentele cu corzi au fost simplificate într-un model teoretic constând din două structuri: o structură capabilă să susțină corzile supuse la anumite tensiuni, reprezentată de gâtul instrumentului și cavitatea (cutia) sonoră cu fața și spatele flexibile pentru a transmite și a reflecta sunetele când corzile vibrează. Structura *cutiei de rezonanță* a chitarei



(cunoscută în literatura de specialitate ca și *corpul* chitarei sau *cutia acustică*) este deosebit de elaborată. Placa de față, denumită și placa sonoră sau față, este realizată din lemn rezonanță (masiv sau placaj) cu grosimi variind între 2-3 mm. Fața este rigidizată cu bare din lemn de rășinoase înțeleite pe interiorul acesteia. Designul și modul de dispunere al barelor variază foarte mult, constituind încă un subiect cercetat. Ele reprezintă unul din elementele care pot fi modificate și după construcția chitarei, astfel încât se practică în mod obișnuit tăierea barelor (ajustarea) în funcție de tonalitatea care se dorește să se obțină (Curtu, Stanciu 2007 – [C21]).

*Gaura acustică* cunoscută și sub denumirea de *rozetă* sau *răsufătoare*, are rolul acustic de a permite circulația aerului în și din cavitatea cutiei. Din perspectivă tehnologică, reprezintă singurul mod de acces în interiorul instrumentului. Aceasta are o formă circulară cu diametre între 80 – 100 mm. Rozeta este plasată între gât și cordar, pe axa longitudinală de simetrie a feței. Datorită poziției acesteia, fața și barele de rigidizare trebuie să transfere tensiunea din corzi în jurul ei. Răspunsul dinamic al structurii chitarei este rezultanta răspunsului dinamic al corzilor preluat, amplificat și/sau modificat de cutia sonoră. *Corzile*, prin funcționalitatea lor, conțin cea mai multă energie cinetică din întreg sistemul. Designul diferit al barelor de rezonanță, materialul lemnos unic prin structura macro și microscopică combinat cu geometria nedefinibilă a volumului de aer din corpului chitarei și intensitatea forței vibratorii a corzilor implică un răspuns dinamic diferit al instrumentelor. Muzicalitatea chitarei clasice se bazează pe echilibrul dintre rigiditatea și flexibilitatea cutiei de rezonanță. Aceasta trebuie să fie suficient de rigidă încât să reziste la tensiunile dezvoltate în corzi datorită forței de întindere a corzii și a forței de excitație, dar în același timp trebuie să fie suficient de flexibilă pentru a se deforma ca răspuns la vibrațiile corzilor (Stanciu, 2007 – [S14]). Din aceste considerente, cea mai mare influență o are forța din corzi ca urmare a tensionării acestora. Tensiunea din corzi variază în funcție de materialul și diametrul corzilor. Corzile din nylon utilizate în exclusivitate la chitarele clasice, implică tensiuni reduse, cu valori cuprinse între 36-44 N/coardă. Corzile din oțel pot fi tensionate cu forțe până la 89 N/coardă. De menționat că diametrele celor șase corzi sunt diferite, cele cu diametre mici dau tonalități înalte ale sunetelor, iar tensiunile din corzi sunt proporționale cu înălțimea sunetelor. Mai mult decât atât, corzile cu tonalitate scăzută au o structură filată, fiind alcătuite din două materiale cu proprietăți fizice și elastice diferite.

Structurile solicitate de tensiunile corzilor sunt gâtul și corpul chitarei. Gâtul este în esență o grindă stratificată de egală rezistență, în consolă supusă la încovoiere și torsiune, fiind ranforsată cu tije din lemn de esență tare sau alte materiale rezistente (fibră de carbon sau tije din metal) pentru creșterea rigidității și combaterea deformațiilor datorate tensiunilor din coardă. Tija este de diferite forme, dimensiuni și materiale. La unele instrumente se utilizează tije simple, la altele sunt ajustabile. La chitarele clasice nu se aplica astfel de tije, având în vedere tensiunile relativ mici din corzi.

## 2.3. Istoric

### 2.3.1. Din istoria chitarei

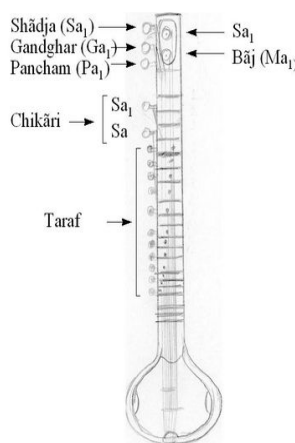
O dată cu dezvoltarea antropologică și antropozofică a omului, se observă o evoluție atât calitativă cât și cantitativă a tuturor produselor creației umane: de la unelte rudimentare, construcții, mobilier, bijuterii, arme, articole de îmbrăcăminte, mijloace de transport, până la creații artistice din domeniul picturii, sculpturii, muzicii, arhitecturii etc.

Muzica a însoțit existența omului încă din cele mai vechi timpuri, fie sub formă vocală, fie sub formă instrumentală, ea reprezentând un limbaj de comunicare, de exteriorizare a trăirilor sufletești în diferite situații de viață. Totodată muzica s-a dezvoltat într-o relație dialectică cu dezvoltarea spirituală a omului. Pentru exprimarea unei game variate de sunete și tonalități, omul a creat o diversitate extraordinară de instrumente muzicale, unele din ele păstrându-se până astăzi, altele cunoscând o evoluție constructivă continuă.

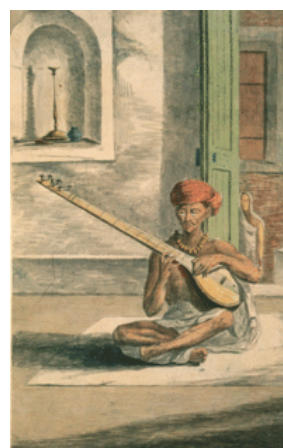
Instrumente asemănătoare chitarei au fost descoperite și datate cu aproximativ 5000 ani în urmă sub forma unor statuete sau gravuri reprezentând figurine cântând la chitară (Fig. 2.5). Forme timpurii ale chitarei antice s-au descoperit în diferite zone de pe glob, cum ar fi India Antică și Asia Centrală, unde instrumentul era cunoscut sub denumirea de *sitar* (Fig. 2.6). După unii etimologi, termenul de chitară provine din termenul de *cithara* (*sitar*), utilizat pentru instrumentele cu corzi din Asia Centrală.



**Fig. 2.5.** Figurine cântând la chitara veche (descoperite în situl arheologic de la Susa, Iran) fotografii de Zereschk (<http://en.wikipedia.org/wiki/Image:Elam-tar>)



**Fig.2.6.** Sitar – instrument similar chitarei în Asia Centrală antică (<http://en.wikipedia.org/wiki/Guitar#History>)



Termenul actual de *chitară* a fost adoptat în limba engleză (guitar) din spaniolul *guitarra*, derivat din termenul grecesc *kithara*. În limba română, termenul s-a transmis direct din limba greacă – după unii etimologii, sau din italiană – chitara, după alți lingviști. Alte surse sugerează că numele instrumentului poate deriva dintr-o combinație a doi termeni: rădăcina *guit* de origine indo-europeana, similar cu sanscritul *sangeet* (muzică) și sufixul *tar* – un termen general pentru coardă.

Pe de altă parte, alți etimologi consideră că termenul de chitară poate proveni prin filiera arabo-iberica, din limba persană. Cuvântul *qūtara* reprezintă în limba arabă un nume dat instrumentelor din familia lăutelor. Lăuta antică iraniană numită și *tar* - în persană, a fost regăsită de asemenea în termenul *chitara*, *tar* fiind un cuvânt vechi de mii de ani care se referă la variația numărului de corzi ale unui instrument (2, 3, 5 sau 6 corzi) (traducere după <http://en.wikipedia.org/wiki/Guitar#History>).

Cert este faptul că, atunci când ascultăm muzica de chitară, gândul ne poartă instinctiv, către cultura spaniolă (portul popular, toreadori, palatul Alhambra, apusul de soare al Catalaniei, mireasma și coloritul leandrilor), aceasta fiind leagănul de dezvoltare a chitarei clasice. Termenul de *guitarra* a fost asimilat de limba spaniolă după secolul al IX-lea e.n., când astfel de instrumente au ajuns în Iberia o dată cu invazia și stăpânirea maură. În Fig. 2.7 este redată o reproducere dintr-un manuscris carolingian, reprezentând un interpret la chitară.



**Fig. 2.7.** Instrument similar chitarei –secolul IX e.n. - imagine manuscris dintr-un psalt carolingian  
(<http://en.wikipedia.org/wiki/Guitar#History>)

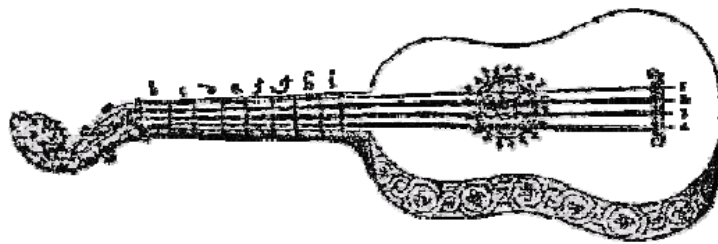


**Fig.2.8.** Chitara latină (stânga) și chitara moresca (dreapta)  
(<http://en.wikipedia.org/wiki/Guitar#History>)

Între *secolele XIII - XIV* (anii: 1265, 1283-1350) apar primele menționări documentare referitoare la chitara latină (*guitarra latina*) și chitara morescă (*guitarra moresca*) (Fig. 2.8), în poeme și scrierile de la curtea regală din Spania, iar în anul 1306 se menționează în Anglia, în Westminster, interpretarea la chitară a unui cântec „gitarer”.

În perioada de tranziție de la chitara renașcentistă la cea modernă, se dezvoltă un instrument hibrid numit *vihuela spaniola* – „*de mana*”. Aceasta are stilul lăutei și corpul chitarei. Construcția ei are mai multe aspecte comune cu chitara modernă decât cu cea renașcentistă. *Vihuela* are o popularitate pentru o scurtă perioadă de timp, ultima publicație muzicală supraviețuitoare datând din 1576.

În anul 1404, Eberhard Von Cersne face referiri la o „quinterne”. În anul 1487, Johannes Tinctoris descrie chitara cu patru corzi duble inventată de catalani (Fig. 2.9). Aceasta prezintă o structură asemănătoare celei de azi, cu numeroase ornamente realizate prin tehnica intarsiei, traforării și încrustației.



**Fig. 2.9.** Chitara cu patru perechi de corzi duble

În perioada renescentistă, chitara nu era considerată un instrument serios, așa cum era cazul vioarei, fapt pentru care evoluția sa din punct de vedere muzical a fost mai anevoioasă. Totuși, dezvoltarea muzicii laice în paralel cu cea religioasă, face ca preocupările compozitorilor să dea naștere la noi stiluri muzicale, în care chitara să aibă un rol din ce în ce mai important, cum ar fi muzica trubadurilor și cea de petrecere. În anul 1546 este tipărită *“Tres Libros de Musica en Cifras para Vihuela”*, de *Alonso Mudarra*, prima publicație care include muzică pentru chitară, iar între anii 1551-1555 sunt tipărite nouă cărți muzicale de către *Adrian Le Roy*, care includ piese muzicale pentru chitara cu 5 corzi. Între anii 1600-1650 apar tot mai multe publicații cu piese muzicale pentru chitară, popularitatea acesteia concurând-o pe cea a lăutei. În anul 1674, apariția publicației: *„Guitarre Royal”/“Chitara regală”* de *F. Corbetta*, dedicată lui *Louis al XIV lea*, consacră chitara ca instrument muzical de curte. În perioada barocă (1770-1800), chitara cu 5 corzi este modificată prin adăugirea celei de-a șasea coarde și eliminarea corzilor duble. În această perioadă, *Fernando Sor*, *Mauro Giuliani*, *Matteo Carcassi* și *Dioniso Aguada* compun și tipăresc piese muzicale pentru chitară. În anul 1817, *Fernando Sor* susține un concert solo la chitară la Filarmonica din Londra. Chitara urcă astfel din lumea „vulgului” în zona cultă, *Paganini* cântând și compunând pentru chitară la fel de bine cum a o făcea și pentru vioară, iar *Stradivarius* a realizat pe lângă renumitele vioare, și chitare. Popularitatea acestui instrument a căpătat amploare în întreaga Europă, fiind preferată la petrecerile de la curțile regale și ale nobililor. Acest fapt se reflectă atât în menționările documentare, scrieri cu caracter muzical, cât și în gravuri, picturi, sculpturi. În Figurile 2.10 ...2.17 sunt redată selectiv exemple de picturi cu subiectul centrat pe chitară și interpret.



**Fig. 2.10.** David III (1612-1661) „Chitaristul-Rijckaert”  
(<http://www.artcyclopedia.com/history>)



**Fig.2.11.** D. Velasquez (1599-1660) „Trei muzicanți”  
(<http://www.artcyclopedia.com/history>)





**Fig. 2.12.** Jan Vermeer (1632-1675)  
„Tânăra fiică la chitară”  
([http://en.wikipedia.org/wiki/Classical\\_guitar#Origins](http://en.wikipedia.org/wiki/Classical_guitar#Origins))



**Fig. 2.13.** Gerrit van Honthorst (1590-1656)  
„Femeie cântând la chitară”  
(<http://www.artcyclopedia.com/history/>)



**Fig. 2.14.** David Teniers (1610-1690)  
„Interpret la chitară”  
(<http://www.artcyclopedia.com/history/>)



**Fig. 2.15.** Theodoor Rombouts (1597-1637)  
„Muzicanții”  
(<http://www.artcyclopedia.com/history/>)



**Fig. 2.16.** Jacob Leiden (1640-1719)  
„Chitaristul Toorenvliet”  
(<http://www.artcyclopedia.com/history/>)



**Fig. 2.17.** Karel Dujardin (1621-1678)  
„Vânzători ambulanți italieni”  
(<http://www.artcyclopedia.com/history/>)

La mijlocul sec. al XIX - lea, perioadă a marilor schimbări pe plan economic, social, politic și cultural, chitara cade din grațiile publicului, devenind un instrument greoi ca formă, cu o acustică slabă și neinspirată.

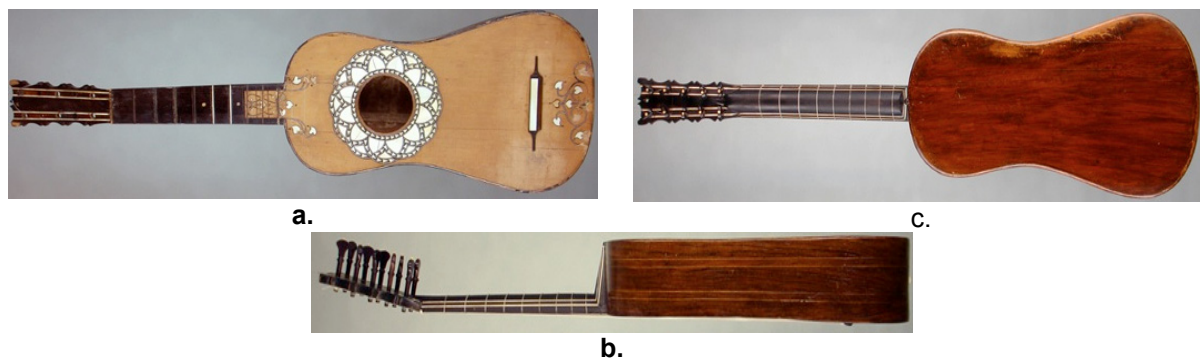
Însă la *sfârșitul secolului XIX*, chitara „reînvie” din punct de vedere al formei datorită lui *Antonio Torres* care remodelează design-ul cutiei de rezonanță a chitarei și proporțiile gât-cutie în formele cunoscute astăzi, iar din punct de vedere muzical, aceasta se relansează din punct de vedere al expresivității muzicale, datorită lui *Francisco Tarrega* care compune faimoasa piesă pentru chitară : „*Receurdos De La Alhambra*”.

Dimensiunile moderne ale chitarei au fost stabilite de *Antonio Torres Jurado* (1817-1892), fiind luată la Sevilla în 1850. *Antonio Torres* și *Louise Panormo* din Londra (1820-1840-activ) sunt ambii responsabili pentru demonstrarea superiorității barelor transversale aplicate pe placa acustică a chitarei. Datorită noului design al cutiei de rezonanță, cu capacitatea de amplificare a sunetelor mult mai mare, în anul 1916, *Segovia* interpretează la chitară cel mai important concert de acest gen, la Ateneul din Madrid. Astfel, *Segovia* deschide un nou drum privind interpretarea la

chitară: concertul de chitară în săli mari și utilizarea stilului "tremolo". În anul 1946, corzile din intestine de animale sunt înlocuite cu cele din nylon. *Carla Maria Von Weber, Rossini, Franz Schubert, Berlioz* sunt câțiva dintre muzicienii consacrați care au compus și muzică pentru chitară.

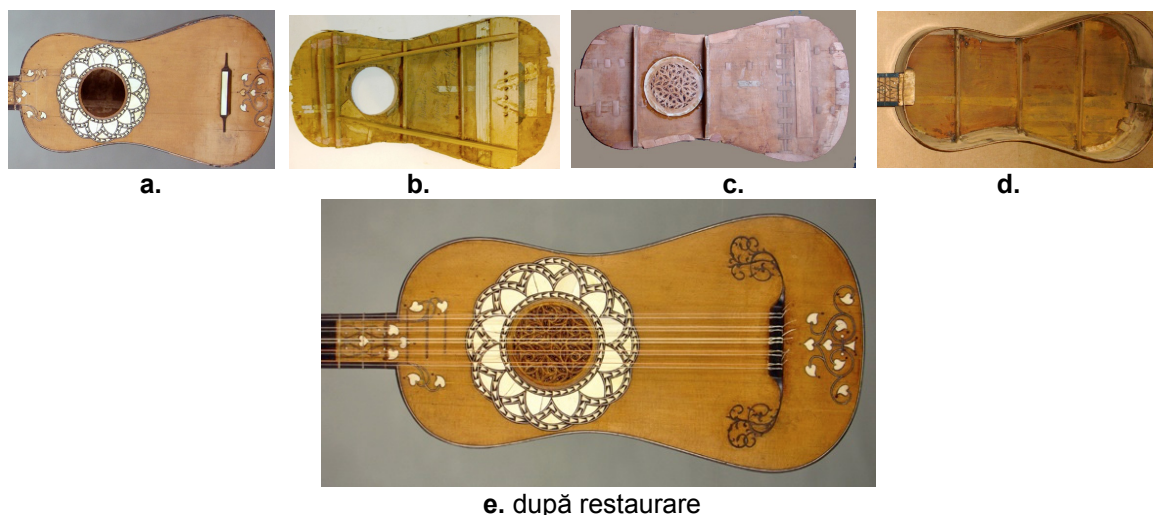
### 2.3.2. Evoluția formei constructive a chitarei

Cele mai vechi chitare datează din secolul al XVII-lea ( în jurul anului 1640). În Fig. 2.18 este prezentată o chitară datând din anul 1640, localizată în Veneția, Italia. De-a lungul timpului a fost restaurată/modificată de 4 ori în funcție de cerințele muzicale ale perioadei respective.



**Fig. 2.18.** Chitară din perioada barocă (1640), realizată în Veneția – Italia  
(<http://sinierderidder.free.fr/gb/maingb.html>)

Ca particularități ale chitarei baroce, se pot menționa: forma alungită, cu raze mari de racordare, bare transversale de rigidizare a plăcii inferioare (spate), bare de rezonanță pe fața acustică dispuse ca în Fig. 2.19. b, numeroase ornamente aplicate pe placa acustică, gaura acustică parțial acoperită cu un ornament circular traforat cu antrelacuri (Fig. 19 c, e). Materialele utilizate erau cedrul de rezonanță pentru placa acustică, iar pentru placa de spate și eclise – palisandrul. Încrustațiile sub formă de rozete (la gaura acustică), trandafiri (la extremitățile feței) și volute (la cordar) erau realizate din os și fildeș.



**Fig. 2.19.** Structura constructivă a chitarei din Veneția (1640) – etape din timpul restaurării  
(<http://sinierderidder.free.fr/gb/maingb.html>)



Datând din anul 1775, construită de *Lambert* în Paris, chitara din Fig. 2.20. constituie o nouă treaptă în evoluția formei constructive a acestui instrument muzical. Ea se remarcă atât prin redimensionarea razelor de racordare ale corpului cât și prin bogăția, diversitatea și calitatea ornamentelor (Fig. 2.21).

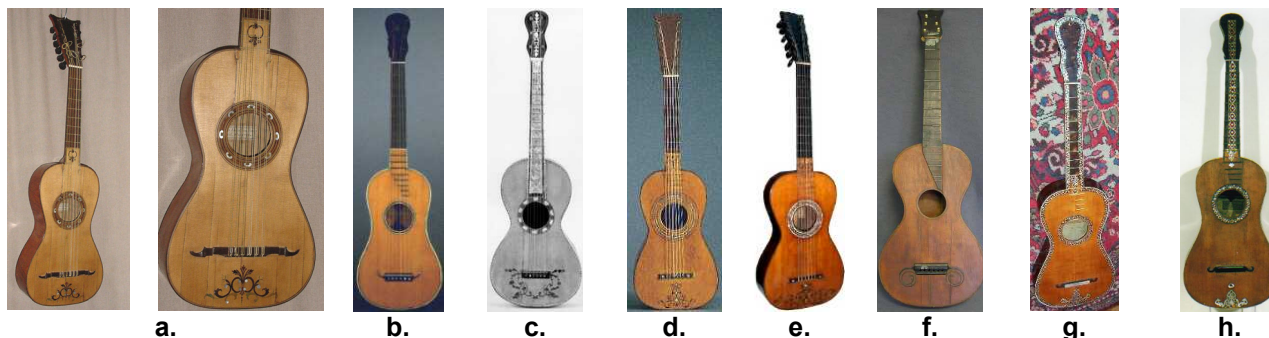


**Fig. 2.20.** Chitară realizată de J. N. Lambert, 1775, Paris  
<http://sinierderidder.free.fr/gb/maingb.html>

Din punct de vedere al materialelor utilizate, placa de față a chitarei din Fig. 2.20, este din molid de rezonanță, iar spatele și eclisele din placaj furniruit cu paltin și păr. Gâtul și capul pentru chei sunt realizate din abanos, ornamentate cu sidef. Se remarcă creșterea distanței dintre plăci (mărirea grosimii cutiei de rezonanță) spre cordar, soluție constructivă ce favorizează amplificarea vibrațiilor în această zonă. Dimensiunile de gabarit în cazul prezentat sunt: lungimea totală 930 mm, lungimea cutiei 430 mm, lungimea corzilor 634 mm, iar eclisele variază ca lățime de la 94 mm la 107 mm. *Jean Nicolas Lambert* rămâne unul dintre cei mai reprezentativi fabricanți de chitare din secolul al XVIII-lea, din Paris.



**Fig. 2.21.** Detalii constructive și ornamentale ale părților componente ale chitarei (Lambert, 1775) (<http://sinierderidder.free.fr/gb/maingb.html>)

**Chitare din a doua jumătate a secolului al XVIII-lea (Fig. 2.22)**

**Fig. 2.22.** Tipuri de chitare din a II a jumătate a sec. Al XVIII lea: **a.** Chitara cu 12 corzi, Alonso - 1785, Spania, **b.** Renault – 1789 Franța, **c.** Fabricatore – 1790 Italia, **d.** Pages – 1790 Spania, **e.** Martinez – 1792 (cu 12 corzi) Spania, **f.** Carlo Il Bergonzi – 1796 Italia Cremona, **g.** Fabricatore – 1798 Italia, **h.** Fabricatore - 1799 Italia (<http://sinierderidder.free.fr/gb/maingb.html>)

În 1779 a fost construită chitara cu 6 corzi de *Gaetano Vinaccia*, în Napels, Italia (Fig. 2.23). Ulterior, familia de lutieri Vinaccia a devenit cunoscută pentru dezvoltarea mandolinei. Timp de două secole, chitara a cunoscut o evoluție din punct de vedere al dimensiunilor constructive, al numărului de corzi, al ornamentelor și chiar al materialelor, toate acestea motivate de dorința de creștere a calității acustice a instrumentului.



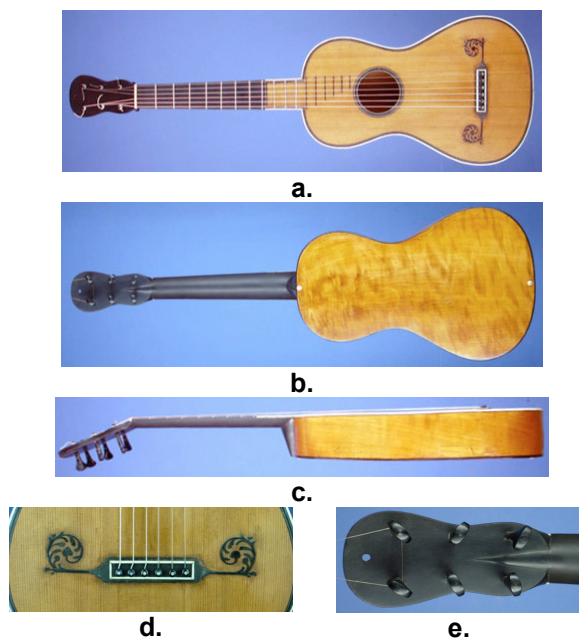
**Fig. 2.23.** Chitara construită de Gaetano Vinaccia, 1779, Italia (<http://sinierderidder.free.fr/gb/maingb.html>)

**Chitarele secolului al XIX –lea**

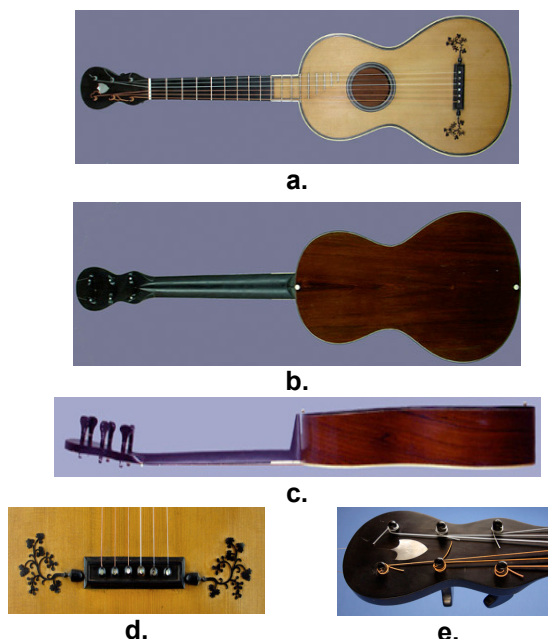
Stilul inițiat de *Lambert* se păstrează în construcțiile de chitare ulterioare până la începutul secolului al XIX-lea (Fig. 2.24, Fig. 2.25).

În secolul al XIX-lea se observă preocupări în ceea ce privește mărirea cutiei de rezonanță între cordar și răsuflătoare (gaura acustică) și găsirea unor raze de racordare armonioase, proporționale și utile din punct de vedere tehnico-muzical (Fig. 2.26 și 2.27). Cele mai important centru manufacturier este localizat în Franța, la *Mirecourt*.

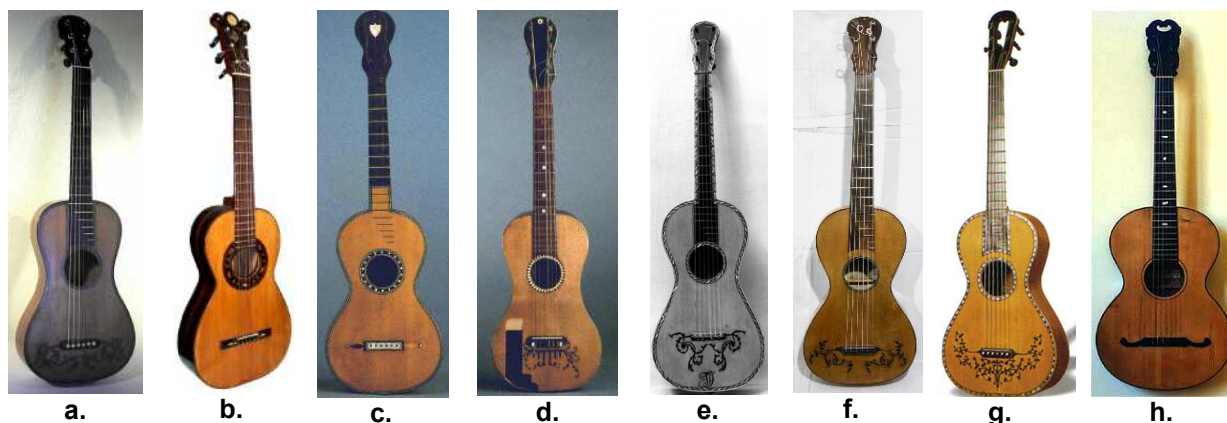




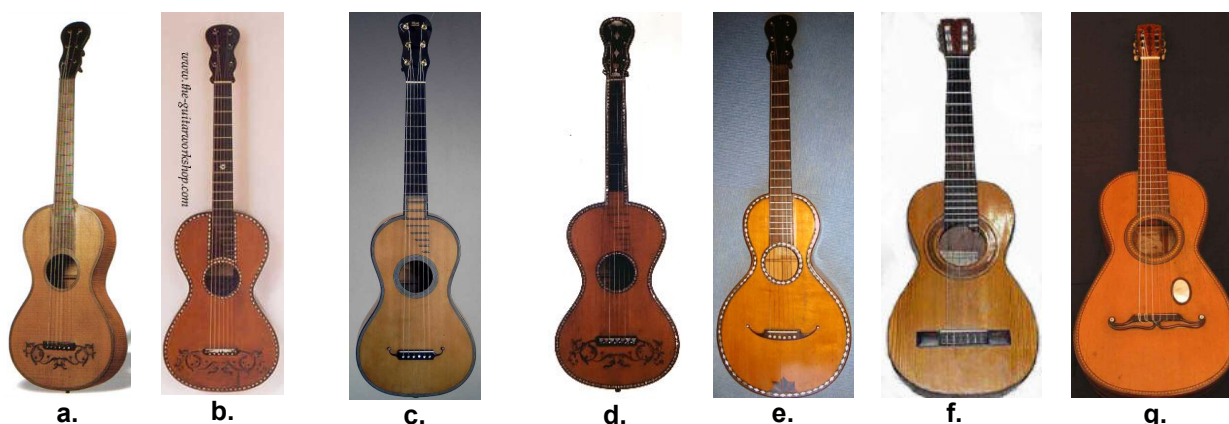
**Fig. 2.24.** Chitară anonimă din Mirecourt, 1810  
Lungimea totală 900 mm, lungimea cutiei 435 mm, lungimea corzilor 631 mm  
(<http://sinierderidder.free.fr/gb/maingb.html>)



**Fig. 2.25.** Chitară construită de Lajoue, Mirecourt Franța, 1820, Lungimea totală 940 mm, lungimea corpului 450 mm, lungimea corzilor 647 mm  
(<http://sinierderidder.free.fr/gb/maingb.html>)



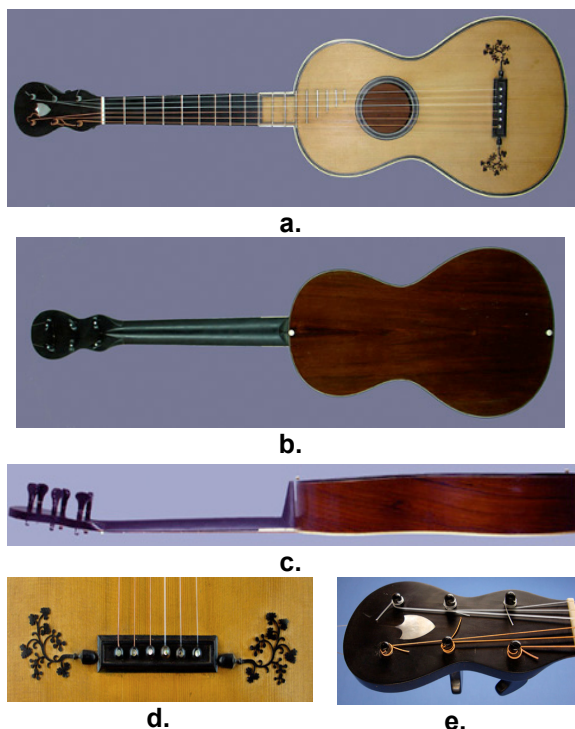
**Fig. 2.26.** **a.** Austria, Jany – 1800, **b.** Spania, Guerra – 1800, **c.** Franța, Petitjean – 1800, **d.** Italia, Moschini – 1802, **e.** Italia, Fabricatore-1805, **f.** Italia, Fabricatore-1807, **g.** Italia, Giacomo – 1807, **h.** Italia, Gaetano Guadagnoli – 1814 (<http://sinierderidder.free.fr/gb/maingb.html>)



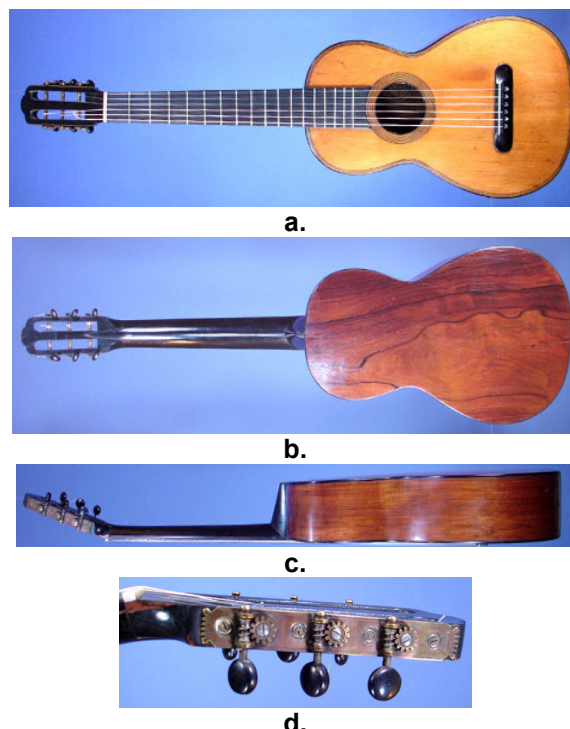
**Fig. 2.27.** **a.** Austria, Ertl Johann-1817, **b.** Austria, Enzensberger – 1819, **c.** Franța, Lacote -1823, **d.** Germania, Diehl - 1834, **f.** Spania, Guerra -1842, **g.** Peru, Farfan-1863, (<http://sinierderidder.free.fr>.)

Un exemplu în acest sens este chitara construită de *Lajoue* în Mirecourt (Franța), 1820. Corpul chitarei având dimensiunile de gabarit 450 mm, lungimea corzilor de 647 mm și lungimea totală de 940 mm, prezintă placa de față din molid, iar spatele din două bucăți de palisandru. Se observă o sensibilă creștere a lății cutiei în zona cordarului (Fig. 2.28).

În Fig.2.29 este prezentată chitara realizată de *Aubry Fils* în 1881 pentru Jérôme-Thibouville-Lamy. Placa de față este din molid, spatele din mahon. Lungimea cutiei de rezonanță este de 440 mm, înălțimea de 9,5 mm, lungimea totală de 930 mm, iar lungimea corzilor de 631 mm.



**Fig. 2.28.** Chitara construită de Lajoue, 1820, a. fața, b. spate, c. eclise /laterale, d. detaliu cordar, e. detaliu cap  
(<http://sinierderidder.free.fr/gb/maingb.html>)

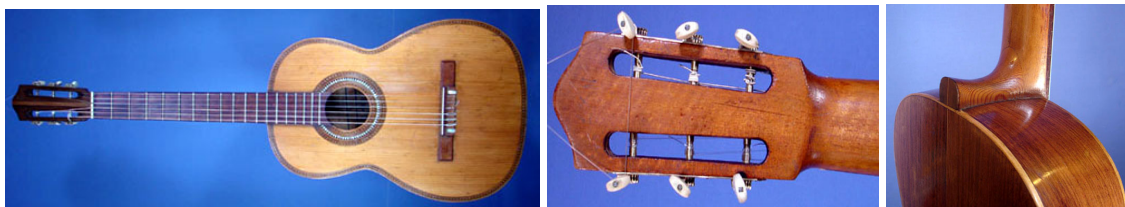


**Fig. 2.29.** Chitara construită de Aubry Fils, Mirecourt (Franța) 1881, a. fața, b. spate, c. eclise /laterale, d. cap cu cheile  
(<http://sinierderidder.free.fr/gb/maingb.html>)

Cercetările privind obținerea unor forme și dimensiuni optime ale chitarei, atât din punct de vedere estetic cât mai ales muzical, au fost întreprinse de *Antonio Torres Jurado* (1817-1892) la Sevilla.

Rezultatul acestor studii sistematice a fost materializat prin modelul dimensional al chitarei clasice actuale. *Torres* și *Louise Panormo* din Londra (1820-1840-activ) sunt ambii responsabili pentru demonstrarea superiorității barelor transversale pe fața chitarei.

În Fig. 2.30 se observă forma constructivă a unei chitare de la începutul sec. al XX lea realizată la Valencia, de către *Telesforo Julve*. Fața este realizată din cedru, spatele din palisandru, gâtul din cedru și pin (tocul). Dimensiunile sunt: lungimea totală 970 mm, lungimea corzilor 637 mm, lungimea cutiei 475 mm, lățimea cutiei (de la stânga la dreapta) 296 mm/229 mm/349 mm.



**Fig. 2.30.** Chitară 1920, Telesforo Julve, Valencia – Spania: fața, cap, detaliu îmbinare gât-cutie  
(<http://sinierderidder.free.fr/gb/maingb.html>)

### ***Chitarele secolului al XX –lea***

În secolul al XX – lea, din chitara clasică au derivat și alte tipuri de chitare – acustice, western, electrice, diferite atât ca forme geometrice (curburi, dimensiunile și volumul cutiei), sistem de bare cât și ca modalități tehnice de amplificare a sunetelor muzicale.

În România, fabricarea instrumentelor muzicale la nivel industrializat, datează din anul 1951, când s-a înființat prima fabrică de instrumente muzicale, în cadrul I.P.L. Reghin. În prezent, fabrica este cunoscută sub denumirea de S.C. Hora S.A. Reghin, fiind singura din Europa ca mărime și profil de producție. Datorită managementului echipei de conducere a fabricii, reprezentată de directorul ing. Bâzgan Nicolae și directorul tehnic ing. Man Dorin, performanțele tehnologice și de producție ale fabricii au crescut, ajungând ca în anul 2008 să se exporte aproximativ 50.000 de chitare.

## **2.4. CONCLUZII**

Chitara este un instrument vechi care, de-a lungul secolelor, a cunoscut o evoluție istorică a dimensiunilor, formei constructive, numărului de corzi, în scopul îmbunătățirii acusticii și ergonomiei instrumentului. Forma constructivă a chitarei, respectiv a cutiei de rezonanță a constituit și constituie obiectul cercetărilor din domeniul acusticii muzicale. Cunoștințele apriori și aposteriori referitoare la influența cutiei de rezonanță în amplificarea sunetelor emise de cozile sonore precum și adăugarea propriilor frecvențe de rezonanță pentru îmbogățirea timbrului ansamblului sonor au condus la materializarea lor în forme și structuri diverse, specifice perioadelor istorice de evoluție. Analizând evoluția formei constructive a chitarei clasice, se observă că aceasta a depins de o serie de factori extrinseci și intrinseci: pe de o parte tehnologia de producere a elementelor și subansamblelor, iar pe de altă parte îmbogățirea cunoștințelor și experiențelor muzicale și acustice pe măsura nivelului de dezvoltare științifică. Astfel, dacă în trecut se remarcă o preocupare deosebită pentru calitatea materialelor și a ornamentelor ca expresie a calității estetice a chitarei și a posibilităților financiare ale posesorilor, în prezent raportul preocupărilor s-a inversat, acordându-se o atenție deosebită calității acustice a instrumentului la un raport optim calitate-preț.

# 3

## STADIUL ACTUAL AL CERCETĂRILOR TEORETICE ȘI EXPERIMENTALE PRIVIND STRUCTURA ȘI FUNCȚIONAREA CHITAREI CLASICE

În acest capitol sunt prezentate cercetările teoretice și experimentale privind structura, modul de funcționare și factorii care influențează calitatea unei chitare din perspectiva studiilor realizate până în prezent în acest domeniu. Cele mai numeroase referințe bibliografice se regăsesc în literatura de specialitate internațională, la noi în țară fiind un domeniu slab reprezentat. Studiul chitarei implică o serie de aspecte interdisciplinare și transdisciplinare, fapt pentru care există numeroase abordări referitoare la: caracteristicile materialelor utilizate în construcția chitarei, la modul în care comportarea dinamică a chitarei se modifică o dată cu adăugirea elementelor constructive, modul în care se propagă sunetele emise de chitară în diferite câmpuri sonore, implicațiile psiho-acustice asupra evaluării calității unei chitare, modelarea și simularea structurilor de chitară, cu particularizări pentru anumite tipuri și mărci de chitară, tipuri de modelări și simulări matematice ale părților componente ale chitarei, modalități de testare structurală și acustică, variante de optimizare a formei și structurii chitarei ș.a.

Plecând de la această idee, în capitolul de față a fost realizată o sinteză a stadiului actual al cercetărilor având ca tematică chitara (clasică și acustică), demersul fiind structurat pe două părți: aspecte legate de materialele utilizate în structura chitarei (caracteristici mecanice, dinamice, acustice, estetice) și cercetări directe privind chitara ca structură mecanică și dinamică, studii ce se vor constitui în criterii de comparație cu rezultatele cercetărilor teoretice și experimentale.

### 3.1. Materialele utilizate în construcția chitarei – studii și cercetări

#### 3.1.1. Proprietățile lemnului de rezonanță

Unul din cele mai studiate aspecte privind instrumentele muzicale cu corzi, îl reprezintă materialele din componența acestora, respectiv lemnul de rezonanță ale cărui proprietăți acustice au fost deja determinate de numeroși cercetători. Astfel s-a stabilit că principalele proprietăți acustice ale lemnului de rezonanță sunt:

- *Viteza de propagare a sunetului prin lemn  $c_L$  care se referă la viteza de transmitere a undelor elastice longitudinale și transversale în mediul solid (lemnul). În cazul lemnului, cele mai multe studii au relevat importanța vitezei de propagare a undelor în lungul fibrei: pe direcție perpendiculară pe fibre, valorile vitezei de propagare sunt de 3-5 ori mai mici, iar pe direcție radială valorile sunt mai mari decât pe cea tangențială (Beldeanu, 2001).*



Experimentele realizate utilizând metoda ultrasunetelor (Bucur, 2006) au evidențiat valori ale vitezei de propagare a ultrasunetelor în diferite specii prezentate în Tabelul 3.1. Cu cât valorile acestui parametru sunt mai mari, cu atât claritatea sunetelor e mai bună. Acest parametru depinde de regularitatea structurii lemnului, de densitate și umiditate.

Tabelul 3.1.

Viteza medie de propagare a ultrasunetelor in diferite specii		
Specia	Densitatea $\rho$ [kg/m <sup>3</sup> ]	Viteza de propagare longitudinală a sunetului în lemn $c_L$ [m/s]
<b>Rășinoase</b>		
Molid argintiu de rezonanță Picea engelmannii	<b>352</b>	<b>5500</b>
Molid de rezonanță (Picea abies (L.) Karst.)	<b>400</b>	<b>5600</b>
Molid comun (Picea abies (L.) Karst)	485	5353
Sitka de rezonanță (Picea sitchensis (Bong))	<b>430</b>	<b>5500</b>
Sitka comun (Picea sitchensis (Bong))	450	5200
Molid roșu de rezonanță (Picea rubens Sarg.)	<b>485</b>	<b>6000</b>
Duglas (Pseudotsuga menziensis (Mirb))	440	5500
Pin (Pinus spp.)	580	5000
<b>Foioase</b>		
Plop (Populus alba)	326	5074
Castan porcesc (Castanea Sativa Mill)	510	4782
Stejar (Quercus robur)	600	5071
Platan (Platanus hybrida)	620	5060
Paltin (Acer platanoides)	623	4695
Fag (Fagus Sylvatica)	674	5074
Paltin creț de rezonanță (Acer pseudoplatanus)	<b>700</b>	<b>4350</b>
Pernambuc (Caesalpinia echinata)	932	4935

- *Rezistența (impedanța) acustică specifică* se referă la rezistența pe care lemnul o opune răspândirii sunetului în masa sa  $R_a$  (Filipovici, 1965). În cazul lemnului de rezonanță această caracteristică acustică are valori mici exprimându-se din punct de vedere acustic prin lejeritatea sunetelor.
- *Radiația acustică  $K$  (constanta de radiație acustică* –după Ghelmeziu, Beldie, 1970) reprezintă un criteriu foarte important în aprecierea lemnului de rezonanță. Valorile ridicate ale constantei de radiație acustică denotă o calitate superioară a lemnului utilizat în construcția instrumentelor muzicale, limita inferioară fiind de  $10 \text{ m}^4/(\text{N s}^2)$ , la umiditatea de 10% (Beldeanu, 2001).
- *Factorul de calitate al amortizării vibrațiilor  $Q$*  este o mărime legată de pierderea energiei de vibrație prin frecarea internă, care conduce la fenomenul de amortizare a sunetului, după ce excitația sonoră a încetat. În cazul structurilor simple, uniforme, continue, fără defecte,

valorile acestui parametru sunt mari, proporționale cu viteza de propagare a sunetelor, așa cum este cazul lemnului de rezonanță.

În Tabelul 3.2 sunt prezentate valorile optime privind caracteristicile acustice ale lemnului de rezonanță (Beldeanu, 2001).

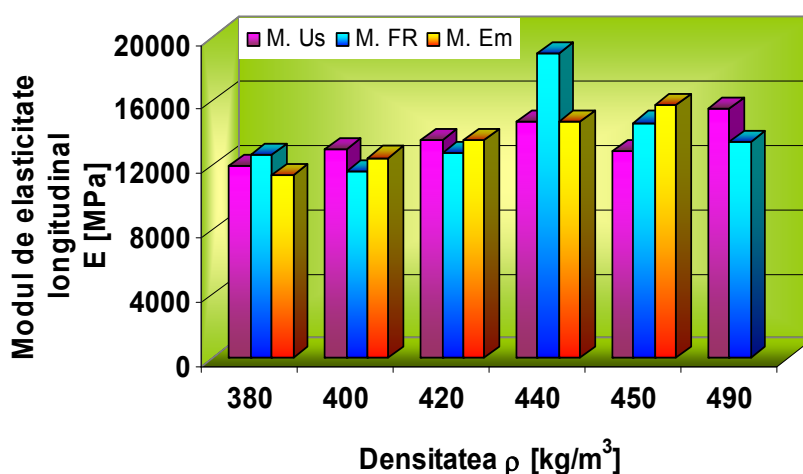
**Tabelul 3.2.**

Valorile principalelor caracteristici acustice ale molidului de rezonanță	
Proprietatea	Valori limită pentru molidul de rezonanță
Viteza de propagare longitudinală a sunetului $C_L$ [m/s]	4800-5700
Radiația acustică $K$ [ $m^4/(kg \cdot s)$ ]	10,00 – 13,90
Frecarea internă $\delta$	< 0.02
Factorul de calitate $Q$	> 100 (105)
Impedanța acustică specifică $R_s$ [ $N \cdot s/m^3$ ]	$(2,16 - 2,5) \cdot 10^6$
Densitatea $\rho$ [ $kg/m^3$ ]	400-500

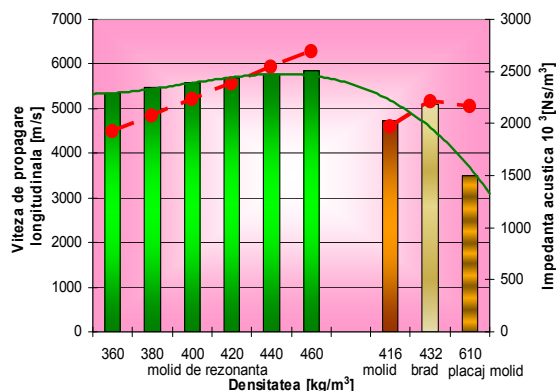
Cercetările și studiile prezentate în cărțile lui Cotta (1983) și Bucur (2006) au arătat că:

- viteza de propagare a sunetului în lemn, în direcția fibrelor, crește odată cu creșterea densității (Fig. 3.1) ;
- impedanța acustică specifică crește cu creșterea densității (Fig. 3.2);
- radiația acustică scade cu creșterea densității;
- decrementul logarithmic prezintă o sensibilă scădere cu creșterea densității ( Fig. 3.3).

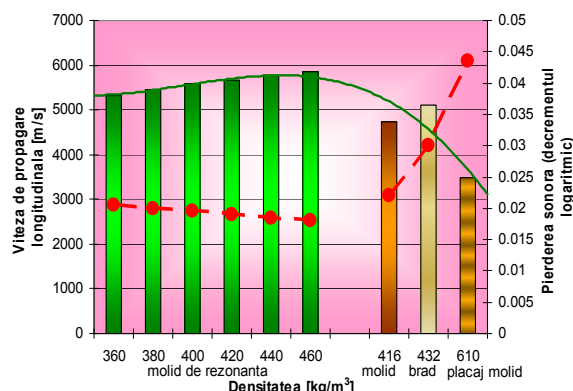
Din punct de vedere al structurii macroscopice a lemnului, studiile realizate au evidențiat că: *densitatea scade cu creșterea lățimii inelului anual, iar proporția de lemn târziu scade cu creșterea lățimii inelelor anuale*. Corelația cu umiditatea se exprimă astfel: *cu creșterea umidității, densitatea crește, iar modulul de elasticitate scade*. Radiația specifică scade, decrementul logarithmic variază după o curbă parabolică între 0-8% umiditate, având valori minime la  $U=8\%$ . Tot la  $U=8\%$  radiația specifică e optimă.



**Fig. 3.1.** Grafic de comparație a rezultatelor obținute prin diferite metode de determinare a modulului de elasticitate longitudinal, pe epruvete de molid de rezonanță (Bucur, 2006 –valori experimentale)



**Fig. 3.2.** Variația impedenței acustice în raport cu viteza de propagare longitudinală, la specii de rășinoase cu densități diferite (Cotta, 1983 – valorile experimentale)



**Fig. 3.3.** Variația decrementului logaritmice cu variația densității și vitezei de propagare longitudinală a sunetului în lemn (Cotta, 1983, Bucur, 2006 - sinteza valorilor determinate experimental)

După unii cercetători, raportul optim între modulul de elasticitate longitudinal în direcție longitudinală și cel în direcție radială este  $E_L/E_R=8..12$ , iar raportul dintre modulul lui Young și cel transversal trebuie să fie  $E_L/G_{RT}=23$  (Bucur, 2006).

Cunoscându-se proprietățile lemnului de rezonanță, s-au proiectat materiale compozite lignocelulozice care să poată fi utilizate în producția de serie a instrumentelor muzicale. Unul din materialele cu tradiție în acest sens este placajul obținut din furnire din specii diferite, având în final caracteristici apropiate lemnului masiv (Tabelul 3.3 și Tabelul 3.4).

**Tabelul 3.3.**

Parametrii elastici ai placajului de molid utilizat în construcția chitarei clasice (preluat după Bucur, 2006)

Densitatea [kg/m³]	Viteza [m/s]		Modulul de elasticitate longitudinal [MPa]		Modul de elasticitate transversal [MPa]		Decrementul logaritmice $2\pi \tan \delta$	
	//	⊥	$E_{//}$	$E_{\perp}$	$G_{//}$	$G_{\perp}$	At995Hz//	At343Hz⊥
520	5100	1700	13000	1600	2300	1000	0,026	0,045

**Tabelul 3.4.**

Parametrii elastici pentru diferite tipuri de placaje din componența instrumentelor muzicale (după Bucur, 2006)

Tipuri de placaj	Modulul lui Young [MPa]		Viteza de propagare a sunetului în direcție longitudinală [m/s]
	//	⊥	
molid // molid ⊥ molid//	7600-11200	9400	4 590
molid // mahon ⊥ molid//	9400-12000	10800	4 320
molid // arin ⊥ molid//	11000-13100	11900	4 850
arin// arin ⊥ arin //	11600-14000	12900	-
molid ⊥ mahon // molid ⊥	800-900	800	4 320
arin ⊥ arin // arin ⊥	1200-1700	1400	-

Lemnul este materialul care prin structura macroscopică și microscopică, prin densitate, anizotropie, rezistență, modul de elasticitate longitudinal și transversal, umiditate și stabilitate dimensională dobândită în condițiile uscării naturale timp de 5-10 ani, conferă instrumentului muzical unicatitate. Lemnul intră în componența instrumentelor muzicale sub diferite aspecte: acustic

(lemnul de rezonanță), estetic (mahon, palisandru, abanos, paltin creț, lemn de trandafir, păr - specii apreciate pentru textură, desen și culoare), fiabilitate și rezistență la uzură (salcâm, abanos, nuc, fag, pernambuc – gâtul de chitară, mandolină, vioară, violă, violoncel, tastiere, arcuș, componente supuse la uzură). În prezent se utilizează și materiale compozite lignocelulozice (placaj, lemn stratificat densificat, structuri ranforsate) pentru categoriile de instrumente care se adresează în special începătorilor (tip amator, student, elev), situație în care se pune accent pe valoarea funcțională, instructivă a instrumentului și mai puțin pe cea calitativă și estetică (Stanciu, 2007 – [S15]).

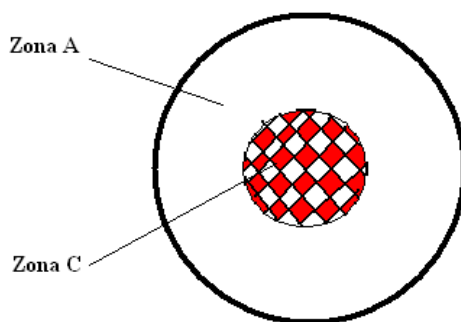
### **3.1.2. Elemente de ordin silvicultural și morfologic specifice lemnului de rezonanță**

Există o serie de teorii privind caracterele morfologice ereditare, condițiile pedoclimatice ale lemnului de rezonanță, a perioadelor optime de recoltare, a modului de procesare și a adecvării caracteristicilor sale la tipul de instrument muzical. Unii cercetători consideră că atât zestrea genetica este hotărâtoare, cât mai ales acțiunea concertată a mai multor factori (climatici, edafici, orografici, biotici, antropici) care influențează formarea unui lemn cu proprietăți acustice din specii comune.

S-a constatat că acești arbori cresc la altitudini relativ mari (700-1200 m), în depresiuni alpine sau pe versanți cu expoziție nordică, locuri semi-umbrate și ferite de vânturi și factori ce modifică structura fibrei. La noi în țară, centrul de greutate al răspândirii molidului de rezonanță îl constituia nordul Carpaților Orientali, cele mai cunoscute fiind Ocoalele Silvice Moldovița și Tomnatic. În prezent, datorită diminuării ponderii molidului de rezonanță din Carpații Românești, cercetările din domeniul silvic au crescut în vederea repopulării stațiunilor forestiere cu acest ecotip având caracteristici și însușirile specifice lemnului de rezonanță (Beldeanu, 2001). Solul pe care se dezvoltă molidul de rezonanță este sărac în nutrienți, fiind de tip argilo - nisipo - calcaros, acid până la neutru, format pe substraturi litologice aparținând zonei vulcanice. Cercetătorii în climatologie de la Columbia University din New York au observat că un factor determinant în formarea lemnului de rezonanță îl constituie regimul climateric constant de-a lungul perioadei de creștere a arborilor (temperatura medie anuală între 3,5 – 6 ° C). Arborii de molid de rezonanță se caracterizează prin coroana cilindrică destul de îngustă, cu ramuri relativ subțiri ceea ce-i conferă un aspect sărăcăcios. Acest tip de coroană reține cantități mult mai mici de zăpadă conferindu-i arborelui rezistență crescută la rupturi. Rădăcina formează 3-5 contraforți cu rol de stabilitate la acțiunea mecanică a vântului.

Din analiza evoluției inelelor anuale pe secțiunea de la înălțimea de 1,30 m față de nivelul solului, s-a constatat că se disting două zone, uneori trei, din punct de vedere al lățimii și uniformității inelelor anuale. Zona C – formată în prima parte a vieții arborilor, caracterizată prin inele anuale late, variate ca lățime și zona A – dezvoltată începând cu vârsta de 50 ani și caracterizată prin

inele anuale înguste, uniforme, alcătuind porțiunea de lemn de rezonanță (Fig. 3.4) (Beldeanu, 2001).

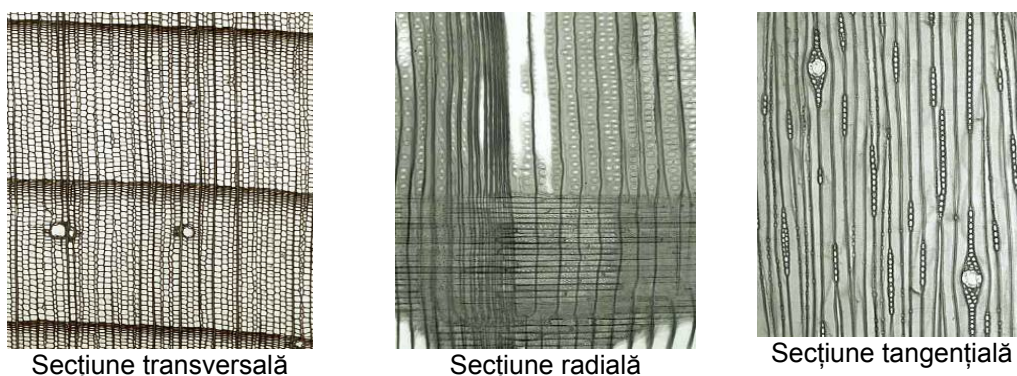


**Fig. 3.4.** Zone de creștere caracteristice (zona A – cu lemn de rezonanță) (Beldeanu, E., 2001)

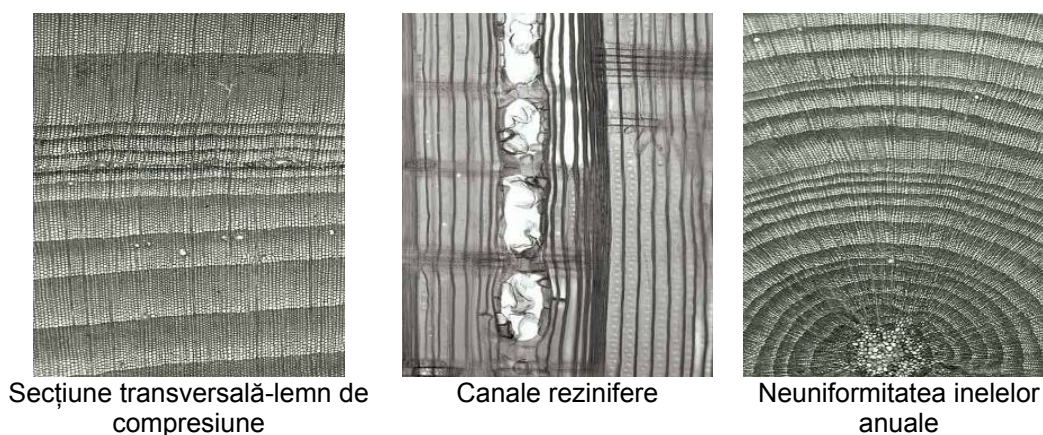
### 3.1.3. Condiții de recoltare, uscare și păstrare

Un arbore cu lemn de rezonanță se identifică atât după caracteristicile morfologice menționate, cât și prin metode practice de diagnosticare: fie prin lovirea trunchiului cu un ciocan din lemn din direcție sudică și ascultarea sunetului de răspuns pe direcție opusă, cu urechea lipită de arbore – sunetul înalt și clar caracterizează arborii de calitate, cei cu defecte emițând sunete joase, voalate, fie prin metode biochimice de analiză a peroxidazei din acele mature, fie prin metode moderne bazate pe emisia de ultrasunete.

În cazul arborilor doborâți, identificarea se realizează după caracteristicile macroscopice ale secțiunii transversale: grosime uniformă a inelelor anuale, variind între 1-2 (3) mm, proporție de lemn târziu scăzută ceea ce conferă o colorație deschisă a lemnului (mai puțin de 20-35% din grosimea inelului anual), raze medulare fine, densitate relativ mică (sub  $0,450 \text{ g/cm}^3$ ), conținut mic de rășină (fără pungi de rășină), culoare uniformă, albă, albă-aurie și luciu mătășos al lemnului, fibra dreaptă, dimensiuni suficiente pentru debitarea radială a sortimentelor (diametrul mai mare de 50 cm). În Fig. 3.5 sunt prezentate imagini ale structurii lemnului de molid pe cele trei direcții principale obținute la microscopul de laborator, iar în Fig. 3.6 sunt evidențiate diferite defecte care subclasează molidul pentru alte utilizări tehnologice decât instrumentele muzicale (Stanciu, 2007).



**Fig. 3.5.** Structura microscopica a molidului de rezonanta  
(<http://www.woodanatomy.ch/species.php?code=PCAB>)



**Fig. 3.6.** Defecte de structura ale molidului  
(<http://www.woodanatomy.ch/species.php?code=PCAB>)

Modul de debitare, fasonare și sortare a buștenilor, stivuirea, condițiile de depozitare, conservare și uscare a sortimentelor reprezintă alți factori de influență asupra calității lemnului de rezonanță. Reperele sunt obținute prin tăiere radială sau semiradială. În acest sens, încă din faza de debitare a buștenilor în sortimente, este stabilită destinația reperelor, clasa de calitate și așezarea în pereche pentru stivuire (Fig. 3.7.). Perioada de uscare naturală durează de la 3 (5) la 10 (12) ani în funcție de calitatea sortimentelor și a viitorului instrument muzical. Se evită uscarea artificială deoarece regimurile de uscare artificială, chiar și în condiții blânde, creează tensiuni interne și fenomene la nivel microcelular care distrug calitățile acustice ale lemnului de rezonanță (Stanciu, 2007 – [S13]).



**Fig. 3.7.** Modele de debitare a lemnului de rezonanță  
(<http://www.tonewood.ch/fromtreetosoundboard.html>)

S-a constatat, atât din experiența acumulată de-a lungul timpului de către lutieri, cât și prin studiile recente, că un lemn de rezonanță de calitate este unul "îmbătrânit" și uscat natural cel puțin 50 ani (Beldeanu, 2001). Dacă în primii 3 - 10 ani se produce un echilibru higroscopic cu mediul înconjurător, păstrat în continuare în condiții specifice de uscare naturală, în lemn se produc modificări ale structurii cristalografice a celulozei din alcătuirea sa, care vor influența pozitiv sonoritatea lemnului.



Din cercetările realizate, s-au evidențiat o serie de trăsături macroscopice și submicroscopice ce deosebesc lemnul de rezonanță învechit de cel proaspăt doborât:

- Mirosul acid (la o vechime de 150-200 ani);
- Miros de vanilină (lemn cu vechime mai mare de 200 ani);
- Culoare mai închisă – galben-auriu;
- Densitatea mărită;
- Conținut de lignină și hemiceluloze micșorat ;
- Hemicelulozele, sub acțiunea factorilor externi se transforma în oligozaharide solubile în apa fierbinte.

Totodată, studiile experimentale au dovedit că, sub acțiunea îndelungată a forțelor vibratorii ale corzilor, în structura submicroscopică a lemnului se produc modificări ce conduc la stabilizarea altor valori ale proprietăților acustice ale lemnului de rezonanță (Bucur, V., 1980). Conținutul bogat de metale (zinc – de 3, 4 ori, crom – de 2 ori mai mult, argint, cobalt, staniu) la nivelul pereților celulari ai molidului de rezonanță față de cel obișnuit contribuie și el la asigurarea unei viteze superioare de propagare a sunetelor în lemn (Geambașu, 1995).

### **3.2. Comportarea dinamică a plăcilor și structurilor din plăci din componența chitarei**

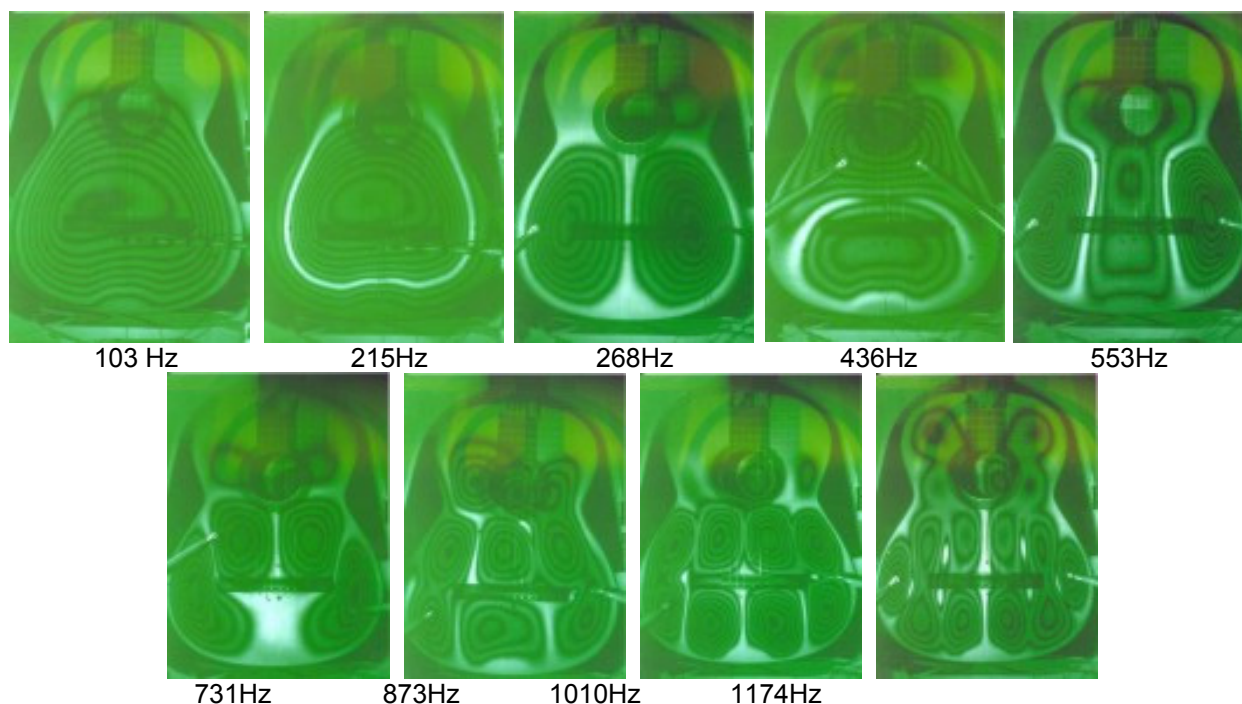
În literatura de specialitate internațională se regăsesc numeroase studii și cercetări științifice referitoare la instrumentele muzicale cu corzi – vioara și chitara. La noi în țară au existat preocupări științifice centrate mai mult pe determinarea caracteristicilor dinamice și acustice ale plăcilor și corpurilor de vioară (Cotta, 1983), realizate în colaborare cu aparatul tehnic de la fabrica de instrumente muzicale, S.C. Hora S.A. Reghin, sub conducerea d-lui director ing. Bâzgan Nicolae. Întrucât tematica cărții vizează chitara clasică, în acest subcapitol este prezentată o analiză critică a stadiului actual al cercetărilor pe acest instrument, fiind punctate în ordine cronologică cele mai relevante studii și rezultate publicate în reviste, edituri sau în baze de date internaționale. Din amplele investigații de informare și documentare, s-a observat că există două nivele de cercetare ale problematicilor privind chitara: cele întreprinse în mod organizat, sistematic în centre de cercetare, bazate pe studii științifice publicate și recunoscute de forurile academice naționale și internaționale din domeniu, și cele realizate de lutieri, în ateliere proprii, pe baza experienței practice, postate pe site-urile proprii de promovare și imagine.

J. Meyer (1982, 1983 a și b) a fost primul cercetător care a obținut rezultate experimentale relevante referitoare la cele mai joase frecvențe de rezonanță ale chitarei, pe care acesta le explică prin legătura dintre modurile proprii ale plăcii de față și aerul din cavitate. Experimentele sale au constatat în măsurarea presiunii sonore utilizând 6 microfoane poziționate în jurul chitarei.



Chitara a fost supusa vibrațiilor forțate prin intermediul unui excitator amplasat în zona cordarului. Răspunsul dinamic al chitarei a fost măsurat în diferite condiții de contur: chitara liberă, corpul chitarei umplut cu spumă poliuretanică și corpul chitarei îngropat parțial sau total în nisip. S-a constatat că în cazul cutiei umplute cu burete, cea mai joasă frecvență de rezonanță a dispărut, iar frecvența corespunzătoare modului 2 a scăzut ușor. În cazul acoperirii chitarei în întregime în nisip, semnalul măsurat a arătat că instrumentul a vibrat doar la frecvențele joase. În cazul îndepărtării stratului de nisip de pe fața chitarei, răspunsul dinamic al acesteia a arătat că valorile frecvențelor sunt aproximativ aceleași cu situația în care chitara a vibrat liber. Meyer (1982) este autorul mai multor experimente din domeniul analizei modale prin care a investigat modurile de vibrație ale feței de chitară ca structură individuală, testând-o pentru diferite condiții de contur.

Numeroase și importante studii au fost realizate pe o perioadă de mai bine de 20 ani la Universitatea Wales din Cardiff. Primul care a început investigațiile în domeniul instrumentelor muzicale cu corzi în cadrul centrului de la Cardiff, a fost Bernard Richardson (1982, 1983, 1984, 1986, 1990, 1994, 1995) care a studiat experimental modurile de vibrație al chitarei în diferite etape constructive. Pentru vizualizarea figurilor Chladni, Richardson a utilizat interferometria holografică, așa cum se observă în Fig. 3.8 - studii de referință în literatura de specialitate.



**Fig. 3.8.** Formele modale și valorile frecvențelor proprii obținute experimental de Richardson (1982)

French M. și Lewis K. (1995) au studiat comportarea dinamică a unei chitare acustice – model Yamaha cu ajutorul unui echipament de măsurare non-contact cu laser bazat pe un Laser Doppler Vibrometru. Autorii studiului propun o interpretare în domeniul liniar a comportării dinamice a chitarei. În cercetările experimentale, aceștia au neglijat existența corzilor, obținând rezultatele prezentate în Tabelul 3.5.

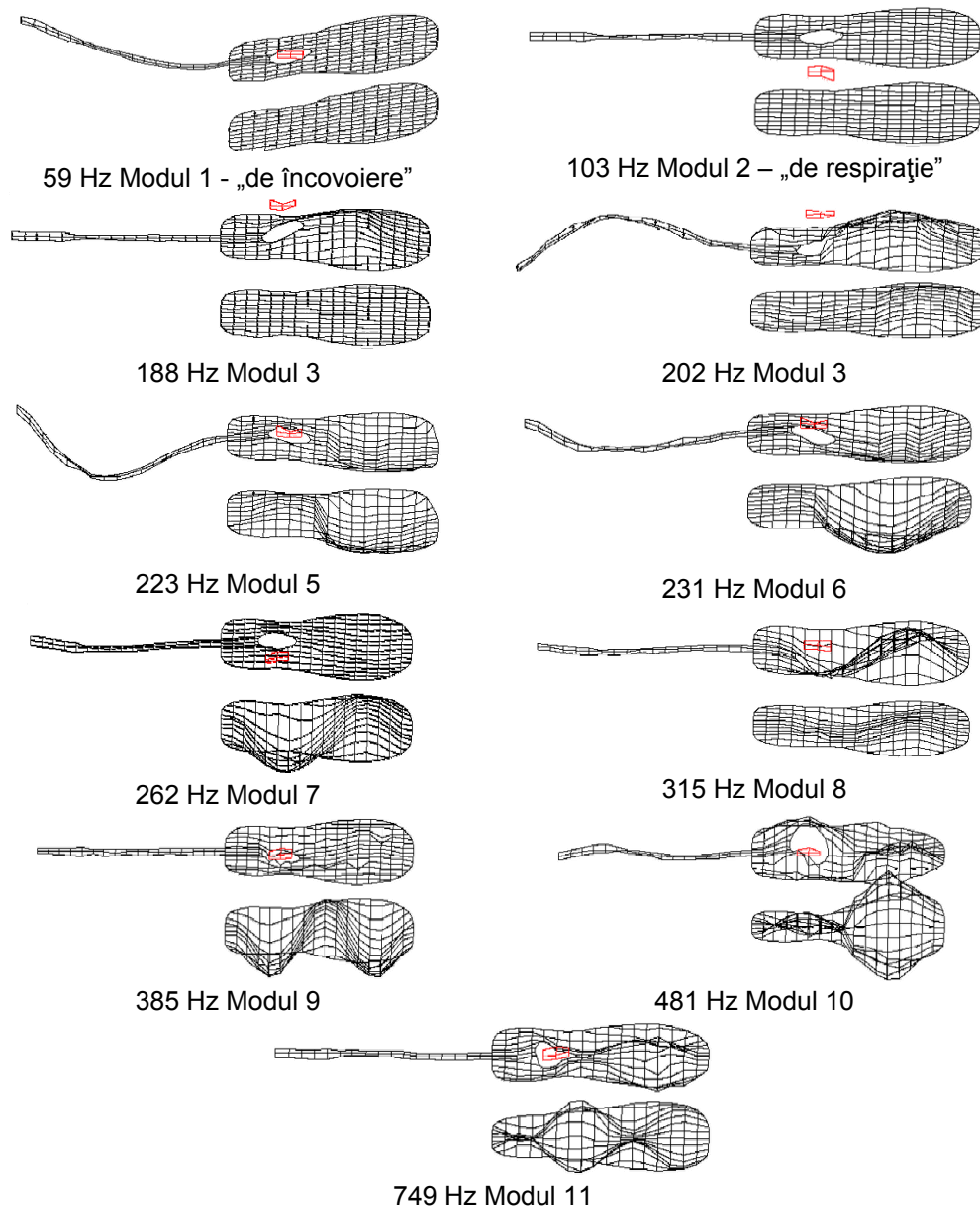
**Tabelul 3.5.**

Valorile frecvențelor proprii primelor 8 moduri de vibrații, obținute de French M. și Lewis K., (1995)

Modul 1	Modul 2	Modul 3	Modul 4	Modul 5	Modul 6	Modul 7	Modul 8
116,5 Hz	224,3 Hz	371 Hz	408 Hz	444 Hz	456 Hz	498 Hz	580 Hz

Wright (1996) a abordat, în cadrul tezei sale de doctorat, legătura dintre proprietățile fizice și acustice ale instrumentelor muzicale și aprecierea subiectivă a calității acustice a sunetelor emise de instrument, cu referire la chitara clasică. Astfel, Wright cercetează modul în care calitatea constructivă, estetică și acustică a chitarei influențează evaluarea instrumentului de către interpret și auditoriu. Cercetările acestuia s-au canalizat pe trei direcții: aspecte legate de mecanica și dinamica chitarei ca sistem complex, aspecte legate de acustica încăperii în care se cântă la chitară și aspecte legate de poziția chitaristului și a sursei sonore (chitara) față de auditoriu. Pentru aceasta, Wright a efectuat trei tipuri de încercări experimentale pe corpul de chitară. În prima etapă a simulat acțiunea corzilor prin intermediul unui cap de impedanță aplicat în zona cordarului în fiecare poziție a celor 6 corzi, iar semnalul de ieșire a fost captat cu un accelerometru Brüel & Kjær. Datele au fost prelucrate, rezultând frecvențele de rezonanță, masa efectivă, factorul de calitate Q, suprafața efectivă și presiunea acustică – determinată cu ajutorul unui microfon plasat în dreptul rozetei. De asemenea au fost determinate modurile de vibrații prin metoda clasică – cu nisip. În a doua etapă a ținut cont de existența corzilor de nylon (testând două tipuri de corzi). Ultimul tip de test - care constituie și cel mai important în cercetările lui Wright, a constatat în testul de audiere bazat pe pragul de sensibilitate acustică a auditoriului aplicând o metodă proprie de investigare bazată pe cele două metode scării multi-dimensionale MDS și metoda diferențelor semantice SD. Testul a constatat în sesizarea de către cei 19 subiecți a diferențelor dintre două sunete și notarea gradului de diferențiere pe o scară de la 0 la 3. Pentru aplicarea testului, au fost schimbați, pe rând, o serie de parametri analizați prin testele anterioare. Studiile realizate de Wright au relevat faptul că masa și suprafața efectivă a corpului de chitară influențează modurile proprii și calitatea acustică a instrumentului. Ca direcții viitoare de investigații, acesta propune studierea modului în care volumul de aer din interiorul corpului de chitară influențează vibrațiile plăcilor de față și spate, la frecvențe înalte.

Russell (1998) (<http://www.kettering.edu/~drussell/guitars/hummingbird.html>) împreună cu echipa sa de cercetători (Paul Pedersen și Pontus Weibull, Wes Haveman, Willis Broden, Zach Hastings), a analizat experimental modurile de vibrație ale mai multor tipuri de chitare și anume: chitara folk tip Gibson, chitara electrică tip Epiphone Coronet, chitara electrică Gibson Explorer 76, chitara electrică Gibson ES-335, înregistrând ca date de ieșire presiunea acustică a aerului din zona rozetei. Pentru chitara folk a realizat modelarea numerică a structurii, utilizând rezultatele experimentale ca date de intrare, care sunt prezentate în Fig. 3.9.

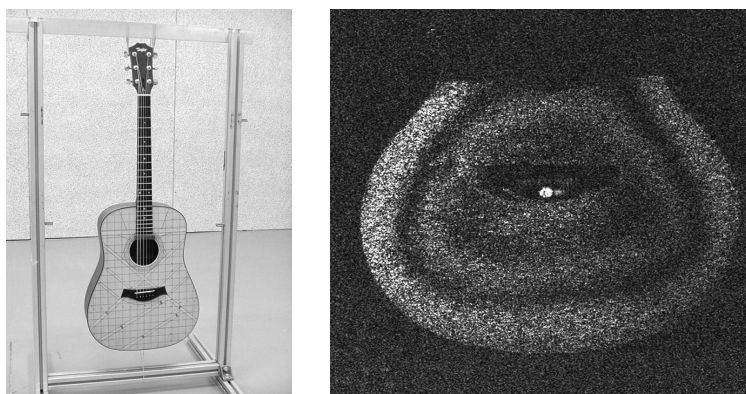


**Fig. 3.9.** Modurile de vibrație ale chitarei folk tip Gibson, modelate de Russell (1998)

French și Hosler (2001) au studiat mecanica instrumentelor cu corzi, dintre care și chitara. Aceștia au determinat experimental răspunsul dinamic al două chitare cu sisteme de bare în X, dar diferite din punct de vedere al modului de ranforsare a gâtului (cu tijă metalică și cu tijă din fibră de carbon).

Pentru determinarea modurilor de vibrație ale chitărelor studiate, French și Hosler au suspendat piesele, astfel încât să poată analiza comportarea întregului corp al chitarei. Structura a fost excitată la frecvențele specifice corzilor libere, iar captarea semnalelor de ieșire s-a realizat atât prin intermediul mini-accelerometrelor și a metodelor optice (Fig. 3.10). Primul mod obținut a fost modul de încovoiere al gâtului, la frecvența de 85 Hz, mod care se regăsește la diferite instrumente similar, variind între 65 și 85 Hz. Al doilea mod de vibrație ce caracterizează corpul chitarei este cel cunoscut în literatura de specialitate ca modul de respirație (după unii, impropriu

numit modul Helmholtz), datorită mișcării în antifază a feței și spatelui de chitară. Frecvența obținută pentru acest mod a fost de 100 Hz, valoare similară cu cea obținută de Rossing (1990) pentru chitara Martin D28, și anume 102 Hz. Valorile specifice acestui mod de vibrație variază în funcție de condițiile de contur impuse de cercetători; astfel aceeași chitară studiată de Rossing dar în condiții de rigidizare a corpului de chitară, prezintă frecvențe mai înalte – de 121 Hz. Pentru al treilea mod de vibrație, în condiții specifice vibrațiilor libere, French și Hosler au obținut valori între 200 și 224 Hz, pe când Rossing (1990) a obținut 193 Hz. În același studiu, cei doi cercetători definesc o serie de caracteristici ale calității acustice a chitarei și anume: radiația sonoră care reprezintă capacitatea chitarei de a emite sunete; claritatea sunetelor – capacitatea chitarei de a reda clar și corect frecvențele corzilor excitate; echilibrul acustic – capacitatea de a emite atât sunetele înalte cât și cele joase; lipsa ecoului – capacitatea unui instrument de a exprima dinamica sunetelor; timbrul – capacitatea instrumentului de a îmbogăți sunetul cu frecvențele proprii ale materialelor din componența instrumentului (lemnul de diferite specii).



**Fig. 3.10.** Modalități de testare a chitarei propuse de French și Hosler (2001)

Alm și Walker (2002) propun trei metode corelate de analiză a frecvenței și înălțimii sunetelor produse de diferite instrumente muzicale (flaut, pian, chitară) pentru aceleași frecvențe de excitație. Cele trei metode de analiză a răspunsului în frecvență abordate de acești cercetători au fost: analiza Fourier, metoda spectrogramei și metoda scalogramei, care prin interpretarea lor corelată au putut oferi o imagine corectă și clară asupra frecvențelor fundamentale și armonicilor celor trei instrumente studiate.

Jansson, E. V. (2002) abordează aspecte legate de modul în care funcționează chitara, principiile care stau la baza emiterii sunetelor de către chitară, structura unei chitare clasice spaniole și calitățile acustice ale chitarei, însoțind explicațiile cu rezultate din literatura de specialitate și investigații proprii. Pentru stabilirea calității acustice a chitarei, Jansson (2002) a realizat un sondaj prin care a stabilit care sunt aspectele ce caracterizează calitatea sonoră a unei chitare. Eșantionul pe care s-a făcut studiul a fost de 9 profesioniști. Astfel, dintre caracteristicile calității acustice pe care auditoriul le-a stabilit, se numără: sunetul de atac (3 din 9), sunet susținut

(9 din 9), domeniul dinamic (3 din 9), sunet echilibrat (5 din 9), timbrul (6 din 9), maleabilitatea timbrului (4 din 9), lungimea sunetului (6 din 9).

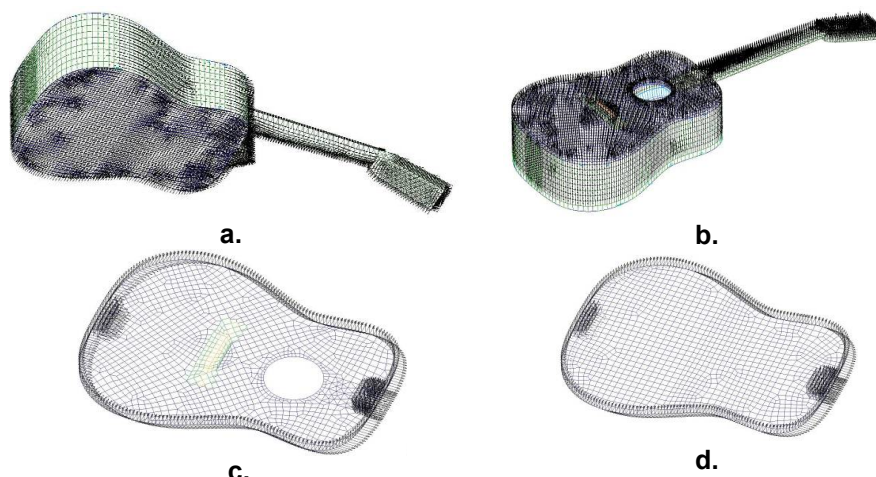
Testele în domeniul psiho-acustic au constatat, pe de o parte în analiza acustică a unui fragment muzical interpretat la diferite tipuri de chitară și evaluarea lui de către subiecți, iar pe de altă parte în analiza acustică cu softuri specializate. Astfel, bazându-se pe studiile lui Meyer, care de asemenea a studiat aspectele acustice ale chitarei clasice, Jansson stabilește că o chitară de calitate, cu un sunet plin se caracterizează printr-o bandă de frecvențe mai mare decât cea cuprinsă în intervalul 80 – 1000 Hz, iar pentru un sunet strălucitor și clar, banda de frecvențe trebuie să fie cuprinsă în intervalul 1000-3000 Hz. Peste această limită, sunetele tind să devină ascuțite și aspre.

Studiile teoretice și practice ale lui Jansson au urmărit și factorii constructivi care contribuie la îmbunătățirea calității acustice a chitarei, analizând modificările dinamice ale plăcilor de chitară în etape diferite ale construcției chitarei. Astfel, s-a constatat că aplicarea cordarului pe placa de față influențează considerabil sensibilitatea plăcii la vibrații, pe când aplicarea barelor de rezonanță influențează mai mult sensibilitatea plăcilor la vibrații de frecvență înaltă, decât în domeniul frecvențelor joase. Plecând de la această idee, Jansson își orientează studiile asupra influenței pe care forma, dimensiunile și poziția cordarului o are pe placa de față a chitarei. Studiul prezentat se finalizează cu o variantă de strategie tehnologică pe care Jansson o propune, plecând de la construcția părților rigide ale chitarei (spate, eclise, gât), ultimul element care ar trebui aplicat fiind cordarul, a cărui formă, dimensiuni și poziție putând fi ajustată în funcție de acustica dorită.

Kempton (2002) a determinat experimental frecvențele de rezonanță ale corpului de chitară acustică tip Gibson J-45 1968, utilizând o placă de achiziție a datelor pe care acesta le-a prelucrat grafic, obținând astfel valorile frecvențelor de rezonanță.

Shaheen P. M. (2004) a analizat comportarea dinamică a chitarei folk tip Martin D-28 în etape diferite de construcție, având ca scop evidențierea influențelor pe care modificările structurale le au asupra frecvențelor proprii și formelor modale ale chitarei supuse investigațiilor. Bazându-se pe date reale, Shaheen a realizat modelarea chitarei cu elemente finite în fazele tehnologice intermediare, simulând răspunsul la vibrații libere a structurii. Softul pe care l-a utilizat a fost I-DEAS 10.

Pentru analiza structurală a părților componente – față, spate, eclise, gât, acesta a apelat la diferite condiții de contur. Astfel, pentru analiza plăcii acustice a încastrat spatele și gâtul; pentru analiza plăcii de spate, a încastrat fața și gâtul. De asemenea, a mai considerat placa de față liberă, încastrată pe contur și placa de spate liberă, dar încastrată pe contur. Restricțiile impuse pentru condițiile de contur pot fi vizualizate în Fig. 3.11.



**Fig. 3.11.** Condițiile de contur ale plăcilor de chitară analizate de Shaheen (2004) în modelarea cu element finit

Rezultatele modelării cu FEM pentru chitara întreagă au fost comparate cu cele obținute experimental, constatându-se diferențe mari cu creșterea frecvențelor, așa cum se poate observa în Tabelul 3.6. Parametrii studiați de Shaheen (2004) au fost: barele de rigidizare, arcuirea plăcii acustice, materialul lemnos utilizat din punct de vedere al densității, modulului de elasticitate longitudinal și al masei.

**Tabelul 3.6.**

Rezultatele experimentale și teoretice obținute de Shaheen (2004)

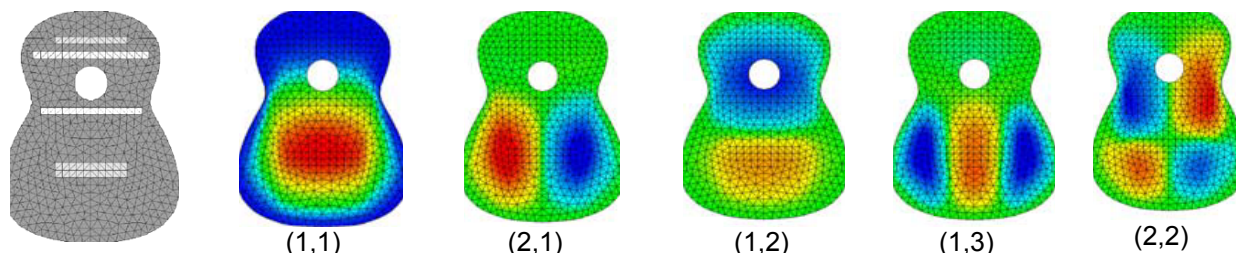
Mod	Frecvența Test (Hz)	Frecvența FEM (Hz)	$\Delta$ (%)	Frecvența Test (Hz)	Frecvența FEM (Hz)	$\Delta$ (%)
(0, 0)	163	162	-0,6%	165	165	0,0%
(0, 1)	276	309	10,7%	257	201	-27,9%
(1, 0)	390	404	3,5%	337	237	-42,2%
(0, 2)	431	503	14,3%	369	266	-38,7%
(1, 1)	643	474	-35,7%	480	282	-70,2%
(0, 3)	733	649	-12,9%	509	273	-86,4%
(2, 0)	756	815	7,2%	602	288	-109,0%

Direcțiile viitoare de cercetare pe care Shaheen le propune se referă la analiza structurală din punct de vedere al conexiunilor dintre mediile solid-fluid ale chitarei, influența creșterii temperaturii corzilor în timpul vibrațiilor asupra răspunsului dinamic al corpului de chitară, analiza răspunsului în frecvența a chitarei solicitate de o vibrație forțată, influența greutateii sistemului de acordare a corzilor asupra greutateii masei dinamice a chitarei.

Becache, Chaigne, Derveaux și Joly (2004) au studiat interacțiunea dintre fluidul din interiorul corpului de chitară și structura solidă a acesteia, prin modelare numerică în domeniul timpului. Modelul propus de Becache implică deplasarea transversală a structurii datorită vibrației corzilor excitate, mișcarea de încovoiere a plăcii de față și radiația acustică în aer. Ipotezele utilizate de aceștia se bazează pe teoria Kirchhoff-Love pentru dinamica plăcilor din materiale ortotrope, iar pentru fenomenele aerodinamice studiate, au aplicat metoda fictivă și schema de conservare a timpului. Cercetările acestora aduc în atenție posibilitatea utilizării domeniului

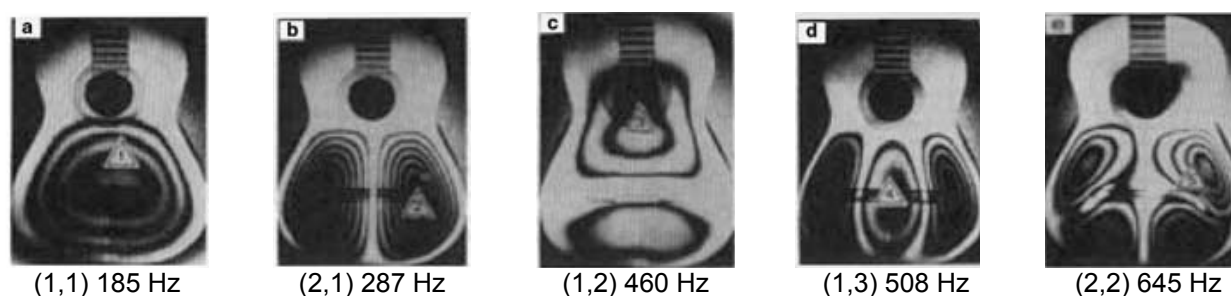


continuu și discret în modelarea numerică, astfel încât simulările să fie cât mai apropiate de realitate.



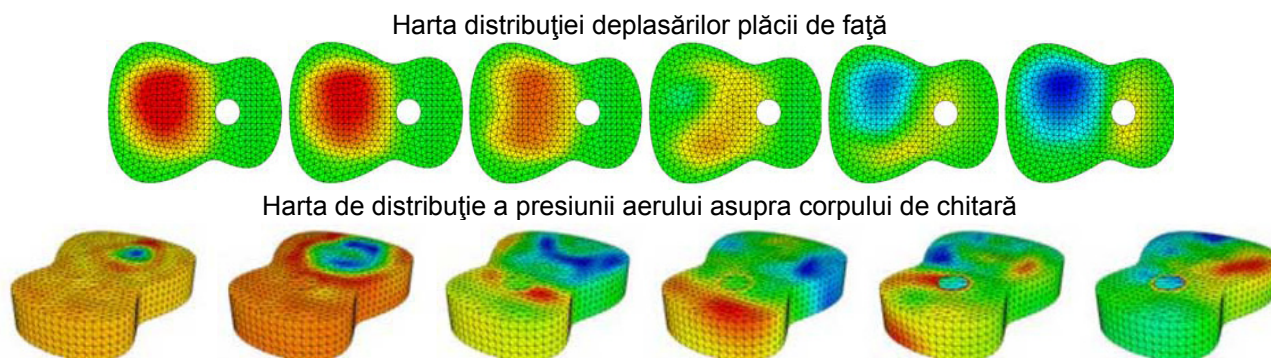
**Fig. 3.12.** Modurile proprii ale chitarei studiate de Becache, Chaigne, Derveaux și Joly (2004)

Părțile componente ale corpului de chitară au fost modelate cu elemente finite triunghiulare tip placă, iar aerul – partea fluidă – a fost discretizată în elemente tip solid de formă paralelipipedică. Astfel aceștia au modelat corpul chitarei cu 3 bare transversale și cordar (Fig. 3.12), utilizând ca date de intrare, valori preluate din literatura de specialitate. Rezultatele obținute de aceștia au fost comparate cu rezultatele experimentale obținute de Jansson (1971) prin metoda interferometriei holografice (Fig. 3.13).



**Fig. 3.13.** Modurile vibratorii ale feței de chitară clasică fixată pe eclise, fără spate, obținute de Jansson (1971)

Modelarea realizată de Becache, Chaigne, Derveaux și Joly (2004) a continuat cu determinarea deplasărilor plăcii de față, a distribuției presiunii acustice în corpul chitarei, rezultate vizibile prin hărțile de tensiuni, deplasări și deformații prezentate în Fig. 3.14. Studiile acestora deschid perspectivele determinării proprietăților acustice ale chitarei în condițiile varierii proprietăților materialelor din componența plăcilor, astfel încât să poată fi anticipată comportarea reală a instrumentului.



**Fig. 3.14.** Rezultatele simulării numerice realizate de Becache, Chaigne, Derveaux și Joly (2004)



Ezcurra, Elejabarrieta și Santamaría (2004) au studiat influența tipului de fluid din interiorul chitarei asupra comportării dinamice a cutiei de rezonanță. Utilizând metoda experimentală de analiză modală și metoda numerică pe baza elementelor finite, aceștia au simulat comportarea dinamică a corpului de chitară pentru diferite gaze din interiorul acesteia, respectiv: aer, heliu și kripton. Astfel, rezultatele studiului lor s-au concretizat în determinarea formelor vibratorii, a frecvențelor proprii și a răspunsului în frecvență. În Tabelul 3.7 sunt prezentate rezultatele centralizate obținute de autorii studiului.

**Tabelul 3.7.**

Valorile frecvenței și factorului de calitate obținute pentru cele trei tipuri de fluide  
(Ezcurra ș.a., 2004)

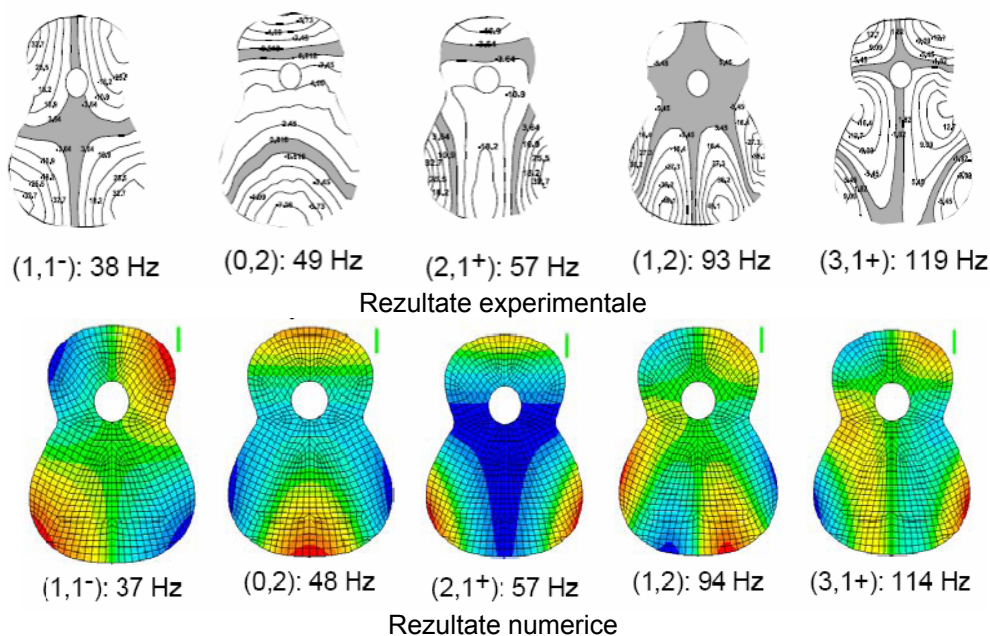
	Helium		Air		Kripton	
	Calculat	Experimental	Calculat	Experimental	Calculat	Experimental
TB (1)	128 Hz	142 Hz, Q=34	91 Hz	101 Hz, Q=25	68 Hz	74 Hz, Q=18
TB (2)	170 Hz	189 Hz, Q=30	162 Hz	108 Hz, Q=31	160 Hz	176 Hz, Q=38
TB (3)	215 Hz	246 Hz, Q=35	210 Hz	239 Hz, Q=37	195 Hz	222 Hz, Q=38
TB (4)	-	-	242 Hz	-	224 Hz	-
TB (5)	287 Hz	296 Hz, Q=20	259 Hz	282 Hz, Q=50	254 Hz	255 Hz, Q=42
TB (6)	292 Hz	333 Hz, Q=37	290 Hz	323 Hz, Q=58	291 Hz	305 Hz, Q=55
TB (7)	352 Hz	391 Hz, Q=28	332 Hz	372 Hz, Q=42	320 Hz	331 Hz, Q=35
TB (8)	396 Hz	439 Hz, Q=22	373 Hz	393 Hz, Q=50	384 Hz	384 Hz, Q=65

În urma cercetărilor efectuate, autorii au ajuns la următoarele concluzii: primele forme vibratorii corespunzătoare frecvențelor joase nu depind de natura fluidului din interiorul corpului de chitară; distribuția presiunii din interiorul cutiei este similară pentru cele trei tipuri de fluide testate - în cazul modului de vibrație de tip Helmholtz, distribuția câmpului de presiune depinde de densitatea fluidului din interiorul structurii; tipul fluidului influențează formele modale și valorile frecvențelor întregului corp de chitară.

Comportarea dinamică a părților individuale ale cutiei (placa de față, placa de spate, laterale) este influențată de interacțiunea lor cu fluidul din interiorul cutiei, din cercetările experimentale a rezultat că factorul de calitate este cel mai mult influențat de natura și proprietățile gazului din interiorul structurii. Direcțiile viitoare de cercetare recomandate de autorii studiului vizează corelarea celor două metode de investigare pentru analiza structurală a corpurilor de chitară cu design diferit.

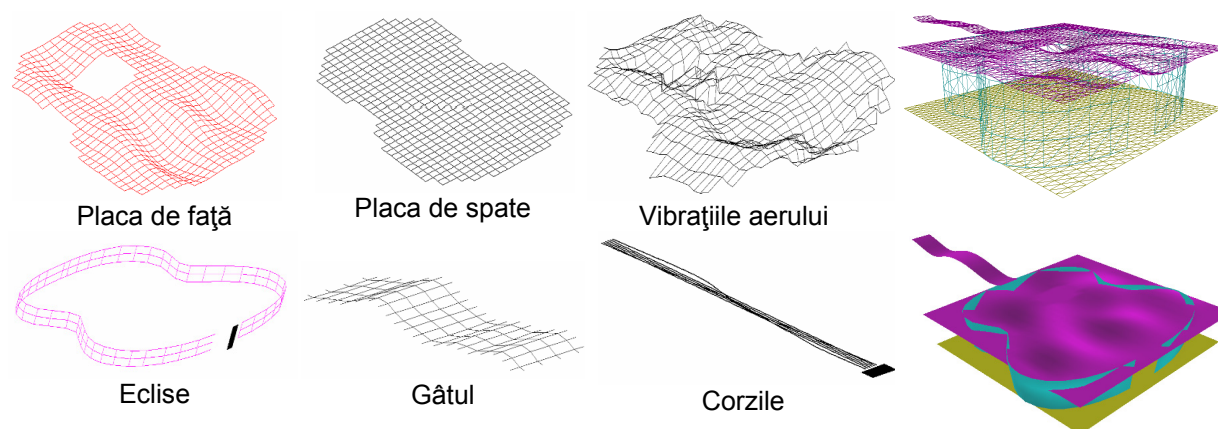
Același grup de cercetători, Elejabarrieta, Ezcurra și Santamaria (2007) au studiat răspunsul dinamic al chitarei în diferite etape tehnologice de calibrare și șlefuire a plăcilor de față și spate din corpul de chitară clasică, ajungând la concluzia că reducerea grosimii plăcilor duce la scăderea rigidității acestora și mai puțin a masei lor. Diminuarea grosimii influențează valorile frecvențelor proprii în sensul micșorării lor, fără a afecta formele vibratorii. În Fig. 3.15 sunt prezentate rezultatele cercetărilor teoretice și experimentale realizate de aceștia pe plăcile simple de chitară. După adăugirea barelor de rezonanță, s-a constatat o creștere evidentă a valorilor frecvențelor proprii datorate creșterii rigidității plăcilor. Elejabarrieta, Ezcurra și Santamaria (2007) au determinat prin modelare și simulare numerică și modul în care plăcile corpului de chitară

vibrează atât în situația în care este neglijat fluidul din interiorul cutiei, cât și în cazul existenței acestuia și implicit a rolului pe care fluidul din cutie îl are asupra comportării dinamice a chitarei.



**Fig. 3.15.** Formele vibratorii ale plăcii de față ale chitarei clasice supuse vibrațiilor libere obținute de Elejabarrieta, Ezcurra și Santamaria (2007) prin metode analitice și numerice

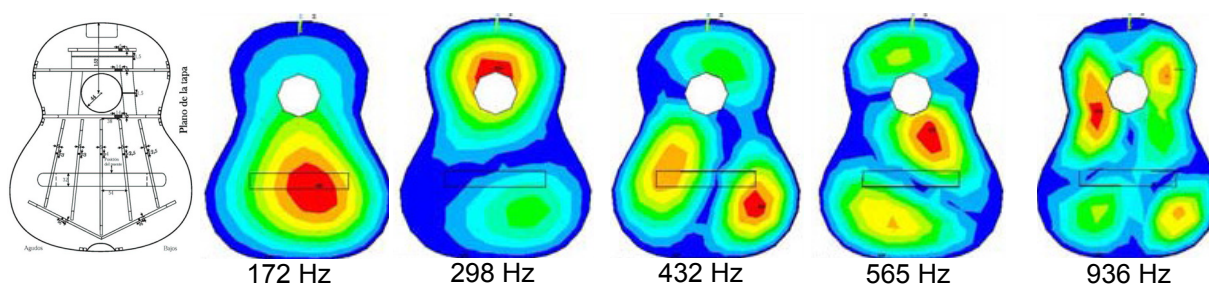
Bader (2005) propune în cartea *Computational Mechanics of the Classical Guitar*, o nouă abordare teoretică asupra acusticii instrumentelor muzicale, bazată pe analiza fenomenelor tranzitorii și a simulării acestora pe instrumentele muzicale. Pentru introducerea acestui concept în simulările matematice, Bader realizează modelarea chitarei prin metoda diferențelor finite, ceea ce, în opinia lui Bader, ar conduce la rezultate mult mai apropiate de realitate. În acest sens, Bader își dezvoltă teoria cu ajutorul softului – Musical Transient Modeling Software (MTMS), realizând astfel o serie de simulări (Fig. 3.16).



**Fig.3.16.** Secvențe din timpul rulării programului MTMS (Bader, 2005)

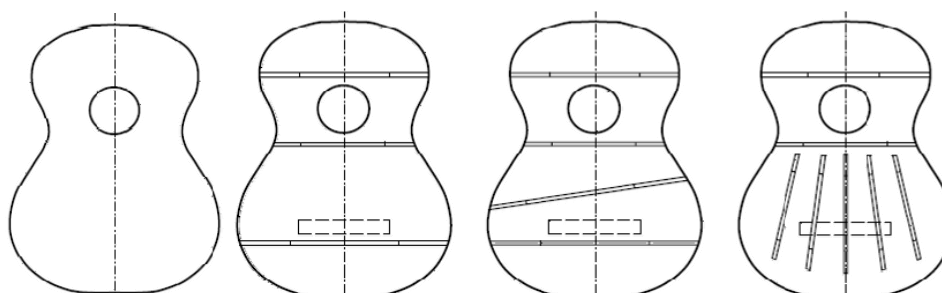
Torres Torres, J., A., Boullosa, R. Ruiz (2006) au investigat o nouă metodă de determinare a modulului de elasticitate longitudinal al plăcilor de chitară prin metode experimentale, matematice și numerice plecând de la determinarea frecvențelor proprii și de rezonanță ale plăcilor.

Torres Torres, J., A. (2006) realizează analiza modală a feței de chitară clasică de tipul celei din Fig. 3.17, utilizând softul ANSYS versiunea 5.5.1. Elementele finite utilizate pentru discretizarea plăcii au fost de tip tetraedru cu 10 noduri. În urma analizei modale, au rezultat formele vibratorii și frecvențele proprii ale plăcii pe care Torres le-a comparat cu cele obținute de S.V. Shlychkov (2001).



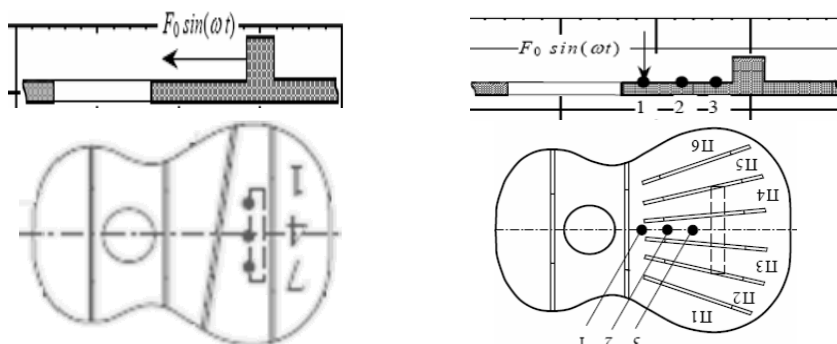
**Fig. 3.17.** Formele modale obținute prin analiză numerică de Torres, 2006

Serghei Vladimirovici (2006) și-a orientat studiile în teza de doctorat asupra analizei structurale a corpurilor de chitară produse în Rusia. Structurile studiate de Vladimirovici (2006) sunt prezentate în Fig. 3.18. Acesta a urmărit: analiza cu element finit a structurilor considerate, analiza factorilor care influențează comportarea dinamică a corpului de chitară, încercări experimentale pentru determinarea caracteristicilor acustice ale structurilor de chitară considerate, prin varierea poziției punctului de aplicație al forței și direcției de excitație a structurii, varierea grosimii plăcii (Fig. 3.19).



**Fig. 3.18.** Tipuri de sisteme de rigidizare ale fețelor de chitară studiate de Serghei Vladimirovici (2006)

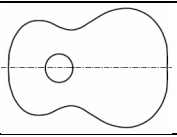
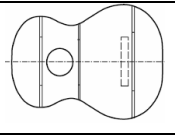
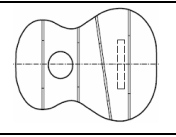
În Tabelul 3.8 sunt prezentate rezultatele analizei numerice realizate de Vladimirovici (2006) pentru trei din variantele studiate. Creșterea grosimii plăcii de față cu 0,5 mm a dus la creșterea frecvențelor cu 10...20%, iar rigidizarea plăcii acustice cu bare de rezonanță a dus de asemenea la o creștere a frecvențelor cu 10...20 %.



**Fig. 3.19.** Variante de poziționare a forței de excitație armonică pe placa de față, studiate de Vladimirovici (2006)

**Tabelul 3.8.**

Valorile frecvențelor proprii obținute prin modelare numerică de Vladimirovici (2006)

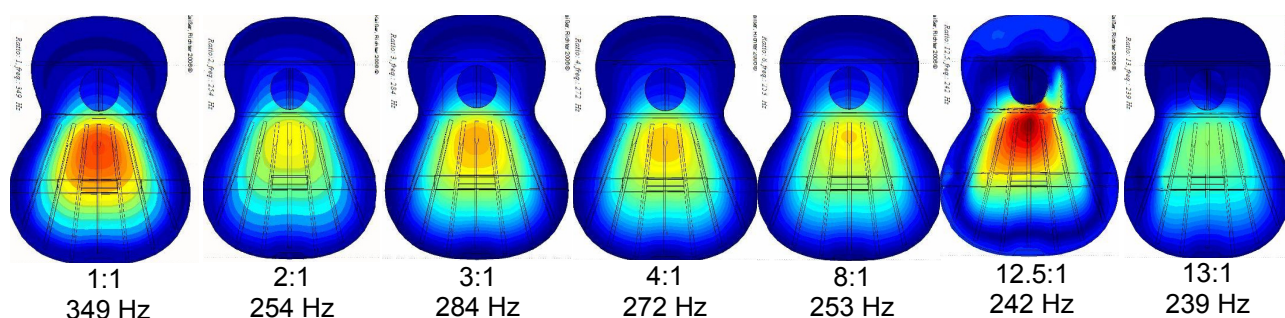
			
$f_1$	88	104	118
$f_2$	126	191	237
$f_3$	187	260	262
$f_4$	221	378	385
$f_5$	225	417	424
$f_6$	292	466	529
$f_7$	310	493	555
$f_8$	382	566	632
$f_9$	402	591	724
$f_{10}$	416	726	816

Inta Ra (2007) a studiat în cadrul tezei de doctorat chitara acustică (pentru corzi metalice), analizând teoretic și experimental caracteristicile materialelor din componența părților constructive ale chitarei, transformările răspunsului dinamic ale structurilor analizate cu creșterea sau diminuarea masei și rigidității lor. O atenție deosebită a acordat-o formei și calității materialelor din structura barelor de rezonanță. Numeroasele sale investigații experimentale s-au realizat pe trei corpuri de chitară diferite din punct de vedere al lemnului de rezonanță utilizat. Asemeni celorlalți cercetători, Inta (2007) a constatat că cea mai mare influență asupra modurilor vibratorii o are existența cordarului pe fața chitarei, fapt pentru care el propune ca și cordarul să fie analizat ca o parte componentă a structurii, asemeni sistemului de bare. O altă observație a acestuia este legată de prezența gâtului de chitară, datorită căruia se formează un prim mod de vibrație la frecvențe joase (60 Hz) – identificat și de alți cercetători, ca fiind modul propriu de încovoiere al gâtului.

Finisajul – nitrocelulozic în cazul analizat de Inta – nu influențează foarte mult răspunsul dinamic al chitarei, constatându-se doar o scădere mică a valorilor frecvențelor proprii. Dimensiunile și forma barelor de rezonanță influențează cu precădere comportarea dinamică a chitarei la frecvențe mai mari de 650 Hz. Comportarea plăcilor ca structuri individuale diferă

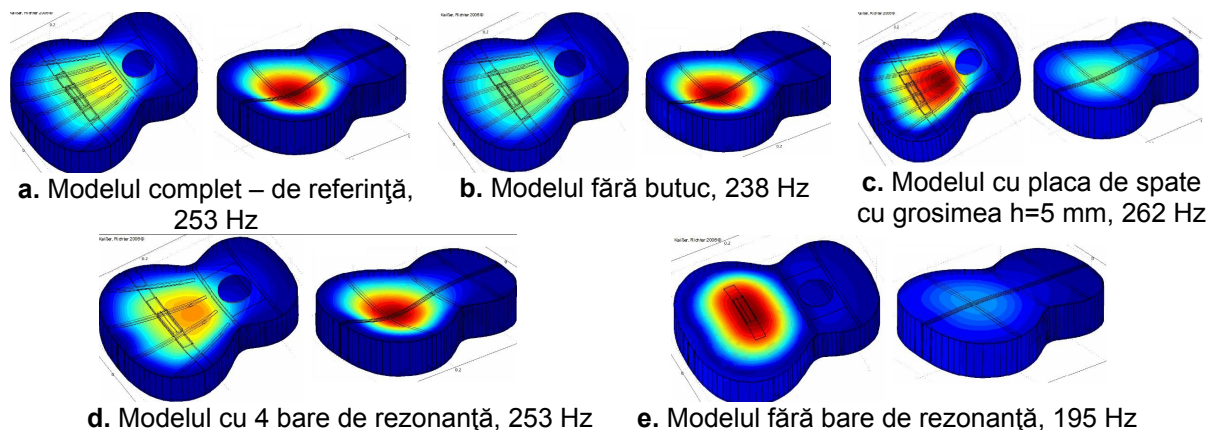
esențial de cea a plăcilor încorporate în cutia acustică a chitarei. Grosimea neuniformă a plăcii acustice prin reducerea acesteia în diferite zone constituie un parametru esențial al calității acustice a chitarei.

Kaißer, Gregor, Richter, Jan, (2007) au studiat influența elementelor de rigidizare și a proprietăților materialelor anizotrope asupra frecvențelor proprii și a formelor modale prin modelarea numerică a corpului de chitară clasică. În Fig. 3.20 sunt prezentate formele modale și valorile frecvențelor obținute de Kaißer și Richter (2007) pentru diferite rapoarte dintre modulul de elasticitate longitudinal în direcție paralelă cu fibra și în direcție perpendiculară pe fibră ale molidului de rezonanță. Analiza modală, pentru parametrii utilizați de autori, a arătat că, mărirea raportului dintre modulele de elasticitate duce la forme vibratorii mai puțin clare și exacte, precum și la o variație a valorilor frecvenței proprii. Comparând formele modale cu cele din literatura de specialitate, Kaißer și Richter (2007) au continuat investigațiile teoretice utilizând ca raport optim cel de 8:1.



**Fig. 3.20.** Formele vibratorii ale primului mod de vibrație obținute pentru diferite rapoarte ale modulelor de elasticitate longitudinală ale plăcii de față Kaißer și Richter (2007)

Astfel, aceștia au urmărit în a doua etapă a investigațiilor, influența elementelor de rigidizare a plăcilor din componența cutiei acustice a chitarei asupra comportării dinamice a acesteia. Pentru aceasta, Kaißer și Richter (2007) au modelat corpul de chitară în diferite variante (corpul complet prevăzut cu toate elementele interioare, corpul fără butuci, corpul fără bare de rezonanță, cu bare de rezonanță). În Fig. 3.21 sunt prezentate formele modale obținute de Kaißer și Richter (2007) în urma analizei modale pentru primul mod de vibrație, în cazurile considerate.



**Fig. 3.21.** Rezultatele analizei modale prin metode numerice obținute de Kaißer și Richter (2007)



Concluziile la care au ajuns aceștia se rezumă la faptul că anizotropia materialul plăcii de față influențează formele vibratorii și valorile frecvențelor proprii, sistemul de bare – ca număr și poziție – influențează comportarea dinamică la frecvențe înalte; la cele joase acestea nu duc la diferențe considerabile ale frecvențelor proprii și ale formelor vibratorii, modelarea cu elemente finite oferă o imagine aproximativă față de realitate, fiind necesare investigații experimentale.

Sumi și Ono (2008) au realizat modelări și simulări privind posibilitatea utilizării materialelor compozite în construcția chitarei folk. Investigațiile acestora au presupus testarea a trei tipuri de chitare construite de același lutier, diferite prin designul sistemului de bare și a materialului plăcii. Experimentul a constatat în analiza răspunsului chitarelor la excitarea în zona cordarului cu ciocanul de impact. Semnalele prelucrate cu funcția de transfer în frecvență au constituit date de referință și comparație pentru modelarea cu elemente finite a unor structuri similare, dar din materiale compozite. Aceștia au ajuns la concluzia că utilizarea materialelor compozite duce la obținerea unei structuri cu caracteristici asemănătoare celor din lemn de rezonanță numai în condițiile suplimentării numărului de bare și poziționării acestora în anumite moduri, așa cum se poate observa în Fig. 3.22 B și C.

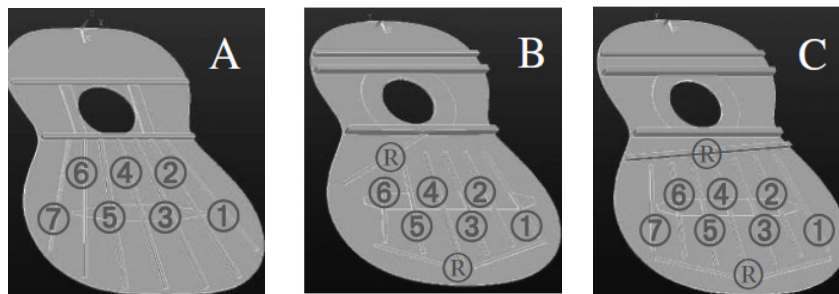


Fig. 3.22. Tipuri de structuri de plăci analizate de Sumi și Ono, (2008)

Pe lângă cercetările științifice privind comportarea dinamică a chitarei – ca structură complexă, în prezent există preocupări mai mult de natură practic-intuitivă de optimizare a chitarei din punct de vedere constructiv, vizând diferite elemente constructive ale chitarei.

Astfel, Achim Peter Gropius ([http://www.gropius.de/intro\\_en.html](http://www.gropius.de/intro_en.html)) propune optimizări ale cordarului ca formă, unghi corzi-înălțător, ca mod de prindere a corzilor, designul înălțătorului ș.a. așa cum se observă în Figurile 3.23 și 3. 24.

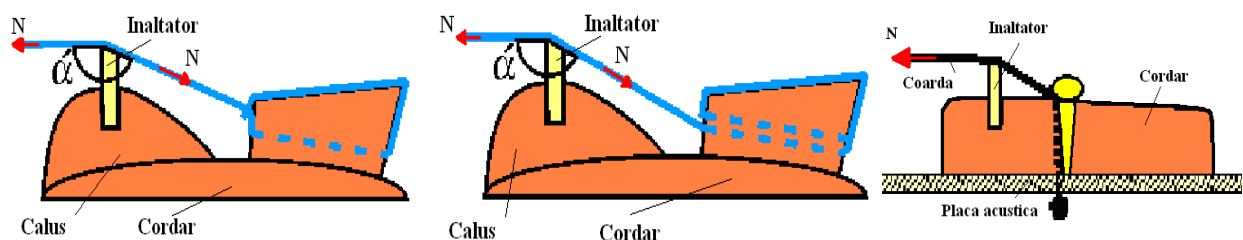


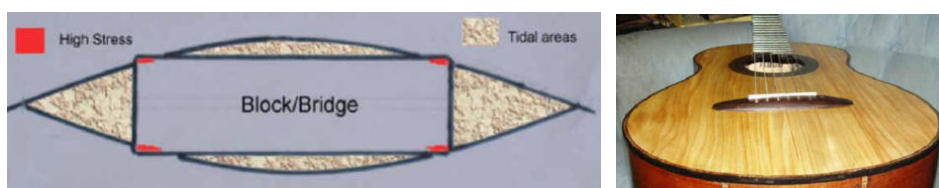
Fig. 3.23. Variante de cuplare corzi-cordar propuse de Gropius ([http://www.gropius.de/intro\\_en.html](http://www.gropius.de/intro_en.html))





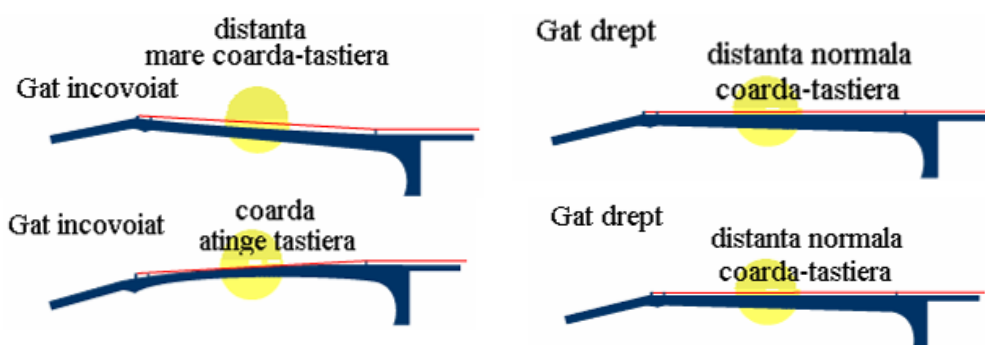
**Fig. 3.24.** Variante constructive de fixare a corzilor pe cordar și înălțător  
([http://www.gropius.de/intro\\_en.html](http://www.gropius.de/intro_en.html))

John Alden Robinson (<http://maliposamusic.com/OptiGuitarBridg.htm>) modifică forma cordarului în vederea reducerii tensiunilor dezvoltate între cordar și placă datorită forței de excitație și tensionare a corzilor (Fig. 3.25).



**Fig. 3.25.** Forma optimizată a cordarului propus de J. A. Robinson,  
(<http://maliposamusic.com/OptiGuitarBridg.htm>)

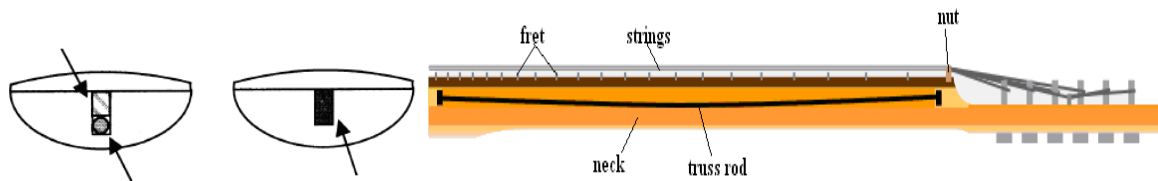
Alți cercetători au vizat rigidizarea gâtului prin realizarea unei structuri ranforsate cu tije metalice de tensionare, fixe sau reglabile, din lemn de esență tare, oțel, fibre de carbon, fibre de sticlă, având ca scop diminuarea sau eliminarea defectelor de tipul celor din Figura 3.26. Gordis (<http://www.ukuleles.com/Technology/neck.html>) a realizat un studiu privind calculul de rezistență la încovoiere a gâtului de ukulele și de chitară, determinând axa neutră a tensiunilor produse în secțiunea gâtului.



**Fig. 3.26.** Variante ale deformatelor structurii gâtului, după Gene Imbody  
([http://www.athensmusician.net/archive/2001-05-01\\_geneimbody1.shtml](http://www.athensmusician.net/archive/2001-05-01_geneimbody1.shtml))

Aceste tije au diferite secțiuni și modalități de manipulare. Ele sunt realizate din materiale ușoare care nu modifică masa structurii. Acestea acționează static astfel: poziția tijelor în secțiunea transversală modifică poziția axei neutre astfel încât echilibrează tensiunile de întindere și compresiune (Fig. 3.27).

Din punct de vedere mecanic, majoritatea tijelor reglabile sunt tensionate prin printr-un sistem șurub-piuliță (Fig. 3.28).



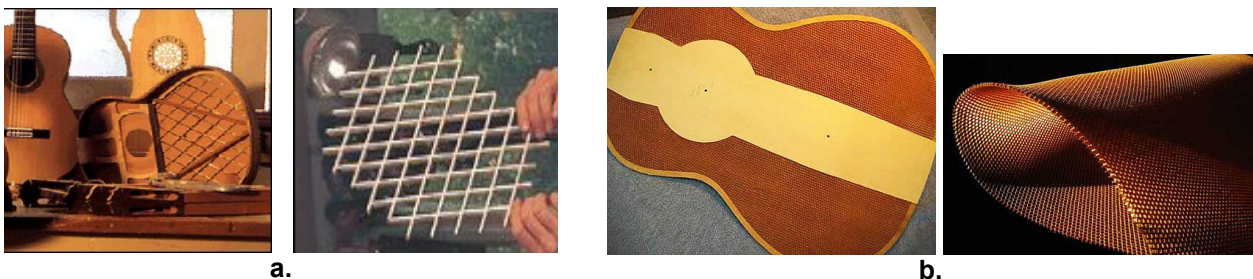
**Fig. 3.27.** Secțiunea transversală și longitudinală a gâtului de chitară în zona ranforsată  
([http://en.wikipedia.org/wiki/Truss\\_rod](http://en.wikipedia.org/wiki/Truss_rod), <http://www.warmoth.com/guitar/necks>)



**Fig. 3.28.** Tipuri de tije de ranforsare a gâtului (<http://www.frets.com>)

Referitor la optimizarea plăcilor acustice din structura cutiei de chitară, există o varietate de soluții brevetate care îmbină elementele moderne cu cele tradiționale. Modelele propuse de diferiți lutieri păstrează cerințele geometrice ale chitarei clasice aducând nou, fie materialul barelor de rigidizare (din fibră de carbon), fie modul de dispunere a barelor, numărul acestora, dimensiunile și forma lor, grosimea mică a plăcii de față pe toată suprafața ei sau numai în anumite zone.

Prin utilizarea barelor din materiale cu rigiditate ridicată și îmbinarea lor asemănătoare cu o țesătură, lutierul Jim Redgate (Australia - <http://www.redgateguitars.com/>) propune valorificarea lemnului de rezonanță din clasa 1A și 2A de calitate, lemn moale, poros. Îmbinarea plăcii caracterizată prin elasticitate mare cu elemente de ranforsare caracterizate prin complianțe mici, conferă plăcii și implicit cutiei de chitară un răspuns dinamic foarte bun în raport cu calitatea lemnului și a costurilor de material. În același timp se obține o chitară cu masă redusă, ceea ce este de dorit din raționamente ergonomice. Modelul propus de Jim Redgate este prezentat în Fig. 3.29, a.



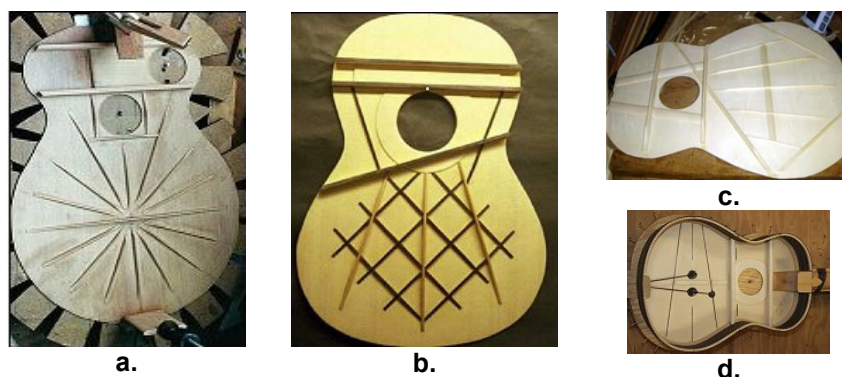
**Fig. 3.29.** Variante optimizate de sisteme de ranforsare a plăcilor acustice  
(<http://www.redgateguitars.com/>)

Lutierul Fritz Mueller (Germania) ([www.classicalguitars.ca](http://www.classicalguitars.ca)), inspirat de încercările predecesorilor săi Dammann și Gernot Wagner, propune o inovație în utilizarea materialelor

plăcilor de chitară și a structurii acestora, și anume așa numita “față dublă” – un compozit de tip sandwich format dintr-un strat subțire cu structură honey-comb aplicat pe interiorul plăcii acustice a chitarei, având atât rolul de rigidizare a plăcii cât și menținerea proprietăților de rezonanță ale feței. Astfel, Fritz Mueller stabilește o nouă relație dintre masa și rigiditatea plăcii pentru îmbunătățirea calității acustice și creșterii rezistenței în timp (Fig.3.29, b).

Adrian Lucas (U. K.) (<http://www.newmillguitar.com/newlucas.html>) aduce un nou mod de dispunere a barelor așa cum se observă în Fig. 3.30. a, precum și o geometrie aproximativ circulară a părții superioare a cutiei. Aprecierile luterilor referitoare la modelul propus de Lucas sunt pozitive, evaluând sunetele emise de această chitară ca fiind puternice și melodioase. Modul de așezare a celor 16 bare are ca efect rigidizarea plăcii acustice în centrul ei și flexibilitate mare spre eclise. Această ranforsare asigură o inerție suficient de mare în timpul vibrațiilor, o bună ancorare a cordarului de placă și o rigidizare în lungul fibrelor.

Dean Harrington (SUA) (<http://www.newmillguitar.com/newlucas.html>) realizează un model mixt de bare din lemn și fibră de carbon, îmbinând modul de dispunere tradițional (cu 3 bare radiale) cu unul modern în genul celui propus de Redgate. Sistemul de bare produce ranforsarea zonei centrale, lăsând liberă suprafața de jur împrejurul ei, spre marginile plăcii (Fig. 3.30, b). Chitara obținută prezintă un sunet puternic, acut și colorat, așa cum își doresc interpreții.



**Fig. 3.30.** Variante optimizate de sisteme de ranforsare a plăcilor acustice (Lucas, Harrington, Robinson) (<http://www.newmillguitar.com/newlucas.html>)

Paul Robinson (<http://www.newmillguitar.com/newlucas.html>) păstrează placa din molid, fără inserții din alte materiale, dorind conservarea sunetelor date de lemnul pur, însă pentru creșterea rigidității plăcilor propune modelul de bare din fibre de carbon, ilustrat în Figura 3.30. d. Varietatea modurilor de ranforsare a fețelor de chitară este foarte mare, fiind prezentate doar câteva dintre cele mai semnificative. Cert este faptul că modelele optimizate trebuie să echilibreze nu doar cerințele de ordin acustic, ci și cele de ordin economic și tehnologic.

În literatura românească, preocupări privind construcția, structura și tehnologia fabricării instrumentelor muzicale cu cutie sonoră din lemn, se înregistrează în perioada anilor 1960-1990, prin cercetători precum: Cotta (1983), Beldie (1965), Ghelmeziu (1961), Pescăruș, Vaida (1958) și alții. Studiile lor s-au îndreptat cu precădere spre vioară, și mai puțin asupra chitarei, însă contribuțiile lor sunt deosebite prin faptul că atât metodele cât și principiile de testare a plăcilor și

corpului format din plăci al viorii poate fi adaptat pentru corpul de chitară. În cartea *Proiectarea și tehnologia fabricării produselor industriale din lemn* elaborată de Cotta 1983, există un capitol dedicat instrumentelor muzicale, în care sunt prezentate metodele de testare și determinarea a caracteristicilor acustice ale plăcilor vibrante și ale cutiilor sonore din construcția viorii, utilizate la acel moment.

### 3.3. Concluzii, comparații, probleme incomplet studiate

Din stadiul actual al cercetărilor, se constată că studiile experimentale și teoretice în acest domeniu sunt numeroase și vaste, cu precădere în literatura internațională. Pe plan național se înregistrează doar câteva studii științifice referitoare la caracteristicile lemnului de rezonanță utilizat în construcția instrumentelor muzicale, cercetări concrete privind mecanica, dinamica și acustica chitarelor fiind inexistente în literatura românească. Fiecare cercetător sau grup de cercetători a încercat să surprindă aspecte complexe, dar în condițiile unor date de intrare foarte exacte.

Astfel, se observă că diversitatea studiilor realizate până în prezent rezidă fie în *varietatea obiectivelor și tematicilor urmărite*, fie în *metodele teoretice și experimentale de investigare* utilizate, fie a *ipotezelor și a parametrilor luați* în calcul. Din punct de vedere tematic, se constată că majoritatea a studiat un anumit tip de chitară (clasică, acustică, electrică, folk, western) în evoluția sa constructivă, fapt pentru care rezultatele obținute nu pot fi generalizate pentru întreaga gamă de chitare; alții au studiat corelația dintre fenomenele dinamice și cele acustice care se dezvoltă în cazul chitarei; alte studii au urmărit determinarea acelor parametri care sunt hotărâtori în comportarea dinamică și acustică a chitarei, alte preocupări s-au canalizat spre stabilirea calității acustice a chitarei prin teste psiho-acustice cu subiecți umani. Din punct de vedere al metodelor utilizate, se observă că acestea sunt atât în concordanță cu evoluția echipamentelor și softurilor la momentul cercetărilor, fie în funcție de posibilitățile financiare ale centrului de cercetare.

Cert este faptul că datorită complexității fenomenelor, a anizotropiei materialelor lignocelulozice, a procedeelor tehnologice de fabricație, a tipurilor de structuri care contribuie la formarea sunetului muzical al chitarei, există încă aspecte necercetate sau foarte puțin atinse în studiile realizate până în prezent.

Aspectele științifice neexplorate încă în studiul mecanicii, dinamicii și acusticii chitarei clasice vizează pe de o parte cercetări de același nivel de generalitate orientate pe părțile componente ale chitarei, iar pe de altă parte vizează studii de profunzime și finețe orientate pe calitate materialelor, conexiunile interdisciplinare, fenomenele de tip cauză-efect.

**Problemele incomplet studiate sau neabordate** până în prezent se referă la:

- comportarea dinamică a plăcilor de chitară din specii diferite – experimental;
- comparații între formele vibratorii, ale plăcilor cu nervurații diferite;
- comparații între răspunsul dinamic al plăcilor cu sisteme de rigidizare diferite;

- modelarea numerică a plăcilor cu nervurații diferite;
- modelarea numerică a corpurilor de chitară cu diferite sisteme de rigidizare a feței;
- determinarea frecvențelor proprii și a formelor modale prin metoda elementului finit a structurilor de chitară cu tipo-dimensiunile specifice românești;
- determinarea comportării dinamice a diferitelor tipuri de corpuri de chitară clasică produse în România, la fabrica de instrumente muzicale;
- analiza modală comparativă a formelor vibratorii ale plăcilor ca structuri individuale cu cele ale plăcilor încorporate în cutia acustică a chitarei;
- determinarea săgeții și a efortului de încovoiere ale gâtului de chitară în timpul solicitărilor ciclice;
- determinarea caracteristicilor acustice ale chitărelor în urma solicitărilor ciclice prin investigații specifice reologiei lemnului;
- simularea prin metode numerice a fenomenelor termice, acustice, statice și dinamice dezvoltate în timpul utilizării chitarei;
- investigații științifice privind aplicarea unor sisteme de rigidizare noi ca materiale, formă, dimensiuni, structură;
- determinarea statistică a parametrilor acustici corelați cu speciile lemnoase utilizate în construcția corpului de chitară;
- cercetări privind influența erorilor tehnologice asupra calității acustice a chitărelor;
- cercetări privind influența finisajului asupra acusticii instrumentului muzical;
- cercetări privind stările de tensiuni, deformații și deplasări din structura chitarei, în etape diferite de utilizare (imediat după fabricare, după o perioadă de utilizare, după o perioadă de neutilizare);
- cercetări experimentale privind modificările proprietăților acustice ale lemnului și corpului de chitară în urma unor solicitări constante și de același tip ș.a.



# 4

## TENDINȚE ACTUALE ÎN CERCETAREA ȘTIINȚIFICĂ A CHITAREI CLASICE

Prezenta lucrare abordează elemente de cercetare fundamentală din domeniul *Nanoștiințe și nanotehnologii, materiale și noi procese de producție*, sub-ariile tematice 4.2, 4.3 – *Materiale și producții noi, cu aplicații inter și transdisciplinare*, investigând un domeniu extrem de sensibil și complex referitor la *creșterea performanțelor acustice ale chitarei clasice prin modelarea, simularea și optimizarea formei, structurii și materialului în funcție de caracteristicile acustice* pe care structurile din plăci trebuie să le dețină.

Domeniul studiat are aplicații interdisciplinare și multidisciplinare, vizând aspecte din:

- *domeniul ingineriei mecanice* – prin studierea fenomenelor mecanice statice, cinematice, dinamice și reologice ale structurilor din plăci supuse la solicitări ciclice;
- *domeniul termo-fizicii* – prin fenomenele aerodinamice care se dezvoltă în interiorul corpului de chitară;
- *domeniul industrializării lemnului* – materialele de bază fiind lemnul și compozitele lignocelulozice (placaj, lemn stratificat densificat, MDF, plăci tip sandwich) care prin proprietățile lor contribuie la formarea timbrului și tonalității instrumentului muzical. Un aspect important în cadrul acestor cercetări este faptul că obiectul studiului – chitarele clasice – sunt produse finite românești realizate în serie la fabrica de instrumente muzicale S.C. Hora S.A. România, cu materie primă - lemn de rezonanță și specii indigene;
- *domeniul acusticii muzicale* – prin conexiunea dintre acustica structurilor studiate și acustica sălilor de concerte sau a spațiilor izolate fonic;
- *domeniul psiho-acustic* – prin implicațiile pe care subiectul uman (chitaristul și auditoriul) îl au asupra calității acustice și estetice ale chitarei.

În această carte sunt abordate teoretic și experimental cercetări privind creșterea performanțelor acustice ale chitarei clasice de producție românească, urmărindu-se aspecte precum :

1. Evoluția structurii și caracteristicilor acustice, mecanice și elastice ale chitarei;
2. Analiza critică a stadiului actual al cercetărilor având ca obiect de investigație chitara;
3. Modelarea analitică a structurilor din plăci compozite lignocelulozice supuse la solicitări ciclice;

4. Modelarea și simularea prin metode numerice a comportării mecanice și dinamice a plăcilor și structurilor din plăci lignocelulozice compozite cu caracteristici fizice, mecanice și elastice diferite, utilizate în componența chitarei clasice;
5. Cercetări experimentale privind comportarea dinamică a structurilor din plăci lignocelulozice compozite din construcția chitarei clasice. Studiul influenței diferiților factori asupra caracteristicilor acustice ale chitarei prin:
  - a. Determinarea experimentală a comportării dinamice a plăcilor de chitară la vibrații forțate;
  - b. Analiza răspunsului dinamic al plăcilor de chitară ca structuri individuale;
  - c. Determinarea comportării dinamice a corpurilor de chitară;
  - d. Optimizarea formei și structurii pe baza condițiilor de calitate acustică impuse în construcția chitărelor clasice;

Fiecare obiectiv general a fost atins prin intermediul unor obiective specifice cercetării realizate, acestea fiind prezentate în capitolele aferente.



# 5

## MODELAREA ANALITICĂ ȘI NUMERICĂ A STRUCTURILOR DIN PLĂCI DIN COMPONENTA CHITAREI CLASICE

Capitolul 5 prezintă cercetările teoretice privind modelarea plăcilor și structurilor din plăci din construcția chitarei clasice. Având ca bază de pornire teoria mecanicii și dinamicii plăcilor, a vibrațiilor mecanice precum și modelele analitice ale plăcilor și corpurilor de chitară elaborate de teoreticienii din domeniu (Christensen și Vistisen, 1980, 1984, Rossing, 1988), investigațiile au urmărit o serie de obiective specifice cum ar fi: stabilirea tipurilor de materiale și variantelor geometrice și structurale ale plăcilor de chitară din materiale compozite lignocelulozice, identificarea tipurilor de solicitări statice, ciclice și dinamice, modelarea prin metode analitice a structurilor din plăci la solicitări statice și dinamice, analiza dinamică prin metode numerice a corpurilor de chitară și compararea rezultatelor cu cele din literatura de specialitate, identificarea factorilor ce influențează răspunsul dinamic al chitarei.

Acest studiu se împarte în două componente de cercetare: pe de o parte analiza critică asupra modelelor teoretice ale chitarei (pe elemente componente) existente în literatura de specialitate, iar pe de altă parte o componentă proprie, cu elemente originale, de modelare analitică și numerică a diferitelor structuri vizate în studiu.

### **5.1. Modelarea analitică a plăcilor din componenta corpului de chitară**

#### **5.1.1. Considerații generale privind structurile geometrice din componenta chitarei și tipurile de solicitări**

Fiind o structură complexă, modelarea chitarei necesită identificarea părților componente din punct de vedere al modelului geometric reprezentat de acestea, a sistemului de sarcini care acționează asupra lor, precum și a legăturilor mecanice dintre structuri și mediul ambiant. Astfel, în componenta chitarei se găsesc aproximativ toate tipurile de modele geometrice identificate de rezistența materialelor, și anume: fire – reprezentate prin sistemul de corzi, plăci – reprezentate de plăcile din componenta corpului acustic, bara – reprezentată de gâtul chitarei, corpuri masive – reprezentate de diferite elemente cum sunt: cordarul, butucii și tocul de chitară (Fig. 5.1.). Dintre toate tipurile de modele geometrice, obiectul investigațiilor teoretice și experimentale îl constituie structurile din plăci cu grade de complexitate diferită, cu sisteme de rigidizare variate.

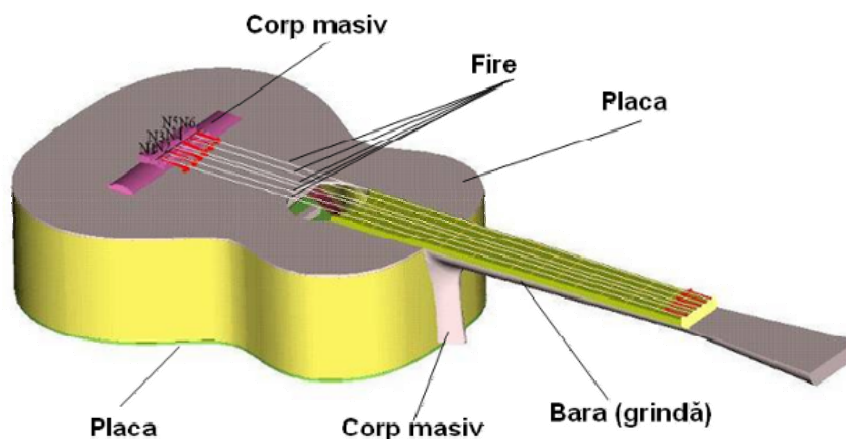


Fig. 5.1. Modele geometrice din componența chitarei

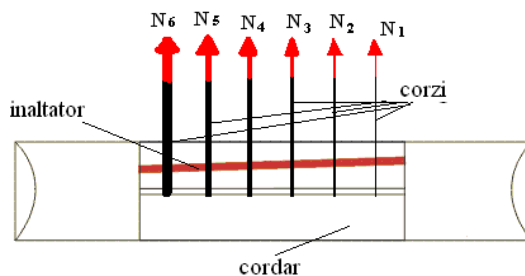
După natura lor, sarcinile care acționează asupra structurii chitarei sunt *forțele active* provenite din greutatea proprie a structurii, din corzile tensionate, din variația ciclică a forțelor armonice ale corzilor în timpul cântatului ș.a.) și cele din *legături* - rezultate din legăturile dintre elementele componente ale chitarei și din legăturile mecanice dintre chitară și chitarist. Din punct de vedere al variației spațiale, sarcinile sunt *repartizate*, iar după modul de acționare, structura este solicitată de *forțe statice* date de tensiunile din corzile acordate și *forțe dinamice periodice armonice* produse de vibrațiile corzilor în timpul cântatului.

Din punct de vedere mecanic, chitara poate fi redusă la o structură formată dintr-o *bară în consolă* reprezentată de gâtul chitarei, încastrată în structura cutiei sonore; aceasta din urmă poate fi considerată o *structură de tip „vas cu pereți subțiri”*. Sistemul de corzi prin intermediul căruia se exercită tensiuni asupra celor două componente este un sistem de fire simple și complexe.

Tensiunea corzilor produce *încovoierea și torsiunea gâtului, a plăcii de față și a cutiei sonore* a instrumentului. Acest lucru se datorează următorilor factori:

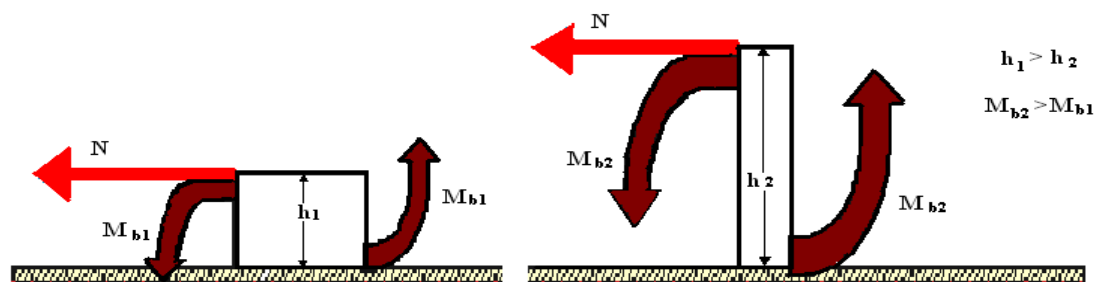
- ✚ modul de dispunere a corzilor pe cordar;
- ✚ grosimile și materialele diferite ale celor șase corzi;
- ✚ tensiunile statice specifice fiecărei corzi;
- ✚ tensiunile variabile dezvoltate în corzi prin schimbarea lungimii de coardă vibrantă prin apăsarea corzii pe tastieră în timpul cântatului;
- ✚ forțele de excitație a corzilor care supun structura la solicitări ciclice periodice.

Tensiunea din corzi variază în funcție de materialul și diametrul corzilor. Corzile sunt tensionate pentru producerea celor șase tonuri cu frecvențele cunoscute (Fig.5.2.):  $N_6$  – 82,4 Hz (notată în muzică Mi - E<sub>2</sub>),  $N_5$  – 110 Hz (notată în muzică La - A<sub>2</sub>),  $N_4$  – 146,83 Hz (notată în muzică Re - D<sub>3</sub>),  $N_3$  – 196 Hz (notată în muzică Sol - G<sub>3</sub>),  $N_2$  – 246,9 Hz (notată în muzică Si - B<sub>3</sub>)  $N_1$  – 329,2 Hz (notată în muzică Mi - E<sub>4</sub>).



**Fig. 5.2.** Distribuția diferită a eforturilor axiale din corzi

Pentru obținerea sunetelor muzicale corespunzătoare notelor muzicale, gâtul chitarei este împărțit prin elemente metalice în 12 segmente variabile ca lungime și lățime, numite gradații. Acestea pe de o parte permit orientarea cântărețului pentru producerea corectă a sunetelor muzicale, iar pe de altă parte au rolul de a obține lungimile de coardă corespunzătoare armonicilor sunetului fundamental. Doar în situații deosebite, chitarele prezintă mai mult de 24 gradații pe tastiera; celor 24 de gradații corespund 24 semitonuri respectiv două octave, astfel încât gama frecvențelor fundamentale variază între 80-1320 Hz.



**Fig. 5.3.** Tensiunea axială din corzi și momentul încovoietor generat în cordar și placa sonoră

Corzile se calculează din punct de vedere static numai la tracțiune. Datorită rezemării pe cordar, forțele din coardă generează încovoierea plăcii de față, a corpului și a gâtului de chitară. În funcție de soluțiile constructive ale cordarului, respectiv distanța de la coardă la placă ( $h_1$  sau  $h_2$ ), momentele de încovoiere și torsiune sunt mai mari sau mai mici (Fig. 5.3.).

### 5.1.2. Solicitarea statică a structurii chitarei

Ținând cont de structura și dimensiunile reale ale chitarei (Fig. 5.4.), s-a elaborat structura modelului teoretic al chitarei pentru solicitări statice conform Fig. 5.5, considerându-se următoarele ipoteze simplificatoare: cutia sonoră este modelată ca un cadru închis static nedeterminat; gâtul este o bară în consolă rigidizată de cadru și cadrul închis prezintă tronsoane cu module de rigiditate diferite.

S-au identificat tronsoanele principale ale structurii analizate, pentru fiecare determinându-se modulele de rigiditate la încovoiere  $E_k I_k$  ( $E_k$  - modulul de elasticitate,  $I_k$  - momentul de inerție al secțiunii față de axa neutră, iar  $E_k I_k = R_{ik}$ ,  $R_{ik}$  - modulul de rigiditate a structurii  $k$ ) în funcție de specia lemnoasă utilizată și de dimensiunile structurilor considerate.



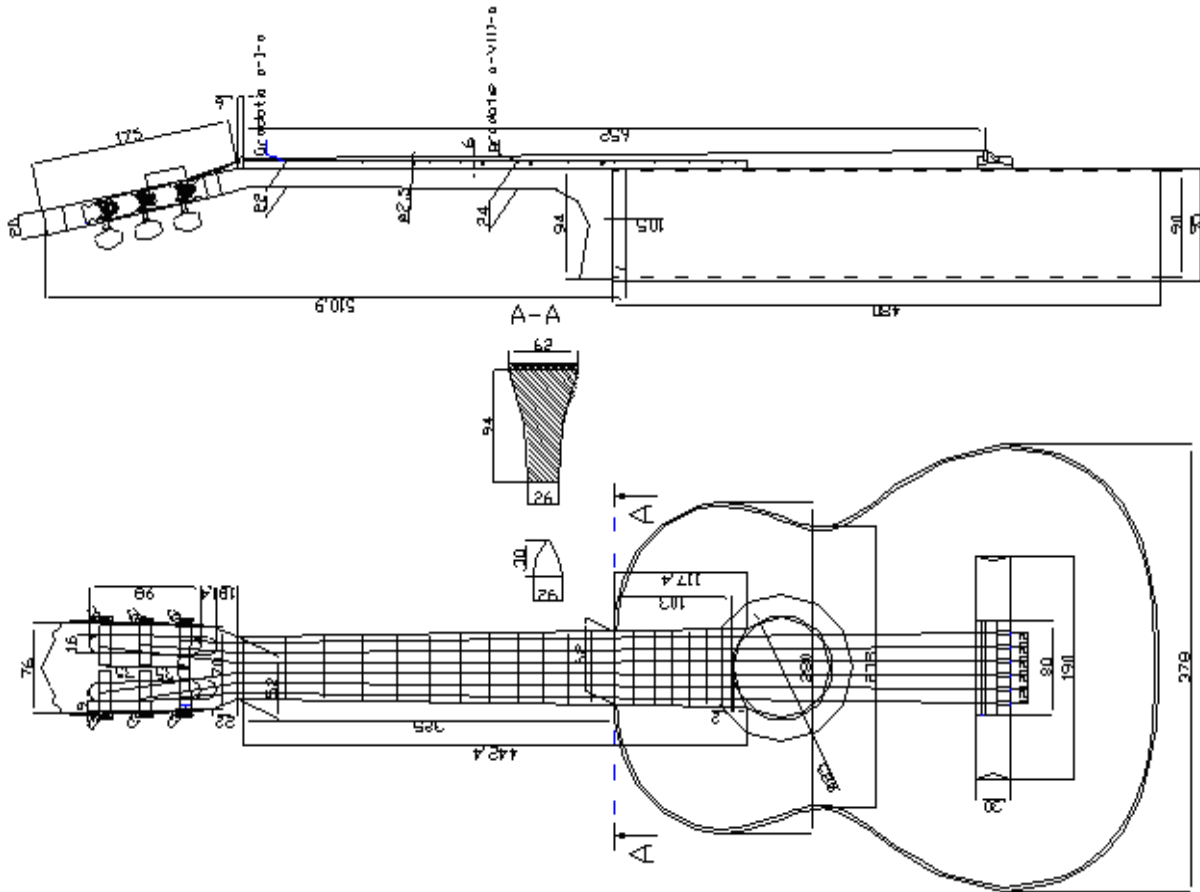


Fig. 5.4. Chitara clasica 4/4 – model fabrica Reghin

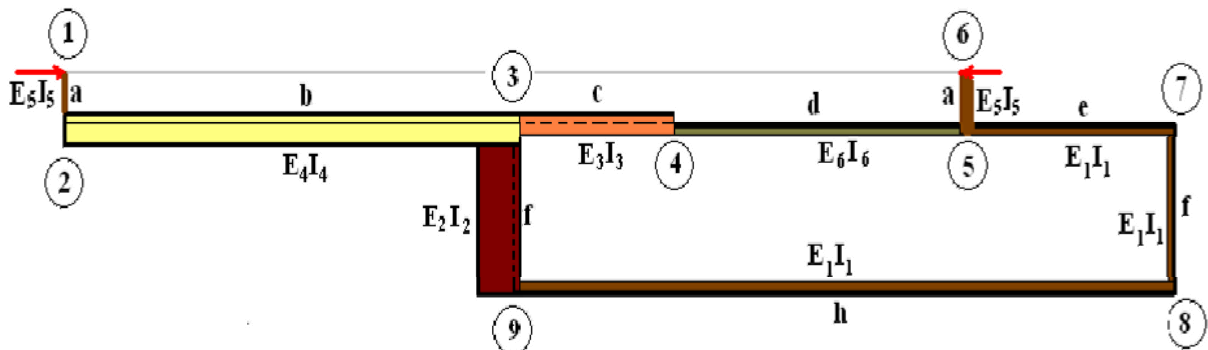
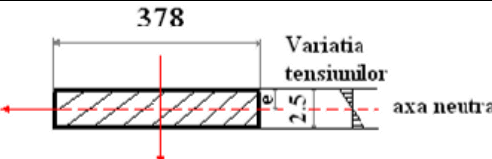
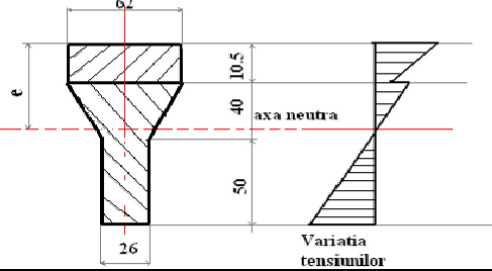
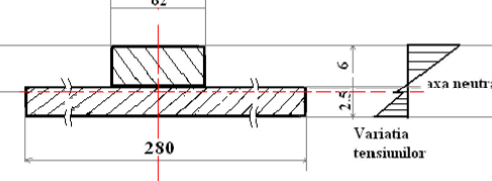
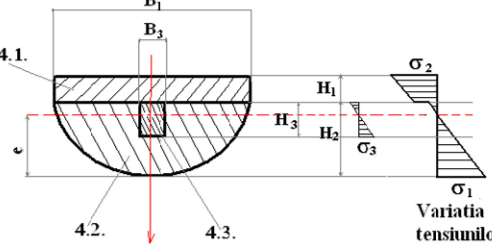
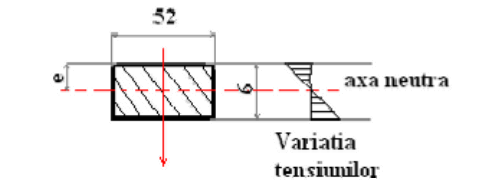
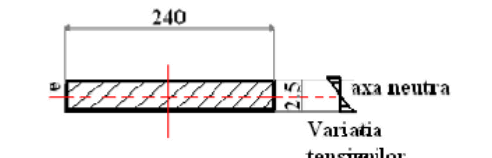


Fig. 5.5. Schematizarea geometrica a chitarei (Curtu, Stanciu ș.a., 2007 –[C20])

S-au calculat modulele de rigiditate, respectiv rigiditatea și poziția axei neutre pentru fiecare tronson considerat (Curtu, 1999). În Tabelul 5.1. sunt prezentate cele 6 tronsoane identificate, forma secțiunii, natura materialului, valorile lui  $E_k I_k$  și variația tensiunii normale. Acestea au fost calculate pe baza dimensiunilor reale ale elementelor componente și cunoscând proprietățile materialele din care sunt realizate.

Tabelul 5.1.

Caracteristicile tronsoanelor din structura chitarei			
Nr. Tronson	Secțiunea	Poziția axei neutre $e[mm]$	Rigiditatea $R_{ik}[Nmm^2]$
1		$e=1,25 \text{ mm}$	$R_{i1}=403 \cdot 10^4$
2		$e=43,83 \text{ mm}$	$R_{i2}=6318746,34 \cdot 10^4$
3		$e=6,12 \text{ mm}$	$R_{i3}=6989,22 \cdot 10^4$
4		$e=12,89 \dots 13,25$ $B_1=102 \text{ mm}$ $B_3= 8 \text{ mm}$ $H_1= 6 \text{ mm}$ $H_2= 18 \text{ mm}$ $H_3= 8 \text{ mm}$	$R_{i4}=14057,275E_1+16$ $416,32E_2+1238,44E_3$ 4.1- salcâm sau abanos; 4.2-fag, paltin sau mesteacăn; 4.3-salcam, fibră de sticlă, fibră de carbon sau oțel;
5		$e=3 \text{ mm}$	$R_{i5}=1404 \cdot 10^4$
6		$e=1,25 \text{ mm}$	$R_{i6}=403 \cdot 10^4$

Plecând de la ipotezele considerate, s-a modelat analitic o variantă geometrică de bază, după care s-au obținut seturi de modele prin varierea caracteristicilor de material (module de elasticitate, module de rigiditate, rigiditate). Sistemul static nedeterminat (Fig. 5.6.) este solicitat de forțele de tensionare a corzilor cu valori cuprinse în intervalul  $F=46 \dots 76 \text{ N}$  și care produc momentul de încovoiere  $M_0=F \cdot a$  (în care  $a$  – reprezintă înălțimea cordarului și a prăgușului, variind între  $1 \dots 10 \text{ mm}$ ). Pentru ridicarea nedeterminării, s-a stabilit sistemul de bază (Fig. 5.7. a) și sistemul

static echivalent (Fig. 5.7.b), apoi s-au trasat diagramele corespunzătoare metodei forțelor ( $M_i$ ,  $m_{i1}$ ,  $m_{i2}$ ,  $m_{i3}$ ) (Fig. 5.7. c, d și e) (Curtu, Stanciu, ș.a., 2007 – [C20], Stanciu, 2009 [S25]).

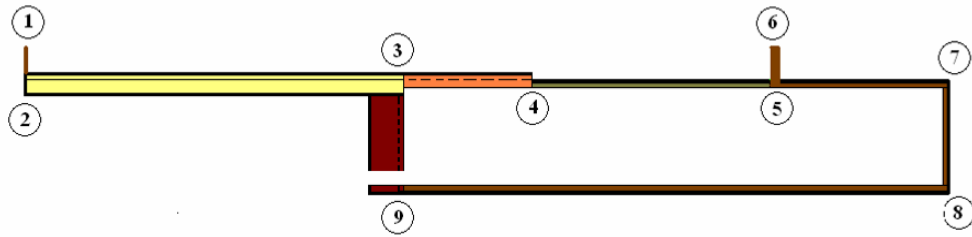


Fig. 5.6. Sistemul de bază

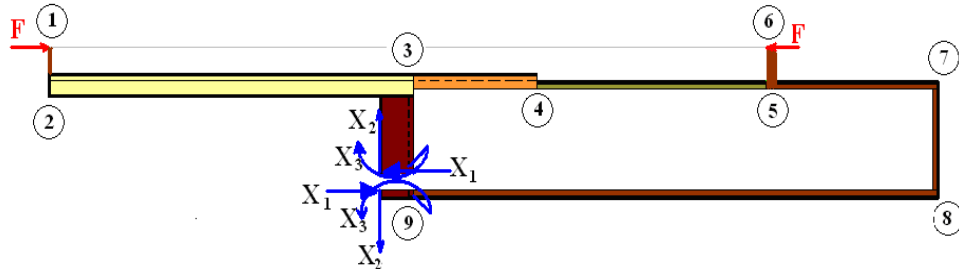


Fig. 5.7. a. Sistemul static echivalent

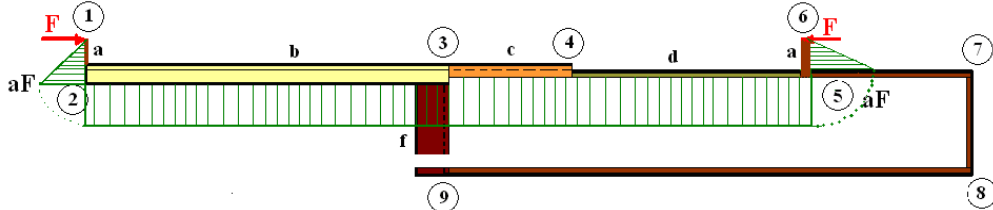


Fig. 5.7. b. Diagramele de momente  $M_i$

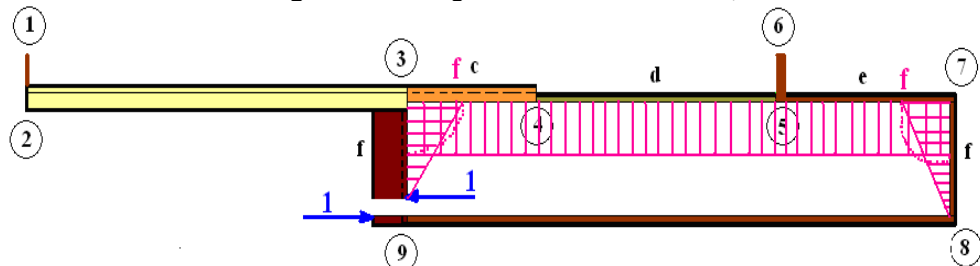


Fig. 5.7. c. Diagrama de momente  $m_{i1}$

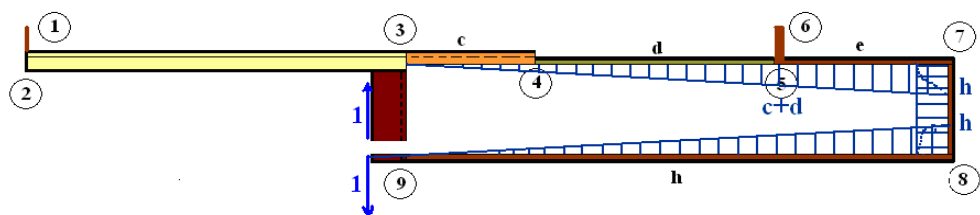


Fig. 5.7. d. Diagrama de momente  $m_{i2}$

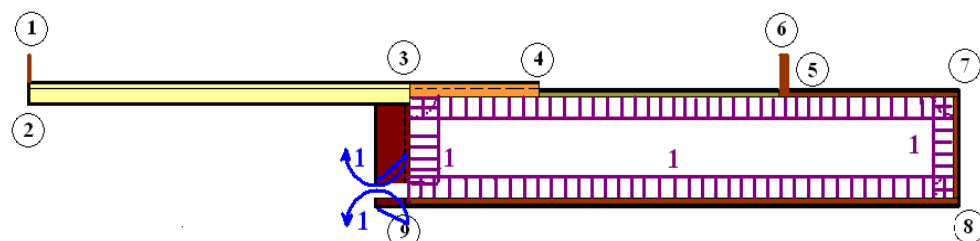


Fig. 5.7. e. Diagrama de momente  $m_{i3}$

Ecuatiile canonice ale metodei forțelor sunt:

$$\begin{aligned}\delta_{11}X_1 + \delta_{12}X_2 + \delta_{13}X_3 + \Delta_{1F} &= 0 \\ \delta_{21}X_1 + \delta_{22}X_2 + \delta_{23}X_3 + \Delta_{2F} &= 0 ; \\ \delta_{31}X_1 + \delta_{32}X_2 + \delta_{33}X_3 + \Delta_{3F} &= 0\end{aligned}\quad (5.1)$$

unde  $\delta_{11}, \delta_{22}, \delta_{33}$  și  $\delta_{12} = \delta_{21}$ ,  $\delta_{13} = \delta_{31}$ ,  $\delta_{23} = \delta_{32}$ , precum și  $\Delta_{1F}, \Delta_{2F}, \Delta_{3F}$  sunt coeficienții de influență.

Cu metoda Vereșceaghin (Curtu, 1999) s-au calculat coeficienții de influență, respectiv:

$$\delta_{11} = \frac{1}{R_2} \left[ \frac{1}{2} f * f * \frac{2}{3} f \right] + c * f^2 * \frac{1}{R_3} + \frac{1}{R_6} * d * f^2 + \frac{1}{R_1} * f * e; \quad (5.2)$$

Înlocuind valoric, rezultă:

$$\begin{aligned}\delta_{11} &= \frac{1}{R_1} * 95^2 * 237 + \frac{1}{R_2} * \frac{95^3}{3} + \frac{1}{R_3} * 118 * 95^2 + \frac{1}{R_6} * 125 * 95^2 \\ \delta_{11} &= \frac{1}{R_1} * 2.139 * 10^6 + \frac{1}{R_2} * 0.286 * 10^6 + \frac{1}{R_3} * 1.065 * 10^6 + \frac{1}{R_6} * 1.128 * 10^6\end{aligned}\quad (5.3)$$

$$\begin{aligned}\delta_{22} &= \frac{1}{R_1} \left[ \frac{1}{2} h * h * \frac{2}{3} h + h^2 * f \right] + \frac{1}{2} c * c * \frac{2}{3} * c * \frac{1}{R_3} + \frac{1}{R_6} \left[ c * d * \frac{2c+d}{2} + \frac{1}{2} d^2 (c + \frac{2}{3} d) \right] + \\ &+ \frac{1}{R_1} \left[ (c+d) * e * \frac{1}{2} (c+d+h) + \frac{1}{2} e(h-c-d)(c+d + \frac{2}{3} (h-c-d)) \right] \\ \delta_{22} &= \frac{1}{R_1} * 100.436 * 10^6 + \frac{1}{R_3} * 0.548 * 10^6 + \frac{1}{R_6} * 4.236 * 10^6\end{aligned}\quad (5.4)$$

$$\begin{aligned}\delta_{33} &= \frac{1}{R_2} 1^2 * f + \frac{1}{R_3} * 1^2 * c + \frac{1}{R_6} * 1^2 * d + \frac{1}{R_6} (e * 1^2 + 1^2 * f + 1^2 * h) \\ \delta_{33} &= \frac{1}{R_2} * 0.000095 * 10^6 + \frac{1}{R_3} * 0.000118 * 10^6 + \frac{1}{R_6} * 0.000125 * 10^6 + \frac{1}{R_1} * 0.000812 * 10^6\end{aligned}\quad (5.5)$$

$$\begin{aligned}\delta_{12} = \delta_{21} &= \frac{1}{R_1} \left[ \frac{1}{2} * f * f * h + f * e * \frac{1}{2} (c+d+h) \right] + \frac{1}{R_6} * d * f * \frac{1}{2} (c+c+d) + \frac{1}{R_3} * \frac{1}{2} * c * f * \frac{1}{2} * c \\ \delta_{12} = \delta_{21} &= \frac{1}{R_1} * 10.237 * 10^6 + \frac{1}{R_6} * 2.144 * 10^6 + \frac{1}{R_3} * 0.331 * 10^6\end{aligned}\quad (5.6)$$

$$\begin{aligned}\delta_{13} = \delta_{31} &= \frac{1}{R_2} * f * 1 * \frac{f}{2} + \frac{1}{R_3} * 1 * c * f + \frac{1}{R_6} * 1 * d * f + \frac{1}{R_1} \left( 1 * e * f + 1 * f * \frac{f}{2} \right) \\ \delta_{13} = \delta_{31} &= 0.004512 * 10^6 * \frac{1}{R_2} + \frac{1}{R_3} * 0.01121 * 10^6 + \frac{1}{R_6} * 0.011875 * 10^6 + \frac{1}{R_1} * 0.027027 * 10^6\end{aligned}\quad (5.7)$$

$$\delta_{23} = \delta_{32} = \frac{1}{R_1} \left[ 1 * h * \frac{h}{2} + f * 1 * h + e * 1 * \frac{1}{2} (c + d + h) \right] + \frac{1}{R_6} * d * \frac{1}{2} (2 * c + d) + \frac{1}{R_3} * 1 * c * \frac{c}{2}$$

$$\delta_{23} = \delta_{32} = \frac{1}{R_1} * 0.246475 * 10^6 + \frac{1}{R_6} * 0.015187 * 10^6 + \frac{1}{R_3} * 0.006962 * 10^6 \quad (5.8)$$

$$\Delta_{1F} = \frac{1}{R_3} * c * a * F * f + \frac{1}{R_6} * d * a * F * f, \text{ unde } a=5 \text{ mm}$$

$$\Delta_{1F} = \frac{1}{R_3} * 0.05605 * F * 10^6 + \frac{1}{R_6} * 0.059375 * F * 10^6 \quad (5.9)$$

$$\Delta_{2F} = \frac{1}{R_3} * c * a * F * \frac{c}{2} + \frac{1}{R_6} * d * a * F * \frac{1}{2} (2 * c + d)$$

$$\Delta_{2F} = \frac{1}{R_3} * 0.03481 * 10^6 * F + \frac{1}{R_6} * 0.000113 * F * 10^6 \quad (5.10)$$

$$\Delta_{3F} = \frac{1}{R_3} * a * F * c * 1 + \frac{1}{R_6} * a * F * d * 1$$

$$\Delta_{3F} = \frac{1}{R_3} * 0.00059 * F * 10^6 + \frac{1}{R_6} * 0.000625 * F * 10^6 \quad (5.11)$$

Făcând înlocuirile pentru  $\delta_{11}, \delta_{22}, \delta_{33}$  și  $\delta_{12} = \delta_{21}, \delta_{13} = \delta_{31}, \delta_{23} = \delta_{32}, \Delta_{1F}, \Delta_{2F}, \Delta_{3F}, R_{1...6}$ , în sistemul (5.1.), rezultă în final sistemul (5.12):

$$\begin{aligned} 52186.33X_1 + 194420.92X_2 + 620.078X_3 + 981.6F &= 0 \\ 194420.92X_1 + 1641647.672X_2 + 4108.883X_3 + 30.218F &= 0; \\ 620.078X_1 + 4108.883X_2 + 2.0666X_3 + 10.33273F &= 0 \end{aligned} \quad (5.12)$$

Sistemul (5.12) a fost rezolvat folosind programul MathCad, determinându-se astfel valorile necunoscutele  $X_1, X_2, X_3$  și modul de variație a acestora în raport cu rigiditatea  $R_{ik}$  așa cum se observă în Fig. 5.8, 5.9 și 5.10 (Curtu, Stanciu ș.a., 2008 –[C22]).

Cu creșterea rigidității gâtului scad eforturile din structura cutiei (Fig. 5.8, 5.9 și 5.10). S-au considerat diferite valori ale momentului de încovoiere ( $M_0=F*a$ ) produs de forțele din corzi ( $F=46...76$  N) și înălțimea cordarului și a prăgușului ( $a=1...10$  mm).

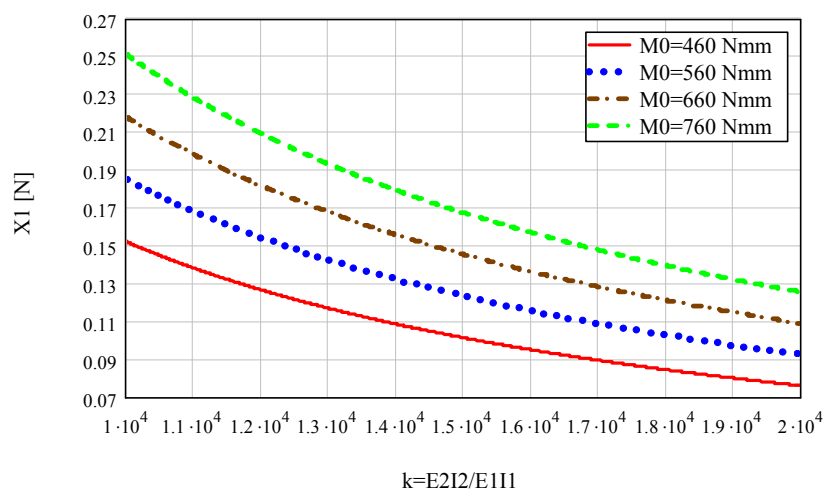
### **Influența modului de rigiditate al gâtului și corpului de chitară asupra calității acustice a instrumentului**

Se apreciază că performanțele acustice ale chitarei clasice sunt mai bune cu creșterea raportului dintre rigiditățile gâtului și ale cutiei sonore, aspect explicat de precizia muzicală a sunetelor obținute în cazul lungimilor de coardă corespunzătoare.

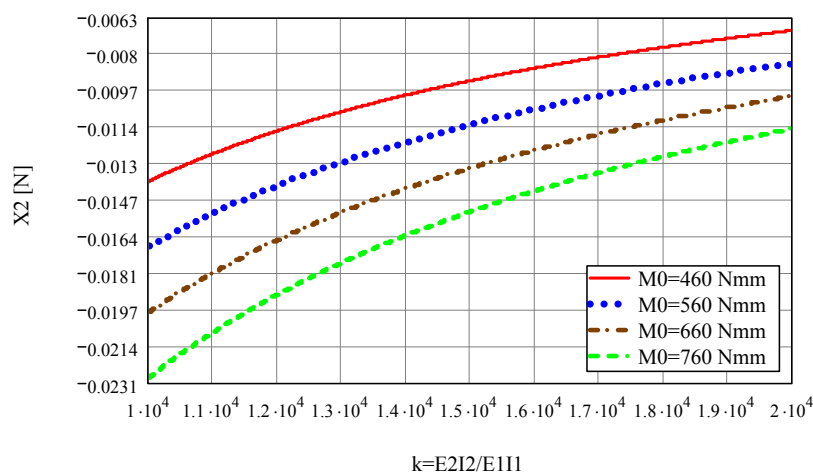
În cazul încovoierii gâtului datorită rigidității sale reduse sau a modificărilor structurale ale lemnului, fie apar distorsiuni în obținerea lungimilor de coardă, fie cresc eforturile din corzi ca



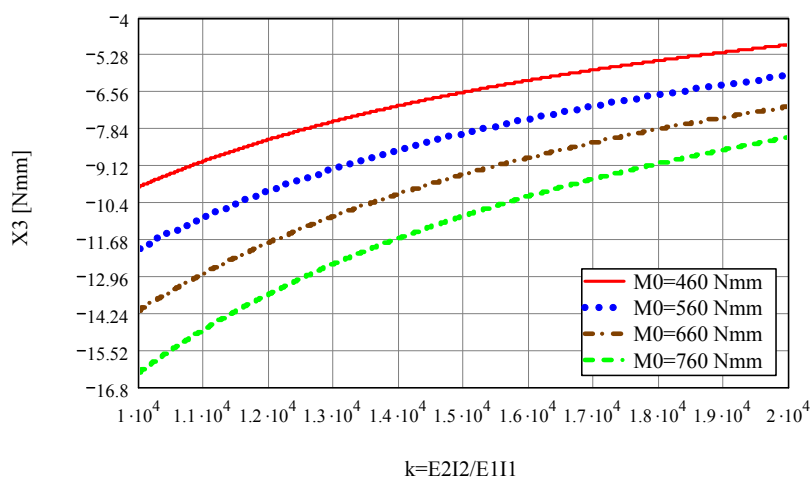
urmare a distanțării corzilor de tastieră, obținându-se în final sunete false și dificultate în manevrarea chitarei.



**Fig. 5.8.** Variația forței  $X_1$  în raport cu creșterea raportului rigidităților, pentru diferite valori ale forțelor din corzi



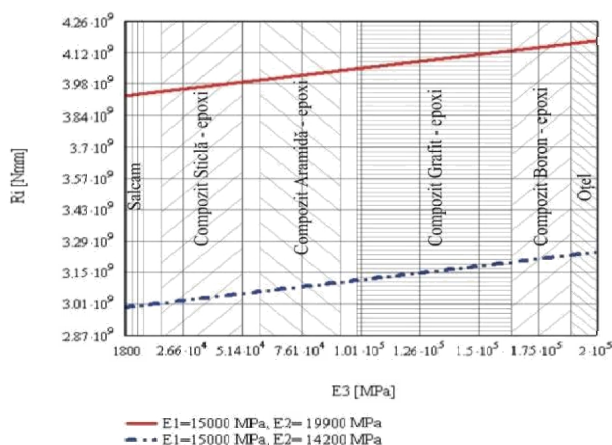
**Fig. 5.9.** Variația forței  $X_2$  în raport cu creșterea raportului rigidităților, pentru diferite valori ale forțelor din corzi



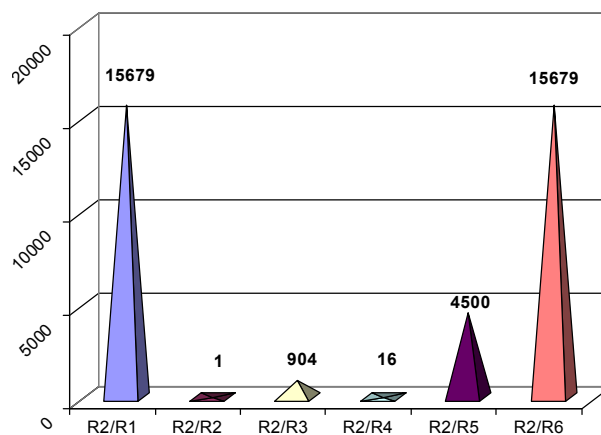
**Fig. 5.10.** Variația forței  $X_3$  în raport cu creșterea raportului rigidităților, pentru diferite valori ale forțelor din corzi

### Influența materialului din structura gâtului de chitară asupra calității instrumentului

S-au modelat matematic structuri ale gâtului din diferite materiale și combinații de materiale: lemn de salcâm, paltin, fag simplu sau armat cu fibre de sticlă și fibră de carbon, oțel (*Cerbu și Curtu, 2007*). Cu creșterea valorii modulelor de elasticitate a elementelor componente din structura gâtului chitarei, crește și rigiditatea acestuia ( $R_{i4}$ ) ceea ce asigură o rezistență și rigiditate mai bună a gâtului sub acțiunea solicitărilor produse de forțele statice și dinamice din corzi (Fig. 5.11).



**Fig. 5.11.** Variația rigidității gâtului în raport cu caracteristicile elastice ale materialelor utilizate



**Fig. 5.12.** Variația rapoartelor rigidităților pentru diferite componente ale chitarei

Rigiditatea cutiei și implicit natura materialului utilizat influențează direct mărimea eforturilor statice din aceasta și ca atare și comportarea structurii cutiei la solicitări ciclice. Analizând rapoartele dintre modulul de rigiditate al gâtului și cel al tronsoanelor considerate ( $R_{i2}/R_{i1,2,3,4,5,6}$ ) se constată o variație mare între rigiditățile elementelor componente, ceea ce influențează atât calitatea acustică a instrumentului cât și viabilitatea acestuia în timpul utilizării (Fig. 5.12).

#### 5.1.3. Aspecte analitice privind solicitările ciclice și dinamice ale plăcilor de chitară

În literatura de specialitate, teoriile privind vibrațiile plăcilor sunt numeroase și profund studiate, cu precădere în ceea ce privește plăcile cu geometrie rectangulară și circulară, din materiale izotrope și ortotrope. Studii matematice privind statica și dinamica plăcilor de chitară sunt mai reduse, datorită geometriei complexe a acestora, fapt pentru care majoritatea cercetătorilor au apelat la utilizarea softurilor de modelare numerică

Pentru modelarea analitică a plăcilor de chitară, acestea au fost simplificate din punct de vedere geometric la o placă dreptunghiulară, în două variante dimensionale: o placă dreptunghiulară echivalentă ce înscrie forma reală a feței de chitară și cea care circumscrie fața de chitară (Fig. 5.11)

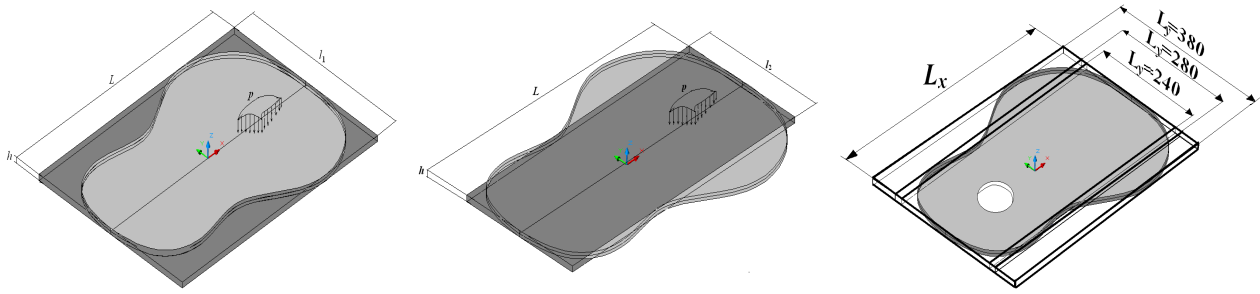


Fig.5.11. Variante de simplificare a plăcii de chitară

Pentru modelarea analitică a plăcilor din structura chitarelor, s-a considerat placa de grosime constantă  $h$ , aflată sub acțiunea unei sarcini  $p$  uniform distribuite care acționează perpendicular pe planul median (Fig.5.13) (Ciofoaia, 2000). Ipotezele simplificatoare introduse în calculul plăcii sunt:

1. Domeniul  $V$  este definit astfel (Ciofoaia, 2000):

$$V = \left\{ (x, y, z) \in R^3 / z \in \left[ -\frac{h}{2}, \frac{h}{2} \right], (x, y) \in A \subset R^2 \right\}, \quad (5.13)$$

unde  $h$  este grosimea plăcii,  $A$ -aria plăcii;

2. O dreaptă normală la suprafața mediană a plăcii înainte de deformare, rămâne normală la suprafața mediană și după deformare (ipoteza Love-Kirchoff), rezultând că deformațiile unghiulare sunt:

$$\gamma_{zx} = \frac{\partial u}{\partial z} + \frac{\partial w}{\partial x} = 0, \quad \gamma_{zy} = \frac{\partial v}{\partial z} + \frac{\partial w}{\partial y} = 0; \quad (5.14.a)$$

$$\text{sau} \quad \frac{\partial u}{\partial z} = -\frac{\partial w}{\partial x}; \quad \frac{\partial v}{\partial z} = -\frac{\partial w}{\partial y}. \quad (5.14.b)$$

3. Grosimea plăcii nu se modifică după deformare, respectiv:

$$\varepsilon_z = 0 \text{ si } w = w(x, y) = w(x, y, 0), \quad (5.15)$$

adică punctele de pe normala la planul median au aceleași deplasări în direcția transversală a plăcii.

4. Se consideră nule presiunile reciproce dintre straturile plăcii paralele cu planul median, astfel că fiecare strat se află în starea plană de tensiune (Fig. 5.14), respectiv tensorul tensiunii și ecuațiile fizice vor fi aceleași ca la starea plană de tensiune:

$$[T_\sigma] = \begin{bmatrix} \sigma_x & \tau_{yx} & \tau_{zx} \\ \tau_{xy} & \sigma_y & \tau_{zy} \\ \tau_{xz} & \tau_{yz} & \sigma_z \end{bmatrix}; \quad (5.16)$$

$$\begin{cases} \varepsilon_x = \frac{1}{E}(\sigma_x - \nu\sigma_y) \\ \varepsilon_y = \frac{1}{E}(\sigma_y - \nu\sigma_x); \\ \gamma_{xy} = \frac{2(1+\nu)}{E} \end{cases} \quad (5.17.a)$$

$$\begin{cases} \sigma_x = \frac{E}{1-\nu^2}(\varepsilon_x + \nu\varepsilon_y) \\ \sigma_y = \frac{E}{1-\nu^2}(\varepsilon_y + \nu\varepsilon_x). \\ \tau_{xy} = \frac{2(1+\nu)}{E} \gamma_{xy} \end{cases} \quad (5.17.b)$$

Săgeata maximă din încovoiere  $w$  este mult mai mică decât grosimea plăcii ( $\frac{w}{h} \ll 1$ ).

Dacă deplasările longitudinale ale tuturor punctelor din planul median sunt neglijate, ipoteza conduce la:

$$u|_{z=0} = v|_{z=0} = 0; \quad (5.18)$$

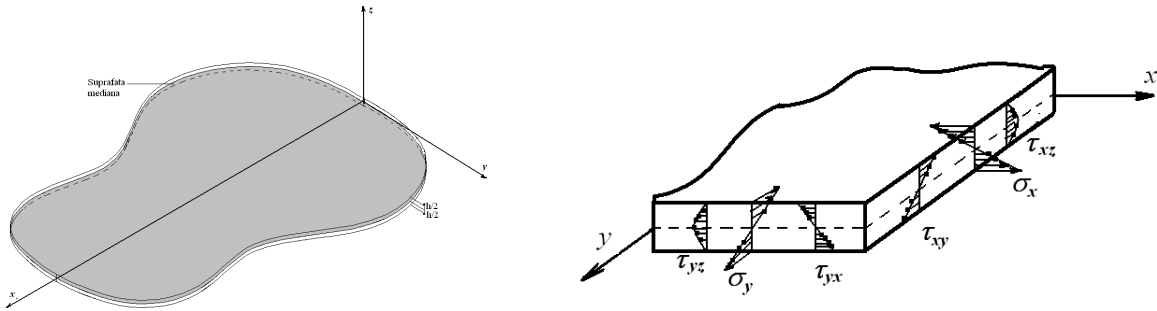


Fig. 5.14. Distribuția tensiunilor pe grosimea plăcii

Deplasările punctelor se obțin prin integrarea ecuațiilor (5.14.b) în raport cu axa  $z$ , considerând un punct oarecare de pe normala la suprafața mediană situat la distanța  $z$ , având deplasările  $u$ ,  $v$  și  $w$ . Astfel se obține (Ciofoaia, 2000):

$$u = -z \frac{\partial w}{\partial x} + f_1(x, y) \text{ și } v = -z \frac{\partial w}{\partial y} + f_2(x, y), \quad (5.18)$$

unde  $f_1$  și  $f_2$  sunt funcții arbitrare.

Întrucât la  $z=0$  trebuie îndeplinite condițiile (8), rezultă  $f_1(x, y)=0$  și  $f_2(x, y)=0$ . Prin urmare, un punct al plăcii va avea următoarele componente ale deplasării:

$$u(x, y, z) = -z \frac{\partial w}{\partial x}, \quad v(x, y, z) = -z \frac{\partial w}{\partial y}, \quad w = w(x, y). \quad (5.19)$$

Deformația într-un punct va avea următoarele componente exprimate în raport cu deplasarea transversală  $w$ :

$$\begin{aligned}\varepsilon_x &= \frac{\partial u}{\partial x} = -z \frac{\partial^2 w}{\partial x^2}, \\ \varepsilon_y &= \frac{\partial v}{\partial y} = -z \frac{\partial^2 w}{\partial y^2}, \\ \gamma_{xy} &= \frac{\partial u}{\partial y} + \frac{\partial v}{\partial x} = -2z \frac{\partial^2 w}{\partial x \partial y}.\end{aligned}\tag{5.20}$$

Tensiunile vor avea următoarele expresii, în raport cu deplasarea transversală  $w$ :

$$\begin{aligned}\sigma_x &= \frac{E}{1-\nu^2}(\varepsilon_x + \nu\varepsilon_y) = -\frac{zE}{1-\nu^2}\left(\frac{\partial^2 w}{\partial x^2} + \nu\frac{\partial^2 w}{\partial y^2}\right); \\ \sigma_y &= \frac{E}{1-\nu^2}(\varepsilon_y + \nu\varepsilon_x) = -\frac{zE}{1-\nu^2}\left(\frac{\partial^2 w}{\partial y^2} + \nu\frac{\partial^2 w}{\partial x^2}\right); \\ \tau_{xy} &= G\gamma_{xy} = \frac{E}{2(1+\nu)}\gamma_{xy} = -z\frac{E}{1+\nu}\frac{\partial^2 w}{\partial x \partial y}.\end{aligned}\tag{5.21}$$

### 5.1.3.1. Vibrațiile libere ale plăcilor dreptunghiulare

Fie placa dreptunghiulară cu lungimea  $L$ , lățimea  $l_1$  și grosimea  $h$  conform Fig. 5.13 și masa specifică  $\rho$ . Aceasta se află în vibrație transversală de încovoiere. În baza ipotezelor lui Kirchhoff: secțiunile normale pe suprafața mediană a plăcii rămân normale și după deformație; grosimea plăcii  $h$  (omogenă) este constantă și mult mai mică decât celelalte două dimensiuni; placa suferă numai deformații de încovoiere care sunt mult mai mici decât  $h$ , și aplicând principiul lui *d' Alembert* sau o altă metodă energetică, se ajunge la ecuația (Alămoreanu, 2005, Buzdugan, 1979) :

$$\Delta\Delta W(x, y, t) + \frac{\rho h}{D} \frac{\partial^2 W(x, y, t)}{\partial t^2} = \frac{p(x, y, t)}{D},\tag{5.22}$$

unde:

$W(x, y, t)$  reprezintă deplasarea instantanee normală pe suprafața mediană a plăcii în dreptul elementului de volum considerat;

$D = \frac{Eh^3}{12(1-\nu^2)}$  - modulul de rigiditate cilindrică sau modulul de rigiditate la încovoiere a

plăcii;

$p(x, y, t)$  - sarcina distribuită care acționează perpendicular pe suprafața mediană a plăcii;

$\Delta = \frac{\partial^2}{\partial x^2} + \frac{\partial^2}{\partial y^2}$  - operatorul Laplace.

Pentru  $p(x, y, t) = 0$ , din relația (5.22) rezultă *ecuația diferențială a vibrațiilor libere transversale ale plăcii*:



$$\frac{\partial^4 W(x, y, t)}{\partial x^4} + 2 \frac{\partial^4 W(x, y, t)}{\partial x^2 \partial y^2} + \frac{\partial^4 W(x, y, t)}{\partial y^4} = -\rho \frac{h}{D} \frac{\partial^2 W(x, y, t)}{\partial t^2} . \quad (5.23)$$

Integrarea ecuației (5.23) poate fi efectuată prin metoda Fourier-Bernoulli, soluția căutată fiind de forma:

$$W(x, y, t) = W(x, y) \cdot W(t). \quad (5.24)$$

Înlocuind (5.24) în (5.23) rezultă:

$$\frac{D}{\rho h} \frac{1}{W(x, y)} \left[ \frac{d^4 W(x, y)}{dx^4} + 2 \frac{d^4 W(x, y)}{dx^2 dy^2} + \frac{d^4 W(x, y)}{dy^4} \right] = -\frac{1}{W(t)} \frac{d^2 W(t)}{dt^2} = \omega_{n_{kl}}^2 , \quad (5.25)$$

unde  $\omega_{n_{kl}}$  este o constantă arbitrară.

Din (5.25) se obțin două ecuații diferențiale ordinare:

$$\begin{cases} \frac{d^2 W(t)}{dt^2} + \omega_{n_{kl}}^2 W(t) = 0 \\ \frac{d^4 W(x, y)}{dx^4} + 2 \frac{d^4 W(x, y)}{dx^2 dy^2} + \frac{d^4 W(x, y)}{dy^4} = \omega_{n_{kl}}^2 \frac{\rho h}{D} W(x, y) \end{cases} \quad (5.26)$$

Soluția primei ecuații din (5.26) este de forma:

$$W(t) = A_{kl}^{(t)} \cos(\omega_{n_{kl}} t - \varphi_{kl}), \quad (5.27)$$

unde  $A_{kl}^{(t)}$  și  $\varphi_{kl}$  sunt constante de integrare.

În cazul celei de a doua ecuații din (5.26) soluția trebuie să satisfacă *condițiile de contur* ale plăcii care pot fi:

- pentru o *latură liberă* (de ecuație  $x = x_0$ ), momentul încovoietor paralel cu latura  $M_y$  și forța tăietoare  $T_{zx}$  sunt nule, adică:

$$\begin{aligned} \left( \frac{\partial^2 W(x, y)}{\partial x^2} + \lambda \frac{\partial^2 W(x, y)}{\partial y^2} \right) \Big|_{x=x_0} &= 0, \\ \left( \frac{\partial^3 W(x, y)}{\partial x^3} + \frac{\partial^3 W(x, y)}{\partial x \partial^2 y} \right) \Big|_{x=x_0} &= 0; \end{aligned} \quad (5.28)$$

- pentru o *latură* ( $x = x_0$ ) *simplu rezemată*, săgeata și momentul încovoietor paralel cu latura sunt nule, adică:

$$\begin{aligned} W(x, y) \Big|_{x=x_0} &= 0 \\ \left( \frac{\partial^2 W(x, y)}{\partial x^2} + \nu \frac{\partial^2 W(x, y)}{\partial y^2} \right) \Big|_{x=x_0} &= 0; \end{aligned} \quad (5.29)$$

- pentru o latură ( $x = x_0$ ) încastrată, săgeata și rotirea într-un plan perpendicular pe latură sunt nule, adică:

$$\begin{aligned} W(x, y)|_{x=x_0} &= 0 \\ \frac{\partial W(x, y)}{\partial x}|_{x=x_0} &= 0 \end{aligned} \quad (5.30)$$

Problema găsirii soluțiilor celei de a doua ecuații din (5.26) se complică atunci când conturul nu este dreptunghiular sau circular și când rezemarea este discontinuă, așa cum este și cazul plăcilor de chitară – din punct de vedere al formei geometrice.

În cazul particular al plăcii simplu rezemate pe contur, condițiile de contur (5.28) conduc la:

$$\begin{cases} W(x, y)|_{x=0} = 0, \left( \frac{\partial^2 W(x, y)}{\partial x^2} + \nu \frac{\partial^2 W(x, y)}{\partial y^2} \right)|_{x=0} = 0 \\ W(x, y)|_{x=a} = 0, \left( \frac{\partial^2 W(x, y)}{\partial x^2} + \nu \frac{\partial^2 W(x, y)}{\partial y^2} \right)|_{x=a} = 0 \\ W(x, y)|_{y=0} = 0, \left( \frac{\partial^2 W(x, y)}{\partial y^2} + \nu \frac{\partial^2 W(x, y)}{\partial x^2} \right)|_{y=0} = 0 \\ W(x, y)|_{y=b} = 0, \left( \frac{\partial^2 W(x, y)}{\partial y^2} + \nu \frac{\partial^2 W(x, y)}{\partial x^2} \right)|_{y=b} = 0 \end{cases} \quad (5.31)$$

Se poate arăta că funcția  $W(x, y)$  care verifică condițiile de contur (5.31), se exprimă printr-o relație de forma:

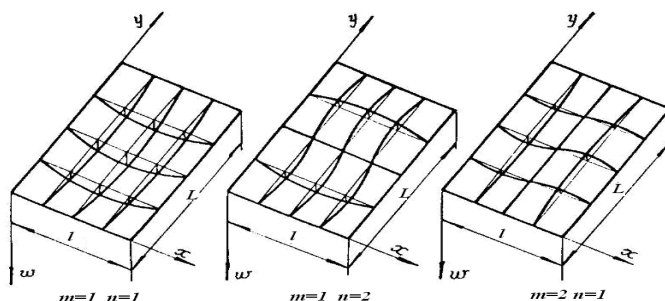
$$W(x, y) = A_{kl}^{(x,y)} \sin \frac{m\pi}{L} x \sin \frac{n\pi}{l_1} y, (m, n = 1, 2, \dots) \quad (5.32)$$

Condiția ca soluția (5.32) să verifice cea de a doua ecuație din (5.26), după simplificări, conduce la obținerea pulsației proprii corespunzătoare modului propriu „mn” de vibrație:

$$\omega_{n_{kl}} = \pi^2 \left( \frac{m^2}{L^2} + \frac{n^2}{l_1^2} \right) \sqrt{\frac{D}{\rho h}}, (m, n = 1, 2, \dots). \quad (5.33)$$

Conform relației (5.33) placa dreptunghiulară considerată are o dublă infinitate de pulsații proprii, fiecareia dintre ele corespunzându-i un mod propriu de vibrație.

În Fig. 5.15 sunt prezentate formele proprii de vibrație ale plăcii rezemate pe contur, corespunzătoare pulsațiilor proprii:  $\omega_{n_{11}}$ ,  $\omega_{n_{12}}$  și  $\omega_{n_{21}}$ .



**Fig.5.15.** Moduri proprii de vibrație ale plăcii dreptunghiulare rezemate pe contur

Pentru fiecare din pulsațiile  $\omega_{n_{kl}}$  ( $m, n = 1, 2, \dots$ ) relațiile (20), (21) și (22) dau:

$$W_{mn}(x, y, t) = \phi_{mn}(x, y) \cos(\omega_{n_{mn}} t - \varphi_{mn}) \quad (m, n = 1, 2, \dots), \quad (5.34)$$

unde:

$$\phi_{mn}(x, y) = A_{mn}^{(t)} \cdot A_{mn}^{(x,y)} \sin \frac{\pi m}{L} x \sin \frac{\pi n}{l_1} y, \quad (5.35)$$

poartă numele de *funcție proprie asociată pulsației proprii*  $\omega_{n_{mn}}$ .

Ecuția diferențială (5.23) fiind liniară, soluția sa generală este:

$$W(x, y, t) = \sum_{m=1}^{\infty} \sum_{n=1}^{\infty} \phi_{mn}(x, y) \cos(\omega_{n_{mn}} t - \varphi_{mn}). \quad (5.36)$$

Constantele produse  $A_{mn}^t \cdot A_{mn}^{(x,y)}$  și  $\varphi_{mn}$  se determină în funcție de condițiile inițiale ( $t=0$ ) ale mișcării.

Pentru plăcile pătrate încastrate pe contur, frecvența fundamentală având modul (0,0) se mai poate determina și cu relația (5.37) (Rossing și Fletcher, 2004):

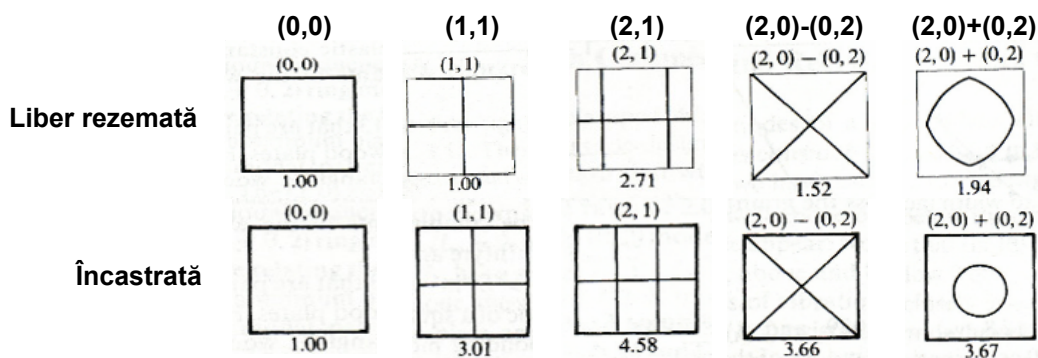
$$f_{00} = 1.654 c_L h / L^2, \quad (5.37)$$

unde:

$$c_L = \sqrt{\frac{E}{\rho(1-\nu^2)}} \text{ reprezintă viteza de propagare longitudinală (Rossing și Fletcher, 2004).}$$

Comparând modurile de vibrație ale plăcilor pătrate liber rezemate cu cele ale plăcilor fixate pe contur (Fig. 5.16);, se constată că:

- modul (1,1) al plăcii încastrate are frecvența de aproximativ 10 ori mai mare decât cel al plăcii rezemate;
- modurile nedegenerative se formează când  $m/n = \pm 2, 4, 6, \dots$
- în cazul modului (2,0)-(0,2) și (2,0)+(0,2), diferența este de aproximativ 0,5%, iar diametrul pentru placa liberă este mai mare decât cel al plăcii încastrate.



**Fig. 5.16.** Comparatii între modurile de vibrații ale plăcii pătrate rezemate și a celei încastrate pe contur (Rossing, 2004)

Fiind un material ortotrop, lemnul are proprietăți mecanice diferite pe cele trei direcții principale: longitudinală (L), radială (R) și tangențială (T). Astfel, lemnul se caracterizează prin 3 module de elasticitate longitudinală (E), 3 module de elasticitate transversală (G) și 3 coeficienți Poisson ( $\nu$ ). Plăcile din structura chitarei sunt debitate pe sferturi, în direcție radială sau

semiradială, astfel încât axele longitudinală și radială formează planul plăcii, iar axa tangențială reprezintă grosimea. De aceea, constantele care prezintă interes în investigațiile teoretice și experimentale sunt  $E_L, E_R, \nu_{LR}, \nu_{RL} = \nu_{LR} E_R/E_L$ .

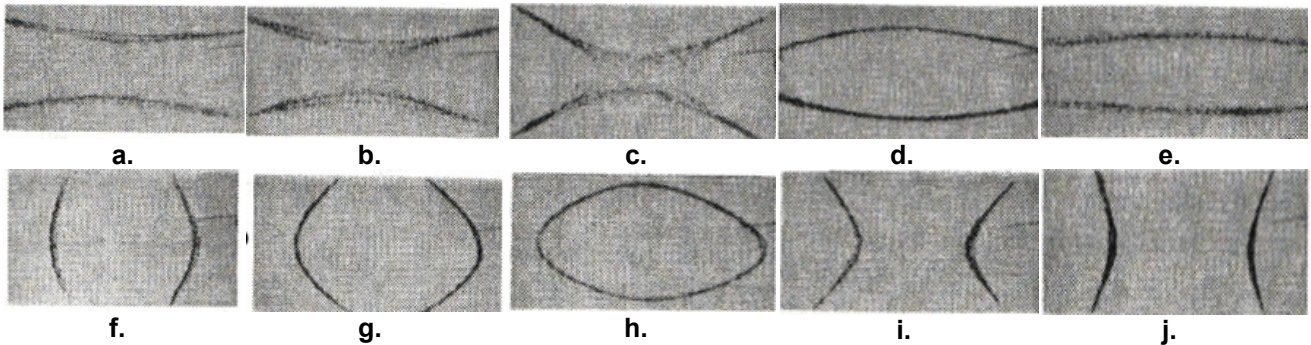
Pentru a determina modurile de vibrație ale plăcilor din lemn este necesară cunoașterea celor patru caracteristici elastice identificate astfel:  $E_x=E_L, E_y=E_R, G=G_{LR}, \nu_{xy}=\nu_{LR}, \nu_{yx}=\nu_{RL}$ , mărimi care au fost studiate și determinate prin metode moderne de Bucur (2006).

Știind că  $E_L > E_R$ , formele modurilor de vibrații pentru plăcile pătrate din lemn nu se identifică cu cele ale plăcilor izotrope (Rossing și Fletcher, 2004). Totuși, o corespondență între modurile de vibrație ale plăcilor pătrate izotrope și modurile de vibrație ale plăcilor rectangulare din lemn apar la un anumit raport lungime-lățime, respectiv (Rossing și Fletcher, 2004):

$$\frac{L}{l_1} = \left( \frac{E_L}{E_R} \right)^{1/4}. \quad (5.38)$$

Astfel, pentru lemnul de sitka, știindu-se  $E_L/E_R=12.8, \nu_{LR}=0.37, \nu_{RL}=0.029$  (Wood Handbook, 1974), combinația modurilor de vibrație  $((2,0) \pm (0,2))$  din Fig. 5.17 poate fi identificată în placa rectangulară din lemn având raportul  $L/l_1=1.9$ .

Caldersmith și Rossing (1983, 2004) au determinat formele vibratorii ale modurilor de vibrație pentru placa rectangulară din lemn de sitka (Fig. 5.17).



**Fig. 5.17.** Formele modale ale plăcii rectangulare din lemn, încastrată pe contur modul (2,0) a,b,c,d,e și modul (0,2) f, g, h, i, j (Caldersmith, 1983)

### 5.1.3.2. Determinarea frecvențelor proprii ale plăcilor de chitară prin metoda analitică

Pentru determinarea analitică a plăcilor lignocelulozice din structura corpului de chitară, s-a calculat frecvența vibrațiilor pentru materiale anizotrope ortotrope cum este lemnul, pe baza ipotezelor lui Kirchhoff și aplicând principiul lui D'Alembert în relația (5.38) (Rossing și Fletcher (2004)).

$$f_{mn} = 0.453h \left[ c_x \left( \frac{m+1}{L_x} \right)^2 + c_y \left( \frac{n+1}{L_y} \right)^2 \right] \quad (5.38)$$

unde:

$$c_x = \sqrt{\frac{E_x}{\rho(1-\nu_{xy}\nu_{yx})}} \quad m/s \quad \text{- reprezintă viteza de propagare a sunetului în materialul anizotrop în direcția longitudinală } x; \quad (5.39.a)$$

$$c_y = \sqrt{\frac{E_y}{\rho(1-\nu_{xy}\nu_{yx})}} \quad m/s \quad \text{- viteza de propagare a sunetului în materialul anizotrop pe direcția transversală } y. \quad (5.39.b)$$

S-au luat în calcul modurile proprii pentru  $mn=(0,0); (0,1); (1,0); (1,1); (1,2); (2,1); (2,2)$ .

*Datele de intrare* referitoare la caracteristicile geometrice și cele de material se bazează pe ipotezele simplificatoare utilizate, respectiv reducerea plăcii de chitară cu o geometrie nedefinibilă la o placă dreptunghiulară în variantele din Fig. 5.13, cu lungimea  $L_x$  ( $L_x = 480$  mm), lățimea variabilă  $L_y$  ( $L_y=240; 260; 280; \dots 380$  mm), grosimea  $h$  ( $h=1,5; 2; 2,5; 3$  mm). Pentru materialul plăcii de chitară – compozit lignocelulozic, s-au considerat următoarele caracteristici preluate din literatura de specialitate (Bucur 2006, Curtu 1981, 1984).

- densitatea  $\rho$  ( $\rho=350; 400; 450; 500$  kg/m<sup>3</sup>),
- modulul de elasticitate longitudinală în direcția longitudinală  $E_x$  ( $E_x=10000; 12000; 14000$  MPa),
- modulul de elasticitate longitudinal în direcție radială  $E_y$  ( $E_y=5000; 7000; 9000$  MPa),
- coeficienții lui Poisson  $\nu_{xy}=0,44$ ,  $\nu_{yx}=0,028$ .

### ***Influența densității asupra vitezei de propagare a sunetelor în lemn***

Introducând datele de intrare în relațiile 5.39.a și 5.39.b, s-a constatat că pentru același modul de elasticitate, viteza de propagare a sunetului în lemn scade cu creșterea densității.

### ***Influența modulului de elasticitate asupra vitezei de propagare a sunetelor în lemn***

Vitezele cresc proporțional cu creșterea modulului de elasticitate (Fig. 5.18 a și b). La un raport  $E_x/E_y=2$ , raportul vitezelor este  $c_x/c_y=1,43$ .

### ***Influența dimensiunilor geometrice ale plăcilor de chitară asupra frecvențelor proprii***

Pentru determinarea frecvențelor proprii ale plăcilor, s-au considerat valorile  $c_x=5543$  m/s, rezultată din varianta  $E=14000$  MPa și  $\rho=450$  kg/m<sup>3</sup>, și  $c_y=4445$  m/s, dedusă din varianta  $E=9000$  MPa și  $\rho=450$  kg/m<sup>3</sup>. Variind lățimea plăcii în intervalele precizate anterior, s-a constatat că *frecvența proprie a plăcii scade cu creșterea lățimii, indiferent de numărul modului de vibrație. Cu creșterea grosimii plăcii, frecvențele cresc proporțional cu aceasta* (Fig. 5.19 a, b, c și d) (Stanciu, 2008 [S19]).

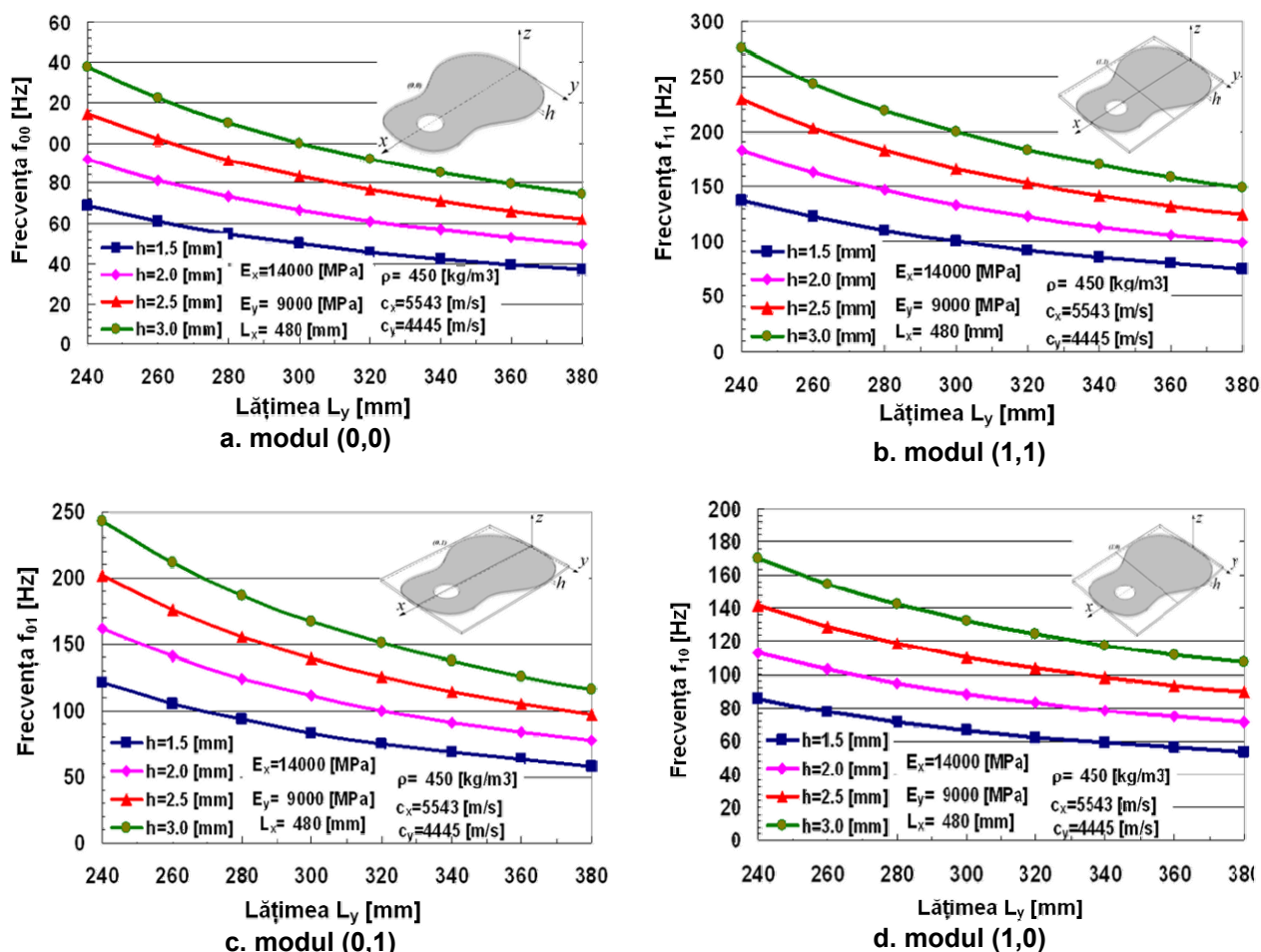
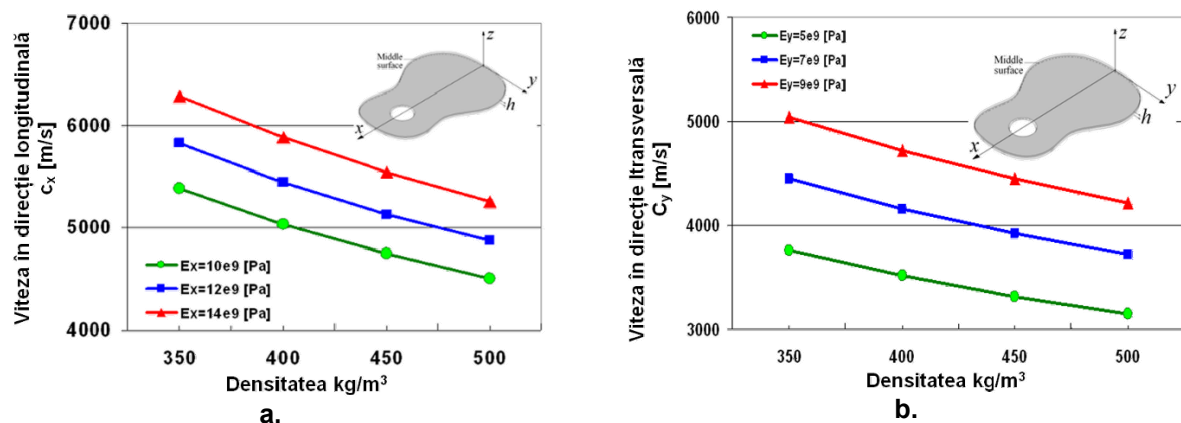


Fig. 5.19. Variația frecvenței în raport cu lățimea plăcii, pentru diferite grosimi

Din Fig. 5.20, se observă că, pentru aceeași grosime a plăcii ( $h=2,5$  mm), dar cu lățime variabilă, frecvențele scad cu creșterea lățimii plăcii. În practică, această concluzie se poate traduce prin creșterea lățimii plăcii pentru ca domeniul de frecvențe amplificate să crească astfel încât să poată fi atinsă frecvența optimă minimă în intervalul 75-82 Hz. Această frecvență se obține și în cazul creșterii grosimii plăcii în corelație cu caracteristicile materialului (Fig. 5.21).



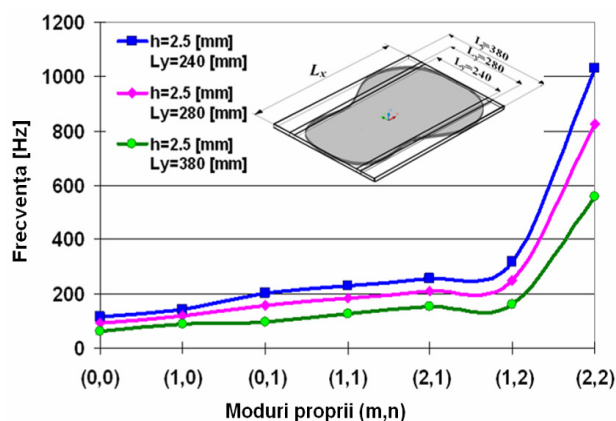


Fig. 5.20. Variația frecvențelor în raport cu lățimea plăcii, pentru diferite moduri de vibrație

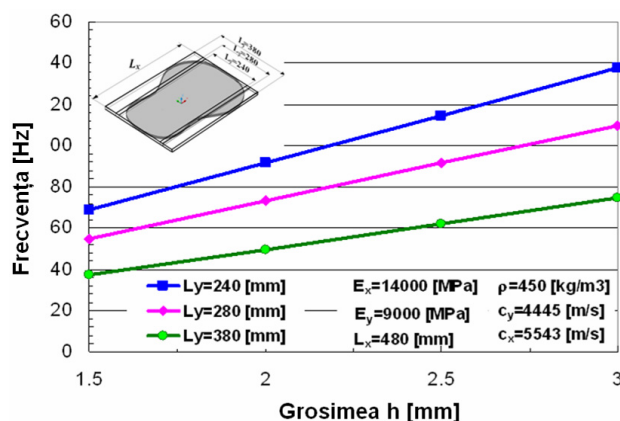


Fig. 5.21. Variația frecvențelor în raport cu grosimea  $h$  a plăcii de chitară

Prin modelarea analitică a plăcilor de chitară pe baza relațiilor de calcul specifice plăcilor din lemn, s-a constatat că există o serie de parametri care pot influența răspunsul dinamic al plăcii. Astfel, o *densitate mică* a materialului în limitele impuse de specia lemnoasă ( $400\text{--}450\text{ kg/m}^3$ ), corelată cu un *modul de elasticitate longitudinal ridicat* ( $E_L \geq 12000\text{ MPa}$ ), cu o *grosime redusă* ( $h=2\text{--}2,5\text{ mm}$ ) și o *lățime medie* față de intervalul luat în studiu, sunt factori care pot contribui la calitatea acustică a chitarei, încă din faza tehnologică primară de selecționare și prelucrare a materialului.

## 5.2. Modelarea analitică a corpului de chitară

Comportarea lemnului sub acțiunea undelor sonore este influențată pe de o parte de energia sonoră care ajunge în contact cu lemnul, iar pe de altă parte de calitatea materialului lemnos, respectiv de structura macro și microscopica a lemnului – construcția membranei celulare, dimensiunile și coeziunea fibrelor, prezența unor substanțe chimice proprii, umiditatea și temperatura lemnului, proprietățile elastice, de orientare a structurii în raport cu sursa sonoră (longitudinal, transversal, radial, tangențial, complex) (Curtu, Stanciu, s.a. 2008 – [C24, 25]).

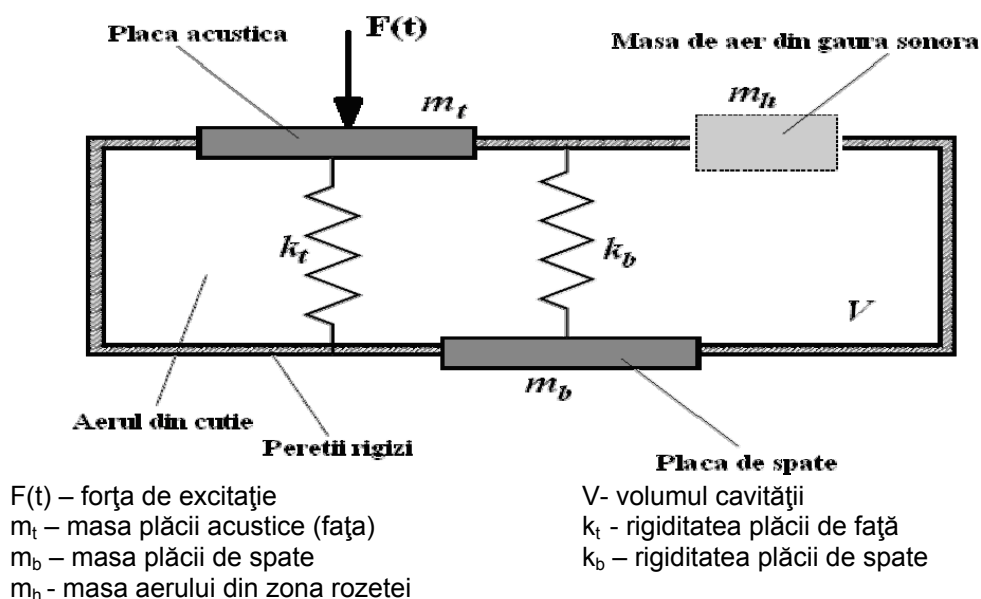
Ca urmare a vibrațiilor, în lemn se produc frecări interne care transformă energia sonoră inițială într-o energie sonoră modificată, luând naștere fenomenul de rezonanță, cât și într-o energie calorică, datorită schimburilor energetice intermoleculare. Cea mai importantă proprietate acustică a lemnului este capacitatea de recepționare a sunetelor cu frecvența apropiată sau identică cu frecvența membranelor sale. Astfel se produce fenomenul de rezonanță care duce la amplificarea sunetelor și emiterea lor cu un timbru îmbogățit cu armonicele formante produse în lemn ca urmare a structurii sale complexe și anizotrope. În funcție de perioada frecvenței externe de excitație, rezonanța apare ori de câte ori pulsația vibrației forțate trece prin vecinătatea frecvenței proprii de vibrație a lemnului (Stanciu, 2008 – [S21]).

Chitara, ca ansamblu, constituie o structură complexă din punct de vedere mecanic, dinamic, tehnic și tehnologic, elementele componente având proprietăți de rezistență, rigiditate, acustice și estetice în concordanță cu cerințele de calitate din domeniu.

Dacă din punct de vedere static, corpul chitarei poate fi considerat fie un sistem static nedeterminat (capitolul 5.1.2), fie un vas cu pereți subțiri, din punct de vedere dinamic, acesta poate fi considerat un rezonator de tip Helmholtz.

Astfel, când placa de față vibrează, volumul cavității se modifică, forțând intrarea și ieșirea aerului prin rozetă (gaura acustică). Aerul din gaura acustică poate fi imaginat ca o masă cilindrică care vibrează în funcție de modul în care volumul cavității se micșorează sau se mărește datorită mișcării plăcii sonore.

Folosind modelul Kelvin (Fig. 5.22) propus de Christensen și Vistisen (1980), masa de aer cilindrică poate fi modelată ca un oscilator cu masa  $m_h$ , antrenând un piston cu aria efectivă  $A_h$ . Forța de revenire a pistonului este asigurată de schimbările de presiune din interiorul cavității: dacă pistonul se mișcă în exterior, presiunea cavității scade creând o forță opusă mișcării. Pistonul de aer și pistonul reprezentat de placa acustică sunt cuplate prin intermediul presiunii comune ce se schimbă în cavitate.



**Fig. 5.22.** Modelul Kelvin pentru sistemul dinamic reprezentat de chitara Christensen și Vistisen (1980)

Mișcarea unuia dintre pistoane modifică presiunea din cutie și exercită astfel o forță asupra celuilalt piston. Mișcarea plăcii de față este modelată ca cea a unui piston de masă  $m_t$ , suprafața efectivă  $A_t$  și constanta elastică  $k_t$ . În mod similar este modelat spatele, cu notațiile  $m_b$ ,  $A_b$ ,  $k_b$ . Gaura acustică este modelată considerând mișcarea masei de aer  $m_h$  cu aria efectivă  $A_h$ , vibrând contra rigidității aerului din interiorul cavității. Mișcarea uneia dintre plăci (pistoane) produce modificări ale presiunii aerului interior care va antrena în vibrație celelalte două pistoane (Wright, 1996).

Ca urmare a mișcării de vibrație a plăcii de față ce antrenează prin intermediul fluidului din interior atât placa de spate cât și eclisele, se produc modurile de vibrație ale corpului chitarei (Fig. 5.23). Primele moduri care se formează - modul de încovoiere (Fig. 5.23.a), modul de respirație (mișcarea în antifază) (Fig. 5.23.b) și modul de vibrație în fază (Fig. 5.23.c), au fost identificate în literatura de specialitate, fiind studiate atât teoretic cât și experimental.

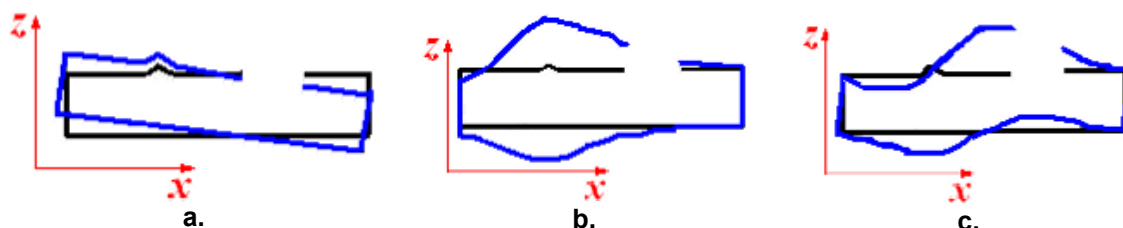


Fig. 5.23. Modurile de vibrație ale corpului de chitară

Ecuția mișcării pentru sistemul format din două oscilatoare cuplate antrenat de o forță  $F$  sinusoidală aplicată în zona cordarului pe placa sonora este (Wright, 1996):

$$m_t \frac{\partial^2 x_t}{\partial t^2} = F - k_t x_t - c_t \frac{\partial x_t}{\partial t} + A_t \Delta P; \quad (5.40)$$

$$m_h \frac{\partial^2 x_h}{\partial t^2} = A_h \Delta P - c_h \frac{\partial x_h}{\partial t}, \quad (5.41)$$

unde:

$\Delta P$  este diferența de presiune din cavitate.

Dacă se produce o schimbare mică în echilibrul presiunii din cavitate se presupune că are loc un proces adiabatic, caz în care nu se pierde și nici nu se câștigă energie termică, atunci:

$$PV^\gamma = const., \quad (5.42)$$

unde:

$V$  este volumul cavității;

$\gamma$  - coeficientul specific de căldură.

Derivând în raport cu  $V$ , se obține:

$$\frac{\partial P}{\partial V} = -\frac{P\gamma}{V}. \quad (5.43)$$

Modulul volumetric al materialului este dat de relația  $B = -V \frac{dP}{dV}$ , iar faza vitezei sunetului

în aer este dat de relația  $c = \sqrt{\frac{B}{\rho}}$ .

Folosind cele două relații în ecuația diferențială, rezultă:

$$\Delta P = -\mu \Delta V, \quad (5.44)$$

unde:

$$\mu = \frac{c^2 \rho}{V}. \quad (5.45)$$

Știind că schimbarea volumului din cavitate are loc în urma mișcării plăcii sonore și a pistonului de aer din zona găurii acustice, matematic rezultă la relația :

$$\Delta V = A_t x_t + A_h x_h, \quad (5.46)$$

unde deplasarea pozitivă a pistonului este asociată cu mișcarea în sens opus a cavității (spre exterior).

Schimbarea de presiune poate fi scrisă astfel:

$$\Delta P = -\mu(A_t x_t + A_h x_h). \quad (5.47)$$

Înlocuind în relațiile (5.40) și (5.41). se obține:

$$m_t \frac{\partial^2 x_t}{\partial t^2} = F - x_t(k_t + \mu A_t^2) - c_t \frac{\partial x_t}{\partial t} - \mu A_t A_h x_h; \quad (5.48)$$

și

$$m_h \frac{\partial^2 x_h}{\partial t^2} = -\mu A_h^2 x_h - c_h \frac{\partial x_h}{\partial t} - \mu A_h A_t x_t. \quad (5.49)$$

Pentru o forță aplicată sinusoidal, expresiile derivatelor deplasărilor  $x_t$  și  $x_h$  sunt cunoscute. Acestea se înlocuiesc în ecuațiile mai sus determinate, rezultând:

$$-m_t \omega^2 x_t = F - x_t(k_t + \mu A_t^2) - R_t i \omega x_t - \mu A_h A_t x_h; \quad (5.50)$$

și

$$-m_h \omega^2 x_h = -\mu A_h^2 x_h - R_h i \omega x_h - \mu A_h A_t x_t. \quad (5.51)$$

Frecvența proprie de rezonanță  $\omega_t$  a plăcii sonore fără ca aceasta să fie cuplată la aerul din cavitate, considerând  $A_h=0$  în ecuația de mai sus (5.51), este dată de expresia:

$$\omega_t^2 = \frac{k_t + \mu A_t^2}{m_t}. \quad (5.52)$$

Înlocuind această expresie a frecvenței de rezonanță în ecuația (5.51) și definind  $\gamma_t = \frac{R_t}{m_t}$

în expresia lui  $x_t$ , se obține:

$$x_t = \frac{F - \mu A_h A_t x_h}{m_t(\omega_t^2 - \omega^2 + \gamma_t i \omega)}. \quad (5.53)$$

În mod similar se procedează pentru determinarea deplasării  $x_h$ .

Frecvența proprie neamortizată pentru un oscilator liber este:

$$\omega_h^2 = \frac{\mu A_h^2}{m_h}, \quad (5.54)$$

iar

$$x_h = \frac{-\mu A_h A_t x_t}{m_h(\omega_t^2 - \omega^2 + \gamma_h i \omega)}. \quad (5.55)$$

Se observă că termenul ce exprimă legătura placă – gaură acustică  $\mu A_t A_h$  apare în ambele ecuații și implică ariile celor două elemente cuplate (aerul și placa). Notând cu  $\alpha_{ht} = \mu A_t A_h$  și definind:

$$D_t = m_t(\omega_t^2 - \omega^2 + \gamma_h i \omega), \quad (5.56)$$

și 
$$D_h = m_h(\omega_h^2 - \omega^2 + \gamma_t i \omega), \quad (5.57)$$

soluțiile pentru  $x_t$  și  $x_h$  vor fi de forma (Christensen, 1980, Wright, 1996):

$$x_t = \frac{FD_h}{D_h D_t - \alpha_{ht}^2}; \quad (5.58)$$

$$x_h = \frac{-\alpha_{ht}^2 F}{D_h D_t - \alpha_{ht}^2}. \quad (5.59)$$

Dacă se consideră sistemul format din placa de față, spatele și aerul din cavitate asimilat cu un sistem cu 3 grade de libertate: pistonul plăcii acustice, gaura acustică și al treilea - spatele cu notațiile:  $m_b$  masa,  $k_b$  constanta elastică, aria efectivă  $A_b$  (Christensen 1982), ecuațiile mișcării sunt:

$$m_t \frac{\partial^2 x_t}{\partial t^2} = F - k_t x_t - c_t \frac{\partial x_t}{\partial t} + A_t \Delta P; \quad (5.60)$$

$$m_h \frac{\partial^2 x_h}{\partial t^2} = A_h \Delta P - c_h \frac{\partial x_h}{\partial t}; \quad (5.61)$$

$$m_b \frac{\partial^2 x_b}{\partial t^2} = \Delta P A_b - k_b x_b - c_b \frac{\partial x_b}{\partial t}, \quad (5.62)$$

unde:

$c_b$  este rezistența pe care placa de spate o opune mișcării,

$\Delta P$  - schimbarea de presiune din cavitate, rezultând mișcarea pistonului.

Volumul modificat rezultat ca urmare a mișcării este dat de expresia:

$$\Delta V = A_t x_t + A_h x_h + A_b x_b, \quad (5.63)$$

unde toate deplasările pozitive ale pistoanelor sunt spre exterior.

Înlocuind expresia (5.63) în ecuațiile (5.60), (5.61), (5.62) rezultă următoarele expresii:

$$m_t \frac{\partial^2 x_t}{\partial t^2} = F - x_t(k_t + \mu A_t^2) - R_t \frac{\partial x_t}{\partial t} - \alpha_{ht} x_h - \alpha_{bt} x_b; \quad (5.64)$$

$$m_h \frac{\partial^2 x_h}{\partial t^2} = -\mu A_h^2 x_h - R_h \frac{\partial x_h}{\partial t} - \alpha_{ht} x_h - \alpha_{bh} x_b; \quad (5.65)$$

$$m_b \frac{\partial^2 x_b}{\partial t^2} = -\mu A_b^2 x_b - R_b \frac{\partial x_b}{\partial t} - \alpha_{hb} x_b - \alpha_{bt} x_t, \quad (5.66)$$

unde constantele de legătură sunt definite prin expresiile:

$$\alpha_{bt} = \mu A_b A_t, \alpha_{ht} = \mu A_h A_t, \alpha_{bh} = \mu A_b A_h. \quad (5.67)$$

Frecvența de rezonanță cu amortizare ușoară a plăcii de spate ca sistem cu un singur grad de libertate este dată de relația:

$$\omega_b^2 = \frac{k_b + \mu A_b^2}{m_b}. \quad (5.68)$$

Substituind în ecuațiile diferențiale ale deplasărilor (5.60), (5.61), (5.62), rezultă următoarele ecuații diferențiale (Christensen 1980; Wright, 1996):

$$\frac{\partial^2 x_t}{\partial t^2} = \frac{F}{m_t} - \omega_t^2 x_t - \gamma_t \frac{\partial x_t}{\partial t} - \frac{\alpha_{ht}}{m_t} x_h - \frac{\alpha_{bt}}{m_t} x_b; \quad (5.69)$$

$$\frac{\partial^2 x_h}{\partial t^2} = -\omega_h^2 x_h - \gamma_h \frac{\partial x_h}{\partial t} - \frac{\alpha_{ht}}{m_h} x_t - \frac{\alpha_{bh}}{m_h} x_b; \quad (5.70)$$

$$\frac{\partial^2 x_b}{\partial t^2} = -\omega_b^2 x_b - \gamma_b \frac{\partial x_b}{\partial t} - \frac{\alpha_{bt}}{m_b} x_t - \frac{\alpha_{bh}}{m_b} x_h, \quad (5.71)$$

unde factorul de amortizare al plăcii de spate este definit prin:  $\gamma_b = \frac{R_b}{m_b}$ .

Presupunând că deplasarea este sinusoidală datorită forței sinusoidale aplicate, expresiile derivatelor deplasărilor vor fi de forma:

$$x_t = \frac{F - \alpha_{ht} x_b - \alpha_{bt} x_b}{m_t(\omega_t^2 - \omega^2 + \gamma_t i \omega)}; \quad (5.72)$$

$$x_h = \frac{-\alpha_{ht} x_t - \alpha_{bh} x_b}{m_h(\omega_h^2 - \omega^2 + \gamma_h i \omega)}; \quad (5.73)$$

$$x_b = \frac{F - \alpha_{hb} x_h - \alpha_{bt} x_t}{m_b(\omega_b^2 - \omega^2 + \gamma_b i \omega)}. \quad (5.74)$$

Pentru simplificarea calculelor, se introduce notația:

$$D_b = m_b(\omega_b^2 - \omega^2 + i \gamma_b \omega). \quad (5.75)$$

Astfel, înlocuind cu notațiile făcute, ecuațiile (30), (31), (32) vor deveni de forma (Christensen, 1980; Wright, 1996):

$$x_t D_t + \alpha_{ht} x_h + \alpha_{bt} x_b = F; \quad (5.76)$$

$$x_h D_h + \alpha_{ht} x_t + \alpha_{bh} x_b = 0; \quad (5.77)$$

$$x_b D_b + \alpha_{bt} x_t + \alpha_{bh} x_h = F. \quad (5.78)$$

Pentru determinarea deplasărilor  $x_t, x_h, x_b$  ecuațiile (5.76), (5.77), (5.78) pot fi scrise matriceal astfel:



$$\begin{bmatrix} D_t & \alpha_{ht} & \alpha_{bt} \\ \alpha_{ht} & D_h & \alpha_{hb} \\ \alpha_{bt} & \alpha_{hb} & D_b \end{bmatrix} \begin{bmatrix} x_t \\ x_h \\ x_b \end{bmatrix} = \begin{bmatrix} F \\ 0 \\ 0 \end{bmatrix}. \quad (5.79)$$

Calculând determinații conform regulii lui Cramer, se determină soluțiile deplasărilor sub forma:

$$x_t = \frac{\det \begin{bmatrix} F & \alpha_{ht} & \alpha_{bt} \\ 0 & D_h & \alpha_{hb} \\ 0 & \alpha_{hb} & D_b \end{bmatrix}}{\det \begin{bmatrix} D_t & \alpha_{ht} & \alpha_{bt} \\ \alpha_{ht} & D_h & \alpha_{hb} \\ \alpha_{bt} & \alpha_{hb} & D_b \end{bmatrix}}. \quad (5.80)$$

În final se obține:

$$x_t = \frac{F(D_b D_h - \alpha_{hb}^2)}{D_t D_h D_b + 2\alpha_{ht} \alpha_{hb} \alpha_{bt} - [D_t (\alpha_{hb})^2 + D_h (\alpha_{bt})^2 + D_b (\alpha_{ht})^2]}; \quad (5.81)$$

$$x_h = \frac{-F(D_b \alpha_{ht} - \alpha_{hb} \alpha_{bt})}{D_t D_h D_b + 2\alpha_{ht} \alpha_{hb} \alpha_{bt} - [D_t (\alpha_{hb})^2 + D_h (\alpha_{bt})^2 + D_b (\alpha_{ht})^2]}; \quad (5.82)$$

$$x_b = \frac{F(\alpha_{ht} \alpha_{hb} - D_h \alpha_{bt})}{D_t D_h D_b + 2\alpha_{ht} \alpha_{hb} \alpha_{bt} - [D_t (\alpha_{hb})^2 + D_h (\alpha_{bt})^2 + D_b (\alpha_{ht})^2]}; \quad (5.83)$$

Cercetările privind elaborarea unor modele analitice ale corpului de chitară au relevat faptul că obținerea soluțiilor matematice concrete pe această cale este anevoioasă datorită complexității structurii și tipurilor de medii (solid, fluid) care produc și mediază vibrațiile mecanice ale corpului de chitară.

O alternativă modernă, rapidă și convenabilă de găsire a soluțiilor aproximative în locul utilizării algoritmilor matematici clasici, în contextul unor structuri de complexitate mare, este dată de noile softuri de analiză dinamică bazate pe modelarea matematică a vibrațiilor utilizând metoda elementelor finite.

### 5.3. Modelarea numerică a plăcilor de chitară prin metoda elementelor finite

Fenomenele complexe care se dezvoltă în timpul solicitărilor ciclice sunt de natură structurală și de natură acustică, interdependente între ele. Din acest punct de vedere, teoriile analitice care stau la baza funcționării chitarei abordează cu precădere unul din aspecte, fapt pentru care sunt introduse o serie de ipoteze simplificatoare. Cu toate acestea, calculele care utilizează aceste teorii sunt numeroase și laborioase. În prezent, modelarea matematică - analitică a chitarei este înlocuită cu metode numerice - metoda elementelor finite (FEM) sau metoda diferențelor finite (DFM) care stau la baza softurilor de modelare numerică.

### 5.3.1. Analiza dinamică prin metoda elementului finit

Metoda elementului finit reprezintă o extindere a metodei matriceale a deplasărilor din mecanica structurilor (Munteanu, 1998). Numele de *element finit* se rezumă la conceptul de bază al metodei și anume transformă un sistem cu un număr infinit de necunoscute (răspunsul, în fiecare locație dintr-un sistem) la un sistem cu număr finit de necunoscute (răspunsul structurii în fiecare nod al structurii discretizate). Necunoscutele sunt gradele de libertate ale sistemului și reprezintă răspunsurile obținute la acțiunile exterioare exercitate asupra structurii mecanice. Tipul gradelor de libertate se exprimă în funcție de tipul încărcării exterioare precum și de felul aplicației. Principalele concepte ale metodei elementelor finite sunt:

- Metoda elementelor finite aproximează problemele ingineresti prin utilizarea discretizării structurilor sau sistemelor în elemente interconectate;
- Gradele de libertate sunt localizate în nodurile fiecărui element și reprezintă necunoscutele sistemului;
- Fiecare element are o funcție de formă aproximativă care indică valorile gradelor de libertate dinspre noduri către punctele din element. Aceasta este utilizată pentru a forma o matrice de rigiditate a elementului  $[K]$  ce stabilește legătura dintre gradele de libertate și acțiunile exterioare pentru acel element;
- Asamblarea tuturor matricelor de rigiditate  $[K]$  într-un model cu elemente finite, conduce la un sistem de ecuații a căror necunoscute sunt gradele de libertate.

Valorile gradelor de libertate fiind determinate, se pot determina și alte mărimi derivate din acestea. Gradele de libertate și încărcările exterioare sunt puse în legătură prin intermediul unui set de ecuații de bază de forma (Munteanu, 1988):

$$[K] \cdot \{d\} = \{A\} \quad (5.84)$$

unde:

$\{d\}$  reprezintă vectorul gradelor de libertate;

$\{A\}$  - vectorul încărcării exterioare;

$[K]$  - matricea de rigiditate.

În cazul discretizării corpului continuu cu elemente finite se obține un sistem dinamic cu mai multe grade de libertate care reprezintă ecuațiile de echilibru nodal (cineto-stactice) exprimate în funcție de deplasări și derivatele în raport cu timpul a acestora (viteza și accelerația):

$$[M] \left\{ \ddot{u} \right\} + [C] \left\{ \dot{u} \right\} + [K] \{u\} = \{F(t)\} \quad (5.85)$$

cu condițiile inițiale:  $t=0$ ,  $u=u_0$ ,  $\dot{u} = v_0$ , unde  $[M]$ ,  $[C]$ ,  $[K]$  sunt matrice pătratice simetrice – matricea

maselor, matricea de amortizare și matricea de rigiditate a întregii structuri, iar  $\{u\}$ ,  $\left\{ \dot{u} \right\}$ ,  $\left\{ \ddot{u} \right\}$  și

$\{F\}$  sunt matricele coloană (vectori) ale deplasărilor, vitezelor, accelerațiilor și respectiv a încărcării exterioare.

Matricea de rigiditate a structurii se determină prin asamblarea matricelor de rigiditate a elementelor finite. Matricele  $[M]$  și  $[C]$  se determină analog plecând de la nivelul unui element finit. Astfel, se pleacă de la principiul lucrului mecanic virtual aplicat unui corp elastic pentru orice câmp de deplasări virtual, geometric admisibile (Munteanu, 1998):

$$\delta\Pi = \int_D \{\delta\varepsilon\}^T [D]\{\varepsilon\}dv - \int_D \{du\}^T \{X\}dv - \int_\Gamma \{\delta u\}^T \{F\}ds = 0 \quad (5.86)$$

S-au folosit notațiile:

$\Pi$  - energia potențială totală,

$D$ - domeniul ocupat de corp,

$\{\varepsilon\}$ - deformațiile dintr-un punct oarecare al plăcii,

$\{\delta\varepsilon\}$  - deformațiile virtuale produse de câmpul deplasărilor virtuale  $\{\delta u\}$ ,

$[D]$ - matricea legii lui Hooke,

$\{u\}$ - câmpul deplasărilor ce se dezvoltă în placă ca urmare a încărcării exterioare,

$\{F\}$ - încărcarea exterioară ce acționează asupra frontierei  $\Gamma$  a domeniului  $D$ ,

$\{X\}$ - forțe distribuite în volumul corpului.

Ca urmare a faptului că încărcarea exterioară  $\{F\}$  precum și deplasările variază în funcție de timp, în corp apare și o forță de inerție distribuită în toată masa corpului. Deci în elementul de volum  $dv$  apar forțele de inerție:  $-\rho\left\{\ddot{u}\right\}dv$ ,

unde:  $\left\{\ddot{u}\right\}$  - vectorul accelerației dintr-un punct curent, iar  $\rho$  - densitatea materialului.

De asemenea, ca urmare a frecărilor interioare se dezvoltă forțe de amortizare, care se consideră a fi proporționale cu viteza și se opun vitezei; într-un element de volum se dezvoltă forța:

$-\mu\left\{\dot{u}\right\}dv$ , unde  $\left\{\dot{u}\right\}$  este vectorul vitezelor, iar  $\mu$  coeficientul de proporționalitate.

Înlocuind în relația (5.86), se obține:

$$\int_D \{\delta u\}^T \rho \left\{\ddot{u}\right\} dv + \int_D \{du\} \mu \left\{\dot{u}\right\} dv + \int_D \{\delta\varepsilon\}^T [D]\{\varepsilon\}dv - \int_D \{\delta u\}^T \{X\}dv - \int_\Gamma \{\delta u\}^T \{F\}ds = 0$$

(5.87) pentru orice câmp de deplasări virtuale  $\{\delta u\}$  geometric admise.

Dacă placa se împarte în elemente finite, la nivelul fiecărui element se poate scrie:

$$\{u\} = [N]\{a\}, \quad \{\varepsilon\} = [B]\{a\} \quad (5.88)$$

unde:  $\{a\}$  este vectorul deplasărilor nodale ale elementului considerat, funcție de timp,  
 $[N]$  este matricea funcțiilor de interpolare care leagă matricea deplasărilor nodale ale elementului finit de câmpul deplasărilor din interiorul elementelor, funcție de punct,  
 iar  $[B]$  este matricea care permite exprimarea câmpului de deformații din interiorul elementului în funcție de deplasările nodale.

Se înlocuiește corpul, domeniul  $D$ , prin ansamblul de elemente finite și ținând cont că se poate scrie pentru fiecare element finit al discretizării:

$$\left\{ \begin{matrix} \dot{u} \\ \ddot{u} \end{matrix} \right\} = [N] \left\{ \begin{matrix} \dot{a} \\ \ddot{a} \end{matrix} \right\} \quad (5.89)$$

unde matricea  $[N]$  depinde numai de punct, nu și de timp, precum și:

$$\{\delta u\} = [N]\{\delta a\} \quad \text{și} \quad \{\delta \varepsilon\} = [B]\{\delta a\} \quad (5.90)$$

Relația (5.85) valabilă pentru tot ansamblul de elemente finite, devine:

$$\left( \sum_{n_{el}} \int_{V_{el}} \rho [N]^T [N] dv \right) \left\{ \begin{matrix} \ddot{a} \\ \dot{a} \end{matrix} \right\} + \left( \sum_{n_{el}} \int_{V_{el}} \mu [N]^T [N] dv \right) \left\{ \begin{matrix} \dot{a} \\ a \end{matrix} \right\} + \left( \sum_{n_{el}} \int_{V_{el}} \rho [B]^T [D] [B] dv \right) \left\{ \begin{matrix} a \\ \dot{a} \end{matrix} \right\} = \int_D [N]^T \{X\} dv + \int_{\Gamma} [N]^T \{p\} ds \quad (5.91)$$

Tipurile de analiză dinamică ce se pot efectua cu softuri de modelare prin metoda elementelor finite sunt: analiza modurilor proprii de vibrații (vibrații libere neamortizate), analiza liniară de răspuns în frecvență (analiza răspunsului unei structuri în regim staționar la încărcările care variază în funcție de frecvență) și analiza liniară de răspuns tranzitoriu (analiza răspunsului unei structuri la încărcările care variază în funcție de timp).

### Tipuri de plăci analizate cu FEM

Pentru analiza modală a plăcilor de chitară, s-au modelat geometric 9 variante de plăci acustice:

- placa simplă cu gaură (notată PS)– fără elemente de rigidizare (Fig. 5.24.a);
- placa cu trei bare transversale de rigidizare (notată P3BT) (Fig. 5.24.b);
- placa cu trei bare radiale de rezonanță (notată P3BR) (Fig. 5.24.c);
- placa cu cinci bare radiale de rezonanță (notată P5BR)(Fig. 5.23.d);
- placa cu trei bare radiale și două transversale (notată P3BR2T) (Fig. 5.24.e);
- placa cu cinci bare radiale și două transversale (notată P5BR2T) (Fig. 5.24.f);
- placa cu 7 bare radiale și 2 transversale (P7BR2T);
- placa cu trei bare radiale, două transversale și două oblice (notată P3BR2V) (Fig. 5.24.g);
- placa cu cinci bare radiale, două transversale și două oblice (notată P5BR2V) (Fig. 5.24.h);

- placa cu 7 bare radiale 2 transversale și 2 oblice notată (notată P7BR2V) (Fig. 5.24.i) respectându-se dimensiunile practicate la fabrica de instrumente muzicale S.C. Hora S.A. Reghin, Romania.

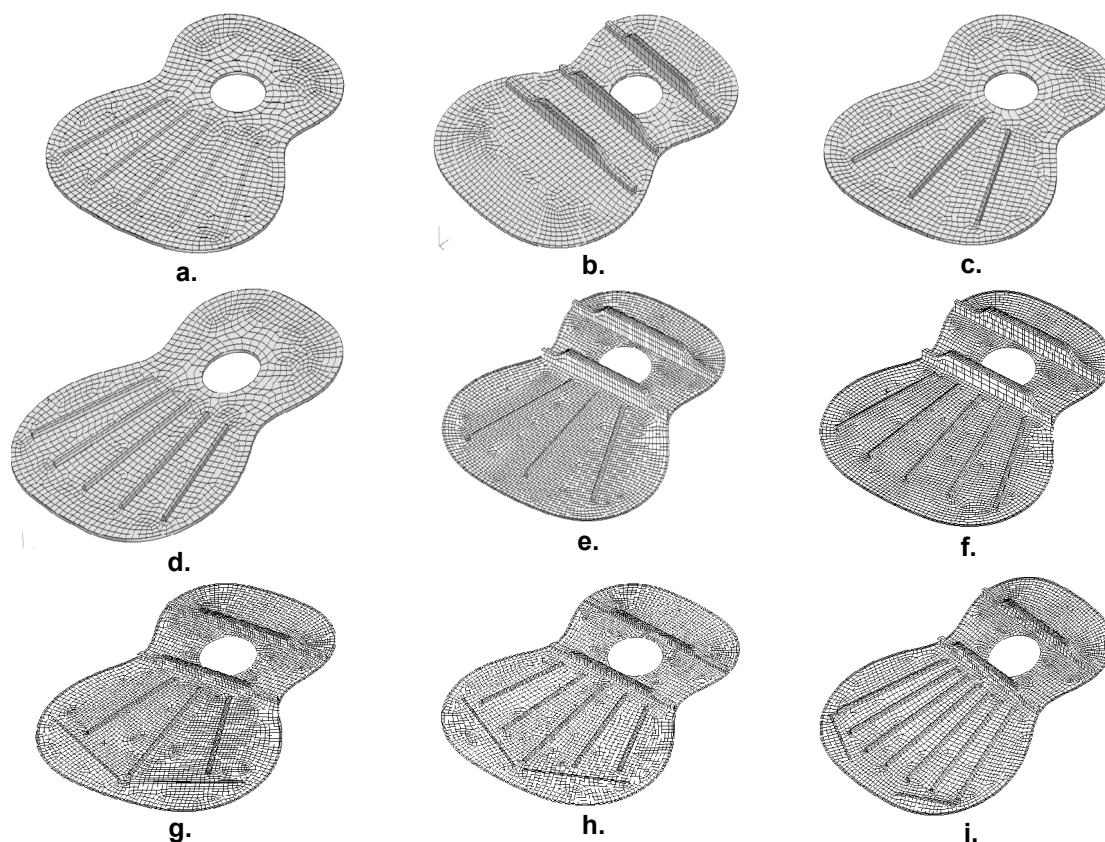


Fig. 5.24. Variante de plăci modelate cu FEM

Modelarea și simularea s-au realizat cu ajutorul pachetului Patran Nastran 2004. Pentru discretizarea în elemente finite s-au utilizat elemente de tip „placă” – *shell* (în limba engleză) cu patru noduri de colț (QUAD4), numărul gradelor de libertate pe nodul elementului fiind 6. Pentru nodurile de pe conturul plăcii s-au anulat toate gradele de libertate, echivalând astfel încastrarea reală a plăcii de rama cutiei. În etapa de preprocesare, s-au introdus pe rând parametrii specifici materialului și geometriei plăcii:

- grosimile ( $h=1,5; 2; 2,5; 3; 3,5 \text{ mm}$ );
- modulul de elasticitate ( $E= 10000, 12000, 14000 \text{ MPa}$ ) (Curtu 1984);
- densitatea ( $\rho= 350, 400, 450, 500 \text{ kg/m}^3$ );
- sistemul de bare.

păstrându-se constant coeficientul lui Poisson ( $\nu=0,36$ ) și modulul de elasticitate transversal ( $G=5000 \text{ MPa}$ ). Valorile modulului de elasticitate  $E$  și al densității  $\rho$  au fost preluate din literatura de specialitate și pe baza rezultatelor modelării analitice (Bucur 2006, Rossing 2004, Curtu 1984).

Analiza dinamică a urmărit:

- (a) Determinarea frecvențelor proprii și modurilor proprii ale plăcilor lignocelulozice compozite;
- (b) Determinarea răspunsului în frecvență al plăcilor în cazul vibrațiilor forțate cu amortizare sub acțiunea periodică a unei forțe concentrate ce variază cu frecvența cuprinsă în intervalul 20-1000 Hz.

În urma analizei cu FEM s-au obținut numeroase rezultate evidențiate prin figuri și grafice, dintre care: moduri proprii de vibrații, valorile frecvențelor proprii  $f_{1...10}$  și amplitudinilor pentru primele 10 moduri – reprezentând numărul frecvențelor de interes, care au fost analizate și sintetizate sub formă de grafice. Rezultatele cercetării au fost comparate cu cele din literatura de specialitate, respectiv cu valorile frecvențelor proprii pentru diferite structuri de plăci.

#### **5.3.1.1. Determinarea frecvențelor proprii și modurilor proprii ale plăcilor lignocelulozice compozite**

Analiza modală este utilizată pentru determinarea caracteristicilor dinamice de bază ale unei structuri. Rezultatele unei analize modale indică frecvențele și formele de vibrații la care o structură tinde să vibreze. Deși rezultatele unei analize modale nu se bazează pe o încărcare specifică, ele pot fi folosite pentru a anticipa efectele aplicării sarcinilor periodice variabile. Soluția modală se obține în urma unei analize modale care constă în parcurgerea următoarelor etape:

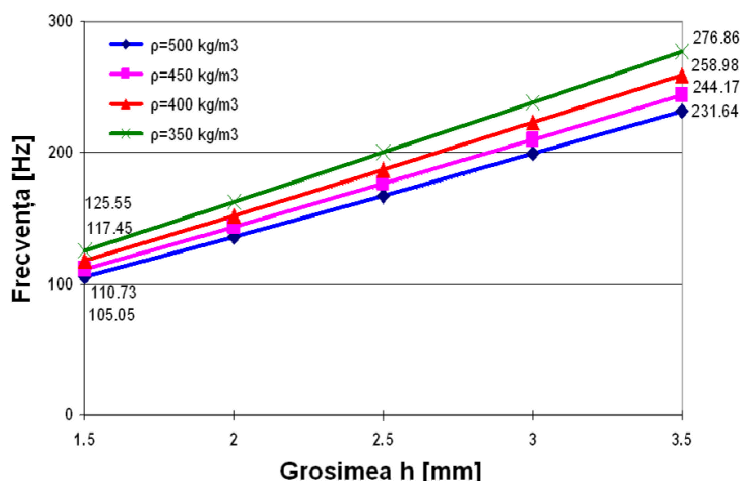
- generarea modelului cu elemente finite;
- definirea proprietăților de material și aplicarea condițiilor de frontieră pe sistemul analizat;
- pregătirea modelului pentru analiza modală propriu-zisă;
- generarea unui fișier de analiză și rulare a acestuia;
- vizualizarea și interpretarea rezultatelor sub formă de frecvențe proprii și modurile de vibrație.

Toate rezultatele analizei modale au fost interpretate în funcție de parametrii care au fost modificați succesiv în modelarea cu FEM. Astfel, s-au stabilit factorii de influență și ponderea lor în răspunsul modal al structurilor studiate.

#### ***Influența grosimii plăcilor asupra frecvențelor proprii***

Cu creșterea grosimii plăcilor, se observă creșterea liniară a frecvențelor fundamentale ale plăcilor, indiferent de structura de rigidizare (Fig. 5.25). Plăcile cu densitatea mică ( $350 \text{ kg/m}^3$ ) au frecvențe cu aproximativ 20% mai mari decât plăcile din materiale lignocelulozice cu densități mari ( $500 \text{ kg/m}^3$ ) (Curtu, I., Stanciu, M., Itu, C., Grimberg, R. 2008 –[C23]).

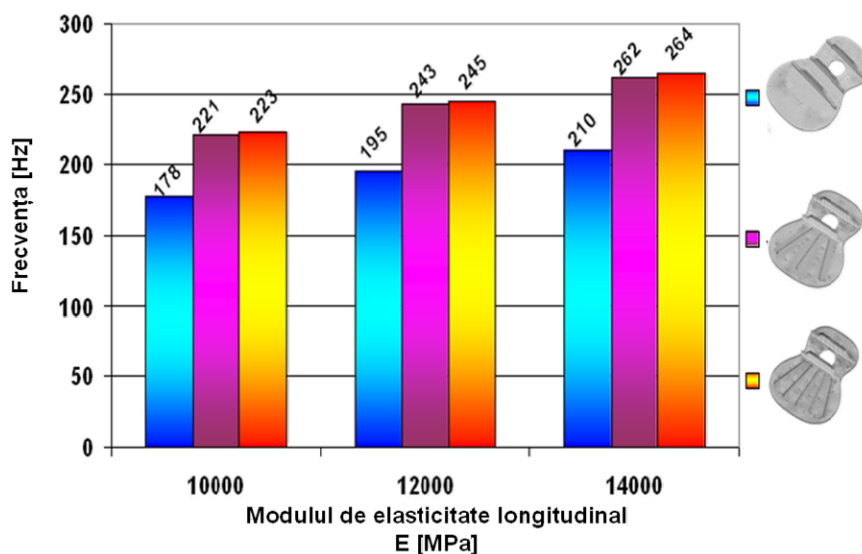




**Fig. 5.25.** Variația frecvențelor pentru primul mod de vibrație în raport cu grosimea  $h$  a plăcii, în cazul plăcii cu 5 bare de rigidizare și  $E=10000 \text{ MPa}$

### ***Influența modului de elasticitate longitudinal asupra frecvențelor proprii***

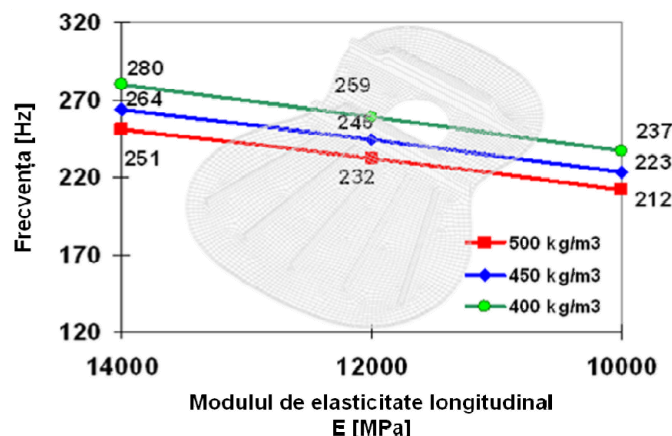
Din Fig. 5.26 se observă că pentru aceeași grosime și densitate a plăcii, indiferent de sistemul de bare aplicat pe placă, creșterea modului de elasticitate cu 40% duce la creșterea frecvențelor proprii cu aproximativ 25% (Stanciu 2008, [S13]). Aceeași tendință de variație s-a obținut și prin modelarea analitică.



**Fig. 5.26.** Variația frecvențelor primului mod de vibrație în raport cu modulul de elasticitate  $E$ , pentru trei cazuri diferite de plăci cu grosimea  $h=2,5 \text{ mm}$  și densitatea  $\rho= 450 \text{ kg/m}^3$

### ***Influența densității asupra frecvențelor proprii***

Creșterea densității materialului plăcii cu 20 %, conduce la scăderea frecvențelor proprii cu aproximativ 10 % (Fig. 5.27). Creșterea valorii modului de elasticitate longitudinal al plăcii cu 30% determină creșterea frecvențelor cu aproximativ 15 %.



**Fig. 5.27.** Variația frecvențelor pentru primul mod de vibrație în raport cu modulul de elasticitate  $E$ , în cazul plăcii cu cinci bare radiale și două transversale

### **Influența numărului și modului de dispunere a sistemului de bare**

Rigidizarea plăcilor cu bare transversale, radiale și oblice produce modificări ale configurațiilor vibratorii și ale valorilor frecvențelor proprii. În Tabelul 5.2. sunt redate centralizat valorile primei frecvențe proprii ale plăcilor analizate cu FEM, pentru diferite module de elasticitate longitudinală.

**Tabelul 5.2.**

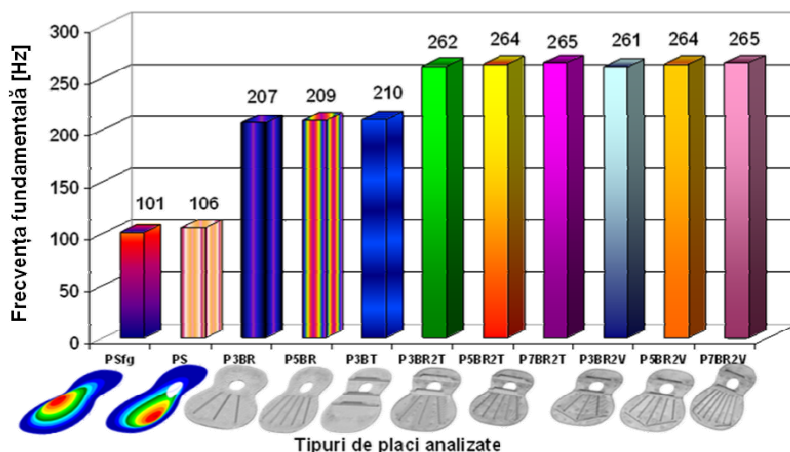
Valorile frecvențelor fundamentale ale plăcilor analizate cu FEM, cu grosimea  $h=2,5$  mm și densitatea  $\rho=450$  kg/m<sup>3</sup>, coeficientul lui Poisson  $\nu=0,36$

	14000 MPa	12000 MPa	10000 MPa
PSfg	101	92	87
PS	106	98	89
P3BR	207	175	155
P5BR	209	193	176
P3BT	210	194	178
P3BR2T	262	242	221
P5BR2T	264	243	223
P7BR2T	265	244	224
P3BR2V	261	241	220
P5BR2V	264	243	224
P7BR2V	265	246	224

Din Fig. 5.28 se observă că valorile frecvențelor fundamentale cresc cu creșterea numărului și modului de dispunere a barelor de rezonanță pe placă. Se constată că, din punct de vedere constructiv și al frecvențelor proprii, plăcile pot fi grupate în trei categorii:

- grupa I - plăci fără bare transversale, cu frecvențele cuprinse în intervalul 80 – 120 Hz;
- grupa II - plăci cu bare dispuse numai radial sau numai transversal, cu frecvențele cuprinse în intervalul 150 – 210 Hz;
- grupa III – plăci cu dispunere combinată a barelor (radială, transversală și oblică) cu frecvențele cuprinse în intervalul 240 – 270 Hz.

Un rol deosebit în răspunsul plăcilor la vibrații libere, îl au barele transversale de rigidizare, care, prin geometria și dimensiunile lor, produc modificări atât ale frecvențelor proprii, cât și ale modurilor de vibrație. Rigidizarea plăcilor cu bare dispuse în V, nu produce o creștere semnificativă a frecvențelor fundamentale față de sistemul similar, fără adaosul de bare în V. Numărul barelor produce o diferență sensibilă (de 1,1%) a frecvențelor proprii, care poate fi compensată prin caracteristici geometrice sau ale materialului barelor.



**Fig. 5.28.** Comparații între valorile frecvențelor ale diferitelor tipuri plăci analizate cu FEM pentru parametrii: modulul de elasticitate longitudinal  $E=14000$  MPa, grosimea  $h=2,5$  mm și densitatea  $\rho=450$  kg/m<sup>3</sup>, coeficientul lui Poisson  $\nu=0,36$

### Influența găurii acustice asupra frecvențelor proprii

Pentru stabilirea modului în care existența găurii acustice influențează modurile proprii de vibrație și valoarea frecvențelor proprii, s-a analizat prin metoda elementelor finite placa simplă de chitară, fără nervurații și fără gaura acustică și aceeași placă prevăzută cu rozetă. În etapa de preprocesare s-au introdus aceleași caracteristici ale materialului, astfel încât să se obțină frecvențele proprii determinate de schimbarea structurii plăcii prin prezența găurii sonore. În Fig. 5.29. și 5.30 sunt redate modurile proprii de vibrații, iar în Tabelul 5.3. sunt centralizate frecvențele proprii și variația procentuală dintre cele două tipuri de plăci.

**Tabelul 5.3.**

Influența găurii acustice asupra frecvențelor proprii ale plăcilor de chitară, pentru:  
 $E=13000$  MPa,  $G=2300$  MPa,  $\nu=0,4$ ,  $\rho=500$  kg/m<sup>3</sup>,  $h=2,5$  mm

Modul	Placa fără gaură sonoră	Placa cu gaură sonoră	Variația frecvențelor proprii ale plăcii cu rozetă față de placa simplă fără rozetă [%]
	Frecvența [Hz]	Frecvența [Hz]	
1	191,64	191,65	+0,00052
2	295,79	310,84	+4,5
3	405,56	404,99	-0,14
4	437,14	428,00	-2,09
5	638,70	598,35	-6,8
6	646,94	619,39	-4,258
7	702,26	695,79	-0,921
8	727,18	698,61	-3,92
9	931,33	914,99	-1,754
10	943,61	944,98	+0,145

S-a constatat că prezența găurii acustice nu produce diferențe majore ale valorilor frecvențelor proprii. Din punct de vedere al modurilor proprii, între placa simplă fără rozetă și cea cu gaură acustică nu există diferențe pentru primele 6 moduri de vibrații; începând cu al șaptelea mod, apar diferențe ale distribuției liniilor nodale.

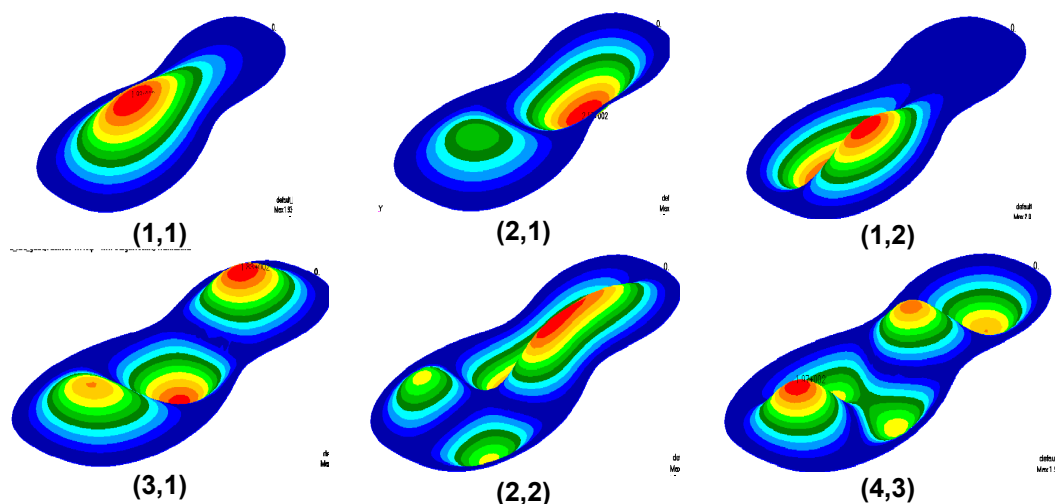


Fig. 5.29. Formele vibratorii în cazul plăcii simple fără rozetă

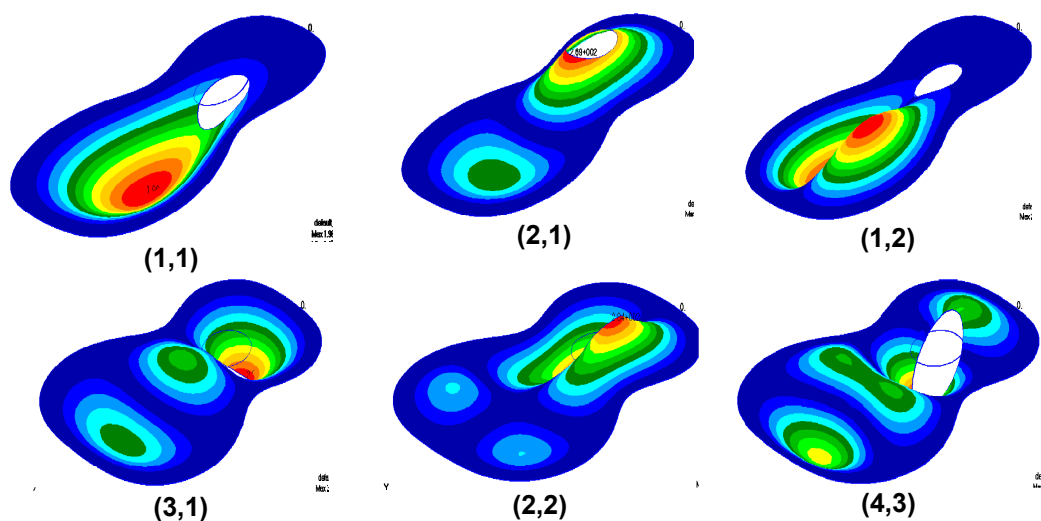


Fig. 5.30. Formele vibratorii în cazul plăcii simple cu rozetă

### ***Influența sistemului de bare asupra modurilor proprii***

În Fig. 5.29 – 5.38 sunt prezentate modurile de vibrație ale plăcilor cu diferite sisteme de rigidizare. Imaginile prezintă o selecție a modelărilor realizate pentru aceste structuri. S-a observat că modurile proprii determinate nu sunt influențate ca formă, mărime și succesiunea apariției de parametrii specifici materialului utilizați în etapa de preprocesare, respectiv: densitate, grosime, modul de elasticitate etc. În schimb structura plăcii – respectiv sistemul de nervurații, influențează aspectul modurilor de vibrație.

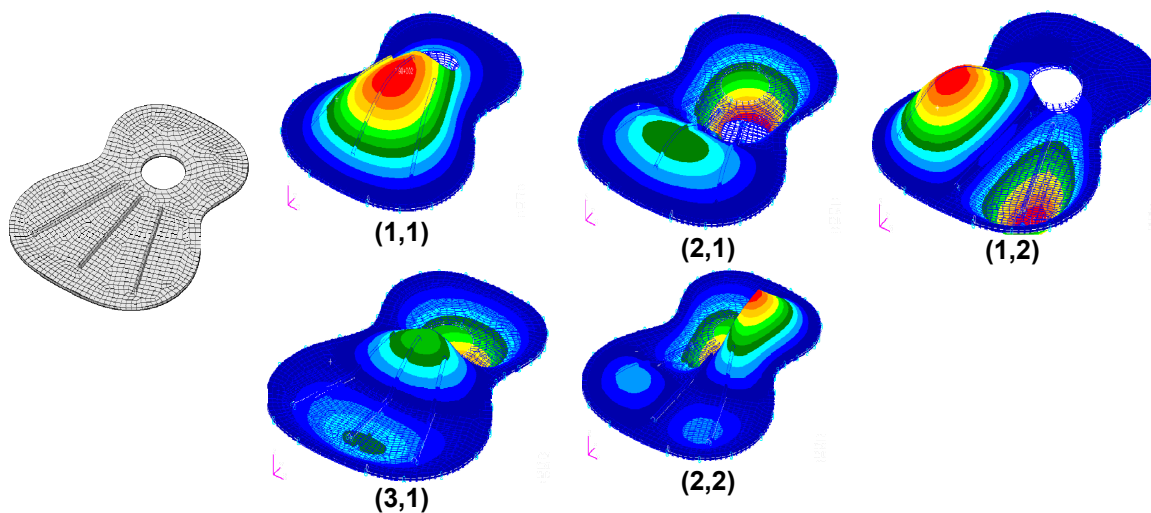


Fig. 5.31. Formele vibratorii în cazul plăcii cu 3 bare radiale

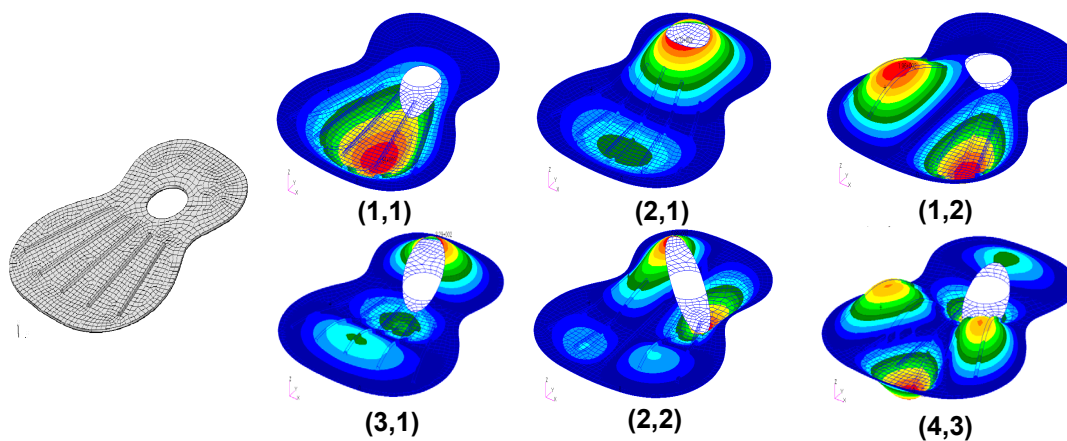


Fig. 5.32. Formele vibratorii în cazul plăcii cu 5 bare radiale

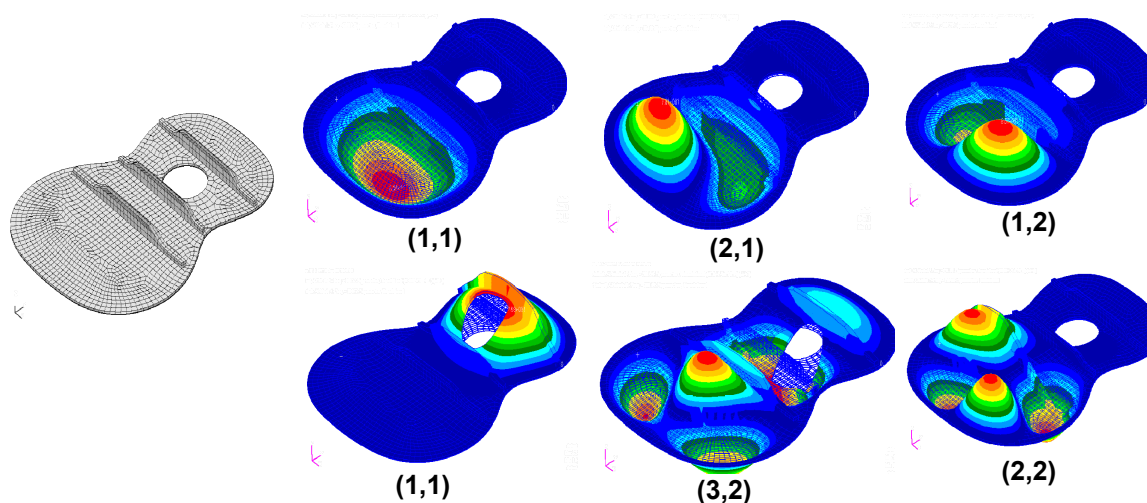


Fig. 5.33. Formele vibratorii în cazul plăcii cu 3 bare transversale



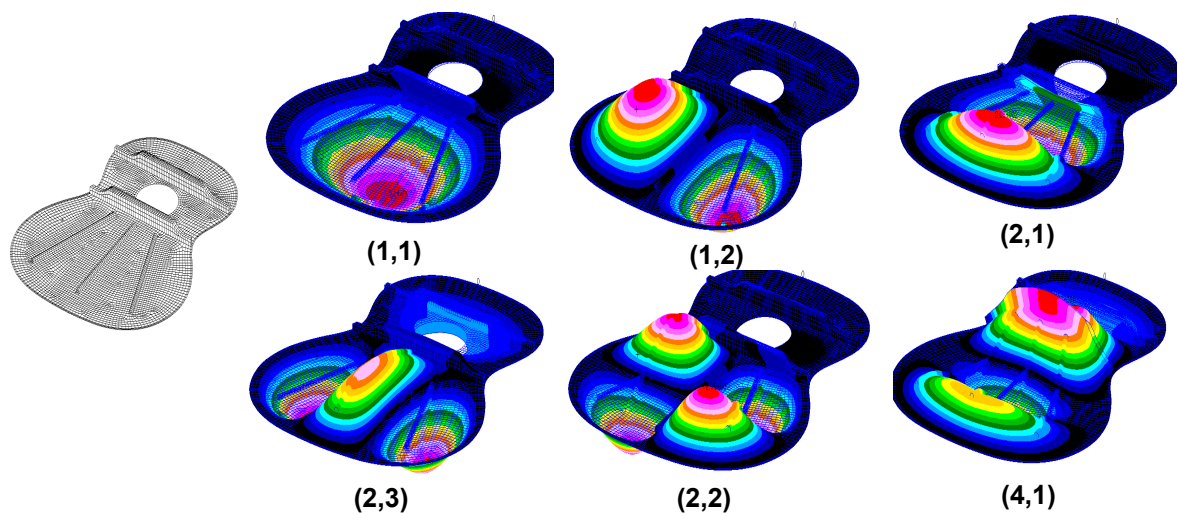


Fig. 5.34. Formele vibratorii în cazul plăcii cu 3 bare radiale și 2 transversale

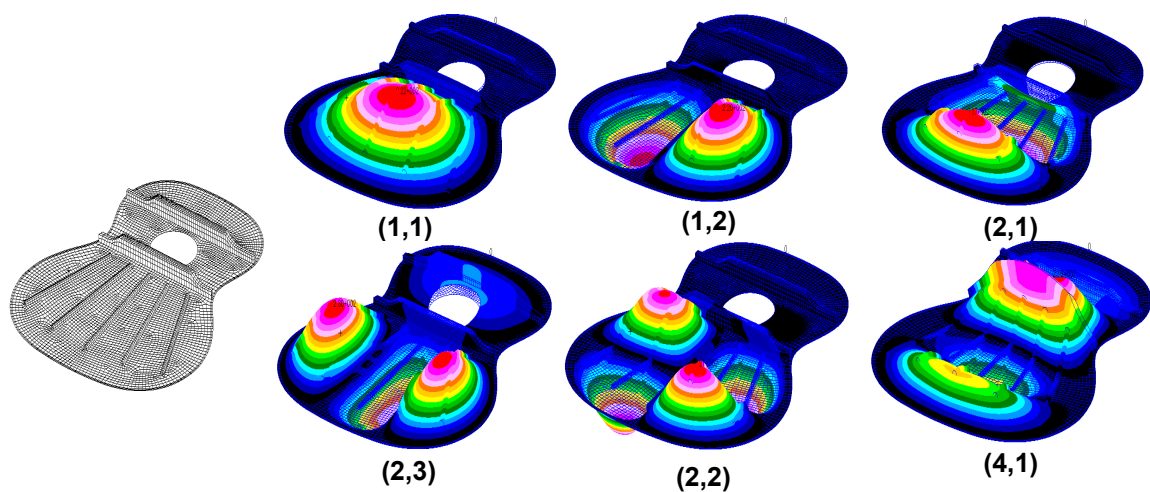


Fig. 5.35. Formele vibratorii în cazul plăcii cu 5 bare radiale și 2 transversale

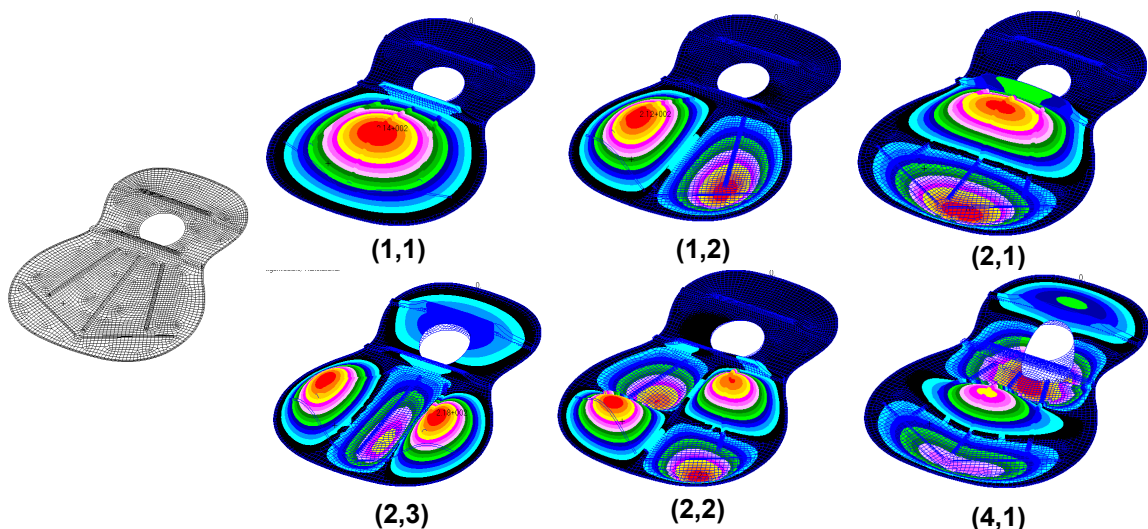
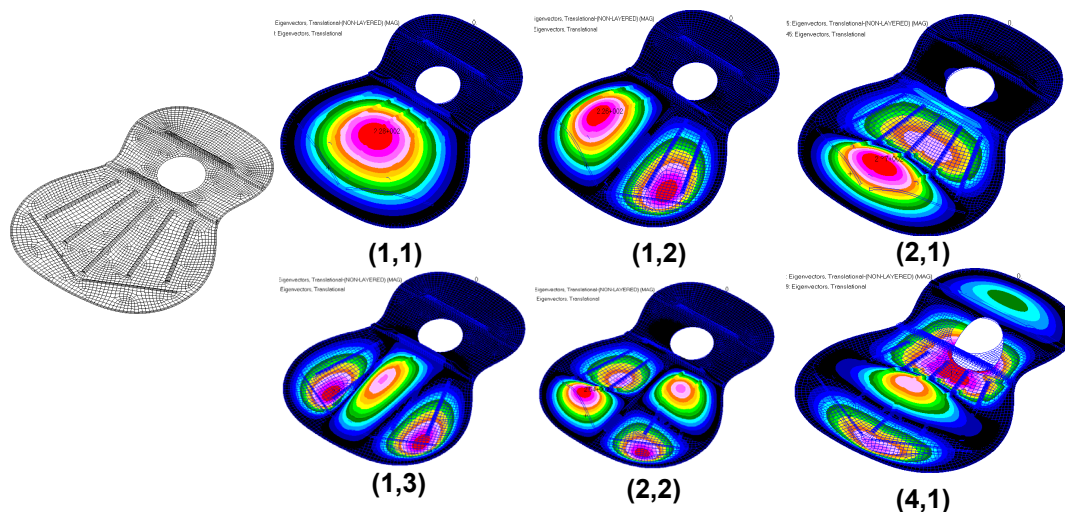
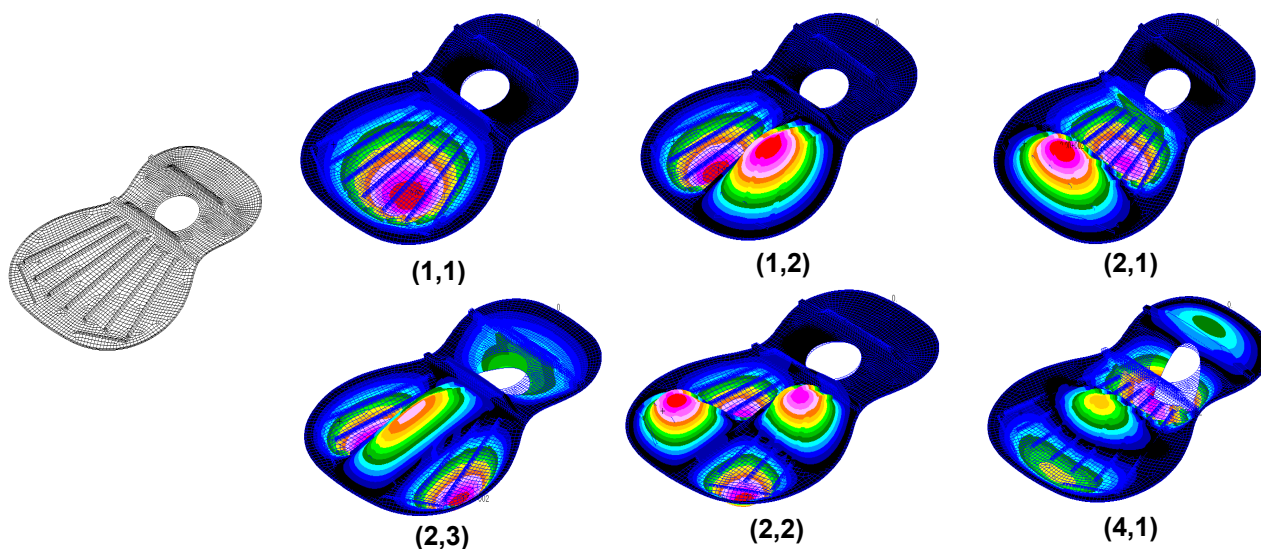


Fig. 5.36. Formele vibratorii în cazul plăcii cu 3 bare radiale, 2 transversale și 2 oblice





**Fig. 5.37.** Formele vibratorii pentru primele 6 moduri de vibrație în cazul plăcii cu 5 bare radiale, 2 transversale și 2 oblice



**Fig. 5.38.** Formele vibratorii în cazul plăcii cu 7 bare radiale, 2 transversale și 2 oblice

Analizând comparativ modurile de vibrație obținute în cazurile de plăci modelate, s-a observat că:

- *Primul mod de vibrație (1,1) prezintă aceeași formă indiferent de structura de rigidizare a plăcii, câmpul de radiație fiind mai mare în cazul plăcilor fără elemente de rigidizare transversală (Fig. 5.30, 5.31, 5.32 și 5.33);*
- *Plăcile fără elemente de rigidizare transversală prezintă al doilea mod de vibrație de tipul (1,2), comparativ cu celelalte plăci al căror mod este de forma (2,1). În cazul celor din urmă, ventrul de amplitudine se dezvoltă între poziția cordarului și bara de rigidizare transversală mediană (poziționată înainte de rozetă);*
- *Barele transversale de rigidizare modifică modurile proprii și ordinea formării lor pe placă;*
- *Modurile de vibrație ale plăcilor cu sistemul complet de bare de rigidizare: bare radiale, oblice și transversale indiferent de numărul acestora, sunt asemănătoare (Fig. 5.34, 5.35, 5.36 și 5.37);*

- În cazul plăcilor fără bare transversale de rigidizare, modurile de vibrație se formează pe întreaga suprafață a plăcii. Pentru celelalte tipuri de plăci, se observă o concentrare a modurilor de vibrație cu precădere între cordar și rozetă;
- Modurile proprii ale plăcilor nu sunt influențate semnificativ de grosime și material (densitate, modul de elasticitate, coeficientul lui Poisson).

### 5.3.1.2. Determinarea comportării dinamice a plăcilor la vibrații forțate

Pentru determinarea răspunsului forțat al plăcilor la acțiunea periodică a unei forțe unitare concentrate ce variază cu frecvența cuprinsă în intervalul 20-1000 Hz, s-au considerat următorii parametri:

- grosimea  $h=2,5\text{ mm}$ ;
- densitatea  $\rho= 450\text{ kg/m}^3$ ;
- coeficientul lui Poisson  $\nu=0,36$ ;
- modulul de elasticitate longitudinal ( $E= 12000, 14000\text{ MPa}$ );
- forța ( $F=1\text{ N}$  sau  $F=20\text{ N}$ ) aplicată în nodurile din zona cordarului (zona unde în realitate se transmite vibrația de la corzi la placa acustică și cutia sonoră);
- forța aplicată variază cu periodic în gama de frecvență 20-1000 Hz;
- coeficientul de amortizare ( $\delta=0,02; 0,04; 0,06$ );
- 3 variante de plăci (Fig. 5.39).

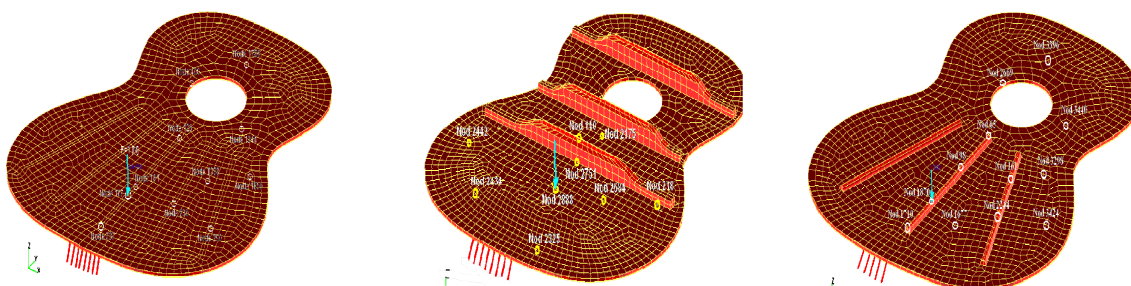


Fig. 5.39. Poziția nodurilor de pe placă pentru care s-a făcut analiza dinamică

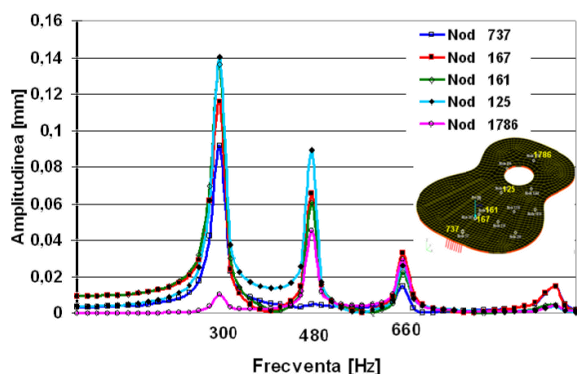
Forța echivalentă concentrată a fost aplicată într-unul din nodurile aflate în zona cordarului – simulând acțiunea excitatoare a corzilor, iar răspunsul plăcii la vibrații forțate a fost stabilit după colectarea și prelucrarea datelor din diferite noduri de pe placă. Din cele peste 3000 de noduri ale plăcilor, s-au stabilit ca semnificative următoarele noduri:

- 4 - 6 noduri de pe axa longitudinală de simetrie a plăcii;
- 6 - 8 noduri de pe axele transversale, între cordar și rozetă.

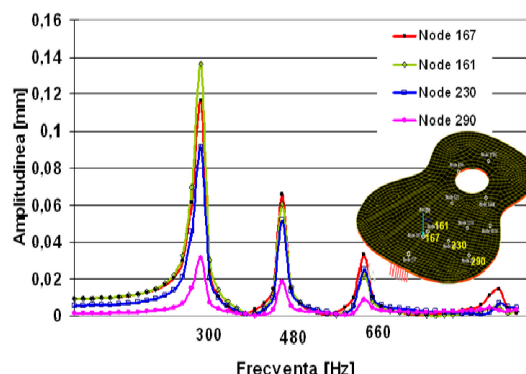
În urma rulării programului s-au obținut numeroase rezultate care au fost prelucrate și centralizate în grafice.

### ***Influența distanței dintre punctul de aplicație al forței și punctul de măsurare asupra amplitudinii și frecvențelor de rezonanță a plăcii***

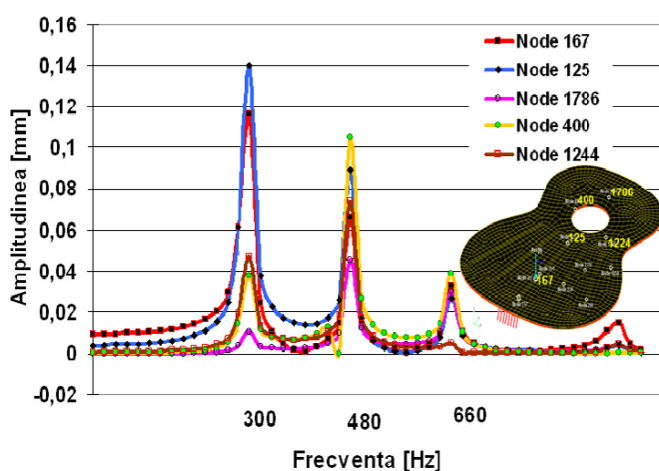
În Fig. 5.40. se observă că pentru placa simplă, amplitudinile maxime s-au obținut la frecvența de rezonanță de 300 Hz, indiferent de poziția nodurilor față de punctul de aplicație al forței. La această frecvență, amplitudinea maximă se produce în nodul situat în apropierea găurii acustice și nu în punctul de aplicație al forței. Fenomenul de rezonanță se produce și la frecvențele de 480 Hz și 600 Hz. *Amplitudinile scad în nodurile mai îndepărtate de punctul de aplicație al forței pe axa transversală a plăcii*, ceea ce se explică prin faptul că vibrația se transmite longitudinal, fiind favorizată și de caracteristicile elastice, iar pe de altă parte este necesară asigurarea unei lățimi suficient de mare pentru ca vibrațiile să radieze pe o suprafață utilă optimă (Fig. 5.41). În Fig. 5.42. se constată că amplitudinile maxime ale nodurilor din jurul rozetei se obțin la frecvența de 480 Hz. În urma analizei frecvențelor de rezonanță în diferite puncte de pe placă, s-a constatat că toate nodurile plăcii simple rezonază la frecvențele de 300, 480 și 660 Hz.



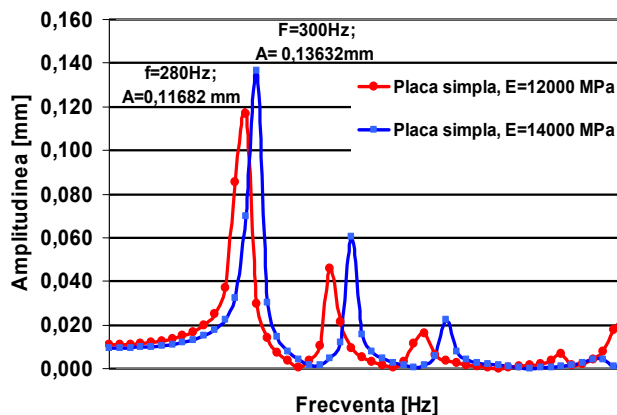
**Fig. 5.40.** Variația amplitudinii de vibrație în nodurile de pe axa longitudinală a plăcii



**Fig. 5.41.** Variația amplitudinii de vibrație cu îndepărtarea față de punctul de aplicație al forței



**Fig. 5.42.** Variația amplitudinii de vibrație a plăcii simple în nodurile din vecinătatea găurii acustice



**Fig. 5.43.** Variația amplitudinii în cazul plăcii simple cu module de elasticitate diferită

### **Influența modului de elasticitate asupra frecvențelor de rezonanță și amplitudinilor vibrațiilor**

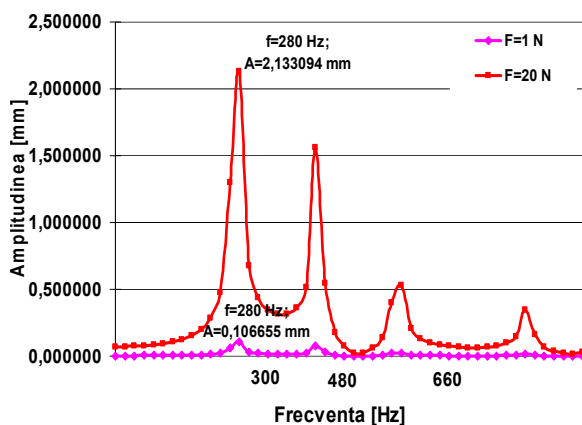
Ca și în analiza modală, frecvența de rezonanță este determinată de modulul de elasticitate al materialului plăcii. Astfel, *cu creșterea elasticității cu 20%, frecvențele de rezonanță se micșorează cu aproximativ 20%, iar amplitudinile scad tot cu aproximativ 20% (Fig. 5.43).*

### **Influența intensității forței asupra amplitudinilor de vibrație**

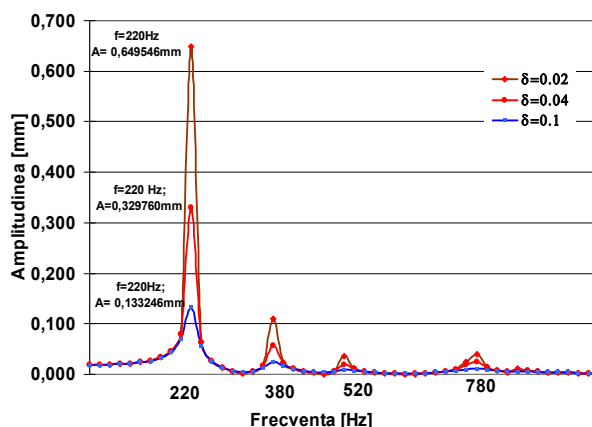
În cazul multiplicării forței unitare de 20 ori, se constată ca frecvența de rezonanță rămâne neschimbată, dar amplitudinile se măresc de 20 ori (Fig. 5.44).

### **Influența coeficientului de amortizare asupra răspunsului dinamic al plăcii**

În Fig. 5.45. se observă influența coeficientului de amortizare al materialului plăcii asupra amplitudinilor de vibrație: creșterea coeficientului de amortizare duce la amortizarea vibrațiilor, fără a influența valoarea frecvenței de rezonanță a plăcii. Amortizarea vibrațiilor pentru diferiți coeficienți de amortizare se realizează după o lege liniară.



**Fig. 5.44.** Variația amplitudinii în cazul multiplicării forței unitare de 20 de ori ( $F=20$  N), pentru placa simplă cu  $E=12000$  MPa



**Fig. 5.45.** Variația amplitudinii în raport cu coeficientul de amortizare

### **Influența sistemului de bare asupra răspunsului în frecvență al plăcilor**

În mod similar s-a făcut analiza dinamică a plăcilor cu 3 bare radiale și a celor cu 3 bare transversale, constatându-se că *prezența elementelor de rigidizare duce la scăderea frecvenței de rezonanță de la 300 Hz (placa simplă) la 220 Hz (Fig. 5.47).*

În Fig. 5.46. este prezentată variația frecvențelor de rezonanță în raport cu modulul de elasticitate longitudinal. Se observă că *frecvența de rezonanță se micșorează cu aproximativ 10% o dată cu scăderea modului de elasticitate cu 14%, iar mărimea amplitudinilor în același nod al plăcii se înjumătățește.*

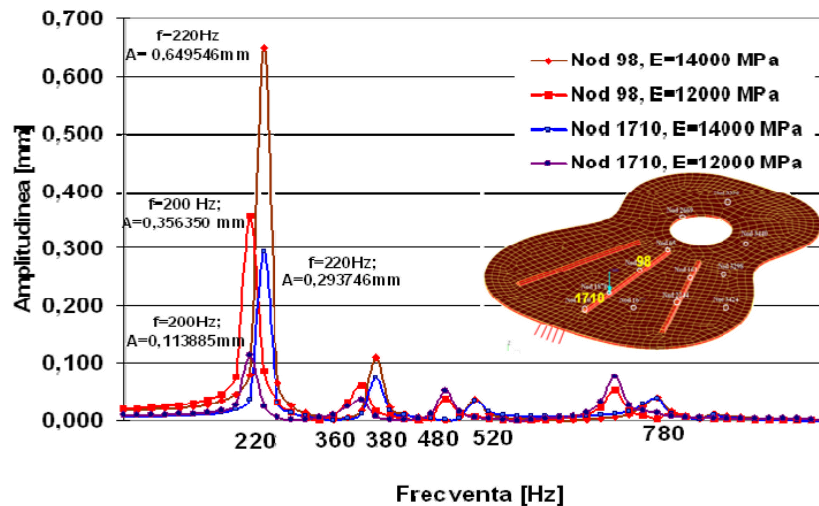


Fig. 5.46. Variația amplitudinii și frecvenței de rezonanță cu creșterea modului de elasticitate

Prin analiza comparativă a răspunsului dinamic al diferitelor structuri de plăci, s-a constatat că *amplitudinile cresc cu creșterea gradului de rigidizare al plăcii*, iar *frecvențele de rezonanță scad cu aproximativ 25%* (Fig. 5.47).

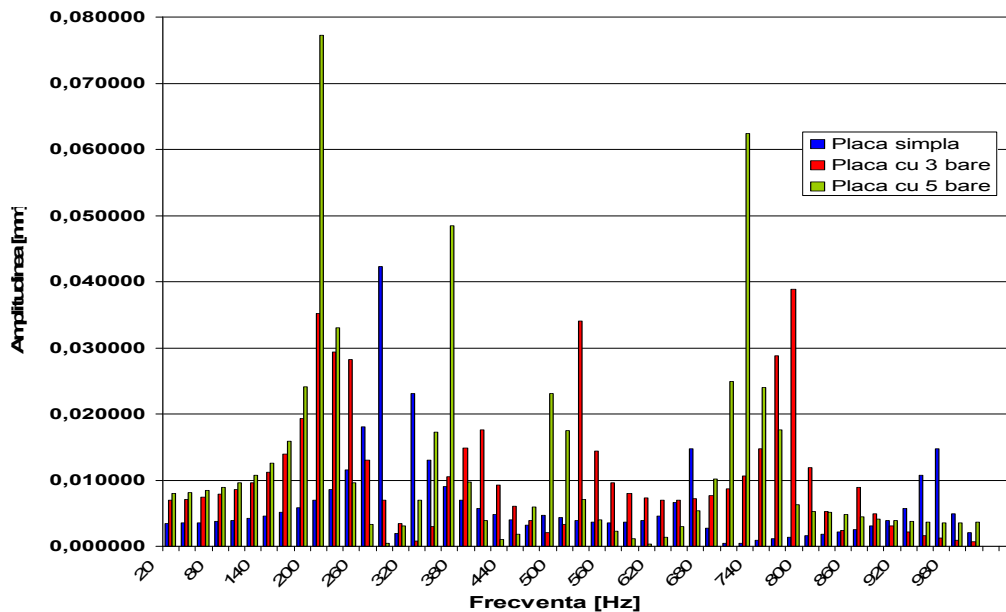


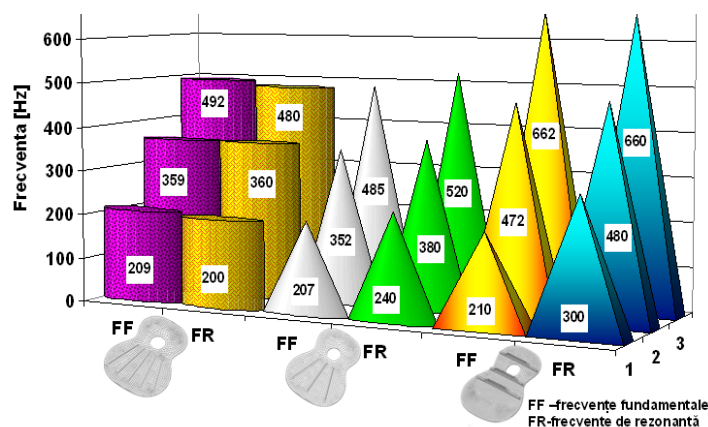
Fig. 5.47. Variația amplitudinii vibrațiilor pentru cele trei structuri de plăci analizate în același nod al structurii

### Influența frecvențelor proprii asupra frecvențelor de rezonanță

Comparând valorile frecvențelor fundamentale (FF) cu cele de rezonanță (FR) în cazurile de plăci analizate, s-a constatat că diferențele între frecvențele proprii și cele de rezonanță sunt mai mici cu cât placa prezintă mai multe nervurații (între prima frecvență de rezonanță și cea proprie la placa cu 5 bare radiale, diferența este de 5% comparativ cu 13% în cazul plăcii cu 3 bare radiale) (Fig. 5.48). În cazul plăcii cu bare transversale, diferențele între frecvențele de rezonanță

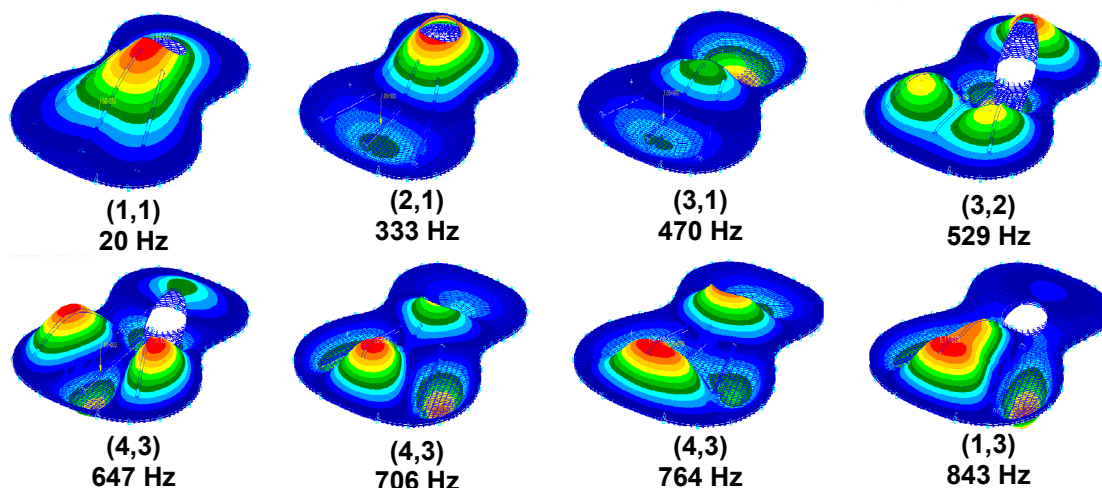


și cele proprii scad cu creșterea frecvenței, deci placa cu 3 bare transversale răspunde mai bine la frecvențe înalte, când frecvențele proprii se suprapun cu cele de rezonanță.



**Fig.5.48.** Comparatii între frecvențele de rezonanță ale plăcilor cu sisteme de rigidizare diferite, cu  $E=14000 \text{ MPa}$ ,  $h=2,5 \text{ mm}$ ,  $\rho=450 \text{ kg/m}^3$ ,  $\delta=0,02$ ,  $\nu=0,36$

În Fig. 5.49 sunt prezentate selectiv modurile de vibrație ale plăcii cu trei bare radiale, în care se observă numeroase similitudini cu modurile normale, diferența fiind dată de mărimea amplitudinilor de vibrație și valoarea frecvenței la care se formează.



**Fig. 5.49.** Modurile de vibrație obținute la vibrații forțate în cazul plăcii cu 3 bare de rezonanță

Cercetările teoretice privind modelarea cu elemente finite a plăcilor de chitară au relevat pe de o parte interdependența dintre factorii care influențează comportarea dinamică a structurilor, iar pe de altă parte a permis realizarea unui număr foarte mare de modelări și simulări atât din punct de vedere al varietății structurale (10 tipuri de plăci analizate), cât și a varietății proprietăților de material (densitate, modul de elasticitate longitudinal, coeficient de amortizare etc.). Această activitate constituie, pentru prima oară la noi în țară, o bază de date despre plăcile de chitară, utilă atât în cercetările teoretice și experimentale ulterioare, cât și pentru literatura de specialitate. Deși se bazează pe un volum de muncă impresionant, cercetările prin metoda elementelor finite referitoare la chitare oferă posibilitatea investigării unui număr mare de tipuri de structuri, economisind consumul de material și manoperă necesar producerii pieselor reale.



## 5.4. Modelarea numerică a corpului de chitară – structură din plăci lignocelulozice

Pentru analiza comportării dinamice a cutiei acustice din structura chitarei clasice prin metoda elementelor finite, s-au modelat opt structuri diferite din punct de vedere al elementelor de rigidizare aplicate pe interiorul feței chitarei (Fig. 5.50), respectându-se tipo-dimensiunile practicate la fabrica de instrumente muzicale S.C. Hora S.A. Reghin, Romania. Placa de spate a fost modelată ca o placă cu 3 bare transversale de rigidizare. S-au folosit aceeași parametri geometrici și de material utilizați în modelarea plăcilor ca structuri individuale (Subcapitolul 5.3.1). Legăturile mecanice de tipul încastrării utilizate pentru fixarea corpului de chitară au fost aplicate în extremitățile corpului fiind anulate toate gradele de libertate ale nodurilor.

Analiza dinamică a urmărit:

- Determinarea frecvențelor proprii ale corpurilor de chitară și a modurilor de vibrație
- Determinarea frecvențelor de rezonanță și a amplitudinilor de vibrație la vibrații forțate

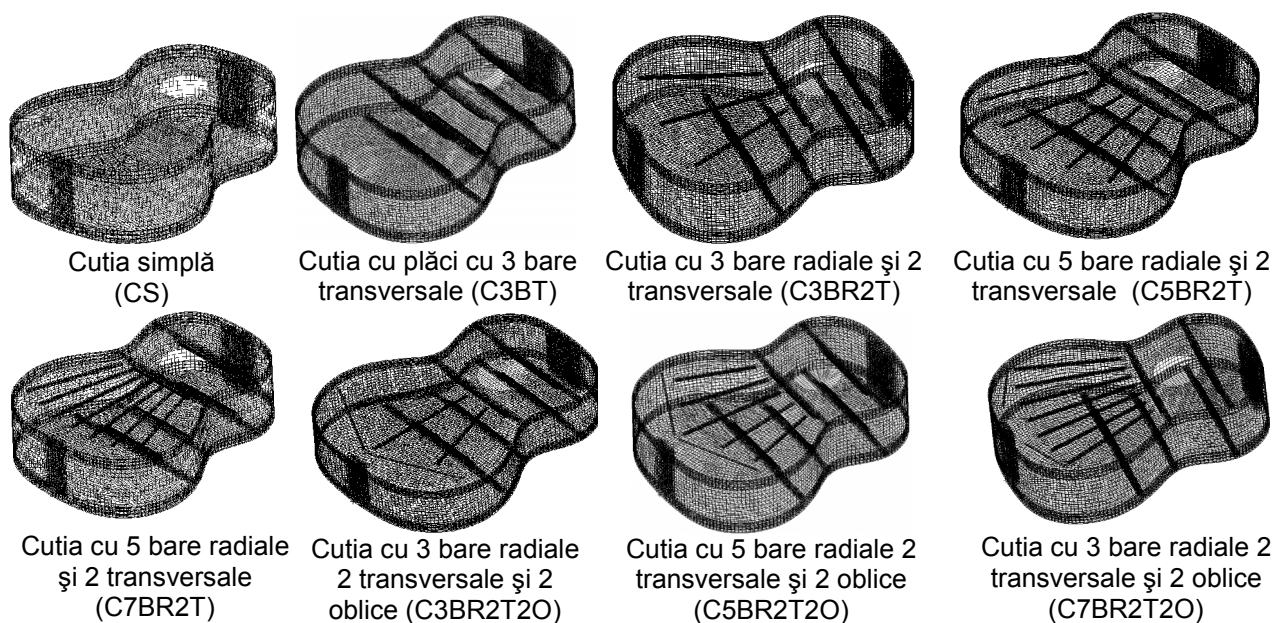


Fig. 5.50. Tipurile de structuri analizate dinamic

### 5.4.1. Determinarea frecvențelor proprii și modurilor de vibrație

Pentru fiecare tip de structura s-au determinat primele 10 moduri de vibrație și frecvențele proprii. În urma varierii parametrilor fizici și elastici, s-au obținut numeroase valori ale frecvențelor fundamentale și armonicilor, care sunt centralizate în Tabelele 5.4, 5.5, 5.6 și 5.7.

**Tabelul 5.4.**

Valorile frecvențelor proprii și a armonicelor corpului de chitară cu plăci simple pentru diferite valori ale modului de elasticitate și a densității

Cutia cu plăci simple, $\nu=0,38$ , $h=2,5$ mm									
Nr. mod	$\rho=500 \text{ kg/m}^3$			$\rho=450 \text{ kg/m}^3$			$\rho=400 \text{ kg/m}^3$		
	E=14000 MPa	E=12000 MPa	E=10000 MPa	E=14000 MPa	E=12000 MPa	E=10000 MPa	E=14000 MPa	E=12000 MPa	E=10000 MPa
1	177	164	150	187	173	158	198	184	168
2	206	190	174	217	201	183	230	213	194
3	287	266	242	302	280	256	321	297	271
4	325	301	275	343	318	290	364	337	308
5	332	308	281	350	324	296	371	344	314
6	390	361	329	411	380	347	436	404	368
7	411	380	347	433	401	366	459	425	388
8	425	394	360	448	415	379	476	521	402
9	503	466	425	531	491	448	563	669	476
10	646	598	546	681	630	575	722	700	610

**Tabelul 5.5.**

Valorile frecvențelor proprii și a armonicelor corpului de chitară cu plăci cu 3 bare transversale pentru diferite valori ale modului de elasticitate și a densității

Cutia cu plăci cu 3 bare transversale, $\nu=0,38$ , $h=2,5$ mm									
Nr. mod	$\rho=500 \text{ kg/m}^3$			$\rho=450 \text{ kg/m}^3$			$\rho=400 \text{ kg/m}^3$		
	E=14000 MPa	E=12000 MPa	E=10000 MPa	E=14000 MPa	E=12000 MPa	E=10000 MPa	E=14000 MPa	E=12000 MPa	E=10000 MPa
1	205	190	174	216	200	183	230	212	194
2	315	291	266	332	307	280	352	326	297
3	330	305	279	348	322	294	369	342	312
4	400	370	338	422	390	356	447	414	378
5	533	494	451	562	520	475	596	552	504
6	534	494	451	563	521	475	597	552	504
7	566	524	478	596	552	504	632	585	534
8	577	534	487	608	563	514	645	597	545
9	667	618	564	704	651	595	746	691	631
10	771	714	652	813	753	687	862	798	729

**Tabelul 5.6.**

Valorile frecvențelor proprii și a armonicelor corpului de chitară cu plăci cu 3 bare radiale și 2 transversale pentru diferite valori ale modului de elasticitate și a densității

Cutia cu plăci cu 3 bare radiale și 2 bare transversale, $\nu=0,38$ , $h=2,5$ mm									
Nr. mod	$\rho=500 \text{ kg/m}^3$			$\rho=450 \text{ kg/m}^3$			$\rho=400 \text{ kg/m}^3$		
	E=14000 MPa	E=12000 MPa	E=10000 MPa	E=14000 MPa	E=12000 MPa	E=10000 MPa	E=14000 MPa	E=12000 MPa	E=10000 MPa
1	200	185	169	210	195	178	223	207	189
2	274	254	232	289	263	244	306	284	259
3	336	311	284	354	328	299	375	347	317
4	381	352	322	401	371	339	426	394	360
5	430	398	363	453	420	383	481	445	406
6	556	515	470	586	543	495	622	576	525
7	558	516	471	588	544	497	623	577	527
8	583	540	493	614	569	519	652	603	551
9	669	619	565	705	653	596	748	692	632
10	726	672	614	766	709	647	812	752	686

Tabelul 5.7.

Valorile frecvențelor proprii și a armonicilor corpului de chitară cu plăci cu 5 bare radiale și 2 transversale pentru diferite valori ale modului de elasticitate și a densității

Cutia cu plăci cu 5 bare radiale și 2 bare transversale, $\nu=0,38$ , $h=2,5$ mm									
Nr. mod	$\rho=500$ kg/m <sup>3</sup>			$\rho=450$ kg/m <sup>3</sup>			$\rho=400$ kg/m <sup>3</sup>		
	E=14000 MPa	E=12000 MPa	E=10000 MPa	E=14000 MPa	E=12000 MPa	E=10000 MPa	E=14000 MPa	E=12000 MPa	E=10000 MPa
1	198	184	168	209	194	177	222	205	187
2	275	255	233	290	269	245	308	285	260
3	330	306	279	348	322	294	369	342	312
4	380	352	322	401	371	339	425	394	359
5	429	397	362	452	418	382	479	444	405
6	557	516	471	588	544	497	593	577	527
7	557	516	451	588	544	497	623	577	527
8	593	549	501	625	578	528	663	613	560
9	670	620	566	706	654	597	749	693	633
10	729	675	616	768	711	649	815	754	688

### Influența densității materialului din structura plăcilor de chitară asupra frecvențelor proprii

Creșterea densității materialelor plăcilor din structura corpului de chitară (cu 20%) duce la scăderea valorilor frecvenței fundamentale cu 10%, iar creșterea modului de elasticitate longitudinal cu 30% duce la creșterea frecvențelor proprii cu 15%. Această lege de variație este valabilă pentru toate tipurile de sisteme de rigidizare a structurilor din plăci. În Fig. 5.51, 5.52, 5.53 și 5.54 sunt prezentate variațiile frecvențelor proprii în raport cu densitatea și modulul de elasticitate pentru diferite tipuri de cutii acustice.

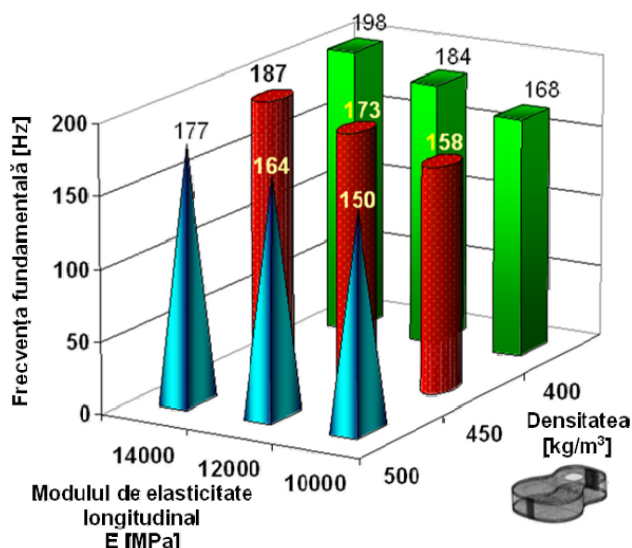


Fig. 5.51. Variația frecvențelor fundamentale în raport cu densitatea și modulul de elasticitate longitudinal – cutia cu plăci simple

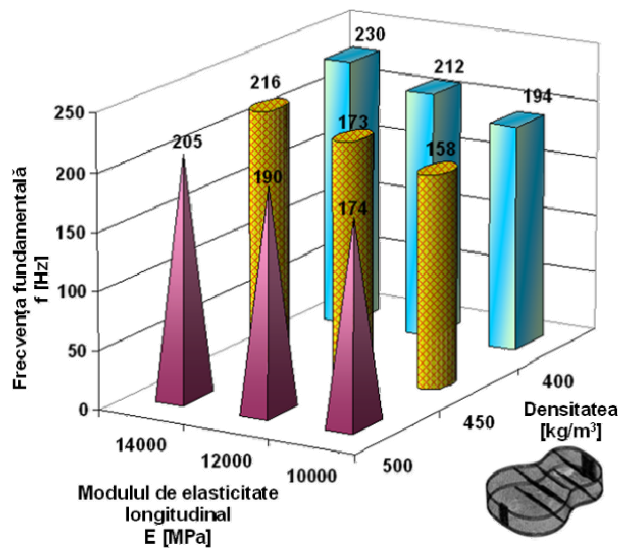
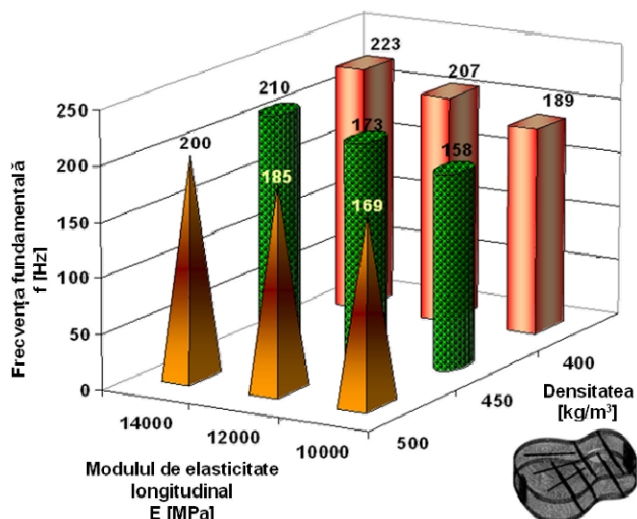
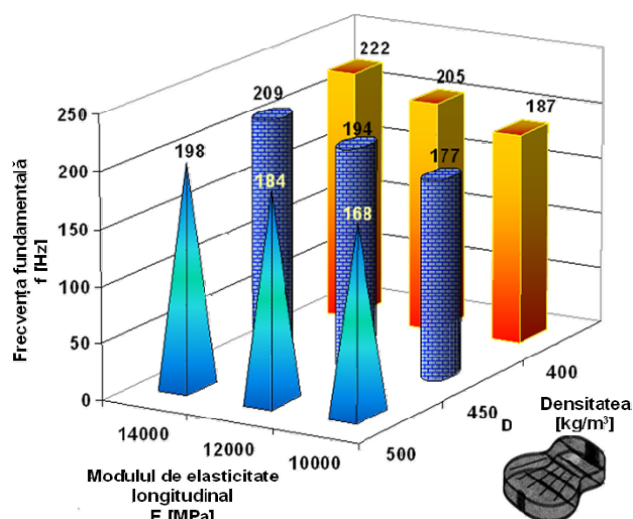


Fig. 5.52. Variația frecvențelor fundamentale în raport cu densitatea și modulul de elasticitate longitudinal – cutia cu plăci cu bare transversale



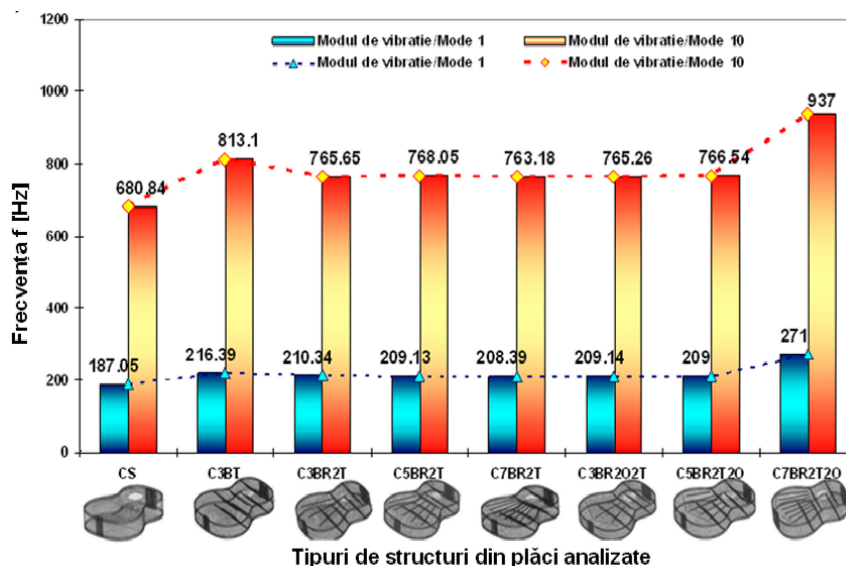
**Fig. 5.53.** Variația frecvențelor fundamentale în raport cu densitatea și modulul de elasticitate longitudinal – cutia cu plăci cu 3 bare radiale și 3 bare transversale



**Fig. 5.54.** Variația frecvențelor fundamentale în raport cu densitatea și modulul de elasticitate longitudinal – cutia cu plăci cu 3 bare radiale și 3 bare transversale

### ***Influența sistemului de bare asupra frecvențelor proprii ale corpurilor de chitară***

Comparând valorile frecvențelor proprii ale corpurilor de chitară cu sisteme diferite de rigidizare, se observă că rigidizarea plăcilor duce la creșterea frecvențelor proprii ale primului mod de vibrație de la 187 Hz frecvența fundamentală în cazul cutiei cu plăci simple (CS), la 271 Hz frecvența proprie a cutiei cu 7 bare radiale, 2 transversale și 2 oblice (C7BR2T2O), respectiv la o diferență de 30% (Fig. 5.55). Adăugarea barelor radiale pe fața rigidizată cu elementele transversale duce la o scădere a frecvențelor proprii cu aproximativ 4%.



**Fig. 5.55.** Variația frecvențelor proprii ale cutiilor acustice cu sisteme de rigidizare diferite, pentru  $E=14000$  MPa,  $h=2,5$  mm,  $\rho=450$  kg/m³,  $\delta=0,02$ ,  $\nu=0,36$

Se constată că frecvențele fundamentale pentru corpurile cu bare radiale și oblice au valori apropiate, ceea ce presupune că se atinge o valoare limită indiferent de gradul de rigidizare ale

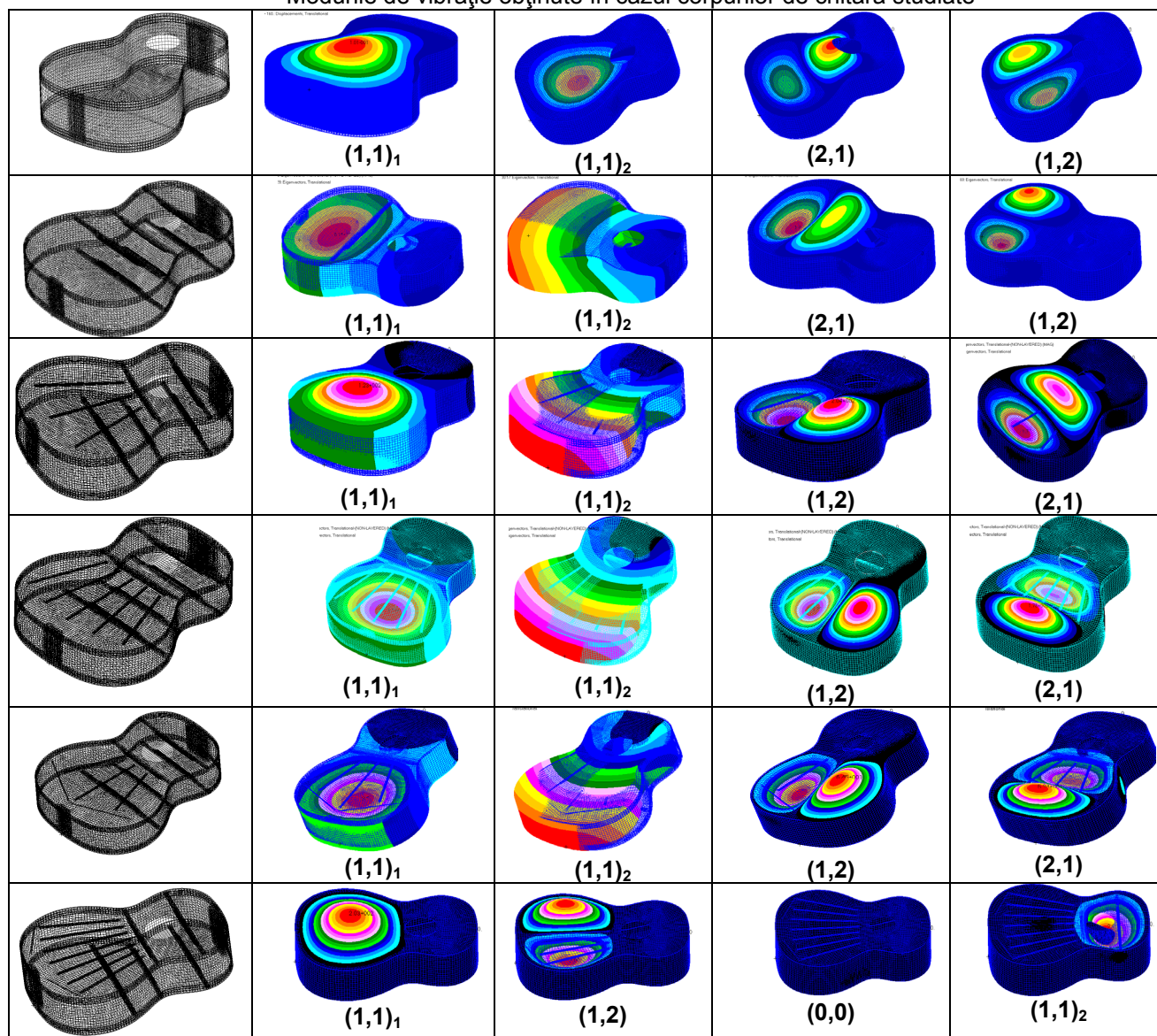
cutiilor, după care se constată o creștere bruscă a frecvenței proprii cu creșterea rigidității corpului de chitară. Pentru modul 10 de vibrație, variația frecvențelor pentru structurile analizate este similară cu cea a primului mod, iar diferențele procentuale sunt tot în jurul valorii de 30% (frecvența cutiei cu 7 bare radiale, 2 oblice și 2 transversale a crescut cu 28% față de corpul din plăci simple). Cunoașterea frecvențelor proprii ale corpului de chitară prezintă importanță practică deoarece s-a constatat că din punct de vedere acustic și muzical frecvențele joase și medii (în intervalul 80-380 Hz) sunt răspunzătoare de radiația sunetului prin structura chitarei.

### **Influența sistemului de bare de rigidizare asupra modurilor proprii ale corpurilor de chitară**

În Tabelul 5.8. sunt prezentate formele vibratorii ale corpurilor de chitară cu diferite tipuri sisteme de rigidizare, în ordinea formării lor, pentru primele 4 moduri de vibrație .

Tabelul 5.8.

Modurile de vibrație obținute în cazul corpurilor de chitară studiate





În Tabelul 5.8 se observă că *primul mod de vibrație este similar pentru toate tipurile de cutii*. Se constată o diferență sensibilă în ceea ce privește mărimea ventrului de amplitudine și forma acestuia. În cazul cutiei simple, ventrul de amplitudine tinde spre o formă eliptică alungită către rozetă, pe când în celelalte cazuri – prevăzute cu bare transversale, forma este aproximativ circulară, limitată de prima bară transversală poziționată înaintea rozetei.

La toate cutiile, cu excepția celei fără bare de rigidizare și a celei mai rigidizate cutii (cu 7 bare radiale, 2 oblice și 2 transversale), apare *modul de vibrație de torsiune*.

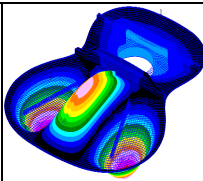
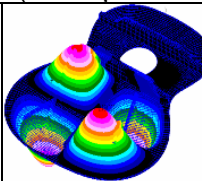
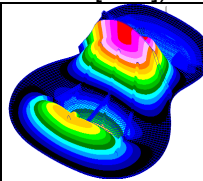
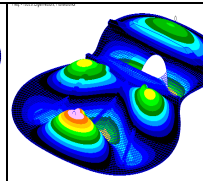
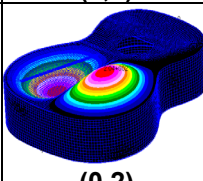
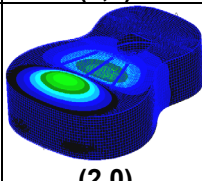
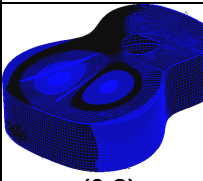
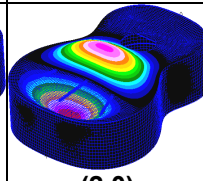
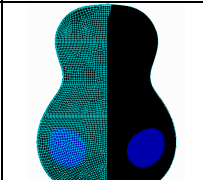
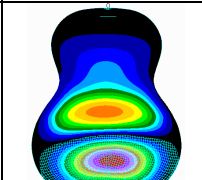
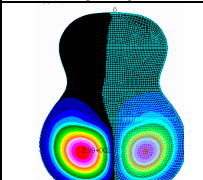
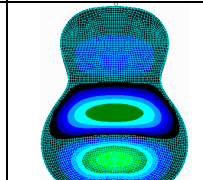
Ca și în cazul plăcilor cu același sistem de bare, se constată că adăugirea barelor radiale pe interiorul plăcii de față a cutiei de chitară duce la *inversarea ordinii de apariție a modului de vibrație (2,1) specific la cutiile fără bare radiale în modul de vibrație (1,2) în cazul cutiilor cu bare radiale*.

### **Influența complexității structurii (corpul de chitară) asupra formelor modale**

Modurile de vibrație ale feței cutiilor devin din ce în ce mai complexe cu creșterea numărului armonicilor și cu creșterea gradului de complexitate al sistemului de rigidizare. *Fața și spatele corpului chitarei prezintă moduri și frecvențe diferite de vibrație așa cum se poate observa în Tabelul 5.9 unde sunt prezentate modurile 5, 6, 7 și 8. Ca efect al fixării plăcilor de față și spate de eclise, apar undele staționare prin suprapunerea undelor directe peste cele reflectate. Acestea generează armonicile superioare (Curtu și Stanciu 2008 – [C26], [C29]).*

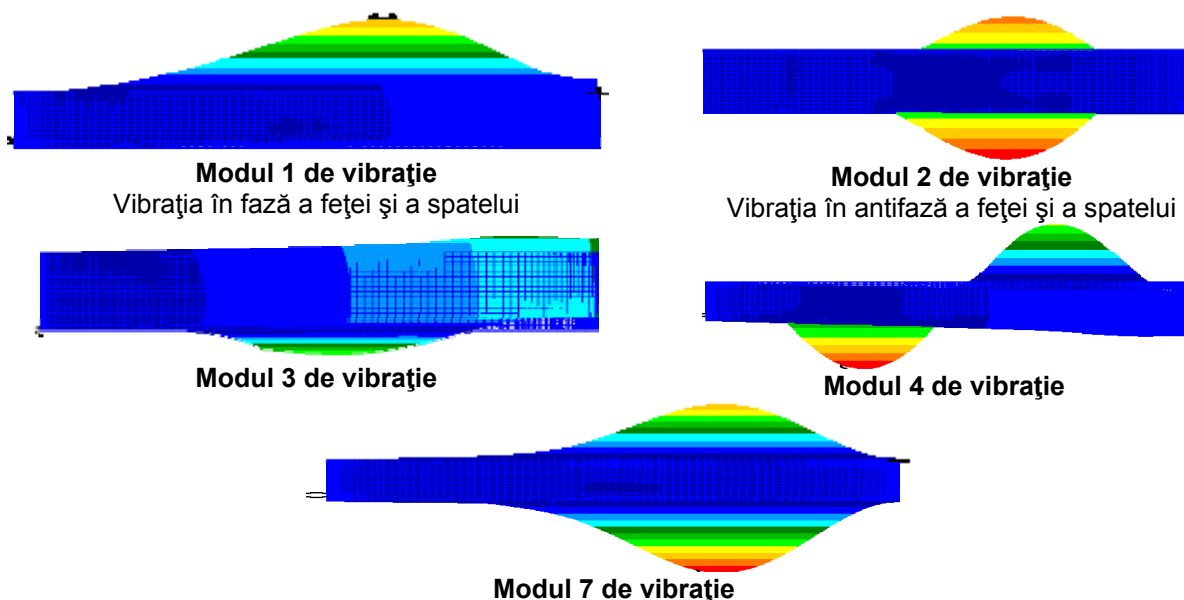
**Tabelul 5.9.**

Comparații între modurile proprii ale plăcilor ca structuri individuale și a celor din componența cutiei acustice a chitarei (Curtu și Stanciu 2008 –[C29])

Placa - structură individuală	 (2,3)	 (2,2)	 (4,0)	 (5,3)
Corp - fața	 (0,2)	 (2,0)	 (0,2)	 (2,0)
Corp - spate	 (0,2)	 (2,0)	 (0,2)	 (3,0)

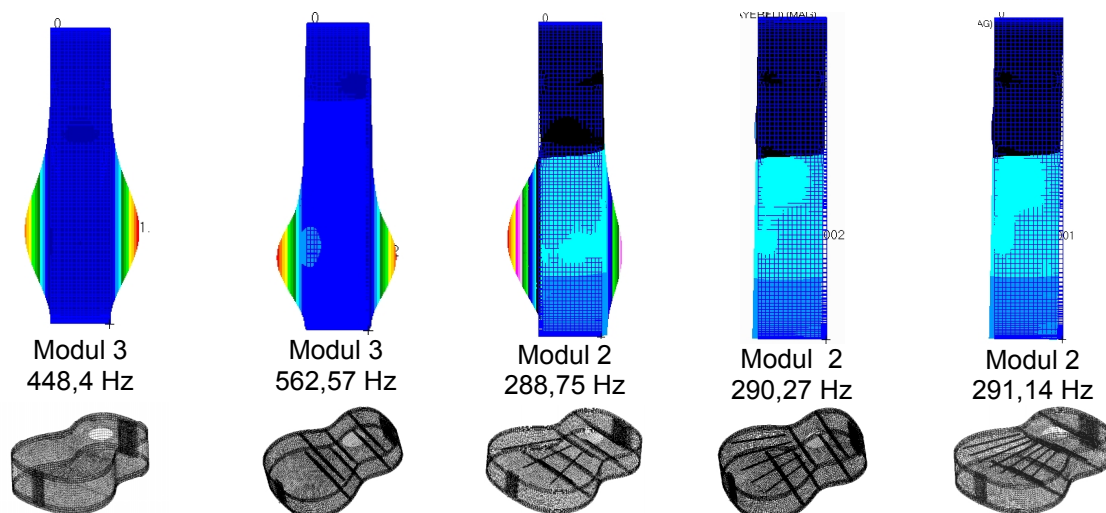


Din Tabelul 5.9 se observă că dinamica cutiei de chitară diferă de cea a plăcilor analizate ca structuri individuale, fapt care se datorează pe de o parte noilor condiții de contur create prin atașarea plăcilor de eclise (pereții laterali ai cutiei), a gradului ridicat de rigidizare cât și datorită fenomenelor aerodinamice din interiorul cavității care duc la “întârzierea” transmiterii vibrației de la placa de față la cea de spate și eclise.



**Fig. 5.55.** Mișcarea în fază și antifază a plăcilor din structura cutiei simple

Modelarea cutiilor apropie simularea vibrațiilor de fenomenul real. Plăcile ca structuri individuale intră în vibrație la frecvențe mai înalte decât plăcile cuplate în corpul de chitară și formează moduri proprii mai complexe. Armonicele superioare ale plăcilor ating frecvențe cu valori mai mari de până la 20% decât cele similare din structura cutiilor acustice. Spre deosebire de plăcile individuale, în analiza modală a cutiei acustice se observă apariția fenomenelor de interacțiune între fluid și solid, respectiv vibrația plăcilor în fază și antifază (Fig. 5.55). Aceste fenomene stau la baza funcționării și utilizării corpului acustic ca sistem rezonator în cazul instrumentelor cu corzi ciupite (chitara) sau cu arcuș (vioara). Fenomenul propagării undelor staționare începe cu placa de față și spate în fază, placa de față având amplitudini mai mari, apoi se produce defazajul vibrației plăcilor, acestea ajungând în antifază. Procesul se reia pentru modurile superioare (1,1), (0,2), (2,0), (2,2), în acest caz, producându-se la nivelul fiecărei plăci ventre de amplitudine aflate în fază și/sau antifază (Fig. 5.49). Din compunerea acestor procese structurale și aeroacustice, rezultă diversitatea timbrului sonor și a gamelor de frecvențe pe care cutia acustică este capabilă să o amplifice (Curtu și Stanciu 2008 –[C29]). În Fig. 5.56 se observă că, în funcție de sistemul de rigidizare, plăcile din structura cutiilor de chitară vibrează în antifază la frecvențe și moduri diferite. Acest fenomen, cunoscut în literatura de specialitate și sub denumirea de *mod de respirație* apare la frecvențe relativ joase pentru cutiile cu număr mai mare de elemente de rigidizare, comparativ cu structurile din plăci simple.



**Fig. 5.56.** Comparații între mișcarea de antifază a plăcilor corpului de chitară pentru diferite cutii analizate

### **Influența materialului barelor de rezonanță (modulul de elasticitate longitudinal) asupra modurilor și frecvențelor proprii**

Varietatea sistemelor de bare (ca număr și mod de dispunere) s-a dezvoltat de-a lungul ultimelor decenii din dorința luterilor de îmbunătățire a calității acustice și estetice a chitarei, precum și a creșterii fiabilității în timp. Una din preocupările actuale ale luterilor este găsirea unui sistem de rigidizare care să răspundă deopotrivă problemelor de rezistență cât și problemelor de solicitări ciclice armonice – vibrațiile chitarei (Curtu și Stanciu 2009 – [C32]). Astfel, în prezent se pune problema utilizării combinațiilor de materiale – de același tip (lemn din specii diferite) sau de altă natură (lemn/compozite pe bază de carbon sau fibră de sticlă) (Cerbu, 2007). Din acest punct de vedere s-a modelat structura corpului de chitară cu 5 bare radiale și 2 transversale pe placa de față, simulând materiale diferite ale barelor radiale: *lemn de molid* ( $E=14000$  MPa), *fibră de sticlă* ( $E=75000$  MPa) sau *fibră de carbon* ( $E=250000$  MPa). Restul elementelor constructive au fost păstrate cu aceleași caracteristici geometrice și de material specifice chitarei reale. S-au realizat simulări ale materialelor propuse pentru sistemul de bare, determinându-se comportarea dinamică a structurilor din plăci. În Tabelul 5.10 sunt redată valorile frecvențelor proprii obținute cu FEM pentru structurile din plăci cu bare de rigidizare din materiale compozite.

**Tabelul 5.10.**

Valorile comparative ale frecvențelor proprii și a armonicilor pentru diferite materiale ale barelor de rezonanță cazul corpului de chitară cu 5 bare radiale și 2 transversale

Modul de vibrație	Lemn			Fibră de sticlă	Fibră de carbon
	E=10000 MPa	E=12000 MPa	E=14000 MPa	E=75000 MPa	E=250000 MPa
1	187	205	221	205	209
2	260	285	307	287	310
3	312	342	369	338	339
4	359	393	425	366	474
5	405	443	479	429	500
6	526	576	423	493	500

Tabelul 5.10. (Continuare)

7	526	576	623	500	648
8	559	613	662	634	699
9	632	693	748	661	758
10	688	754	814	728	760

Fig. 5.57 prezintă variația frecvențelor fundamentale în cazul corpului de chitară cu 5 bare radiale și 2 transversale din materiale lignocelulozice și compozite. În urma analizei structurale se poate deduce faptul că utilizarea fibrei de carbon sau a fibrei de sticlă nu influențează valorile frecvențelor proprii ale cutiei, de aceea aceste materiale sunt deja utilizate de unii manufacturieri în construcția instrumentelor muzicale cu corzi. Dacă din punct de vedere structural, aceste materiale compozite nu duc la modificări majore, totuși ele pot influența acustica instrumentului, fiind necesare investigații în acest sens.

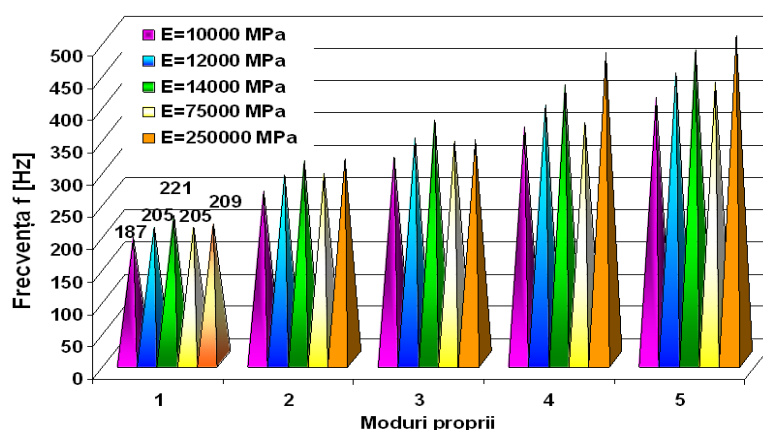


Fig. 5.57. Comparații între frecvențele proprii ale corpurilor cu nervurații din materiale diferite

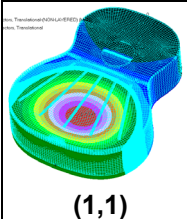
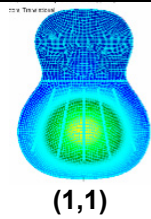
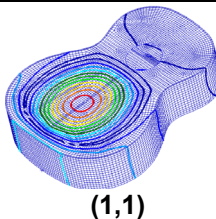
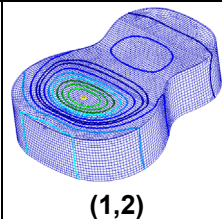
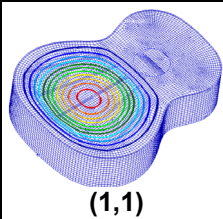
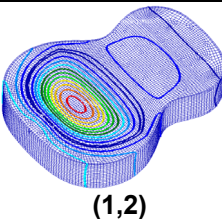
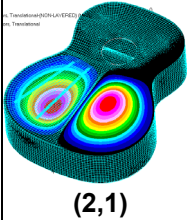
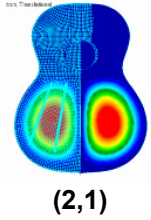
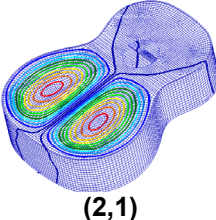
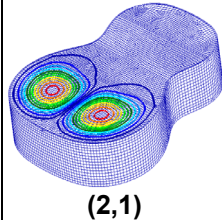
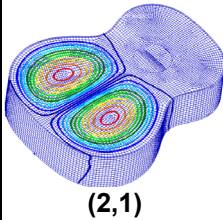
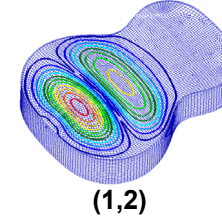
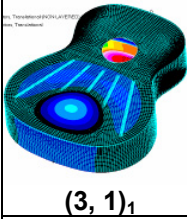
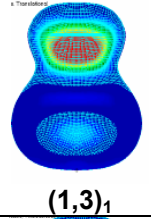
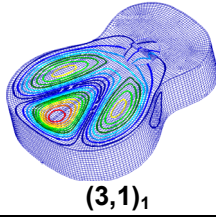
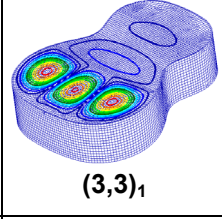
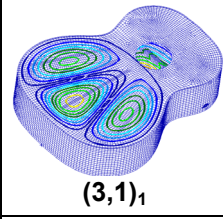
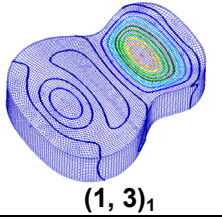
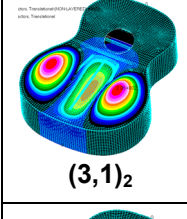
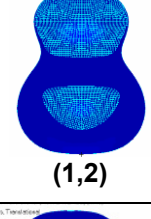
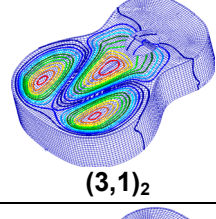
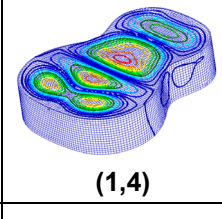
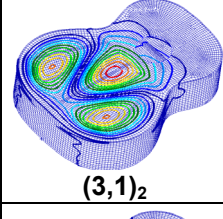
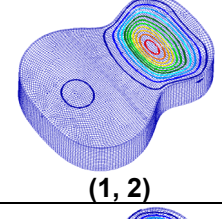
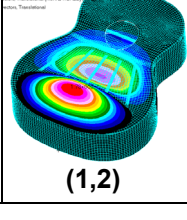
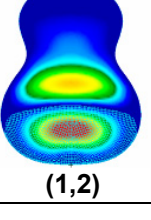
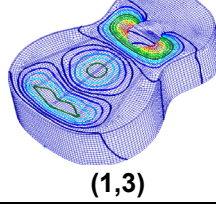
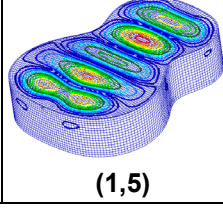
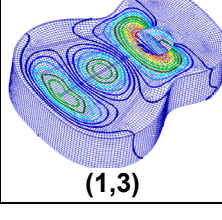
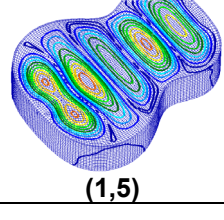
În Tabelul 5.11 sunt prezentate comparativ modurile proprii obținute pentru același sistem de rigidizare al feței corpului de chitară, dar din materiale cu proprietăți elastice diferite. Din Tabelul 5.11 se observă că *modurile de vibrație diferă ca formă și mărime în cazul celor trei tipuri de materiale* utilizate în construcția barelor de rezonanță. Cele trei tipuri de cutii, deși prezintă același număr de bare și aceeași dispunere, au o comportare dinamică diferită datorită creșterii valorii modului de elasticitate longitudinal al sistemului de bare, în condițiile păstrării celorlalți parametri constanți.

Astfel, *primul mod de vibrație este similar tuturor structurilor, atât pentru față cât și pentru spate*. Al doilea mod vibrator prezintă aceleași forme ale liniilor nodale pentru plăcile de față în toate cele trei cazuri de materiale folosite; în schimb, odată cu creșterea modului de elasticitate cu valori de peste 5 ori – specific fibrei de sticlă ( $E=75\,000$  MPa) și de carbon ( $E=250\,000$  MPa), se constată că primele diferențe cantitative apar în formelor vibratorii ale spatelui de chitară. Analizând comparativ toate formele modale din Tabelul 5.11, se observă că *tipul de material din structura barelor de rezonanță influențează cu precădere răspunsul dinamic al spatelui de chitară*,

respectiv transmiterea vibrațiilor de la fața chitarei la placa de spate și eclise. Între liniile nodale ale structurilor cu inserții de fibră de sticlă și cele de carbon nu se constată diferențe notabile, deci de la o anumită valoare a modului de elasticitate, comportarea dinamică este similară

Tabelul 5.11.

Harta distribuției liniilor nodale în cazul corpului de chitară cu sistemul de rigidizare format din 5 bare radiale și 2 transversale, din materiale cu proprietăți diferite

E=14000 MPa		E=75000 MPa		E=250000 MPa	
Față	Spate	Față	Spate	Față	Spate
 (1,1)	 (1,1)	 (1,1)	 (1,2)	 (1,1)	 (1,2)
 (2,1)	 (2,1)	 (2,1)	 (2,1)	 (2,1)	 (1,2)
 (3, 1) <sub>1</sub>	 (1,3) <sub>1</sub>	 (3,1) <sub>1</sub>	 (3,3) <sub>1</sub>	 (3,1) <sub>1</sub>	 (1, 3) <sub>1</sub>
 (3,1) <sub>2</sub>	 (1,2)	 (3,1) <sub>2</sub>	 (1,4)	 (3,1) <sub>2</sub>	 (1, 2)
 (1,2)	 (1,2)	 (1,3)	 (1,5)	 (1,3)	 (1,5)

#### 5.4.2. Determinarea frecvențelor de rezonanță și amplitudinilor de vibrații ale structurilor din plăci prin metoda elementelor finite

Similar analizei dinamice a plăcilor ca structuri individuale, s-a realizat analiza dinamică a corpurilor de chitară ce a avut ca obiectiv determinarea răspunsului în frecvență al cutiilor modelate conform Fig. 5.58, la acțiunea periodică a unei forțe unitare ( $F=1\text{ N}$ ) concentrate ce variază cu



frecvența cuprinsă în intervalul 20-1000 Hz. Valorile modului de elasticitate  $E$  și ale densității  $\rho$  au fost cele utilizate și în analiza modală. Forța de excitație a fost aplicată în zona cordarului, respectiv în nodul P1 conform Fig. 5.58 a. Răspunsul dinamic al fiecărei structuri a fost analizat în punctele de pe placa de față, spate și lateralele cutiilor așa cum se poate observa în Fig. 5.58 a, b și c.

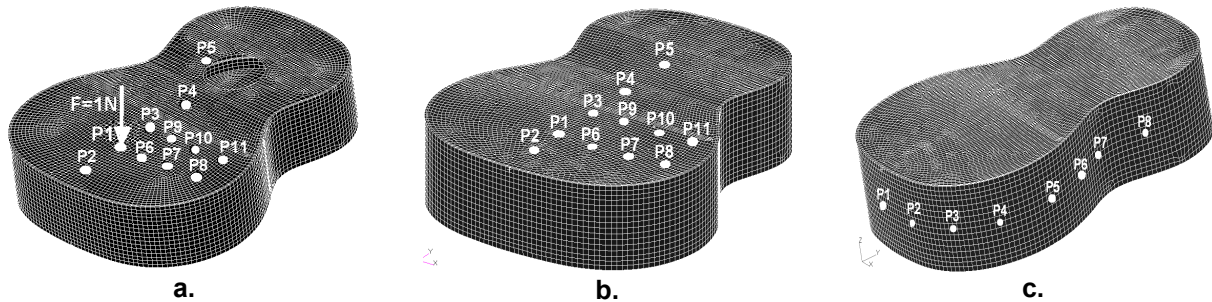


Fig. 5.58. Dispunerea nodurilor analizate

Din analiza răspunsului în frecvență a punctelor de pe placa de față, indiferent de modul de depunere a nervurațiilor, s-au observat următoarele aspecte:

- Cutia răspunde la mai multe frecvențe de rezonanță;
- Prima frecvență de rezonanță a plăcii de față din construcția cutiei este între 200 și 220 Hz, în funcție de sistemul de nervurații ale plăcii; a doua frecvență de rezonanță este 300 Hz.

Amplitudinea maximă se obține în punctele învecinate (P3) punctului de aplicație a forței (P1) și zona dintre punctul de impedanță și rozetă (gaura acustică) (Fig. 5.59);

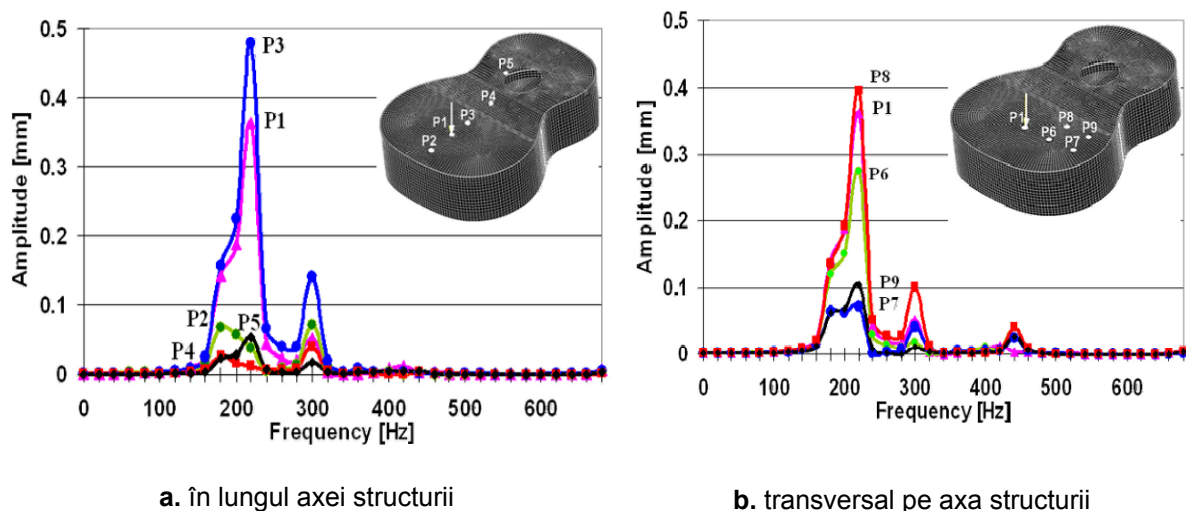
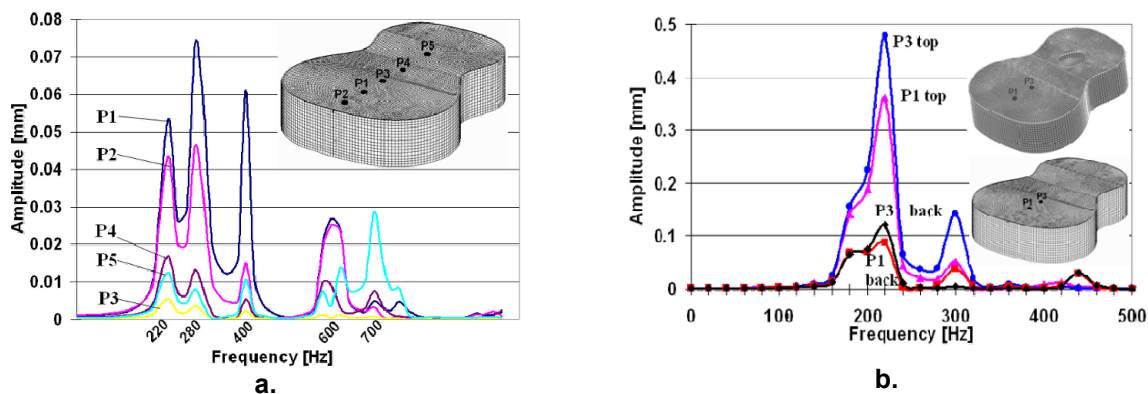


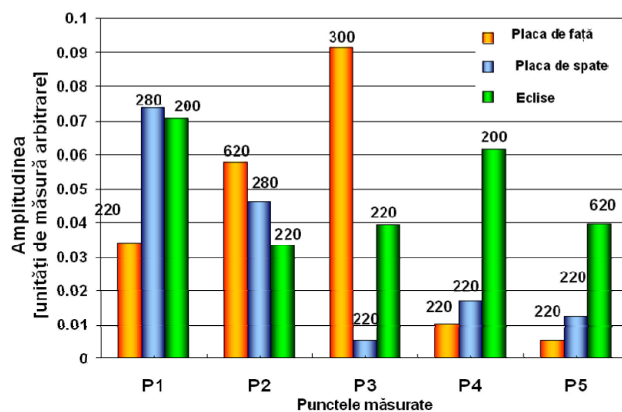
Fig. 5.59. Variația amplitudinii în punctele analizate de pe placa de față a cutiei acustice

- Amplitudinea vibrației scade atât în lungul cât și pe lățimea axei cutiei;
- Comportarea dinamică a plăcii inferioare (spatele) diferă de placa de față atât prin valorile frecvențelor de rezonanță cât și prin mărimea amplitudinilor (Fig. 5.60. a);
- Amplitudinile de vibrație ale spatelui sunt de aproximativ 4 ori mai reduse decât ale plăcii de față (Fig. 5.60. b).



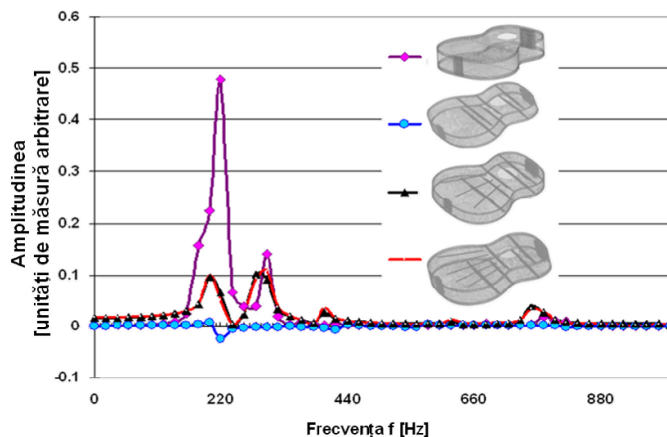
**Fig. 5.60.** Variația amplitudinilor de vibrație în cazul spatelui cutiei acustice

În Fig. 5.61 sunt reprezentate grafic variațiile amplitudinilor în punctele măsurate pe față, spatele și lateralele cutiei cu bare transversale. Se constată că plăcile răspund la frecvențele de rezonanță diferite: 200; 220; 280; 300; 620 Hz.



**Fig. 5.61.** Frecvențele de rezonanță ale părților componente ale cutiei preluate în diferite noduri, în urma analizei cu FEM

Comparând cutiile cu diferite sisteme de rigidizare (Fig. 5.62), se observă că amplitudinile maxime se obțin în cazul cutiei cu plăci fără nervurații (simple), aspect care este avantajos din punct de vedere acustic, dar neviabil din punct de vedere al rezistenței plăcii de față. De aceea optimizarea va urmări echilibrul dintre cele două cerințe simultane: rezistență și elasticitate mare.



**Fig. 5.62.** Comparații între răspunsul dinamic al cutiilor măsurat în punctul P1



## 5.5. Modelarea analitică a chitarei

Studiul privind comportarea la solicitări ciclice a structurilor din componența chitarei clasice a continuat cu analiza modală a întregii chitare modelată în două variante constructive: chitara cu placa de față rigidizată prin bare transversale (Fig. 5.63. a) și chitara cu 7 bare radiale (Fig. 5.63. b). și un sistem nou de poziționare a barelor (Fig. 5.63. c).

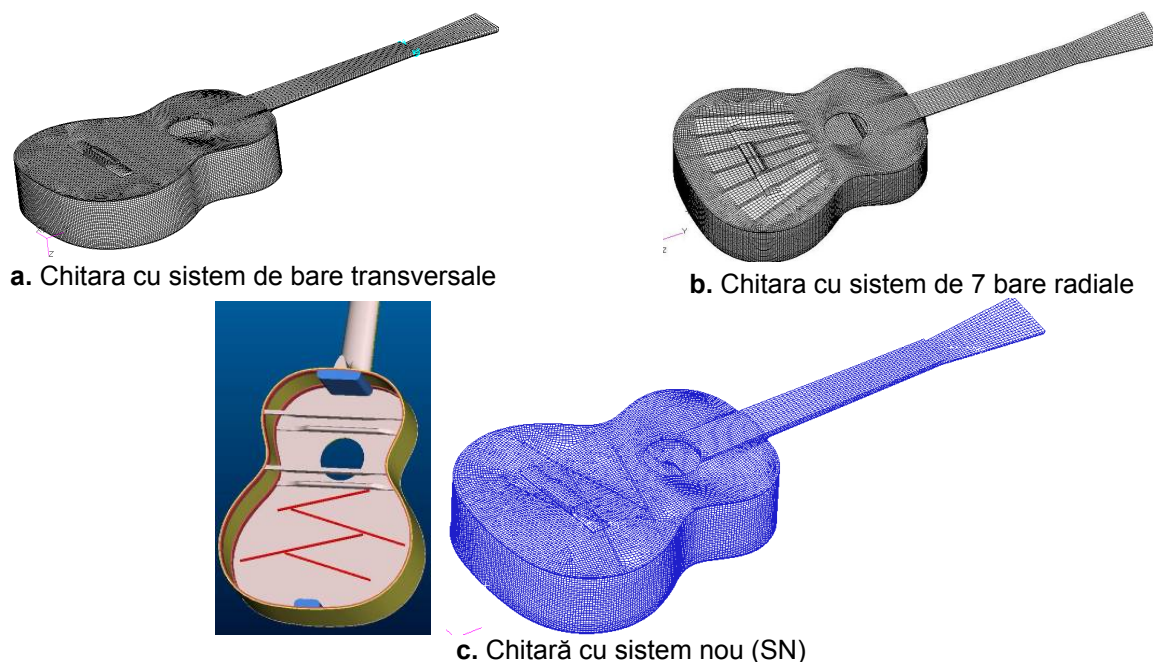


Fig. 5.63. Variantele de chitare clasice modelate cu FEM

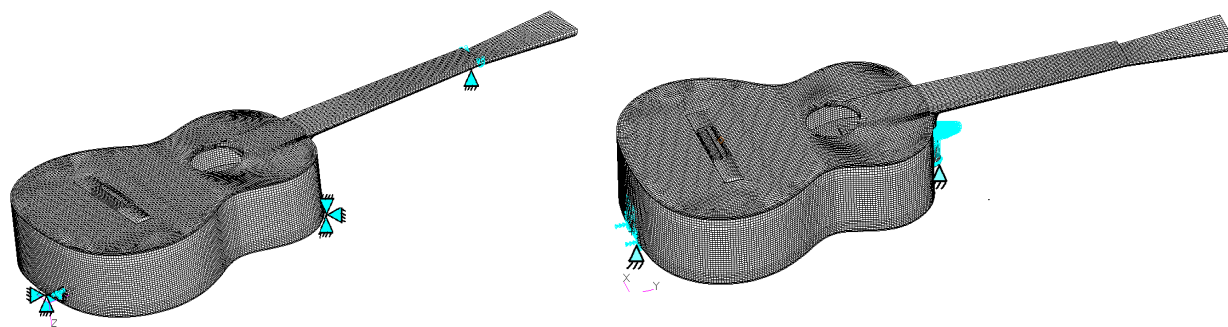
Prin această modelare s-au urmărit: obținerea modelelor numerice ale chitarei clasice în două variante constructive semnificative din punct de vedere al rigidității plăcii de față; analiza modală a întregii structuri; determinarea frecvențelor naturale și a modurilor de vibrație corespunzătoare fiecărei frecvențe proprii;

### ***Analiza modului în care creșterea rigidității structurii prin atașarea gâtului influențează comportarea dinamică a chitarei (analiză comparativă cu cutia fără gât)***

Caracteristicile elastice ale speciilor lemnoase din care sunt realizate elementele componente au fost cele utilizate și în modelările plăcilor și corpurilor (Subcapitolul 5.2 și 5.3). Fiind modelată o structură complexă, formată atât din plăci cât și din corpuri, pentru discretizarea modelului în elemente finite s-au utilizat atât elemente de tip shell – cu 4 noduri la modelarea plăcilor, cât și elemente de tip hexaedru solid cu noduri de colț. Legăturile mecanice utilizate au fost:

- **Cazul 1:** încastrarea rigidă la capetele cutiei de rezonanță, gâtul fiind rezemat la capăt astfel încât să simuleze condițiile reale din timpul cântatului (Fig. 5.64 a);

- **Cazul 2:** rezemarea corpului de chitară (în zonele de capăt), gâtul fiind lăsat liber (Fig. 5.64 b);



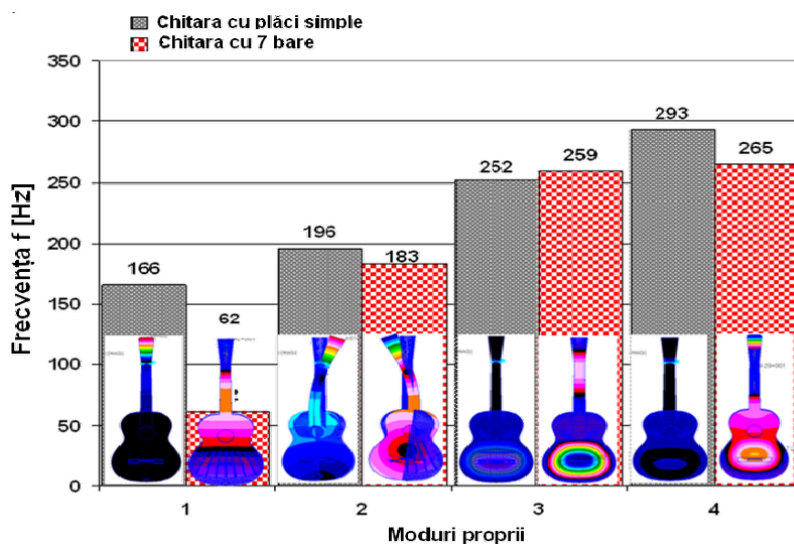
a. Condiții de contur –cazul 1

b. Condiții de contur –cazul 2

**Fig. 5.64.** Condiții de contur impuse în modelarea chitarei

S-au stabilit aceste condiții de contur pentru a avea aceleași criterii de comparație cu structurile modelate anterior cât și cu cele experimentale. În urma modelării cu FEM, s-au obținut: frecvențele proprii, modurile proprii de vibrație, câmpul de tensiuni, deformații și deplasări corespunzător fiecărui mod de vibrație din cele 10 stabilite.

În Fig. 5.65 sunt prezentate în mod comparativ variația frecvențelor proprii ale chitarei clasice obținute în cazuri diferite de sisteme de bare. Se constată că adăugarea barelor de rezonanță pe placa de acustică a chitarei duce la creșterea rigidității întregii structuri și implicit la scăderea frecvențelor proprii.



**Fig.5.65.** Comparatii între chitara cu plăci simple și cea cu sistem de 7 bare radiale

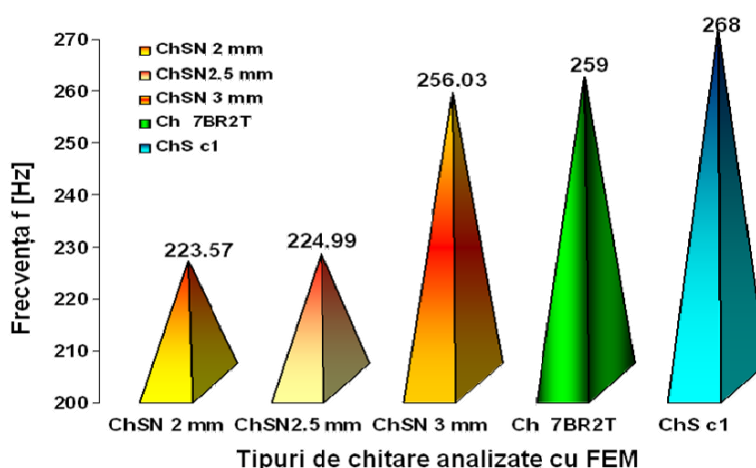
În Tabelul 5.12 sunt prezentate centralizat valorile frecvențelor proprii ale tipurilor de chitare analizate cu FEM. În literatura de specialitate, frecvențele proprii ale gâtului de chitară sunt de regulă neglijate, atunci când se studiază comportarea dinamică a corpului de chitară. Așa cum se observă în Tabelul 5.12 precum și în modurile de vibrație, corpul de chitară intră în vibrație începând cu modul 7.

Tabelul 5.12.

Valorile frecvențelor proprii obținute în modelarea celor 3 tipuri de chitare analizate

Nr. mod	Chitara ChSN			Chitara Ch7BR2T	Chitara simpla ChS
	h=2 mm	h=2,5 mm	h=3 mm	h=2,5 mm	h=2,5 mm
1	0,001557	0,001648	0,001367	0,001500	0,001205
2	0,000665	0,000952	0,000471	0,001030	0,000700
3	0,000637	0,000695	0,000428	0,000534	0,003400
4	0,000521	0,000667	0,000243	0,000440	0,004500
5	0,000453	0,000383	0,000408	0,000408	0,006500
6	0,00037	0,000767	0,000545	0,001200	0,008600
7	93,94	96,23	98,46	62,37	96,34
8	182,02	221,73	226,12	183,40	225
9	<b>223,57</b>	<b>224,99</b>	<b>256,03</b>	<b>259</b>	<b>268</b>
10	<b>311,67</b>	<b>317,56</b>	<b>323,17</b>	<b>265</b>	<b>319</b>
11	<b>327,42</b>	<b>333,01</b>	<b>341,21</b>	<b>330</b>	<b>339</b>
12	<b>387,94</b>	<b>459,06</b>	<b>518,09</b>	<b>466</b>	<b>506</b>
13	<b>416,28</b>	<b>487,69</b>	<b>525,40</b>	<b>490</b>	<b>528</b>
14	<b>525,37</b>	<b>527,34</b>	<b>545,67</b>	<b>525</b>	<b>530</b>
15	<b>536,80</b>	<b>537,65</b>	<b>551,81</b>	<b>539</b>	<b>567</b>
16	<b>604,86</b>	<b>623,31</b>	<b>626,82</b>	<b>607</b>	<b>623</b>
17	<b>630,32</b>	<b>658,20</b>	<b>696,33</b>	<b>621</b>	<b>657</b>
18	<b>692,48</b>	<b>706,87</b>	<b>720,88</b>	<b>661</b>	<b>707</b>
19	<b>694,13</b>	<b>783,92</b>	<b>796,77</b>	<b>734</b>	<b>788</b>
20	<b>774,75</b>	<b>787,77</b>	<b>807,60</b>	<b>746</b>	<b>804</b>

În Fig. 5.66 sunt prezentate comparativ frecvențele proprii obținute în modelarea celor trei tipuri de structuri; se observă că noul mod de dispunere a barelor de rezonanță – conform Fig. 5.63 c, influențează comportarea dinamică a chitarei în sensul reducerii cu aproximativ 12% a frecvenței fundamentale (cazul plăcilor cu grosimea de 2,5 mm). La grosimea de 3 mm, chitara cu sistemul nou de rigidizare prezintă valori similare ale frecvențelor proprii cu chitara cu sistemul de șapte bare radiale și grosimea de 2,5 mm.



**Fig. 5.66.** Comparații între valorile frecvențelor fundamentale ale chitărelor analizate cu FEM (ChSN – chitara cu sistemul nou de rigidizare, Ch 7BR2T – chitara cu șapte bare radiale și două transversale, ChS c1 – chitara simplă în cazul 1 al condițiilor de contur)

S-au observat următoarele aspecte ale comportării dinamice:

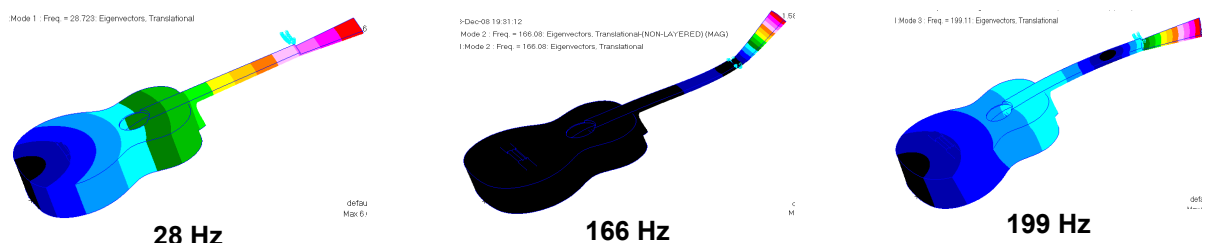
- Primul mod de vibrație la frecvențe joase (25-30 Hz), caracterizează structura gâtului de chitară care este cea mai rigidă parte a chitarei. Acesta se comportă ca o grindă rezemată;
- Corpul de chitară vibrează la frecvența fundamentală de 252 Hz în cazul plăcii de față și 293 Hz în cazul plăcii de spate pentru modul de vibrație (1,1).

Condițiile de contur influențează în mod hotărâtor comportarea dinamică a chitarei: în cazul 1 al condițiilor de contur – s-au înregistrat frecvențe proprii joase produse de vibrația gâtului de chitară, cutia acustică intrând în vibrație la frecvențe medii și mari (Tabelul 5.13).

În cazul 2 al condițiilor de contur (Fig. 5.64 și 5.66) – s-a observat că la vibrații joase se produc fenomene de încovoiere și torsionare a cutiei acustice.

**Tabelul 5.13.**

Analiza modală a chitarei clasice cu plăci simple - cazul 1



Modurile de vibrație ale gâtului (grindă rezemată la capete)



Modurile de vibrații ale corpului de chitară – condiții de contur cazul 1

## 5.6. Concluzii

### 5.6.1. Comparații între structuri: plăci de chitară– corpuri de chitară – chitară

În acest capitol au fost prezentate cercetările teoretice cu privire la analiza structurală și dinamică a structurilor din componența chitarei clasice, într-un demers gradual din punct de vedere al complexității acestor structuri. În fiecare subcapitol au fost prezentate rezultatele modelărilor numerice, realizându-se comparații între structurile cu același grad de complexitate, dar cu parametri variabili cum ar fi: densitatea, modulul de elasticitate longitudinal, grosimea plăcilor, elemente de rigidizare (număr, material, mod de dispunere).

În continuare este prezentată analiza comportării dinamice a structurilor din plăci ca urmare a modificărilor structurale ce se produc în urma adăugirii părților componente principale ale chitarei. În Fig. 5.70 se observă ca valorile frecvențelor proprii scad de aproximativ 2 ori cu creșterea rigidității și masei structurilor – de la plăcile simple individuale la chitara întreagă. O influență deosebită o are atașarea gâtului de chitară și prezența cordarului, între placa simplă și corpul fără gât înregistrându-se diferențe relativ mici, așa cum se observă în Fig. 5.70.

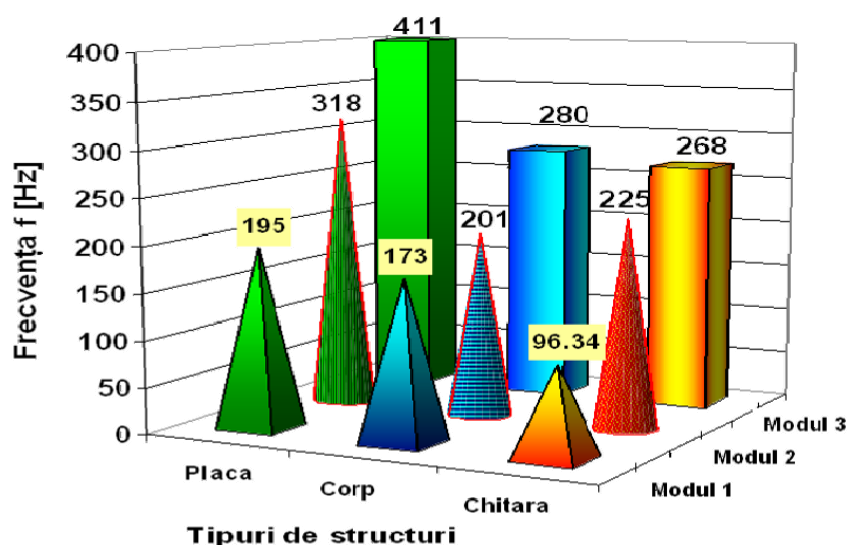
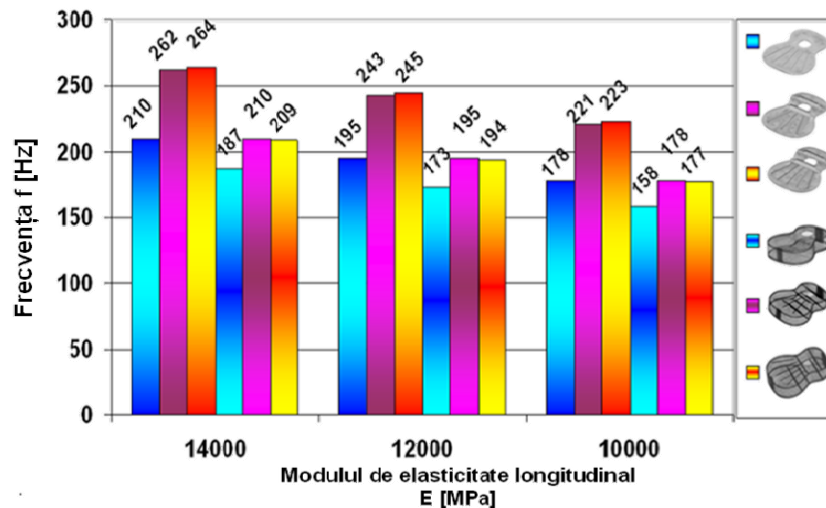


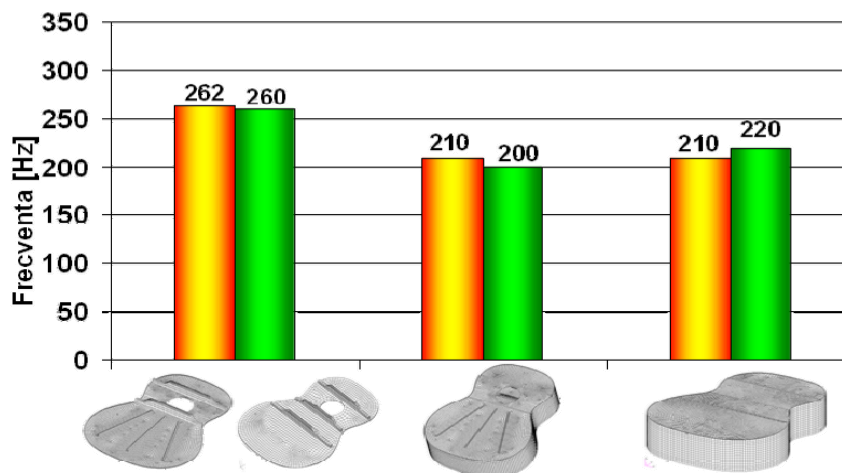
Fig. 5.70. Comparații între tipurile de structuri studiate cu FEM (structuri din plăci simple)

Dacă frecvențele proprii ale plăcilor și cutiei sonore au valori apropiate pentru primul mod de vibrație, cu creșterea modurilor de vibrații, cutia vibrează la frecvențe mai reduse decât cele ale plăcilor individuale (Fig. 5.71). Influența modulului de elasticitate longitudinal  $E$  asupra frecvențelor proprii este similară pentru plăci și pentru cutiile de rezonanță, așa cum se poate observa în Fig. 5.71 (frecvențele scad cu reducerea modulului de elasticitate). Structura plăcilor și condițiile de contur corelate cu elasticitatea materialului, produc frecvențe naturale cu valori diferite: mai mici cu 10-15% în cazul cutiilor acustice decât a plăcilor individuale (Fig. 5.71).



**Fig. 5.71.** Variația frecvențelor proprii cu scăderea modulului de elasticitate, pentru plăci și corpuri cu structuri similare

Legătura dintre plăcile din structura corpurilor de chitară modifică condițiile de contur și produce fenomene acustice prin interacțiunea solid – fluid – solid fapt care duce la diferențe între comportarea dinamică a plăcilor ca structuri individuale și a celor integrate în corpul de chitară. Astfel, în Fig. 5.72 se constată că frecvențele proprii și cele de rezonanță ale plăcilor individuale sunt cu până la 24% mai mari decât în cazul cuplării acestora în corpul de amplificare al chitarei.



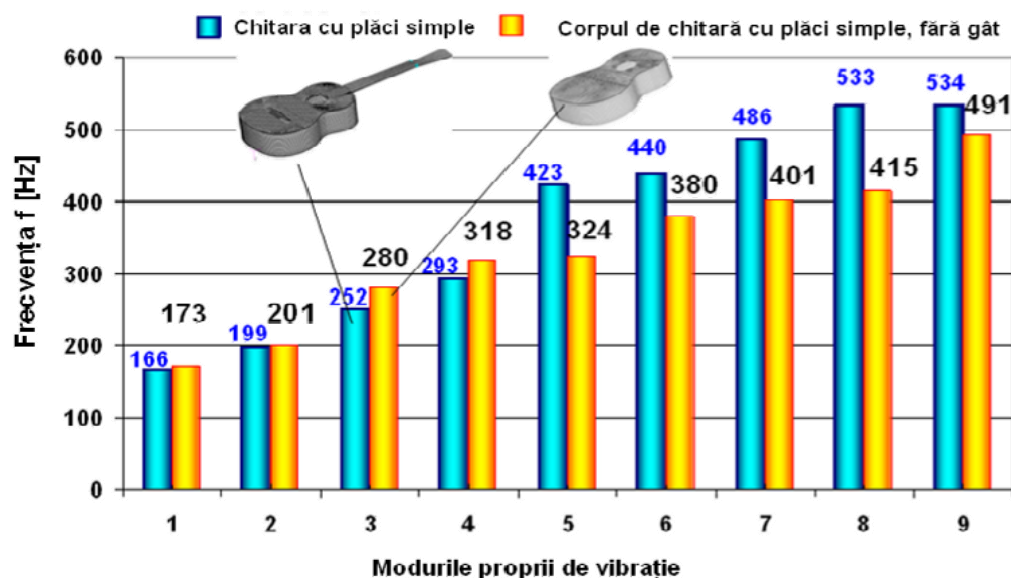
**Fig. 5.72.** Comparații între răspunsurile în frecvență ale plăcilor și cutiilor de chitară (vibrații libere și forțate)

De aici rezultă faptul că modificările structurale conduc la răspunsuri în frecvență diferite. Având în vedere că în realitate, plăcile din corpul de chitară sunt integrate într-o structură amplă și complexă, cunoașterea acestor fenomene și a particularităților pe care plăcile cu nervurații diferite le imprimă întregii structuri, este necesară având implicații practice. Astfel, cunoscând frecvențele proprii ale plăcii individuale, înaintea de atașarea acestora de eclise în cutia acustică, se pot realiza fie operații tehnologice care să ducă la îmbunătățirea răspunsului dinamic al plăcii, fie se pot alege pentru restul componentelor acele materiale lignocelulozice compozite cu proprietăți fizice și mecanice care, în combinație cu placa de față să formeze o structură optimă din punct de



vedere al calității acustice și tehnologice. Comparând analiza modală a chitarei cu cea a corpului fără gât, în aceleași condiții ale simulării cu FEM (plăcile având caracteristicile materialului:  $E=12000$  MPa,  $\rho=450$  kg/m<sup>3</sup>,  $h=2,5$  mm), s-a constatat că frecvența fundamentală a chitarei este produsă de vibrația gâtului care începe primul să vibreze. Această frecvență fundamentală este de aproximativ 6 ori mai mică decât frecvența fundamentală a corpului de chitară, fenomen explicat prin complianța mică a gâtului comparativ cu cea a cutiei. Începând cu al doilea mod de vibrație al chitarei, s-au înregistrat vibrațiile corpului ale cărui valori sunt comparabile cu cel al corpului de chitară fără gât.

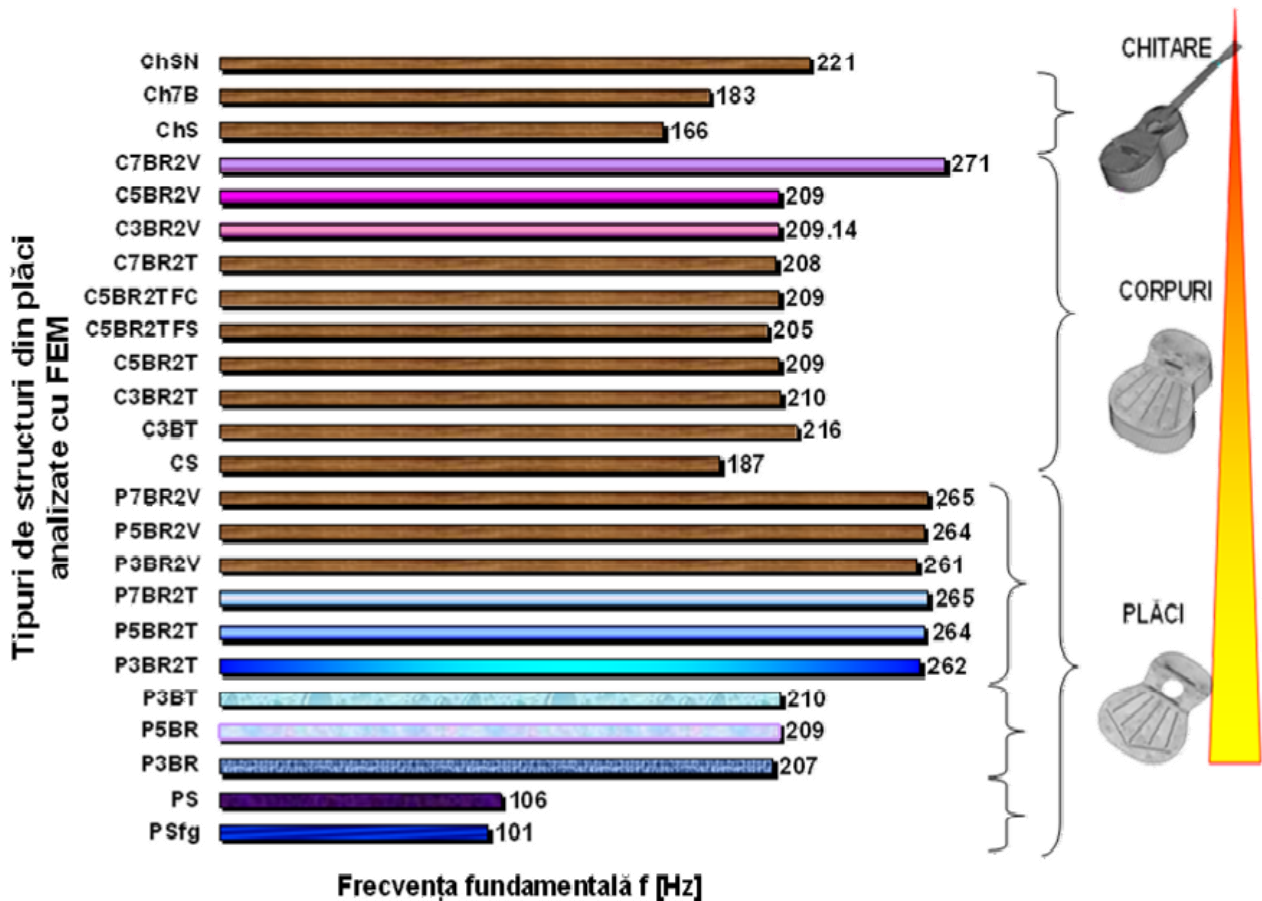
În Fig. 5.73, s-au luat în considerare doar frecvențele proprii ale corpurilor, în cele două cazuri analizate – cu gât atașat și fără gât. Din graficul de variație al frecvențelor proprii și armonicilor, se mai observă că, pentru primele 4 moduri, corpul cu gât prezintă valori mai reduse ale frecvențelor proprii comparativ cu corpul fără gât, după care raportul se inversează.



**Fig. 5.73.** Comparații între frecvențele proprii ale corpului fără gât și ca ale corpului cu gât

În Fig. 5.74 sunt comparate valorile frecvențelor proprii pentru toate tipurile de structuri analizate, în condiții de contur similare, modul de elasticitate longitudinal, densitate și grosimi identice ale plăcilor. Se constată că frecvențele proprii ale structurilor variază între 207 – 265 Hz pentru plăci, între 187 – 271 Hz pentru corpuri, între 166 – 221 Hz pentru chitare.

Integrarea plăcilor în structura corpului, precum și prezența gâtului de chitară, duce la scăderea valorilor frecvențelor proprii. În cadrul aceleiași familii de structuri – cum ar fi corpurile, se constată că între anumite limite ale gradului de rigidizare a plăcii de față, numărul barelor și poziția acestora nu mai influențează comportarea structurală a corpului de chitară.



**Fig. 5.74.** Comparații între frecvențele proprii ale structurilor analizate, în condițiile simulării aceluiași parametrii  $E=14000$  MPa,  $\rho=450$ ,  $h=2,5$  mm, (PSfg – placa fără gaură acustică, PS-placa simplă, P3T – placa cu bare transversale, P3R – placa cu 3 bare radiale, P3R2T – placa cu 3 bare radiale și 2 transversale, P5R2T – placa cu 5 bare radiale și 2 transversale, P7BR2T placa cu 7 bare radiale și 2 oblice, P3R2V – placa cu 3 bare radiale și 2 oblice în V, P5R2V – placa cu 5 bare radiale și 2 oblice în V, P7R2V – placa cu 7 bare radiale și 2 oblice în V, CS – cutia cu plăci simple, C3BT – cutia cu plăci cu 3 bare transversale, C3BR2T - cutia cu plăci cu 3 bare radiale și 2 transversale, C5BR2T - cutia cu plăci cu 5 bare radiale din lemn și 2 transversale, C5BR2TFS - cutia cu plăci cu 5 bare radiale din fibra de sticlă și 2 transversale, C5BR2TFC - cutia cu plăci cu 5 bare radiale din fibra de carbon și 2 transversale, C7BR2T - cutia cu plăci cu 7 bare radiale și 2 transversale, C3BR2V - cutia cu plăci cu 3 bare radiale și 2 oblice în V, C5BR2V - cutia cu plăci cu 5 bare radiale și 2 oblice în V, C7BR2V - cutia cu plăci cu 7 bare radiale și 2 oblice în V, ChS c1 – chitara simplă în cazul 1 al condițiilor de contur, Ch 7BR2T – chitara cu șapte bare radiale și două transversale, ChSN – chitara cu sistemul nou de rigidizare)

În Fig. 5.75 sunt prezentate comparațiile dintre valorile frecvențelor proprii determinate prin metode analitice și cele prin FEM, în cazul plăcii simple – fără nervurații.

Diferențele obținute se datorează pe de o parte ipotezelor luate în calculul analitic (reducerea geometriei plăcii de chitară la o placă dreptunghiulară, date de intrare), a metodei de rezolvare, a caracteristicilor materialului din punct de vedere al izotropiei/anizotropiei.

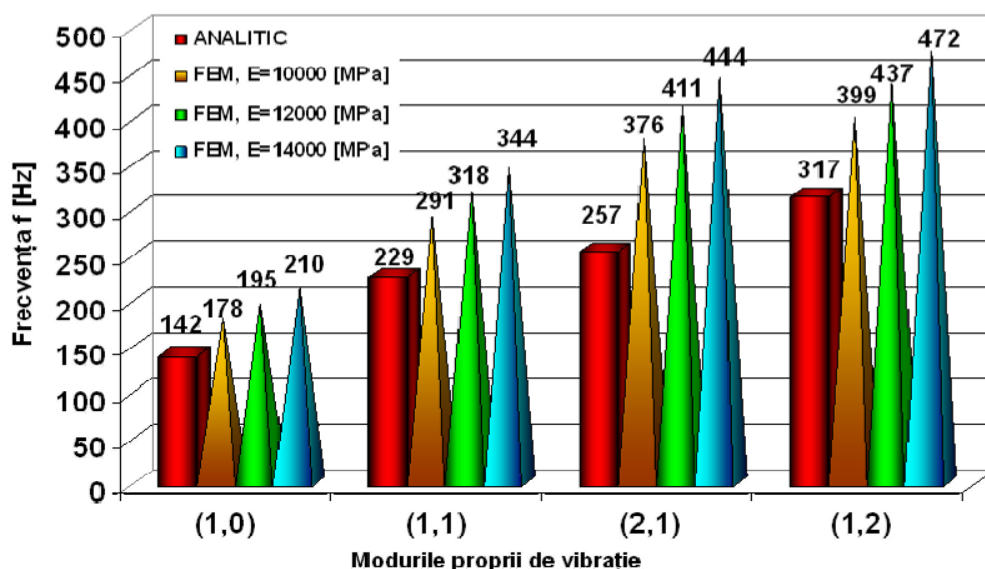


Fig. 5.75. Comparație între valorile frecvențelor fundamentale obținute cu FEM și analitic în cazul plăcilor ca structuri individuale

### 5.6.2. Comparații cu datele din literatura de specialitate

Datele obținute prin metode numerice au fost comparate cu cele din literatura de specialitate. Cercetările din domeniu relevă o bogată și diversă paletă de rezultate datorită studiilor personalizate pe anumite tipuri de chitară (clasică, folk, western, flamenco), pe anumite structuri de chitară din punct de vedere al barelor de rigidizare, pe caracteristici de material, parametri dimensionali, modul de discretizare a structurii în elemente finite, condițiile de contur impuse etc. Toți acești factori au dus la rezultate într-o gamă largă de frecvențe proprii. Această analiză comparativă nu trebuie privită în mod exhaustiv, ci doar ca o imagine generală comparativă asupra cercetărilor prin metode numerice întreprinse pentru studiul chitarei.

#### a) Modurile de vibrație

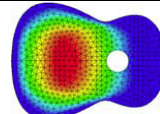
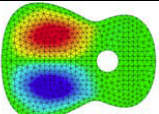
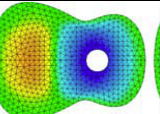
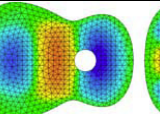
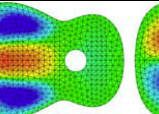
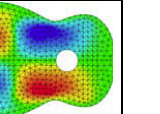
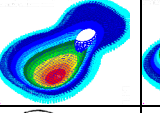
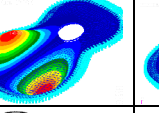
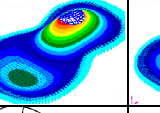
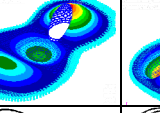
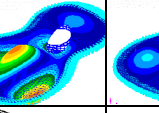
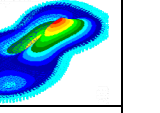
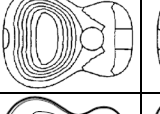
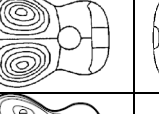
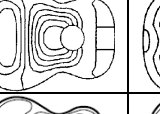
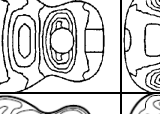
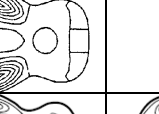
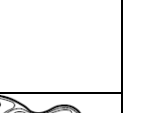
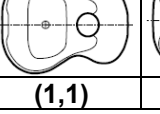
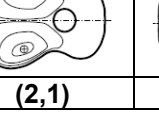
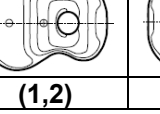
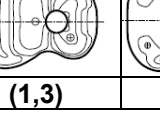
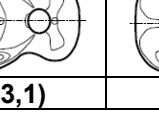
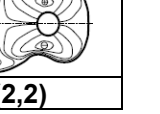
S-a constatat o foarte mare asemănare între rezultatele obținute în cadrul cercetărilor teoretice ale autorilor și cele obținute de cercetători cunoscuți din domeniu cum sunt Bécache (2005), Wright (1996), Vladimirovici (2004).

În Tabelul 5.14 sunt prezentate comparativ modurile proprii obținute în analiza modală a structurilor studiate de diferiți cercetători, constatându-se numeroase asemănări, ceea ce explică comportarea tipică a structurilor din plăci din componența chitarei clasice.

Diferențele frecvențelor proprii corespunzătoare modurilor descrise se datorează fie valorilor modulelor de elasticitate longitudinale utilizate de diferiți autori, fie grosimii plăcilor luate în calcul, modului de discretizare în elemente finite în funcție de softul folosit sau a tipului de element finit utilizat, fie structurii și tipului de chitară (plăci) analizată.

Tabelul 5.14.

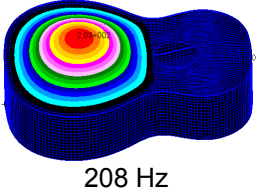
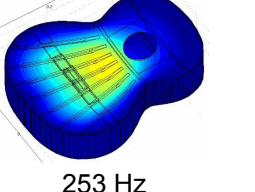
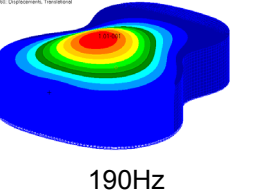
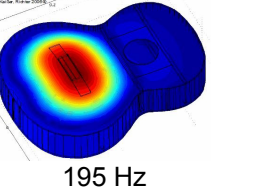
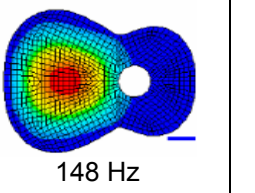
Comparație între rezultatele referitoare la modurile proprii de vibrații ale plăcilor obținute de diferiți autori (Bécache 2005, Wright 1996, Vladimirovici 2004, Stanciu și Curtu 2008, 2009)

<b>Bécache 2005</b>						
<b>Stanciu, Curtu 2008 - 2009</b>						
<b>Wright 1996</b>						
<b>Vladimirovici 2004</b>						
	(1,1)	(2,1)	(1,2)	(1,3)	(3,1)	(2,2)

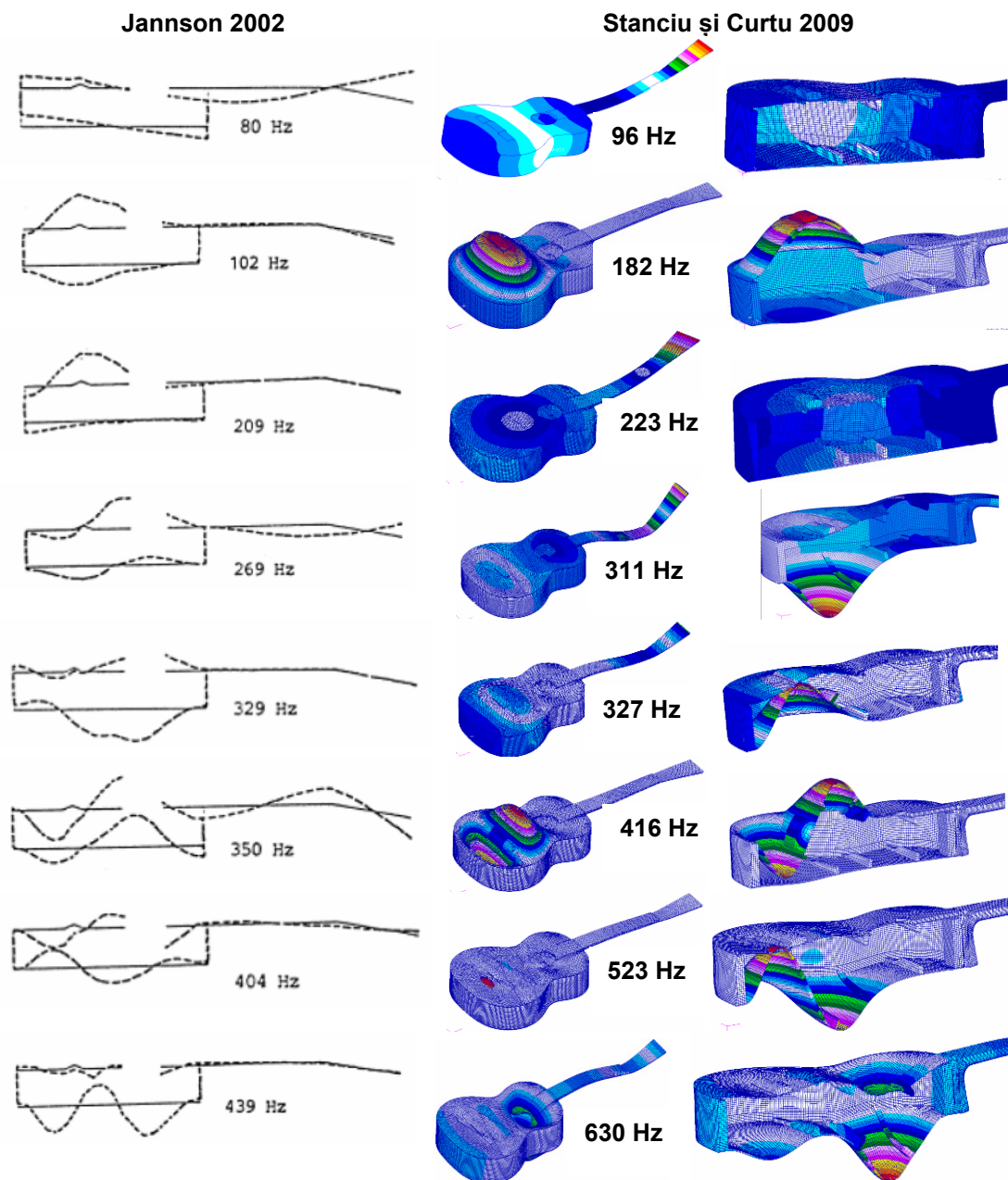
În Tabelul 5.15 sunt prezentate comparațiile dintre frecvențele și modurile de vibrații obținute în literatura de specialitate și cele ale autorilor, pentru aceleași structuri din plăci. Se observă că forma primelor 5 moduri de vibrație este aceeași la cei 4 autori, indiferent de parametrii geometrici și elastici utilizați.

Tabelul 5.15.

Comparație între formele modale ale corpurilor de chitară obținute de diferiți autori

	Stanciu 2008, [S20]	Kaißer, Richter (2007)	Becache 2004
Corp din plăci cu 7 bare radiale	 208 Hz	 253 Hz	
Corp plăci simple	 190 Hz	 195 Hz	 148 Hz

Comparând modurile de vibrații ale corpurilor de chitară similare prin modul de dispunere al barelor de rigidizare, se constată că pentru primul mod de vibrație, harta liniilor nodale obținute prin FEM este identică cu cea regăsită în literatura de specialitate (Tabelul 5.15). Valorile frecvențelor fundamentale prezintă diferențe între autori datorită parametrilor fizici și geometrici folosiți ca datele de intrare pentru rularea modelării. În literatura de specialitate, chitara clasică a fost studiată mai mult prin cercetări experimentale decât prin modelări analitice și numerice. În lucrarea sa, Janssen 2002, prezintă rezultatele modelării analitice a chitarei clasice preluate la rândul lui din referințele bibliografice. Nu se dau alte referințe legate de structura de rigidizare a plăcilor, proprietăți ale materialelor și dimensiuni.



**Fig. 5.76.** Comparații între formele modale obținute de autori și literatura de specialitate

Ca urmare a datelor insuficiente, comparațiile făcute nu sunt foarte riguroase. În Fig. 5.76 sunt redate aceste rezultate din referințele bibliografice și cele obținute prin studiul prezent - în cazul chitarei clasice cu sistem nou de rigidizare.

b) Frecvențe proprii

În Tabelul 5.16. sunt prezentate comparativ rezultatele obținute de Becache (2005) și Stanciu (2009) în cazuri diferite de modelare (parametri variabili fiind modulul de elasticitate și grosimea). Se constată că valori similare s-au obținut în cazul grupului de parametri:  $E=8500$  MPa,  $\rho= 350$  kg/m<sup>3</sup>,  $h=2,9$  mm utilizați de Becache și  $E=10000$  MPa,  $\rho= 350$  kg/m<sup>3</sup>,  $h=2,5$ mm utilizați în cercetarea teoretică realizată de autori.



**Tabelul 5.16.**

Rezultate comparative între valorile frecvențelor pentru primele 5 moduri proprii, obținute de diferiți autori (Bécache s.a. 2005, Stanciu, Curtu 2008 [S18])

	<b>Bécache 2005</b>	<b>Stanciu, Curtu 2008</b>			
	<b>Placa simplă E=8500 MPa, <math>\rho=350 \text{ kg/m}^3</math>, h=2,9 mm</b>	<b>Placa simplă E=10000 MPa, <math>\rho=350 \text{ kg/m}^3</math> <math>\nu=0,36</math></b>		<b>Placa cu 3 bare E=10000 MPa, <math>\rho=350 \text{ kg/m}^3</math> <math>\nu=0,36</math></b>	
		<b>h=2,5 mm</b>	<b>h=3 mm</b>	<b>h=2,5 mm</b>	<b>h=3 mm</b>
$f_1$	<b>185</b>	168,55	202,20	<b>185,79</b>	221,84
$f_2$	<b>287</b>	275,65	330,63	<b>316,30</b>	374,24
$f_3$	<b>460</b>	356,25	427,30	<b>392,34</b>	468,76
$f_4$	<b>508</b>	378,70	454,08	<b>435,24</b>	515,26
$f_5$	<b>645</b>	530,84	636,15	<b>596,15</b>	711,50

În Tabelul 5.17 sunt comparate valorile frecvențelor proprii obținute de autori și cele obținute de Vladimirovici (2004). Deși parametrii utilizați de Vladimirovici sunt aproximativ aceiași, cu excepția modului de elasticitate longitudinal a cărui valoare este dublă  $E=20000 \text{ MPa}$  și  $\nu=0,3$ , frecvențele proprii obținute de Vladimirovici sunt de aproximativ două ori mai mici decât cele rezultate în urma studiului prezentat.

**Tabelul 5.17.**

Rezultate comparative între valorile frecvențelor obținute de Vladimirovici 2004 și Stanciu, Curtu 2008

	<b>Stanciu, Curtu 2008</b>				<b>Vladimirovici, 2004</b>			
	<b>Placa simplă E=10000 MPa <math>\nu=0,36</math>, <math>\rho=350 \text{ kg/m}^3</math></b>		<b>Placa cu 3 bare E=10000 MPa <math>\nu=0,36</math>, <math>\rho=350 \text{ kg/m}^3</math></b>		<b>Placa simplă E=20000 MPa, <math>\nu=0,3</math></b>		<b>Placa cu 3 bare/ E=20000 MPa, <math>\nu=0,3</math></b>	
	<b>h=2,5 mm</b>	<b>h=3 mm</b>	<b>h=2,5 mm</b>	<b>h=3 mm</b>	<b>h=2,5 mm</b>	<b>h=3 mm</b>	<b>h=2,5 mm</b>	<b>h=3 mm</b>
$f_1$	<b>168,55</b>	202,20	198,61	237,17	<b>76</b>	88	87	104
$f_2$	<b>275,65</b>	330,63	338,14	400,08	<b>107</b>	126	160	191
$f_3$	<b>356,25</b>	427,30	419,43	501,13	<b>158</b>	187	230	260
$f_4$	<b>378,70</b>	454,08	465,29	550,83	<b>188</b>	221	322	378
$f_5$	<b>530,84</b>	636,15	637,31	760,63	<b>192</b>	225	371	417
$f_6$	<b>547,67</b>	656,56	682,31	804,58	<b>249</b>	292	398	466
$f_7$	<b>612,97</b>	734,84	738,12	871,18	<b>264</b>	310	417	493
$f_8$	<b>615,06</b>	737,53	748,71	884,28	<b>324</b>	382	487	566
$f_9$	<b>804,52</b>	964,36	987,18	1169,50	<b>343</b>	402	510	591
$f_{10}$	<b>835,00</b>	1001,00	1047,10	1232,30	<b>357</b>	416	627	726

În urma analizei critice a stadiului actual al cercetărilor, în Tabelul 5.18 sunt centralizate datele pe care diferiți cercetători le-au obținut, pentru anumite structuri de chitare studiate. Astfel, se regăsesc atât rezultate referitoare la chitarele clasice cât și la cele acustice – western și folk, rezultate ale investigațiilor teoretice sau experimentale.

În Fig. 5.77 este redată grafic variația valorilor frecvențelor naturale ale chitarelor analizate în literatura de specialitate și în actualul capitol. Se poate observa că rezultatele investigațiilor analitice și numerice sunt comparabile cu cele din literatura de specialitate.

Fiecare studiu având ca tematică chitara diferă de la un cercetător la altul ca urmare a utilizării unui anumit model de structură și geometrie (forma corpului de chitară, sistem de bare), ca

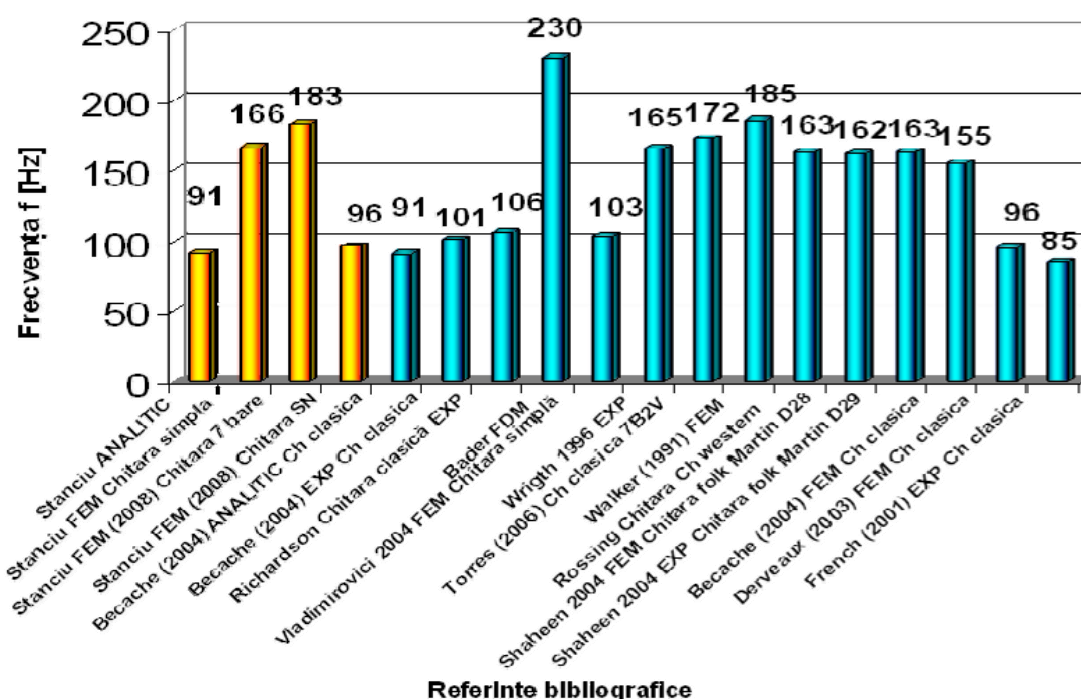


materiale (elasticități, densități, coeficientul lui Poisson, etc.), condiții de contur, mod de interpretare, etc. Din acest motiv, comparațiile prezentate sunt doar orientative.

**Tabelul 5.18.**

Centralizarea comparativă a frecvențelor proprii obținute de diferiți cercetători prin investigații analitice, numerice și experimentale

	1	2	3	4	5
Stanciu, Curtu ANALITIC	91	119	156	183	210
Stanciu, Curtu FEM Chitara simpla	166	196	252	293	423
Stanciu, Curtu FEM (2008) Chitara 7 bare	183	259	265	330	466
Stanciu, Curtu FEM (2008) Chitara SN	96	222	225	318	333
Becache (2004) ANALITIC Ch clasica	91	162	210	242	259
Becache (2004) EXP Ch clasica	101	180	239	282	323
Richardson 1982 Chitara clasică EXP	106	216	268	431	553
Bader FDM	230	369	495	502	707
Vladimirovici 2004 FEM Chitara simplă	103	187	250	402	422
Wright 1996 EXP	165	204	293	364	391
Torres (2006) Ch clasica 7B2V	172	298	432	555	936
Walker (1991) FEM	185	215	243	435	506
Rossing Chitara Ch western	163	276	390	431	643
Shaheen 2004 FEM Chitara folk Martin D28	162	309	404	503	474
Shaheen 2004 EXP Chitara folk Martin D29	163	276	390	431	649
Becache (2004) FEM Ch clasica	155	418	545	718	771
Derveaux (2003) FEM Ch clasica	96	164	200	247	272
French (2001) EXP Ch clasica	85	102	116	121	224



**Fig. 5.77.** Comparații între formele modale ale chitarei obținute de autori și cele din literatura de specialitate

### 5.6.3. Concluzii

Investigațiile efectuate cu metoda elementelor finite pe modelele geometrice ale diferitelor tipuri constructive de plăci acustice din componența chitarei clasice fabricate la noi în țară, au condus la următoarele concluzii: frecvențele cresc cu creșterea modului de elasticitate  $E$  al materialelor plăcilor; frecvențele scad cu creșterea numărului de bare de rigidizare aplicate pe plăci; frecvențele scad cu creșterea densității  $\rho$  plăcii, indiferent de forma lor constructivă; cu creșterea grosimii  $h$  a plăcilor, frecvențele proprii cresc liniar; structurile de plăci din componența chitarelor fabricate în țara noastră prezintă caracteristici dinamice comparabile cu cele studiate pe plan internațional. Cunoașterea modurilor proprii de vibrații și a frecvențelor corespunzătoare acestora prezintă importanță teoretică și practică din punct de vedere al fenomenului de rezonanță al plăcii, al modului în care materiale cu proprietăți diferite (modul de elasticitate, densitate, geometrie) pot fi valorificate în domeniul acusticii muzicale și nu numai. Calitatea muzicală ale plăcilor influențează performanțele acustice ale chitarelor. Investigațiile experimentale cu privire la caracteristicile dinamice și acustice ale structurilor de plăci vor evidenția concordanța dintre rezultatele modelării numerice și cele reale. Cercetările continuă cu investigațiile teoretice și experimentale ale comportamentului dinamic al plăcilor integrate în cutia sonoră a chitarei clasice.

Analiza teoretică a cutiilor de chitară cu gât și fără gât a dus la următoarele concluzii:

- Comportarea dinamică a structurilor din plăci: plăci simple, plăci cu nervurații, cutii din plăci, structuri complexe – tip chitară, depinde de o serie de parametri introduși în etapa de preprocesare. În acest studiu *variabilele de proiectare* au fost: gradul de complexitate al structurii care a impus anumite condiții de contur implicite și explicite, rigiditatea structurii dată de numărul, dispunerea barelor pe plăci și integrarea în ansamblul cutiilor, prezența gâtului atașat de corpul chitarei. În ciuda restricțiilor impuse (dimensiuni, caracteristici de material, legături mecanice), cercetarea numerică a vizat: atât o analiză calitativă între structuri cu același grad de complexitate dar cu alte variabile de proiectare ( $E$ ,  $h$ ,  $G$ , nr. bare, mod de dispunere), cât și o analiză cantitativă și calitativă între structuri cu grade diferite de complexitate, dar cu aceleași variabile de proiectare;
- Rezultatele obținute oferă date legate de răspunsul dinamic al diferitelor structuri, corelate cu cerințele de rezistență pe care acestea trebuie să le îndeplinească; din acest motiv cercetarea nu a urmărit ierarhizarea structurilor doar din perspectiva comportării dinamice, cât crearea unei baze de date utile optimizării acestora din punct de vedere acustic și de rezistență. Astfel, s-a constatat că o rigiditate mare a structurilor duce la scăderea frecvențelor proprii, fenomen care nu favorizează calitatea acustică a chitarei. De aceea este necesară găsirea structurii optime care să satisfacă cele două cerințe: pe de o parte rigiditatea ridicată a plăcii de față pentru evitarea deformațiilor plăcii și a deteriorărilor reologice, iar pe de altă parte o complianță mare care să permită vibrații la o gamă largă de frecvențe.

# 6

## CERCETĂRI EXPERIMENTALE PRIVIND CARACTERISTICILE MECANICE, ELASTICE ȘI ACUSTICE ALE STRUCTURILOR DIN PLĂCI DIN COMPONENȚA CHITAREI CLASICE

Legătura dintre teorie și realitatea practică, dintre modelul matematic și produsul finit, se realizează numai prin cercetări experimentale care au rolul de a valida rezultatele teoretice, de a descoperi noi legături cauzale dintre diferiți factori ce nu au putut fi accesibile prin ipotezele și algoritmii matematici aplicați în cercetările teoretice.

În acest capitol, sunt prezentate investigațiile experimentale privind caracteristicile mecanice, elastice și acustice ale structurilor din plăci de chitară, având ca obiective specifice: verificarea rezultatelor obținute pe cale teoretică, influența diferiților factori asupra caracteristicilor dinamice și acustice ale chitarei, elaborarea unor algoritmi de testare a structurilor din plăci, incluzând crearea standului experimental adaptat nevoilor și structurilor testate, stabilirea datelor de intrare, achiziția datelor și modul de prelucrare prin aplicarea unor metode moderne de investigare experimentală, compararea și validarea rezultatelor experimentale cu cele obținute în literatura de specialitate, stabilirea parametrilor optimi ai structurilor studiate.

Astfel, în cadrul cercetărilor experimentale s-au realizat numeroase teste. În funcție de parametri urmăriți, investigațiile experimentale realizate se clasifică:

### **după natura structurilor studiate:**

- plăci individuale;
  - rectangulare;
  - de chitară:
    - simple, fără rozetă, din diferite specii: molid, mahon, nuc, paltin, carpen, cireș;
    - cu trei bare transversale (P3BT);
    - cu trei bare radiale și două transversale (P3BR2T);
    - cu cinci bare radiale și două transversale (P5BR2T);
    - cu șapte radiale și două transversale (P7BR2T);
    - cu trei radiale, două în V și două transversale (P2BR2V);
- corpuri:
  - cu trei bare transversale (C3BT);
  - cu trei bare radiale și două transversale (C3BR2T);
  - cu cinci bare radiale și două transversale (C5BR2T):
    - bare radiale din lemn;
    - bare radiale din fibră de carbon;

- bare radiale din fibră de sticlă;
  - cu șapte radiale și două transversale (C7BR2T);
  - cu trei radiale, două în V și două transversale (C2BR2V);
  - cu sistem nou de bare (CSN);
- chitara fără corzi:
  - cu cinci bare radiale și două transversale (Ch5BR2T);
  - cu șapte radiale și două transversale (Ch7BR2T).
- ✚ **după modul de dispunere a accelerometrelor:**
  - pe axa longitudinală a plăcii;
  - pe axa transversală;
  - pe față, spate, eclise.
- ✚ **după tipul condițiilor de contur:**
  - rezemare elastică în două puncte;
  - rezemare pe contur;
  - fixare rigidă;
  - încastrare semirigidă.
- ✚ **după softul de achiziție și prelucrare a datelor:**
  - LabView, Microcal Origin;
  - Pulse 12 – softul de achiziție și prelucrare de semnale.
- ✚ **după modul de excitare a structurii:**
  - prin șoc – cu ciocanul de impact;
  - acustic non/contact – cu difuzor;
  - cu contact continuu sinusoidal – cu masă vibrantă.

### **6.1. Cercetări experimentale privind răspunsul plăcilor ligno-celulozice compozite**

Amortizarea vibrațiilor plăcilor compozite lignocelulozie reprezintă fenomenul ce apare ca urmare a pierderii energiei sonore disipată în material, fiind interdependentă de fenomenul frecării interne (exprimată prin decrementul logaritmic al amortizării vibrațiilor), contribuțiilor constituenților, arhitecturii combinării lor, precum și efectelor interfazice (Alămoreanu, 2005).

Mecanismele amortizărilor interne ale plăcilor din lemn sunt dependente de frecvențele proprii ale acestora, estimarea caracteristicilor specifice fiind dificilă datorită anizotropiei lemnului, speciei, densității și neomogenității materialului lemnos.

În cazul sistemelor cu un grad de libertate de tip Kelvin Voigt, formate dintr-o masă concentrată și un element cu amortizare vâsco-elastică, teoria clasică a vibrațiilor libere și forțate

este sintetizată în relațiile (6.1.....6.5). Astfel, amortizarea este caracterizată de mărimile date în relațiile (Chiriacescu, 1982, Roșca 2002):

- *coeficientul de amortizare critică*

$$c_c = 2\sqrt{km} = 2m\omega = 4\pi mf \text{ [Ns/m]}, \quad (6.1)$$

în care  $\omega^2 = k/m$  este pătratul pulsației proprii fără amortizare,  $k$  este constanta elastică și  $m$  masa structurii;

- *coeficientul de amortizare*

$$c = \xi * c_c \text{ [Ns-m]}_{SI}, \quad (6.2)$$

în care  $\xi$  este raportul de amortizare;

- *decrementul logarithmic al amortizării,*

$$\delta = \ln \frac{A_1}{A_2} = \ln \left[ \frac{A_0 e^{-\xi \omega_n t}}{A_0 e^{(-\xi \omega_n t + T_a)}} \right] = \ln(e^{\xi \omega_n T_a}) = \xi \omega_n T_a, \quad (6.3)$$

în care:  $\delta$  reprezintă decrementul logarithmic al mișcării vibratorii;

$A_1, A_2$  - două valori succesive oarecare ale amplitudinii mișcării vibratorii;

$A_0$  - amplitudinea la timpul  $t = 0$ ;

$\xi$  - factorul de amortizare;

$\omega_n$  - pulsația proprie;

$t$  - timpul;

$T_a$  - pseudoperioada.

Decrementul logarithmic poate fi determinat și prin măsurarea a două deplasări decalate printr-un număr oarecare de cicluri complete, considerând cele două deplasări ca fiind de amplitudine  $y_1$  și  $y_{n+1}$  corespunzătoare timpilor  $t_1$  și  $t_{n+1}=t_1+n*T$ , unde "n" este un număr întreg iar T perioada.

Astfel se obține relația 6.4 (Roșca, 2002):

$$\delta = \frac{1}{n} \ln \frac{y_1}{y_{n+1}} \quad (6.4)$$

La amortizari mici ( $\xi < 0.1$ ):

$$\delta = \pi c / \sqrt{km} = \pi c / (m \omega) = 2\pi \xi. \quad (6.5)$$

- *factorul de pierderi* este mărimea care exprimă ponderea energiei disipate în material, fiind funcție de coeficientul de amortizare, masă și pulsația proprie  $\omega$ .

$$\xi = \delta / (2\pi) = c / (2m\omega). \quad (6.6)$$

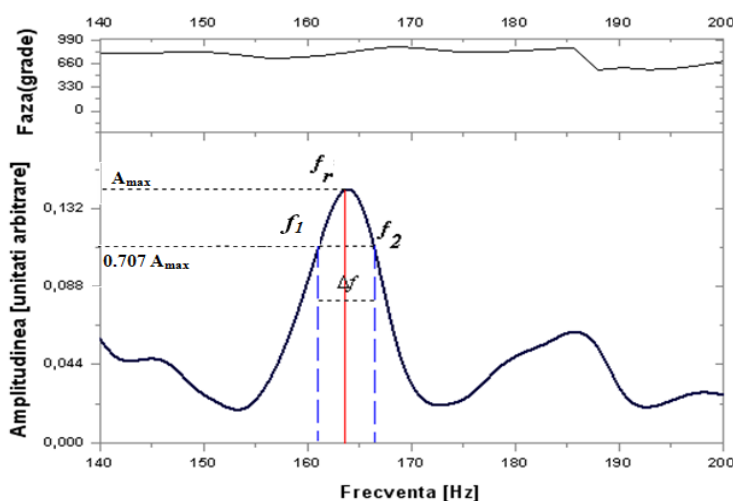
Spre deosebire de materialele omogene și izotrope, în cazul lemnului se utilizează relațiile aplicate teoretic și experimental de Beldie (1965), Beldeanu (1996), Vladimirovici (2004), Bucur

(2006) ș.a. prezentate mai jos. Astfel, frecarea internă se exprimă prin decrementul logaritm al amortizării vibrațiilor libere sau întreținute  $\delta$ , sau prin factorul de calitate al amortizărilor vibrațiilor întreținute  $Q$  (Beldie 1965, Bucur 2006 ).

În cazul vibrațiilor libere, decrementul logaritm se calculează cu relația (6.3), iar pentru vibrații forțate, se aplică relația (6.7) – după Beldeanu (1996, 2001):

$$\delta = \pi \frac{\Delta f}{f_r} = \pi \frac{f_2 - f_1}{f_r}, \quad (6.7)$$

în care  $f_r$  este frecvența de rezonanță, în Hz, iar  $f_1, f_2$  – frecvențele corespunzătoare amplitudinilor vibrațiilor,  $A_{1,2} = 0.707 \cdot A_{\max}$ , conform Fig. 6.1.



**Fig. 6.1.** Curba frecvenței de rezonanță a lemnului

Între valorile  $\delta$  și  $Q$  – factorul de calitate există relația:

$$Q = \frac{\pi}{\delta}. \quad (6.8)$$

Valoarea frecării interne depinde de umiditate, specie, direcția de anizotropie, de dimensiunile și structura epruvetei (bară, placă), de regularitatea și continuitatea structurii lemnului, de modul de fixare și metoda de investigare.

### 6.1.1. Metoda ciocanului de impact

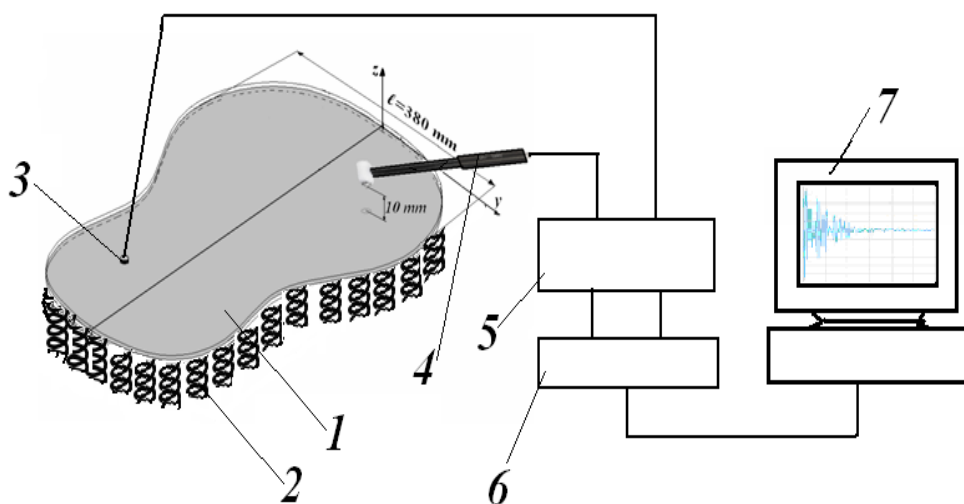
Metoda ciocanului de impact, bazată pe excitarea structurii prin șoc, a fost utilizată pentru determinarea frecvențelor proprii și a decrementului logaritm.

Standul experimental a fost construit conform schemei din Fig. 6.2. Fiecare structură (1) a fost rezemată pe un contur elastic din burete (2) și lovită în diferite puncte de pe placă cu ciocanul de impact tip B&K 8204 (4) pentru structuri ușoare. Răspunsul plăcii a fost captat cu accelerometrul tip B&K 4517-002 (3) amplasat în centrul geometric al plăcii și transmis prin dispozitivul de condiționare (5) către placa de achiziție tip DAQ (6) conectată la calculator (7).

Captarea și vizualizarea semnalului s-a realizat prin intermediul programului dezvoltat în

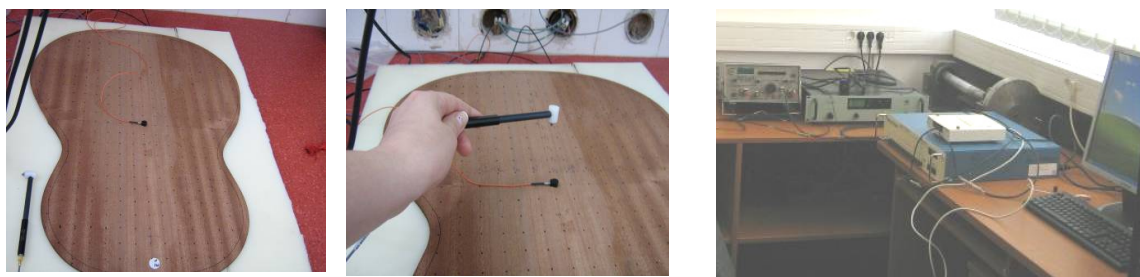


LabView (Fig. 6.3.). Datele obținute sub formă numerică au fost prelucrate grafic utilizând programul Microcal Origin. În Fig. 6.3 se observă secvențe din timpul pregătirii și execuției testelor. S-au determinat: decrementul logaritmic, coeficientul de amortizare și frecvențele proprii pentru fiecare placă. Pentru aceasta placa a fost împărțită în puncte aflate la distanța de 20 mm, plecând de la axa longitudinală de simetrie și axa transversală mijlocie. Accelerometrul uniaxial (pe direcția z) a fost amplasat în centrul geometric al plăcii, iar cu ajutorul ciocanului de impact s-au excitat diferite puncte de pe placă. Semnalul captat de accelerometru a fost amplificat prin intermediul unui dispozitiv de condiționare a semnalului, fiind transmis la placa de achiziție conectată la computer.



**Fig. 6.2.** Instalația experimentală

1 - placa studiată, 2- reazem elastic, 3 – accelerometru, 4 - ciocan de impact, 5 – dispozitiv de condiționare, 6 - placa de achiziție DAQ, 7- calculator pentru vizualizarea și procesarea datelor



**Fig. 6.3.** Secvențe din timpul măsurătorilor

Datele au fost captate cu ajutorul programului realizat în Labview (Fig. 6.4) care a permis și vizualizarea lor sub forma grafică - ca semnal în timp și ca semnal în frecvență (Fig. 6.5). Pentru corectitudinea rezultatelor, s-au calibrat aparatele cu generatorul de calibrat, introducându-se în calcule corecția de  $4,97 \cdot 10^4$  Hz. Toate plăcile au fost testate în aceleași condiții de temperatură și umiditate relativă a aerului, în cadrul Laboratorului de Vibrații Mecanice din cadrul Catedrei de Rezistența Materialelor și Vibrații a Universității Transilvania din Brașov.

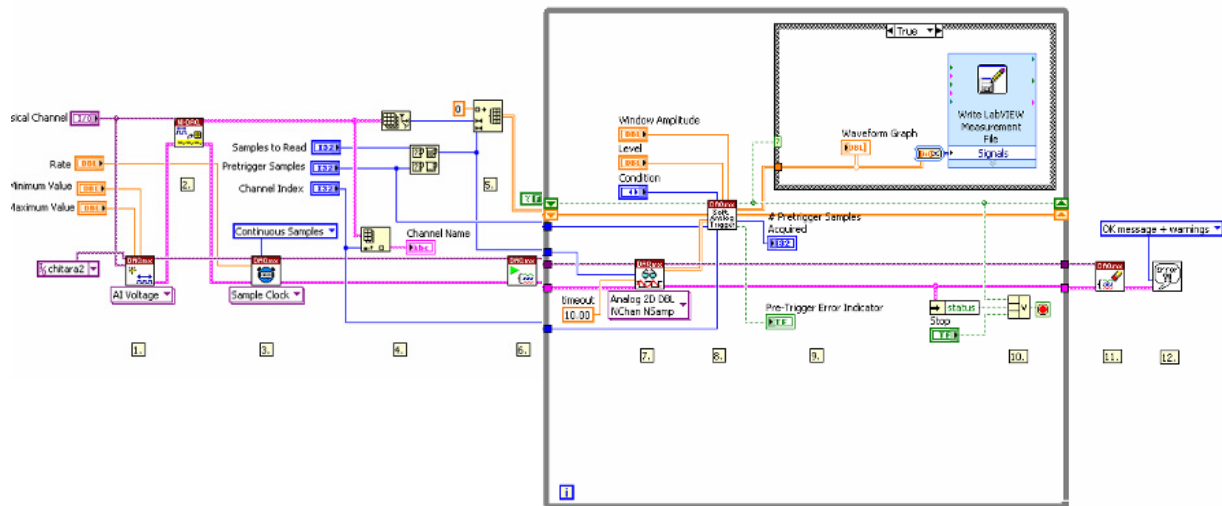


Fig. 6.4. Schema bloc a programului realizat în LabView

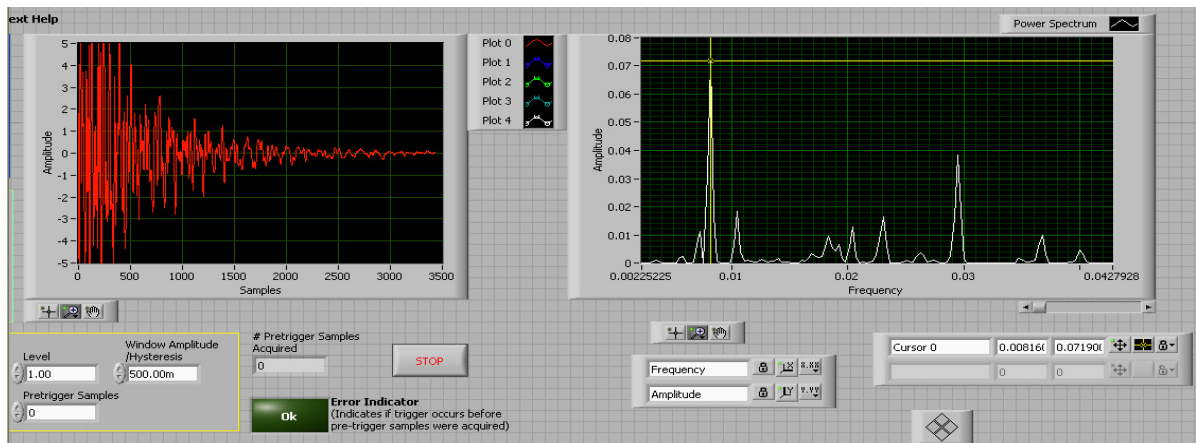


Fig. 6.5. Captarea și vizualizarea grafică a semnalului de ieșire

Înainte de utilizare, s-a realizat precalibrarea accelerometrului și a ciocanul de impact astfel încât acestea să funcționeze la parametri tehnici înscrși și recomađați. Caracteristicile aparatelor și echipamentelor utilizate sunt prezentate mai jos. După efectuarea testelor, s-a făcut postcalibrarea constatându-se că în timpul măsurărilor nu au existat defecțiuni sau abateri de la caracteristicile standard ale echipamentelor.

*Ciocanul de impact B&K tip 8204* (Fig. 6.6) – este format dintr-un cap constând într-un traductor de forță piezoelectric prin intermediul căruia este excitată structura și este măsurată forța de impact, și coada ciocanului protejată cu un strat de izolator.

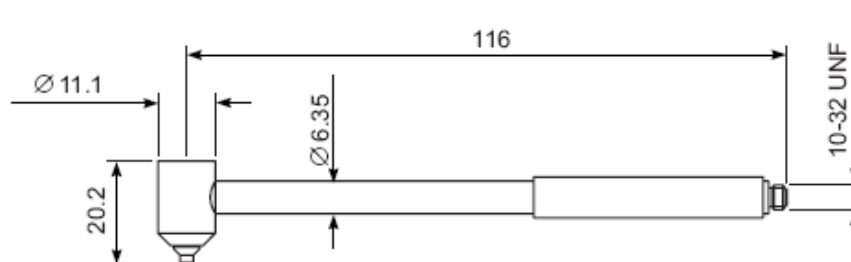


Fig. 6.6. Ciocanul de impact B&K tip 8204

Sensibilitatea ciocanului este de 20,75 mV/N, la temperatura de 22<sup>0</sup> C și umiditatea relativă a aerului de 36%. Eroarea liniară este sub 2% pentru valoarea maximă a forței de 220 N. Valoarea maximă a forței de compresie a traductorului piezoelectric este de 334 N. Masa seismică efectivă este de 2 g.

Accelerometrul B&K tip 4517-002 (Fig. 6.7) – este de tip piezoelectric cu conectare laterală și preamplificare. Este realizat din titan ca material de protecție și cuarț – ca element sensibil. Sensibilitatea este de 10 mV/g la temperatura de 22<sup>0</sup> C și intensitatea curentului de 4 mA. Gama de frecvențe este cuprinsă între 1 Hz și 20 kHz. Sensibilitatea în direcție transversală este sub 5% din sensibilitatea de referință, măsurată la 30 Hz și accelerația de 100 m/s<sup>2</sup>. Frecvența de rezonanță este de 81 kHz, factorul de calitate este de 117, iar gama de măsurare a accelerației este de  $\pm 4900 \text{ m/s}^2$ .

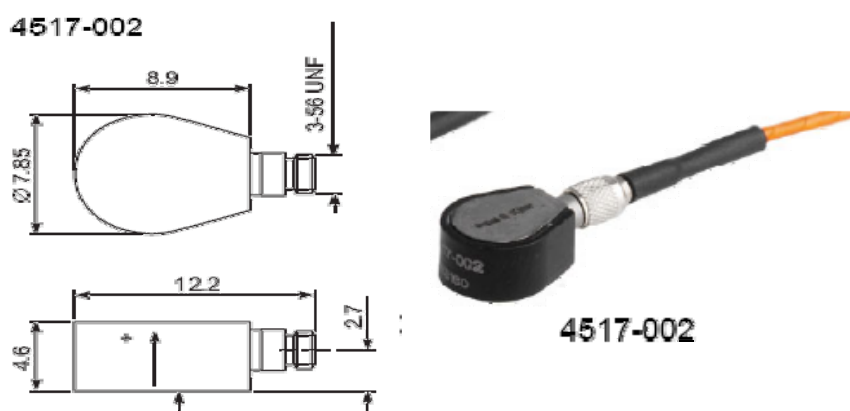


Fig. 6.7. Accelerometrul B&K tip 4517-002

Semnalele de intrare (de la ciocanul de impact) și de ieșire (de la accelerometru) au fost transmise la placa de achiziție *DAQ National Instruments* prin dispozitivul de condiționare a semnalului *PCB Piezotronics tip 481A*, cu 16 canale, prin intermediul căruia s-a realizat amplificarea semnalului.

### 6.1.2. Materiale și structuri testate













S-au testat plăci simple lignocelulozice din placaj și lemn masiv cu geometria specifică plăcilor de chitară, din speciile cele mai utilizate în structura corpului de chitară: molid, paltin, mahon, nuc etc.

Caracteristicile fizice, elastice preluate din literatura de specialitate (Bucur 2006, Curtu 1983) și valorile medii ale umidității și grosimii măsurate pe plăcile luate în studiu, sunt prezentate în Tabelul 6.1. Densitatea și modulul de elasticitate longitudinal au fost preluate din literatura de specialitate. Înainte de efectuarea determinărilor s-a măsurat umiditatea și grosimea plăcilor în 7 puncte de pe placă, utilizând umidimetrul cu ultrasunete tip Merlin PM1-E din laboratorul de testări mecanice a Facultății de Industria Lemnului (Fig. 6.8).



a – epruvetă; b - umidimetru  
**Fig. 6.8.** Măsurarea umidității și grosimii plăcilor

**Tabelul 6.1.**
**Caracteristicile fizice ale plăcilor testate**

Specia / Sortiment	Mahon (Khaya ivorensis) Placaj cu 3 straturi		Nuc (Juglans regia) Placaj cu 3 straturi	
				
h [mm] U [%] $\rho$ [kg/m <sup>3</sup> ] E <sub>L</sub> [MPa]	2 mm 8,8 % 550 kg/m <sup>3</sup> , 10000 MPa	2,2 mm 9 % 550 kg/m <sup>3</sup> , 10000 MPa	2 mm 7,2 % 640 kg/m <sup>3</sup> , 11500 MPa,	2 mm 6,5 % 640 kg/m <sup>3</sup> , 11500 MPa
	Paltin (Acer platanoides) Placaj cu 3 straturi		Cireș (Prunus avium) Placaj cu 3 straturi	
				
h [mm] U [%] $\rho$ [kg/m <sup>3</sup> ] E <sub>L</sub> [MPa]	2,5 mm 8,9 % 580 kg/m <sup>3</sup> 13300 MPa	2,8 mm 9 % 580 kg/m <sup>3</sup> 13300 MPa	2,8 mm 9,7 % 540 kg/m <sup>3</sup> 10900 MPa	2,6 mm 9,3 % 540 kg/m <sup>3</sup> 10900 MPa
	Carpen (Carpinus Betulus) Placaj cu 3 straturi		Molid (Picea abies) Lemn masiv	
				
h [mm] U [%] $\rho$ [kg/m <sup>3</sup> ] E <sub>L</sub> [MPa]	2,8 mm 6,6 % 610 kg/m <sup>3</sup> 16000 MPa	2,6 mm 7 % 610 kg/m <sup>3</sup> 16000 MPa	2,8 mm 8,7 % 450 kg/m <sup>3</sup> 14000 MPa	2,6 mm 7,4 % 450 kg/m <sup>3</sup> 14000 MPa

## Influența materialului (speciei lemnoase) asupra caracteristicilor acustice ale plăcilor

### 6.1.3. Determinarea decrementului logaritm pentru plăcile de chitară din diferite specii lemnoase

În Fig. 6.9 sunt prezentate înregistrări ale răspunsului plăcilor în domeniu timp, captate cu programul realizat în Labview.

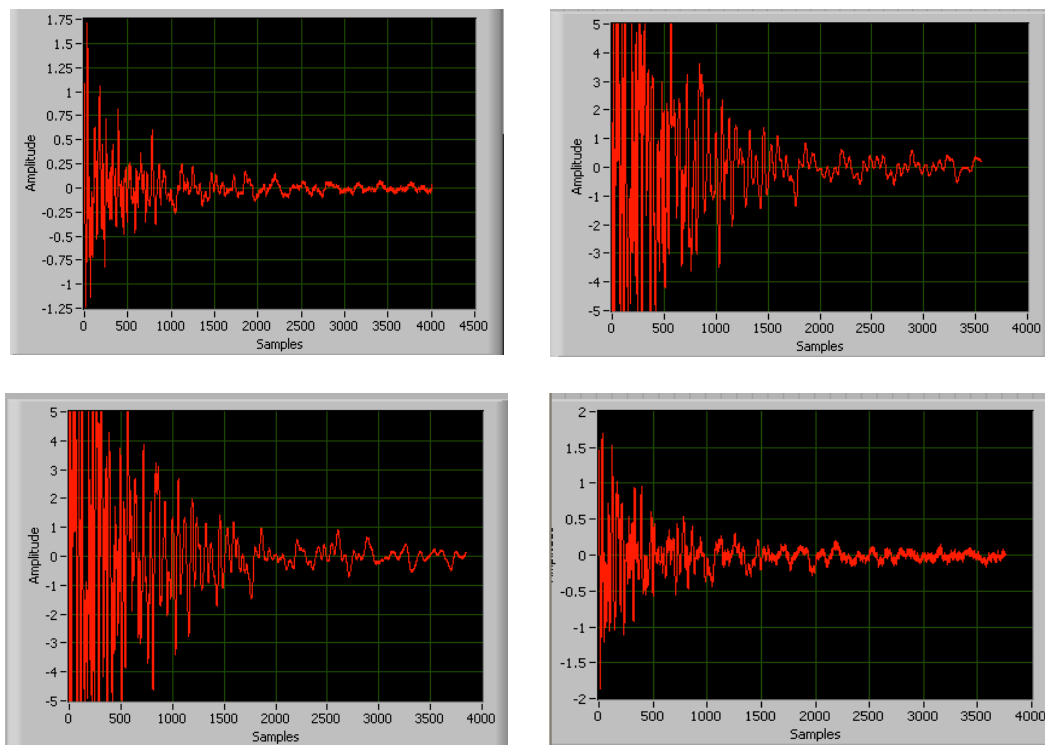


Fig. 6.9. Curbele de amortizare a vibrațiilor libere a plăcilor studiate

Viteza de “stingere” a mișcării vibratorii a fost evaluată prin determinarea decrementului logaritm  $\delta$  conform relației de calcul (6.7). Pe baza curbei frecvenței de rezonanță prezentate în Fig. 6.10, s-a determinat valoarea decrementului logaritm pentru fiecare placă testată.

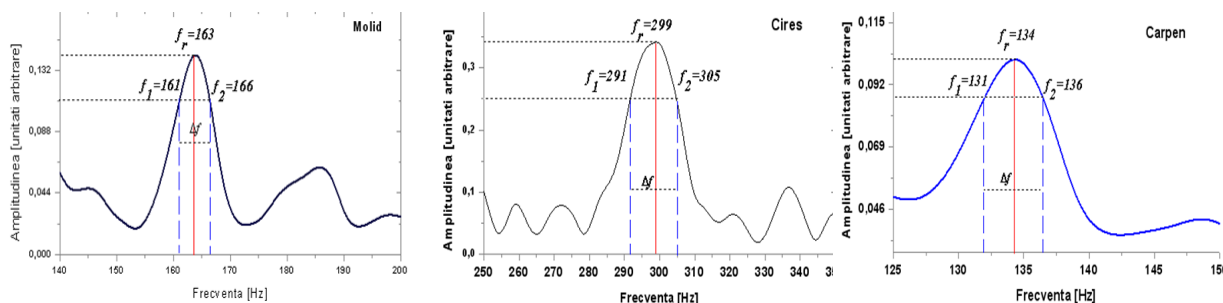


Fig. 6.10. Curba frecvenței de rezonanță determinată pentru speciile analizate

S-a observat că, în cadrul aceleiași specii există diferențe valorice ale decrementului logaritm, fapt pentru care fiecare structură - chitară va fi unică din punct de vedere acustic datorită caracteristicilor particulare ale lemnului chiar și în cadrul aceleiași specii. Aceste deosebiri

structurale macro și microscopice ale lemnului se imprimă cu atât mai mult asupra caracteristicilor acustice – acestea fiind rezultatul interacțiunii dintre elementele nanostructurale ale materialului. În Fig. 6.11 sunt redată valorile medii ale decrementelor logaritmice în funcție de speciile studiate. Plăcile din molid se plasează între speciile studiate din punct de vedere al valorii decrementului logaritmice, fapt ce valorificat de lutieri în mod intuitiv prin combinațiile de specii (molid-paltin, molid-mahon, molid-carpen, molid-nuc, molid-cireș) din structura corpului chitarei. Valorile decrementului logaritmice ale plăcilor de chitară simple, fără nervurații, sunt comparabile cu cele din literatura de specialitate. Astfel, Vladimirovici (2004) înregistrează pe structuri similare – plăci de chitară, valori ale decrementului logaritmice cuprinse între  $0,157 \div 0,377$ , în funcție de complexitatea structurală a plăcilor.

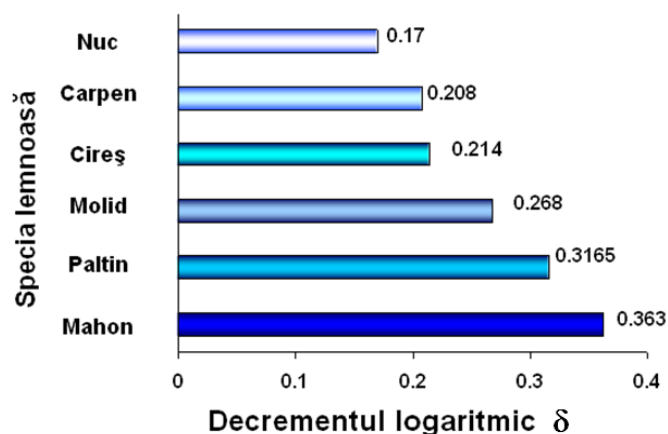


Fig. 6.11. Variația decrementului logaritmice în funcție de specie

Ținând cont de caracterul complex al fenomenului de rezonanță, rezultat din contribuția numeroșilor factori – biochimici, elastici, geometrici, tehnici, acustici, Beldeanu și Pescăruș (1996) introduc noțiunea de clasă de calitate acustică, efectuând studii statistice pe epruvete de molid apreciați ca fiind de rezonanță. Astfel aceștia au pus în evidență următoarele grupe de valori ale decrementului logaritmice exprimat sub forma expresiei  $2\pi \tan \delta$ , pentru calitatea acustică a molidului de rezonanță: valori foarte bune ( $0,0175 - 0,0197$ ), valori bune ( $0,0197 - 0,0219$ ) și necorespunzătoare (mai mari de  $0,022$ ). Alte studii din literatura internațională (Bucur, 2006), (Richardson, 1986) realizate prin metoda ultrasunetelor pe epruvete din lemn de rezonanță prezintă ca valori optime cele cuprinse în intervalul  $0,02 \div 0,026$ .

#### 6.1.4. Determinarea răspunsului în domeniul frecvență al plăcilor din diferite specii

Pentru determinarea răspunsului în domeniul frecvență al plăcilor s-a utilizat transformata rapidă Fourier (notată FFT) din programul de prelucrare grafice Microcal Origin. Astfel s-au obținut valorile frecvențelor proprii pentru plăcile analizate. Din curbele prezentate în Fig. 6.12 se constată că speciile analizate prezintă pe mai multe frecvențe proprii care contribuie la formarea timbrului și



calității acustice a chitarei. Analizând comparativ reprezentările grafice din Fig. 6.12, se observă că molidul răspunde cu un număr bogat de armonice la excitația exterioară.

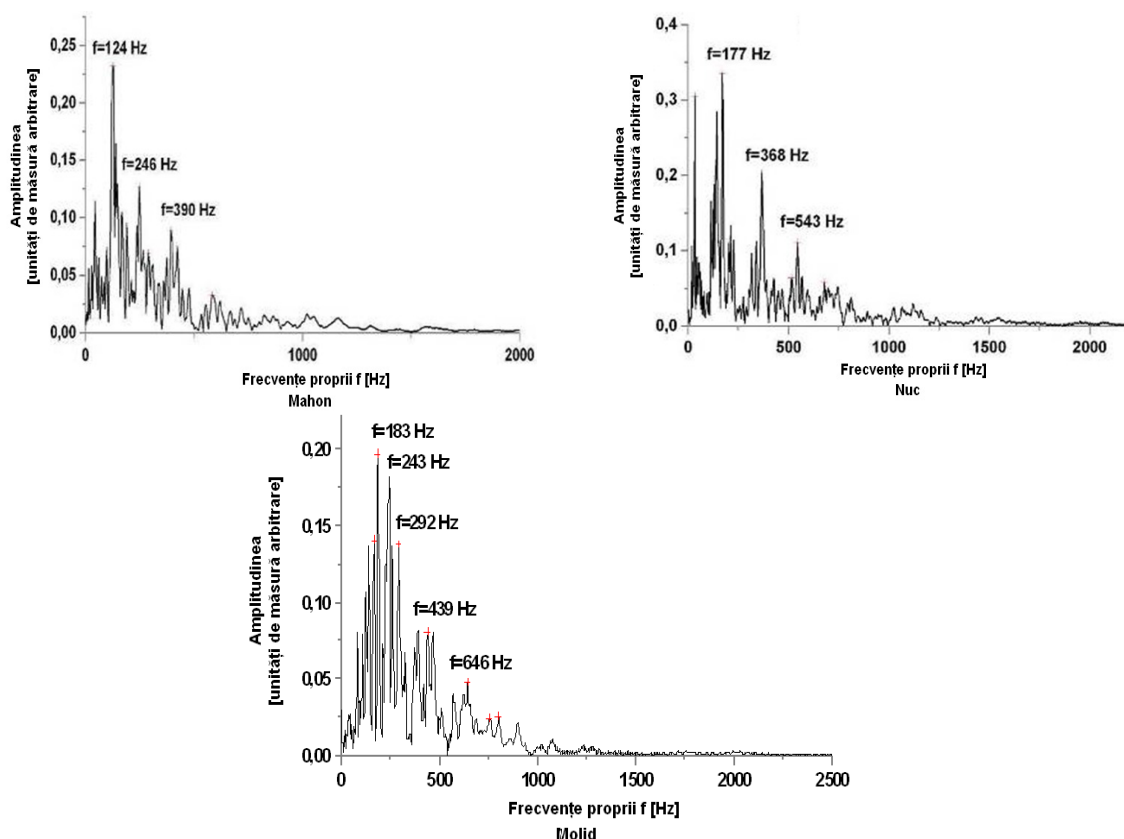


Fig.6.12. Determinarea frecvențelor de rezonanță prin FFT

Rezultatele obținute au condus la gruparea speciilor analizate după înălțimea frecvențelor fundamentale determinate. Astfel, din punct de vedere al clasificării speciilor după valorile frecvențelor fundamentale (Fig. 6.13) speciile se pot grupa în specii cu frecvența fundamentală joasă (121 Hz – cazul mahonului) și specii cu frecvența fundamentală înaltă (295 Hz – cazul cireșului).

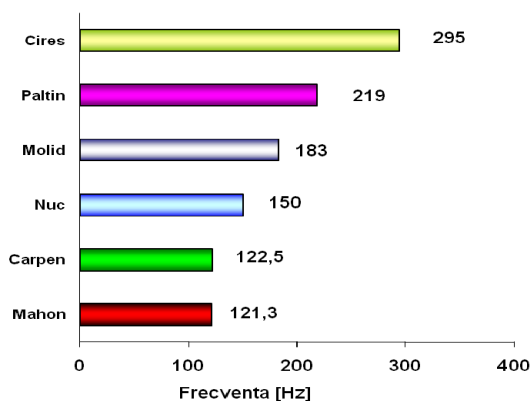


Fig. 6.13. Variația frecvenței proprii medii ale plăcilor din speciile testate

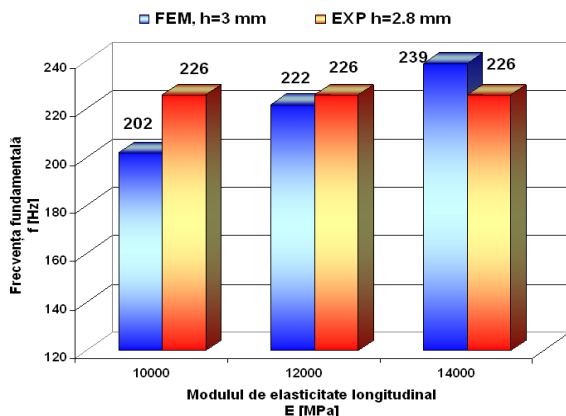
Molidul se plasează între valorile extreme ale frecvențelor proprii ale speciilor analizate, fapt ce îl face să poată fi combinat cu diferite specii în cadrul cutiei de rezonanță a chitarei. Conținutul estetic al timbrului chitarei depinde de acordul dintre sunetul fundamental al plăcii de

față (molid) cu cel al plăcii de spate (celelalte specii), precum și de combinația dintre sunetele fundamentale și armonice, aceasta ducând la clasificarea chitărelor după calitatea sunetului emis (în tonalități grave, medii, înalte). În literatura muzicală se utilizează o serie de termeni ce caracterizează timbrul muzical al unui instrument, în cazul de față chitara: sunete dulci, suave, melancolice, grave, clare, răgușit etc., rezultate doar din experiența și urechea muzicală a muzicienilor. Actualele cercetări urmăresc explicarea științifică a rezultantei acustice a instrumentului muzical – sunetele, îmbogățirea și îmbunătățirea calității acustice a instrumentului prin cercetările teoretice și experimentale întreprinse.

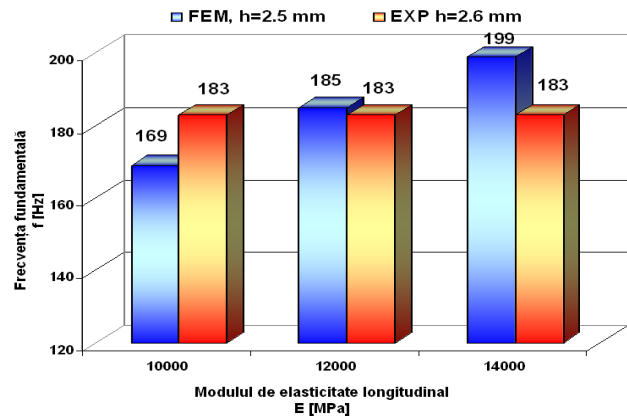
### Influența metodei și parametrilor luați în calcul asupra caracteristicilor dinamice

#### 6.1.5. Comparații între rezultatele obținute numeric și cele experimentale

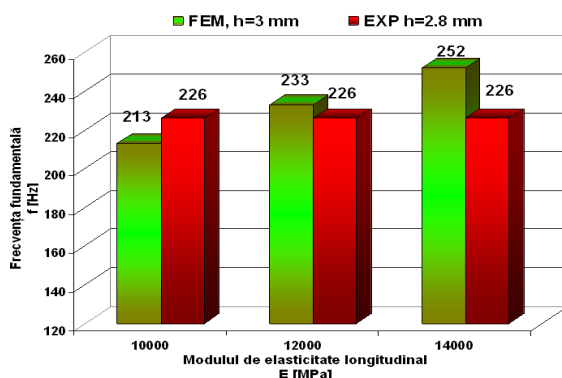
Pentru validarea rezultatelor obținute experimental, acestea au fost comparate cu cele determinate prin metoda elementului finit (Curtu, 2008 – [C25], Stanciu, 2008 - [S22]) (Fig. 6.14 ÷ 6.17).



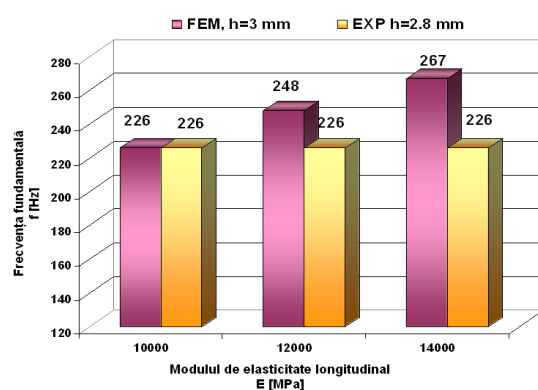
**Fig. 6.14.** Comparații între frecvența proprie obținută prin metode numerice (FEM) și cele experimentale (EXP), în cazul plăcii simple din molid, pentru  $h=3\text{mm}$  (FEM) și  $h=2,8\text{mm}$  (EXP),  $\rho = 500 \text{ kg/m}^3$



**Fig. 6.15.** Comparații între frecvența proprie obținută prin metode numerice (FEM) și cele experimentale (EXP), în cazul plăcii simple din molid pentru  $h=2,5\text{mm}$  (FEM) și  $h=2,6\text{mm}$  (EXP),  $\rho = 500 \text{ kg/m}^3$



**Fig. 6.16.** Comparații între frecvența proprie obținută prin metode numerice (FEM) și cele experimentale (EXP), în cazul plăcii simple din molid, pentru grosimile  $h=3 \text{ mm}$  (FEM) și  $h=2,8\text{mm}$  (EXP), densitatea  $\rho = 450 \text{ kg/m}^3$



**Fig. 6.17.** Comparații între frecvența proprie obținută prin metode numerice (FEM) și cele experimentale (EXP), în cazul plăcii simple din molid, pentru grosimile  $h=3 \text{ mm}$  (FEM) și  $h=2,8\text{mm}$  (EXP), densitatea  $\rho = 400 \text{ kg/m}^3$

S-a constatat că pentru *grosimi apropiate*, *modul de elasticitate longitudinal*  $E=12000 \text{ MPa}$  și *densitatea* de  $500 \text{ kg/m}^3$ , *între valorile frecvențelor fundamentale obținute experimental și cele numerice există o abatere de 1,8%* (Fig. 6.14). Variații similare, *până în 5% s-au înregistrat și pentru grosimi mai mici (2,5...2,6 mm) și aceiași parametrii elastici* – Fig. 6.16. sau pentru grosimi de 2,8 – 3 mm și densități de  $450 \text{ kg/m}^3$  (Fig. 6.16). În cazul plăcii modelate cu FEM caracterizată prin *grosimea*  $h=3 \text{ mm}$  (FEM)), *densitatea*  $\rho = 400 \text{ kg/m}^3$  și  $E= 10000 \text{ MPa}$  s-au obținut valori identice cu *determinările experimentale ale frecvenței fundamentale ale plăcii de molid cu grosimea*  $h=2,8 \text{ mm}$  (EXP) (Fig. 6.17). Aceste rezultate confirmă faptul că modelele matematice utilizate prin metoda elementelor finite cu precădere, sunt corect estimate, parametri și ipotezele utilizate apropiindu-se de valorile reale. În acest sens, se poate afirma că, metoda numerică utilizată constituie o modalitate viabilă de modelare a structurilor din plăci, fiind valorificată cu încredere în studiile privind optimizarea structurală a corpurilor de chitară.

În concluzie, metoda ciocanului de impact utilizată a oferit rezultate relevante pentru studiul curent, cu privire la caracteristicile acustice ale lemnului din specii diferite. Fiecare specie prezintă particularitățile sale de macro și microstructură, fapt pentru care aprecierea caracteristicilor acustice necesită un studiu statistic foarte riguros, care nu face obiectul cercetărilor prezentate. Chiar și în cadrul aceleiași specii, s-au constatat diferențe sensibile datorită neomogenității materialului lemnos și a modului de debitare a semifabricatelor utilizate în construcția plăcilor.

## **6.2. Cercetări experimentale privind răspunsul plăcilor și structurilor din plăci lignocelulozice compozite la vibrații forțate**

Comportarea lemnului sub acțiunea undelor sonore este influențată pe de o parte de energia sonoră care ajunge în contact cu lemnul, iar pe de altă parte de natura și starea materialului lemnos (structura macro și microscopica a lemnului, umiditatea și temperatura lemnului, proprietățile elastice, orientarea structurii - longitudinal, transversal, radial, tangențial, complex). Ca urmare a vibrațiilor, în lemn se produc frecări interne care transformă energia sonoră inițială într-o energie sonoră modificată, luând naștere fenomenul de rezonanță, cât și într-o energie calorică, datorită schimburilor energetice intermoleculare (Curtu, 2009 – [28, 29]). Cea mai importantă proprietate acustică a lemnului este capacitatea de recepționare a sunetelor cu frecvența apropiată sau identică cu frecvența membranelor sale. Astfel se produce fenomenul de rezonanță care duce la amplificarea sunetelor și emiterea lor cu un timbru îmbogățit cu armonicile formante produse în lemn ca urmare a structurii sale complexe și anizotrope. Ținând cont de faptul că în realitate, plăcile de chitară sunt solicitate de vibrațiile forțate ale corzilor, răspunsul și comportarea lor dinamică constituie obiectivul cercetărilor experimentale ale acestui subcapitol.

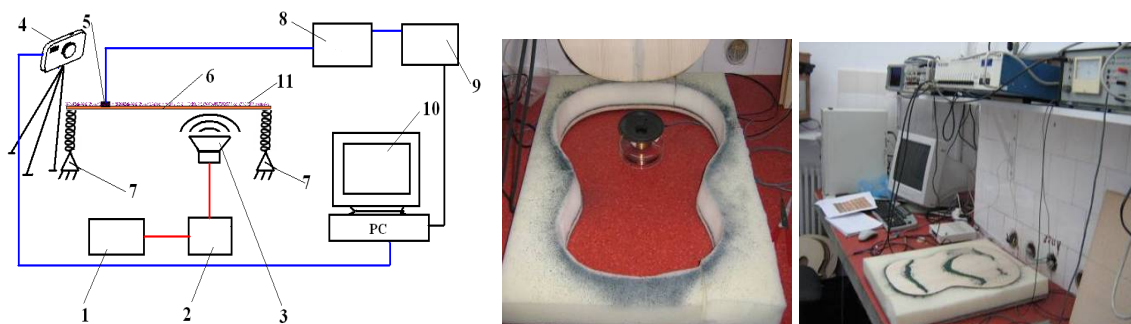
Studiile realizate în condiții de laborator, au urmărit stabilirea factorilor și modului în care aceștia influențează comportarea dinamică a structurilor, de la cele mai simple – plăci, la cele

mai complexe – chitara. Pentru obținerea vibrațiilor forțate, s-au utilizat aparate care au simulat acțiunea corzilor de chitară, acestea din urmă nefăcând obiectul cercetărilor. Astfel, conform literaturii de specialitate (Inta 2006, Vladimirovici 2004), investigațiile s-au bazat pe metoda generatorului de vibrații forțate întreținute.

### 6.2.1 Metoda vibrațiilor forțate întreținute

#### a) Metoda noncontact dintre sursa de excitație și structură (metoda difuzorului)

Metoda de determinarea a răspunsului structurii la vibrații forțate, utilizând ca sursă de excitație presiunea sonoră a aerului dintre placă și difuzor, a constat în generarea frecvențelor cu generatorul de semnal (1) și amplificarea lor prin intermediul amplificatorului (2). Semnalul acustic emis prin difuzorul cu membrană (3) amplasat sub placă (6) produce vibrația plăcii rezemată pe suportul elastic din burete (7). Semnalul de ieșire este captat cu ajutorul accelerometrului (5), amplificat prin dispozitivul de condiționare (8) și achiziționat prin placa de achiziție tip DAQ (9). Datele au fost stocate și reprezentate grafic în calculator (10) prin intermediul programului realizat în Labview. Figurile Chladni obținute prin dispunerea nisipului (11) pe liniile nodale ale plăcii au fost immortalizate cu ajutorul camerei foto digitale (4). În Fig. 6.18 este prezentată schema instalației experimentale utilizate prin această metodă. Frecvențele de excitație au fost cele de referință, corespunzătoare frecvențelor de vibrație ale corzilor: 82,4 Hz, 110 Hz, 146 Hz, 196 Hz, 246,9 Hz, 329 Hz precum și frecvențe înalte aflate în relații de terță sau cvintă cu cele de bază (Cotta, 1983).

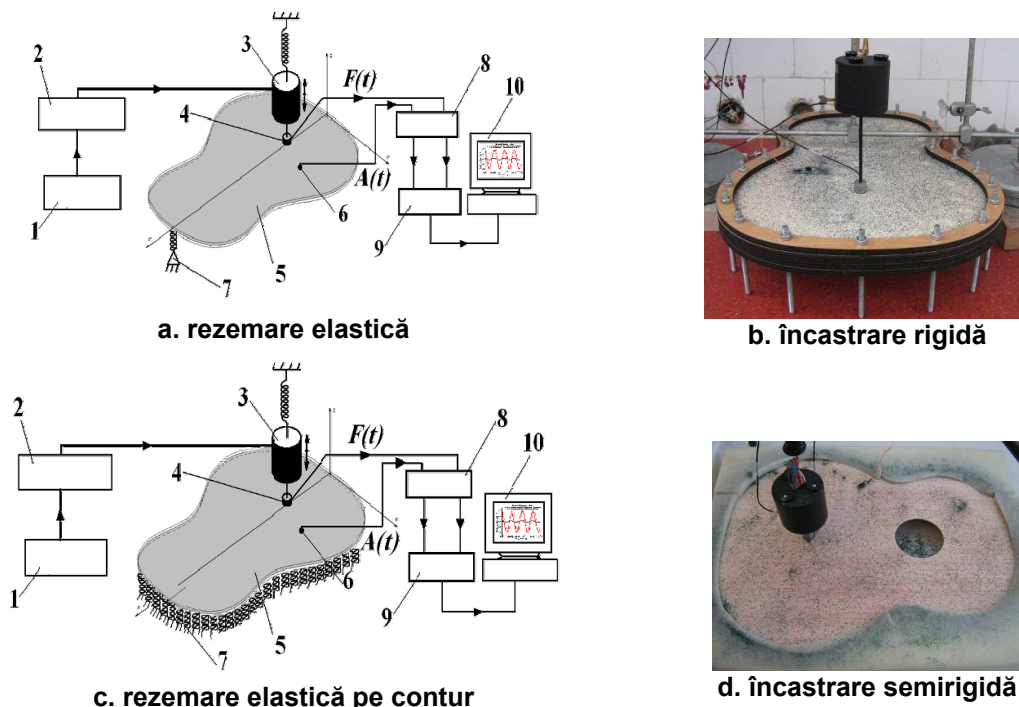


**Fig. 6.18.** Schema instalației experimentale în cazul utilizării difuzorului ca sursă de excitație: 1 – generator de semnal, 2 – amplificator, 3 – difuzor cu membrană, 4 – camera foto digitală, 5 – epruvetă (placă), 6 – accelerometru, 7 – reazeme elastice, 8 – condiționează, 9 – placă de achiziție, 10 – computer pentru vizualizarea și prelucrarea datelor, 11 – nisip

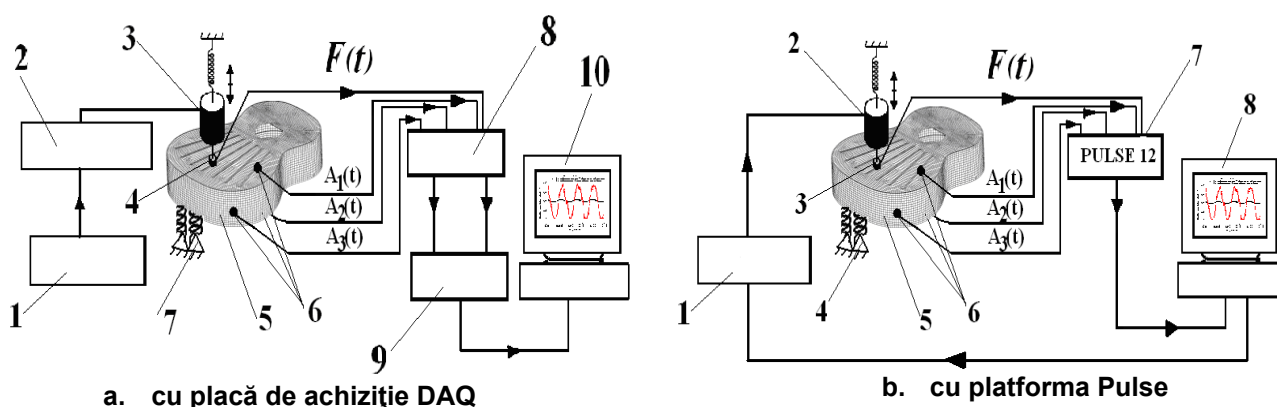
#### b) Metoda prin contact direct între excitatorul de vibrații forțate și structură

O altă metodă de investigare experimentală utilizată în cadrul acestor cercetări a fost cea a generatorului de vibrații forțate prin intermediul unei mase vibrante atașate de structura analizată. Pentru testarea propriu-zisă a structurilor din plăci de chitară nu există standarde specifice privind metodele de investigare, însă pe baza similitudinilor dintre acestea și plăcile de vioară, au fost consultate standardele STAS 9868/2-74, STAS 10825-76, STAS 11363-85, de unde s-au extras date și metode adaptabile structurilor analizate. Totodată, consultând literatura de specialitate în domeniul vibrațiilor mecanice (Chiriacescu – 2004, 2007, Balcu – 1996, Buzdugan – 1979, Szava

– 2007, Bratu – 2000), pe cea având ca subiect de studiu chitara (Valdimirovici – 2004, Inta-2006, Wienreich -1983, Cotta 1983 ș.a.) și realizând o serie de teste preliminare, s-a elaborat metoda de măsurare a răspunsului dinamic al plăcilor și structurilor din plăci de chitară, în concordanță cu materialele, dispozitivele și aparatele existente la momentul respectiv. În funcție de condițiile de contur stabilite, de tipul structurii și modul de achiziție a datelor s-au realizat următoarele standuri experimentale: instalația pentru testarea plăcilor (Fig. 6.19); instalația pentru testarea corpurilor de chitară (Fig. 6.20); instalația pentru testarea corpurilor de chitară cu gât (Fig. 6.21).



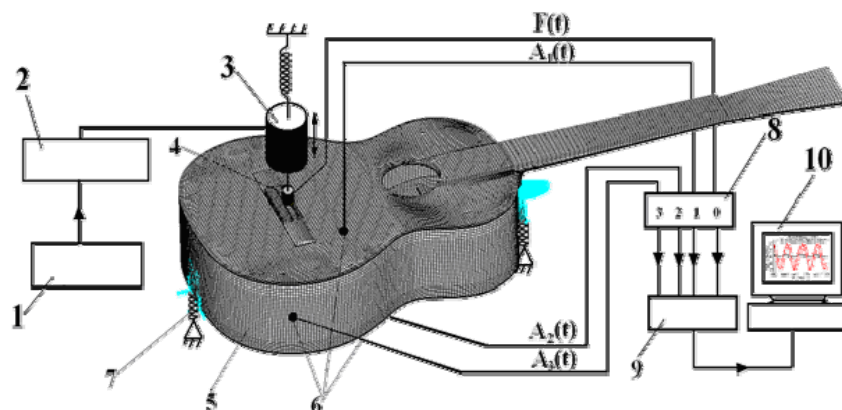
**Fig. 6.19.** Instalația experimentală pentru testarea plăcilor de chitară: 1-generator de frecvență, 2 – amplificator, 3 – excitator, 4 – traductor de forță, 5 – placă, 6 – accelerometru, 7 – reazeme elastice, 8 – condiționar, 9 – placă de achiziție, 10 – computer pentru vizualizarea și prelucrarea datelor



1 – generator de frecvență, 2 – amplificator, 3 – excitator, 4 – traductor de forță, 5 – cutia de chitară, 6 – accelerometre, 7 – reazeme elastice, 8 – condiționar, 9 – placă de achiziție, 10 – computer pentru vizualizarea și prelucrarea datelor

1 – generator de frecvență, 2 – excitator, 3 – traductor de forță, 4 – reazeme elastice, 5 – cutia de chitară, 6 – accelerometre, 7 – platforma Pulse12, 8 – computer pentru vizualizarea și prelucrarea datelor

**Fig. 6.20.** Instalația experimentală utilizată pentru testarea corpurilor de chitară fără gât



**Fig. 6.21.** Instalația experimentală utilizată pentru testarea corpurilor de chitară cu gât :  
 1 – generator de frecvență, 2 – amplificator, 3 – excitator, 4 – traductor de forță, 5 – cutia de chitară, 6 – accelerometre, 7 – reazeme elastice, 8 – condiționar, 9 – placă de achiziție, 10 – computer pentru vizualizarea și prelucrarea datelor

Principiul metodei constă în fixarea pe structură (placă, corp, chitară) - a capului de impedanță al generatorului de vibrații - excitatorul B&K prevăzut cu un traductor de forță. Excitatorul a fost amplasat în zona cordarului, conform studiilor din literatura de specialitate. Masa vibrantă solicită structura la vibrații armonice prin intermediul generatorului de semnal și a amplificatorului. Mărimea de intrare (a forței de excitație) a fost măsurată cu traductorul de forță, iar semnalele de ieșire au fost captate cu accelerometrele de tip B&K 4517-002. Pentru captarea semnalelor de intrare și ieșire s-a utilizat în prima etapă a cercetărilor experimentale placa de achiziție tip DAQ, iar ulterior s-a atașat platforma Pulse 12 cu softul de prelucrare de date, înlocuind astfel o parte din componentele instalației cum ar fi condiționarul, placa de achiziție și programul de vizualizare și prelucrare primară a datelor. Pentru determinarea formelor vibratorii, plăcile au fost acoperite cu un strat subțire și uniform de nisip cu o granulație de 100-150 microni. Figurile Chladni rezultate au fost captate cu ajutorul unei camere foto digitale.

Din investigațiile experimentale preliminare proprii s-a constatat că este dificilă excitarea plăcii cu o amplitudine suficientă pentru identificarea tuturor modurilor vibratorii, precum și existența unei variații a răspunsului structurilor la diferite frecvențe. Pentru aceasta s-au efectuat teste pe toate tipurile de structuri în vederea stabilirii mărimilor de intrare corespunzătoare. Ulterior, în toate determinările experimentale s-au utilizat aceleași date de intrare ale mărimii frecvențelor de excitație, ale tensiunii de amplificare a semnalului și intensității curentului (Tabelul 6.2).

**Tabel 6.2.**

Valorile mărimilor de intrare în sistem

Frecvența de excitație	110 Hz	146 Hz	196 Hz	246 Hz	329 Hz	413 Hz	440 Hz	588 Hz	720 Hz	980 Hz
Tensiunea de amplificare a semnalului	1,8 V	1,8 V	1,2 V	1,2 V	1,2 V	1,5 V	2,1 V	3,5 V	3,1 V	1,5 V
Intensitatea curentului	0,5 A	0,5 A	0,3 A	0,3 A	0,3 A	0,3 A	0,4 A	0,7 A	0,7 A	0,3 A









### 6.2.2 Materiale și structuri testate

Cercetările întreprinse au urmărit pe de o parte stabilirea relațiilor cauzale dintre materialul structurilor (specia, sortimentul), gradul de complexitate al structurii (placă-cutie-chitară) și gradul de rigidizare dat de sistemul de bare amplasat pe plăcile de molid, iar pe de altă parte compararea structurilor din punct de vedere al răspunsului acesta. S-au testat următoarele tipuri de structuri:

#### ✚ Plăci individuale: (Tabelul 6.3)

Tabelul 6.3.

Structură	Tipuri de plăci studiate					
						
	<b>PR1</b>	<b>PS1</b>	<b>P3BT</b>	<b>P5BR2T</b>	<b>P7BR2T</b>	<b>P3BR2V</b>
<b>Umiditatea U [%]</b>	<b>7,9%</b>	<b>7,8%</b>	<b>8,1 %</b>	<b>8,3 %</b>	<b>8,2%</b>	<b>8,4%</b>
<b>Masa [g]</b>	<b>290</b>	<b>187,5</b>	<b>290</b>	<b>316</b>	<b>318</b>	<b>312</b>

- rectangulare din placaj de molid și tei;
- cu geometria specifică chitarei clasice, simple, fără nervurații, din speciile menționate în subcapitolul 6.1;
- plăci de față pentru chitara clasică, din molid, prevăzute cu rozetă și sisteme de bare (Tabelul 6.3):
  - cu trei bare transversale (P3BT);
  - cu trei bare radiale și două transversale (P3BR2T);
  - cu cinci bare radiale și două transversale (P5BR2T);
  - cu șapte bare radiale și două transversale (P7BR2T);
  - cu trei bare radiale, două în V și două transversale (P2BR2V).

#### ✚ Corpuri de chitară nefinisate (Tabelul 6.4)

- Cu placa de față prevăzută cu trei bare transversale (C3BT), fața din molid, spatele din placaj de tei, eclisa din fag;
- Cu placa de față prevăzută cu trei bare radiale și două transversale (C3BR2T), fața din molid, spatele din tei, eclisele din fag;
  - cu cinci bare radiale din lemn fibră de carbon și fibră de sticlă două transversale (C5BR2T);
- Cu placa de față prevăzută cu șapte bare radiale și două transversale (C7BR2T), fața din molid, spatele - paltin, eclisele – paltin;
- Cu placa de față prevăzută cu trei radiale, două în V și două transversale (C2BR2V), cu sistem nou de bare (CSN), fața din molid, spatele - tei, eclisele – paltin.

✚ **Chitara nefinisată (corpuri de chitară cu gât) fără corzi cu șapte radiale și două transversale (Ch7BR2T) (Fig. 6.23).**

Tabelul 6.4.

Tipuri de structuri din plăci – corpuri de chitară


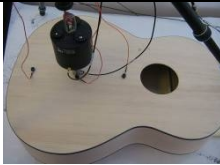

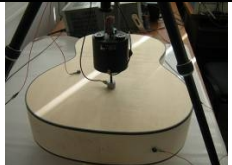




Structură				
				
Umiditatea U [%]	$U_{fa\grave{t}a} = 9,08 \%$ $U_{spate} = 7,20 \%$	$U_{fa\grave{t}a} = 6,24 \%$ $U_{spate} = 5,54 \%$	$U_{fa\grave{t}a} = 6,94 \%$ $U_{spate} = 7,20 \%$	$U_{fa\grave{t}a} = 7,20 \%$ $U_{spate} = 6,30 \%$



Fig. 6.22. Tipul de chitară studiată

### 6.2.3. Determinarea răspunsului în domeniul timp și frecvență al structurilor din plăci

Comportarea dinamică a structurilor se evaluează prin diferite metode de analiză a semnalului vibro-acustic, cum ar fi: analiza în domeniul frecvență, în domeniul timp, în domeniul amplitudine, analiza prin funcția de autocorelație, analiza spectrului de putere, analiza prin funcția de transfer în frecvență și prin metoda analizei modale (Drăgan 2003).

În cadrul cercetărilor experimentale efectuate, comportarea dinamică a structurilor testate a fost evaluată atât prin metode vizuale estimative prin determinarea a modurilor de vibrație și a formelor vibratorii specifice structurilor cât și prin metode de analiză a semnalului vibroacustic bazate pe analiza în domeniul timpului, în domeniul frecvență prin transformata rapidă Fourier (FFT) și analiza spectrului de putere. Analiza semnalului în domeniul timpului reprezintă o modalitate eficientă de studiu pentru stabilirea evoluției semnalului în timp, fiind valabilă cu precădere pentru analiza semnalelor nestaționare tranzitorii sau staționare aleatorii. Cea mai simplă modalitate de analiză în domeniu timp este medierea în timp și exprimarea corespunzătoare a rezultatelor fie ca

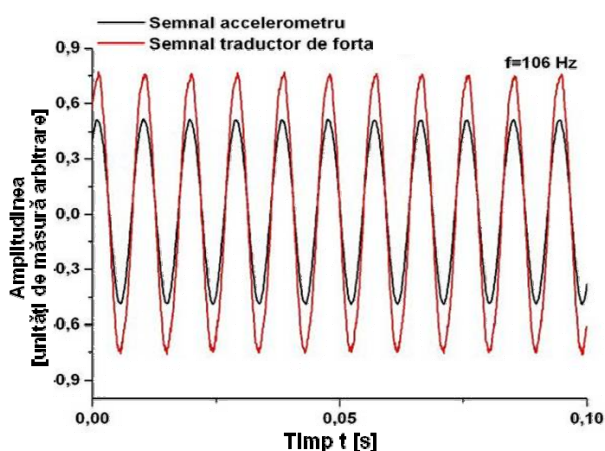
mărimi globale, fie în spectre de frecvență (Drăgan, 2003). În investigațiile întreprinse, aplicarea acestei metode a avut ca rol stabilirea momentelor în care părțile componente ale chitarei intră în vibrație, la diferite frecvențe de excitație, precum și analiza existenței neliniarităților dintre mărimile de intrare și mărimile de ieșire.

Măsurarea în domeniul frecvență și utilizarea tehnicii de prelucrare a datelor prin transformata rapidă Fourier (FFT) a fost utilizată pentru determinarea frecvențelor de rezonanță a structurii la vibrații periodice forțate. Obținerea spectrului de putere derivă din teoremele lui Shannon și Weaver (Drăgan, 2003), conform cărora, seriile de timp de entropie maximă sunt guvernate de funcția de probabilitate gaussiană și că entropia este proporțională cu logaritmul spectrului. În tehnică se utilizează cu precădere analiza CEPSTRUM. Termenul CEPSTRUM reprezintă anagramarea cuvântului SPECTRUM, definind inițial analiza spectrului de putere al semnalului din domeniul timp – respectiv aplicarea transformatei Fourier asupra logaritmului spectrului de putere. Ulterior, analiza CEPSTRUM a fost redefinită prin utilizarea transformatei Fourier inverse asupra spectrului de putere.

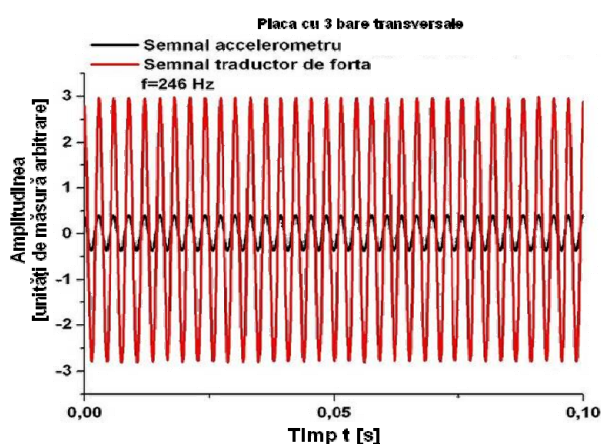
Rezultatele obținute experimental au fost prelucrate grafic și comparate în funcție de factorii care influențează răspunsul acestor structuri. În continuare sunt prezentate rezultatele grupate după criteriul factorilor de influență.

#### ***Influența condițiilor de contur asupra răspunsului în domeniu timp al structurilor din plăci***

- Pentru cele două cazuri de rezemare a plăcii (pe două reazeme elastice și pe întreg conturul), forma răspunsului dinamic este armonic.
- În Fig. 6.23. sunt redată semnalele armonice captate de la traductorul de forță și de la accelerometru. Mărimea amplitudinii răspunsului în domeniul timp al plăcii încastrate pe contur este apropiată de mărimea amplitudinii forței de excitație, ceea ce înseamnă că o fixare a plăcilor prin încastrare favorizează transmiterea vibrațiilor plăcii.



**Fig. 6.23.** Analiza semnalului de intrare/ieșire în cazul plăcii încastrate pe contur



**Fig. 6.24.** Amplitudinea de vibrație a plăcii simplu rezemate, comparativ cu cea forței de excitație

- În Fig. 6.24 sunt reprezentate comparativ răspunsurile plăcii în cazul rezemării și în cazul încastrării. Se constată că amplitudinile vibrațiilor plăcii simplu rezemată sunt cu 80 - 83% mai mici decât ale semnalului de excitație, pe când în cazul încastrării, raportul este de doar 37%. Deci condițiile de contur ale structurii influențează hotărâtor amplitudinile de vibrație a acestora.

### Influența complexității structurii asupra răspunsului în domeniul timpului

În Fig. 6.25...6.27 sunt reprezentate răspunsurile la vibrații forțate ale plăcilor din diferite specii grupate pe frecvențele de excitație. Se observă că la o excitație forțată întreținută de tip armonic, forma răspunsului în domeniul timp este tot de tip armonic. Această relație liniară între tipul forței de excitație și forma răspunsului structurii se înregistrează pentru toate tipurile de structuri analizate, indiferent de complexitatea lor și de material.

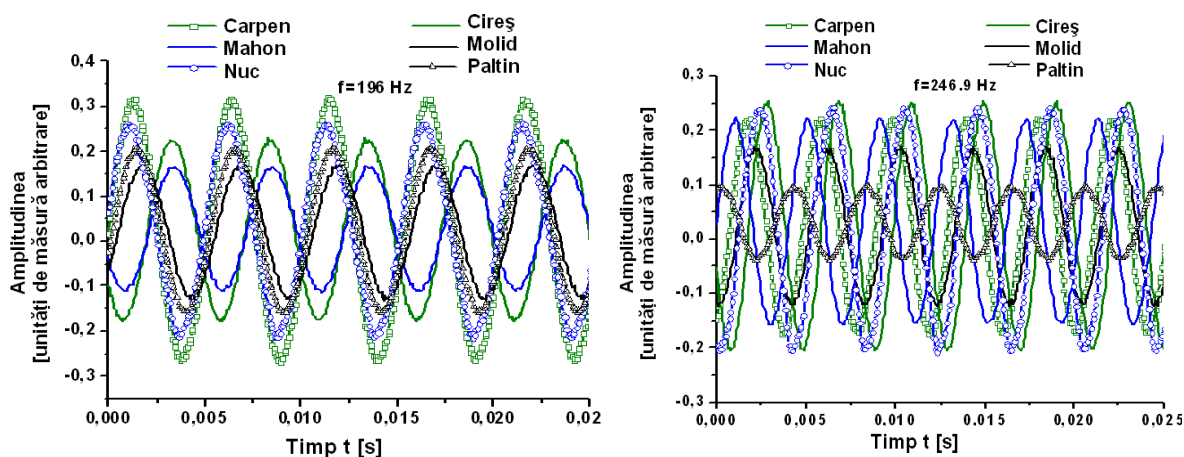


Fig. 6.25. Forma armonică a răspunsului în domeniul timp, al plăcilor din specii diferite

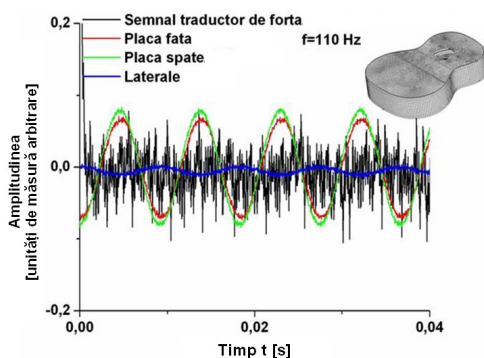


Fig. 6.26. Forma sinusoidală a răspunsului forțat al corpului de chitară tip C3BT

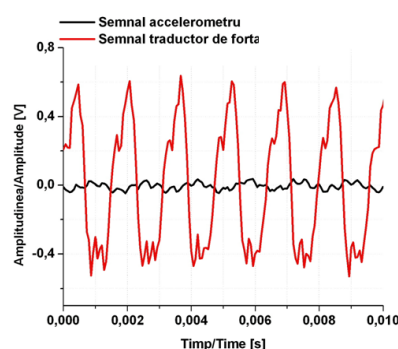
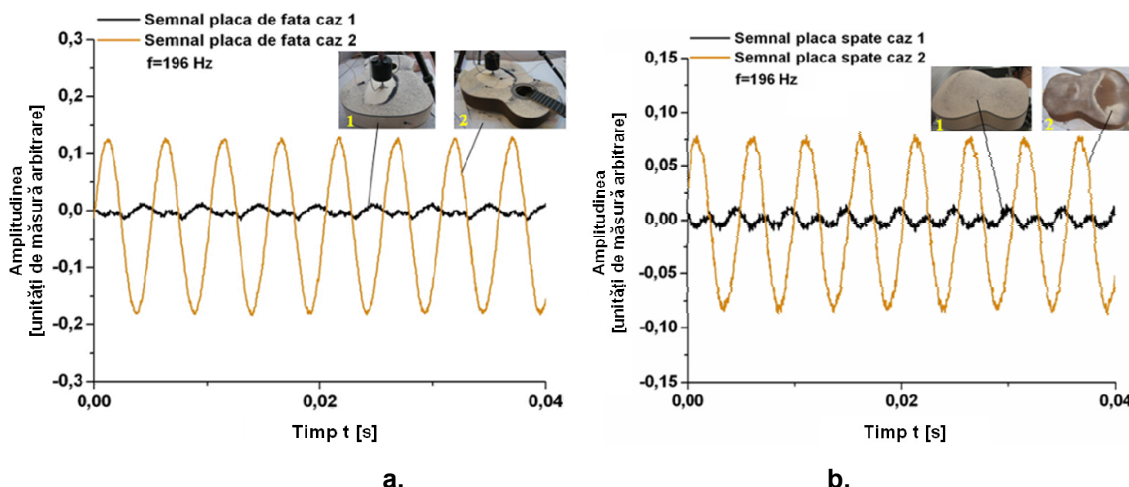


Fig. 6.27. Forma armonică a răspunsului forțat al chitarei

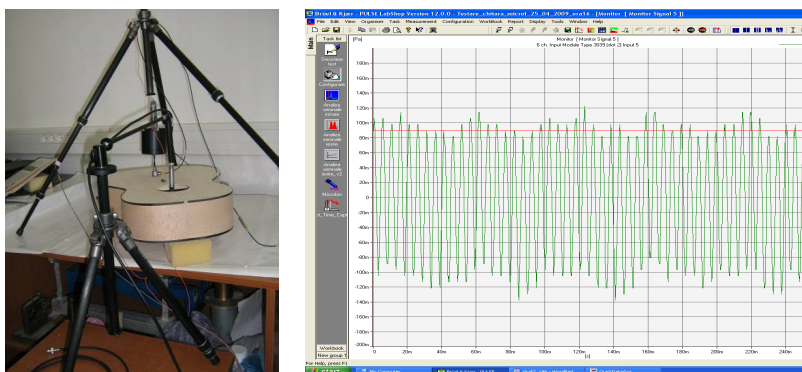
Comparând semnalele captate în același punct de pe placa de față a cutiei cu gât și a celei fără gât (Fig. 6.28, a), precum și semnalele vibrațiilor spatelui în ambele cazuri de structuri (Fig. 6.28, b), se constată că amplitudinile plăcilor din construcția chitarei sunt de aproximativ 4 ori mai mari decât a plăcilor din structura cutiei fără gât. Acest lucru confirmă faptul că atașarea gâtului de

cutia sonoră duce la modificări structurale și dinamice ale ansamblului. În ambele cazuri comparate, vibrațiile fețelor sunt mai mari decât ale spatelui (Fig.6.28).



**Fig. 6.28** Comparații între vibrațiile plăcilor din structura cutiei fără gât și cu gât

Utilizarea platformei Pulse pentru captarea semnalului vibro-acustic cu microfonul B&K tip 3039, și vizualizarea cu interfața oferită de platforma Pulse, așa cum se poate observa în Fig. 6.29, a dus la aceleași rezultate privind comportarea în timp a structurii.



**Fig. 6.29.** Captură din timpul măsurărilor, utilizând platforma Pulse de achiziție și prelucrare a semnalului vibro-acustic, existentă la Catedra de Rezistența Materialelor și Vibrații, Universitatea Transilvania din Brașov

### ***Influența materialului plăcilor asupra transmiterii semnalului de excitație***

Din Fig. 6.30 se poate observa pentru fiecare frecvență generată, defazajul între semnalul excitatorului (simbolizat cu linie întreruptă roșie) și cel al accelerometrului (simbolizată cu linie continuă neagră). Acest defazaj se datorează fenomenelor de absorbție și frecare internă ce au loc în lemn, întârzierea răspunsului fiind un efect normal.

De asemenea, mărimea amplitudinilor celor două semnale diferă, fiind mai mare în cazul forței de excitație, așa cum era de așteptat.



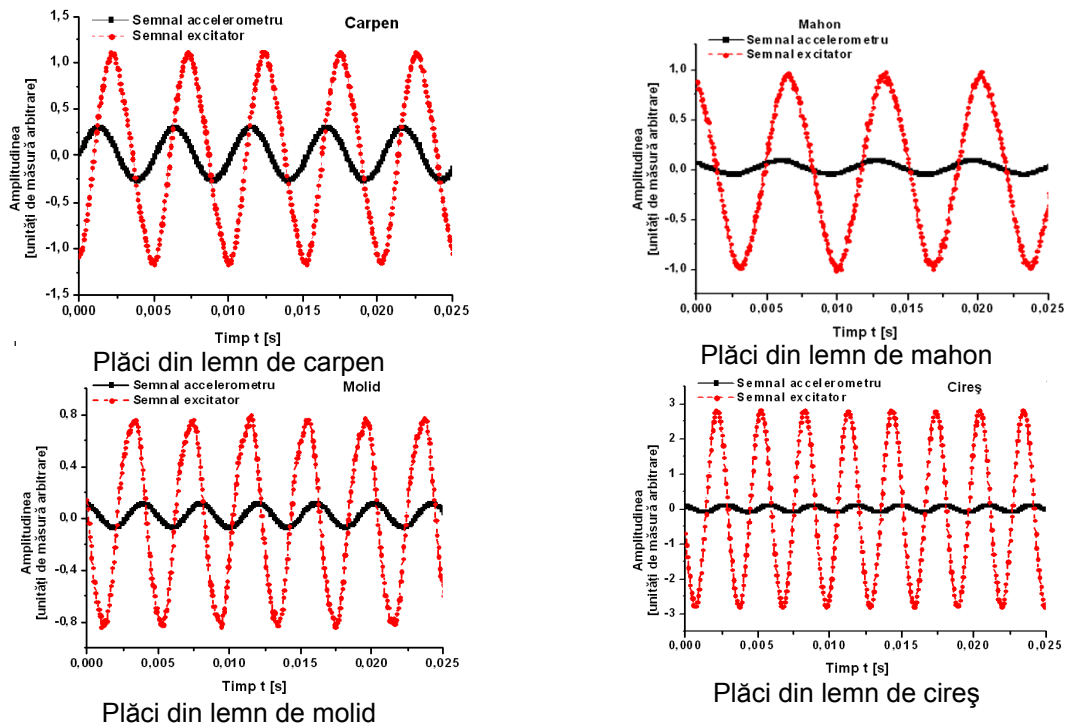


Fig. 6.30. Defazajul dintre semnalul de intrare și cel de ieșire pentru plăcile din diferite specii lemnoase

- Materialul din structura plăcilor de chitară influențează amplitudinile de vibrație ale acestora.

În Fig. 6.31. este redată forma și amplitudinea răspunsului plăcilor dreptunghiulare plane din placaj de molid și carpen.

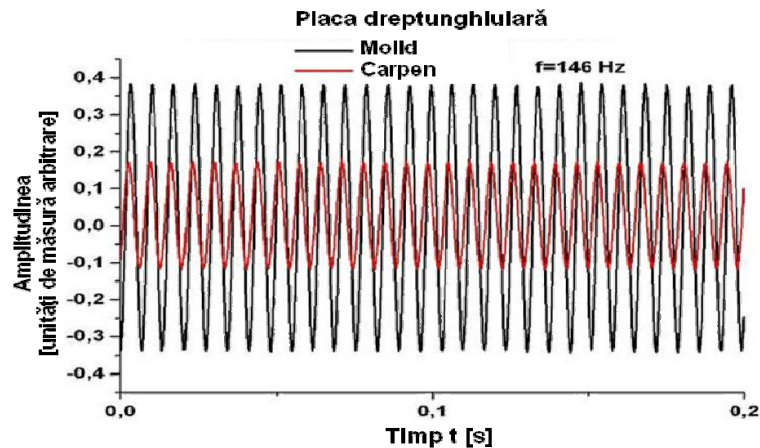
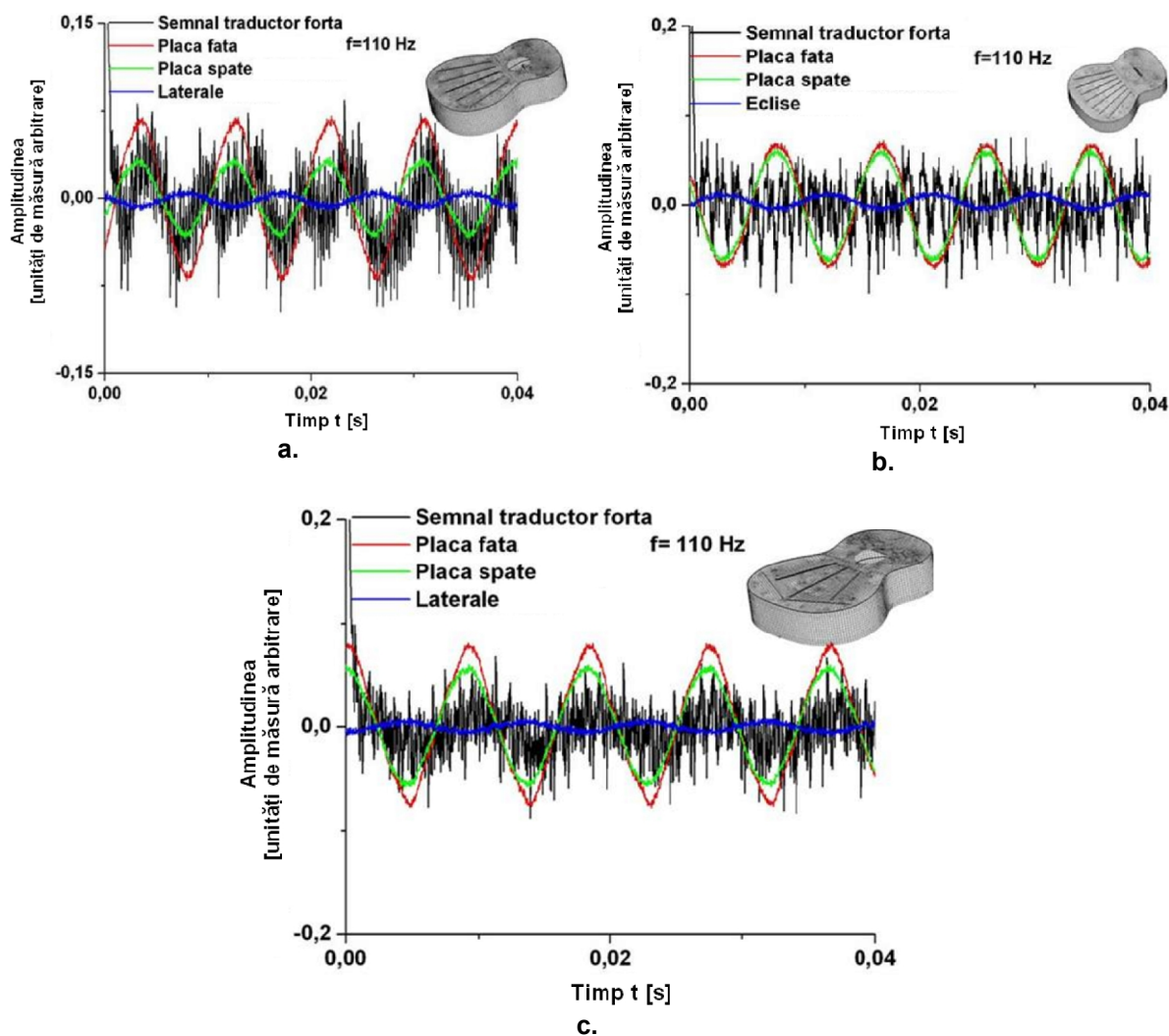


Fig. 6.31. Semnalul sinusoidal al răspunsului forțat al plăcilor dreptunghiulare din placaj de carpen și molid

### Influența sistemului de bare asupra răspunsului în domeniul timpului

- Toate structurile de chitară – plăci, corpuri cu gât și fără gât, indiferent de modul de dispunere a barelor, de numărul acestora și de valoarea frecvenței de excitație armonică, răspund armonic (Fig. 6.32 - a, b, c);





**Fig. 6.32.** Comparații privind răspunsul dinamic în domeniul timp, al corpurilor de chitară cu sisteme diferite de bare: a – corpul tip C5BR2T, b – corpul tip C7BR2T, c – corpul tip 3BR2V

- La aceeași parametri de intrare în sistem (tensiunea și intensitatea curentului, frecvența de excitație, condițiile de contur), plăcile din componența corpurilor cu diferite sisteme de bare răspund cu amplitudini diferite (Fig. 6.33). Astfel, la frecvența de 146 Hz, plăcile corpurilor cu 5 bare de rezonanță (în variantele C5BR2T și C3BR2V) prezintă amplitudinile cele mai mari comparativ cu plăcile de față a celorlalte structuri analizate. Deși forma răspunsului este armonic la toate structurile, cutia cu 5 bare radiale și cea cu 3 bare radiale și 2 oblice redau un mod de vibrație complexă rezultată din însumarea frecvenței fundamentale cu primele sale 2 armonice. Răspunsul plăcilor de spate în toate cazurile considerate este tot o vibrație complexă.

#### ***Influența fluidului din interiorul cutiei asupra transmiterii vibrațiilor***

- La frecvența de joase, de exemplu 82 Hz, 110 Hz, plăcile de față și cele de spate *vibrează în fază* cu amplitudini apropiate în toate cazurile de sisteme de bare (Fig. 6.32).

- Cu creșterea frecvențelor între placa de față și cea de spate a cutiei de rezonanță a chitarei apar defazaje ale vibrațiilor. La frecvența de 146 Hz, se observă influența sistemelor de rigidizare a plăcile de față asupra comportării dinamice a întregii cutii (Fig. 6.33 ). Astfel, amplitudinile de vibrație ale plăcilor diferă în cele 4 cazuri analizate, cele mai mari înregistrându-se la cutia cu 5 bare radiale. Cu excepția cazului 4 de structură, la toate celelalte se constată că plăcile de față și spate încep să vibreze în antifază. La frecvența de 146 Hz, datorită mișcării de antifază, lateralele vibrează cu amplitudini mici – extincția volumului de aer are loc după direcția z.
- La frecvența de 246 Hz, se observă defazajul vibrațiilor plăcilor de față și spate în funcție de gradul de rigidizare a acestora (Fig. 6.34). Astfel, dacă la frecvența de 110 Hz (Fig. 6.32), plăcile tuturor corpurilor de chitară vibrau în fază, cu creșterea frecvenței, aceste fenomene de “respirație” a aerului din interiorul cutiei încep să se diferențieze datorită geometriei interne a cutiei și a rigidității plăcilor. Plăcile cutiei cu 3 bare radiale și 2 oblice vibrează în fază la frecvența de 246 Hz, în cazurile celelalte se constată defazaj dintre plăci.

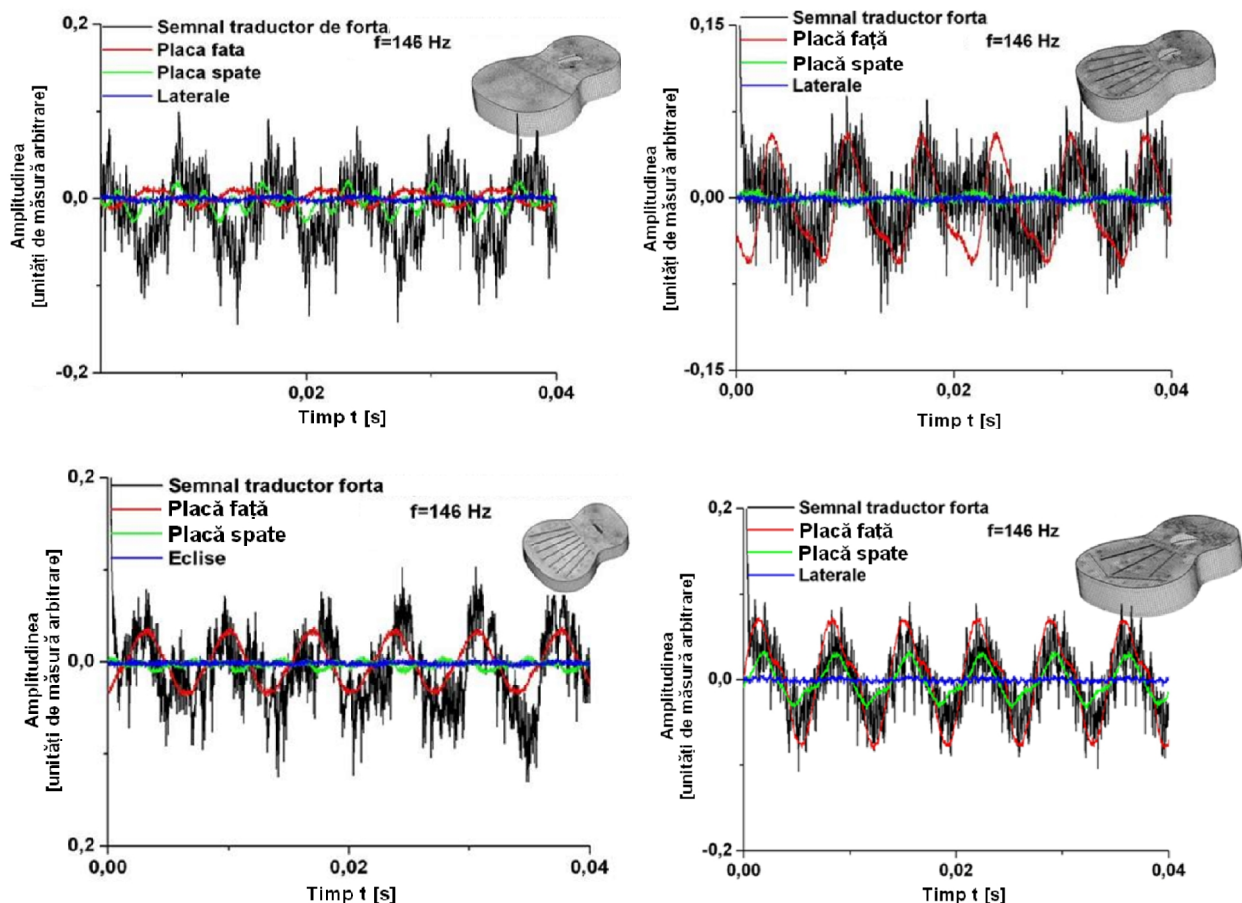


Fig. 6.33. Răspunsul armonic al plăcilor din structura cutiilor de chitară pentru frecvența de 146 Hz

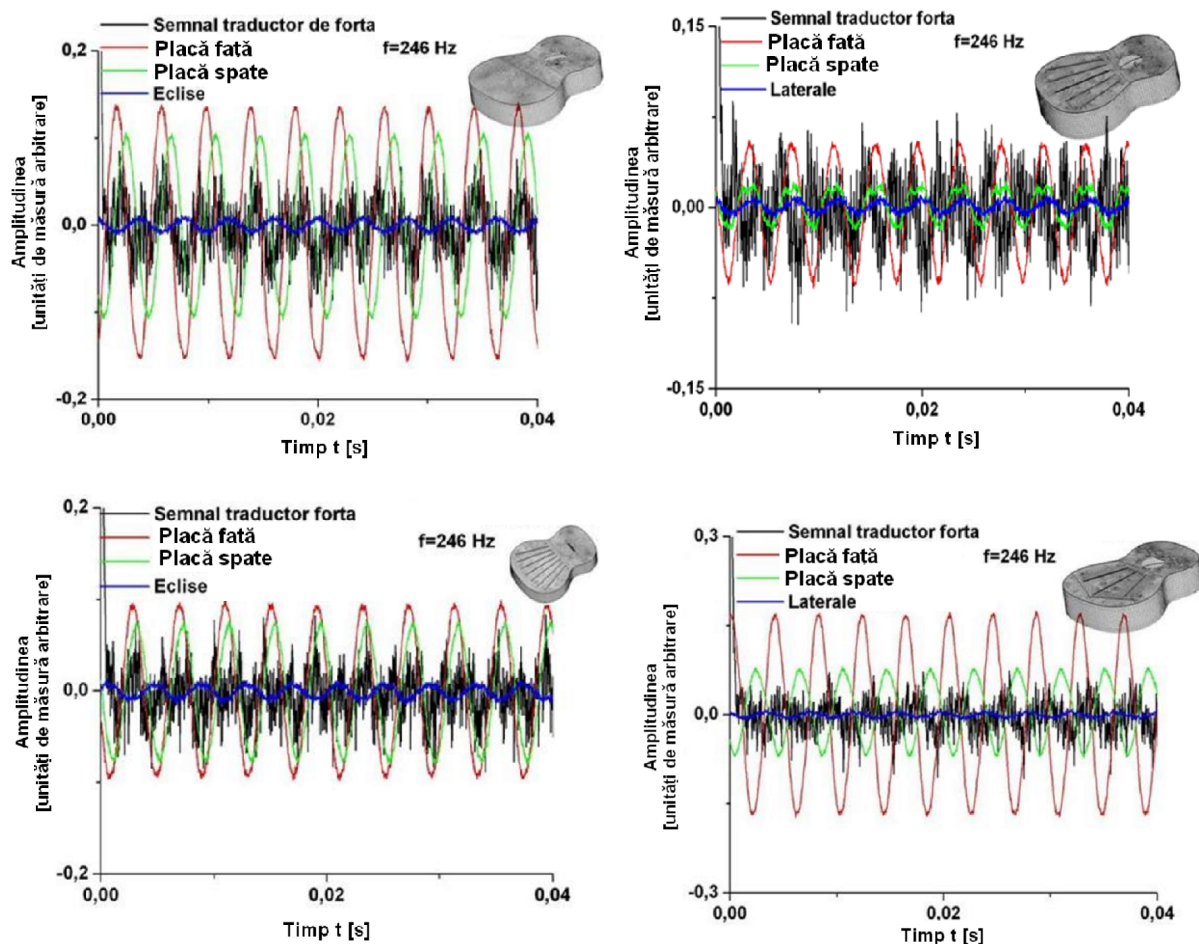


Fig. 6.34. Răspunsul armonic al plăcilor din structura cutiilor de chitară pentru frecvența de 246 Hz

- La frecvența de 440 Hz (Fig. 6.34), comportarea dinamică a plăcilor cu diferite structuri de rigidizare este asemănătoare pentru cutiile cu 5 cu bare radiale, respectiv 3 radiale și 2 oblice (fața și spatele cutiei vibrând în fază) spre deosebire de cutia cu bare transversale și cea cu 7 bare radiale care prezintă un ușor defazaj între cele două plăci. Apar deosebiri în cazul răspunsului ecliselor din punct de vedere al amplitudinii și complexității vibrațiilor.

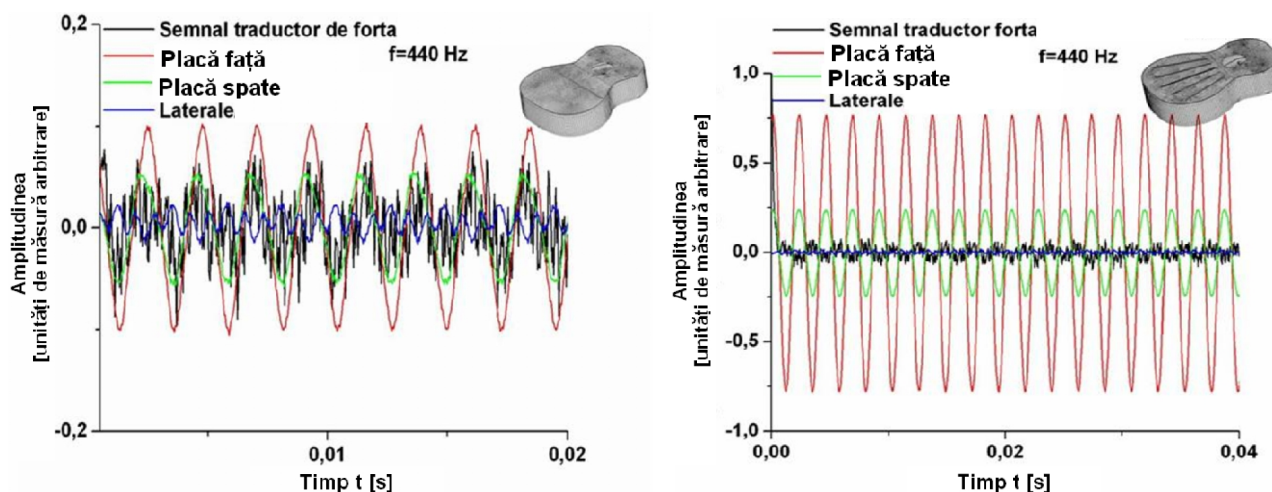


Fig. 6.34. Răspunsul armonic al plăcilor din structura cutiilor de chitară pentru frecvența de 440 Hz

- Spre deosebire de plăcile analizate ca structuri individuale unde exista o relație liniară între semnalul forței de excitație și răspunsul plăcii, cutiile dezvoltă și fenomene neliniare ca urmare a complexității interacțiunilor aerodinamice dintre placa de față – aer - placa de spate – aer – eclise – rozetă (Curtu I, Stanciu, 2009 – [C28]).

În figura 6.35 sunt prezentate sintetic valorile frecvențelor la care plăcile fiecărei structuri analizate au vibrat în fază, respectiv antifază. Astfel, dacă faza dintre plăci se obține la aceeași frecvență de excitație, opoziția de fază apare la frecvențe diferite în funcție de gradul de rigidizare al plăcii acustice; cu cât placa e mai rigidă, cu atât durata de intrare în antifază este mai mare.

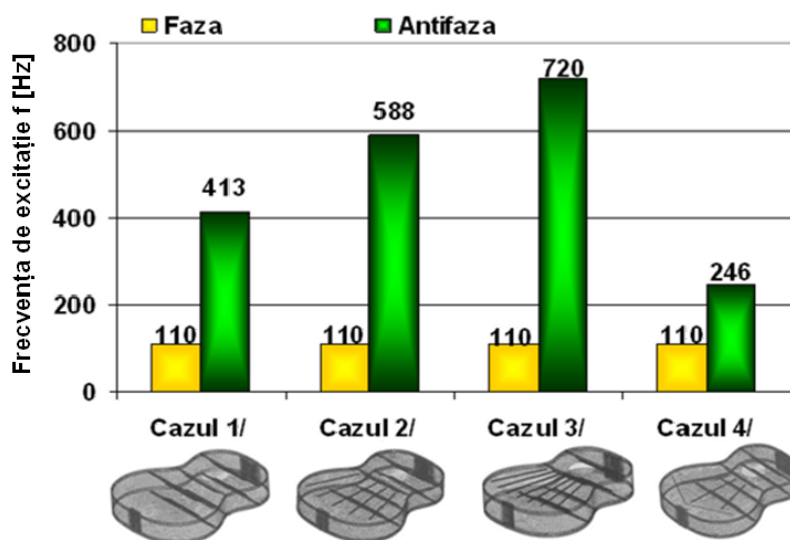


Fig.6.35. Variația frecvențelor la care plăcile diferitelor structuri vibrează în fază și antifază

### ***Influența poziției punctului de măsurare al răspunsului plăcii față de punctul de impedanță***

Pentru determinarea modului în care distanța față de punctul de aplicație al forței influențează mărimea răspunsului dinamic, s-au fixat accelerometrele în diferite puncte de pe plăcile de față, spate și eclisele corpului de chitară cu gât și fără gât, așa cum se poate observa în Fig. 6.36, a – câte un accelerometru poziționat pe placa de față (F), placa de spate (S) și pe eclisă (E), semnalele fiind preluate simultan, Fig. 6.37, b – toate cele trei accelerometre poziționate pe axa transversală a plăcii de față a cutiei de rezonanță, Fig. 6.36, c – toate cele trei accelerometrele poziționate pe axa longitudinală a plăcii de față a cutiei de rezonanță, Fig. 6.36, d - accelerometrele poziționate pe placa de față, în jurul rozetei (Curtu I, Stanciu – 2009, [C29]).

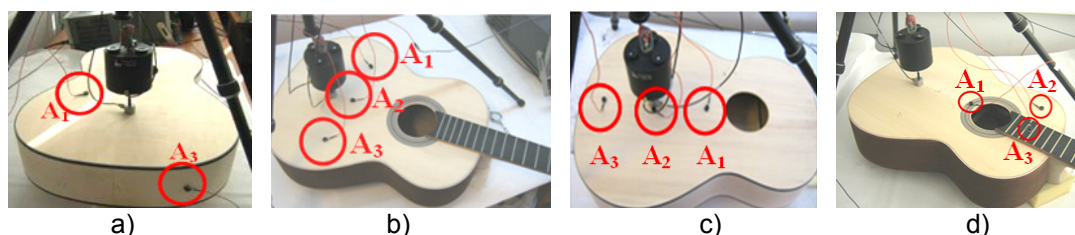
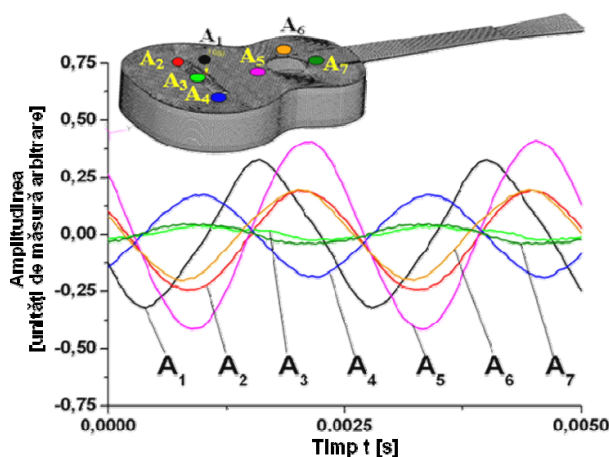


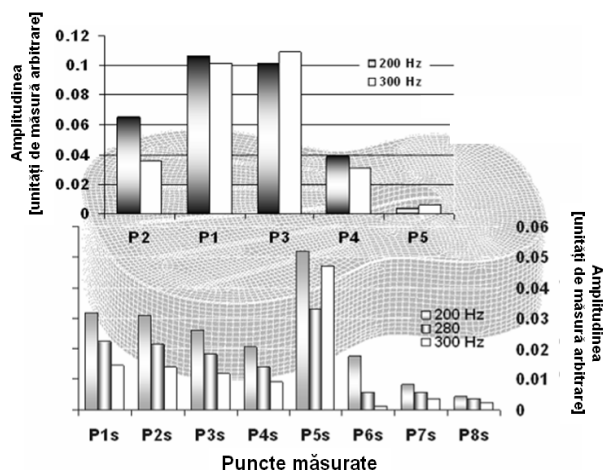
Fig. 6.36. Modul de dispunere a accelerometrelor în timpul testelor



- În Fig. 6.37 este reprezentat răspunsul armonic captat în diferite puncte de pe placa de față a chitarei.



**Fig. 6.37.** Răspunsul armonic al feței de chitară captat în diferite puncte de pe placă obținute experimental



**Fig. 6.38.** Amplitudinile de vibrație ale diferitelor puncte de pe placa de față și spate obținute cu FEM

Se observă că amplitudinile cele mai mari s-au înregistrat în punctele  $A_1$  și  $A_5$  – corespunzătoare câmpului de rezonanță maximă a plăcii, iar cele mai mici în punctele  $A_3$  și  $A_7$  – corespunzătoare punctului de aplicație al forței  $A_3$  (unde se creează un nod) și punctul  $A_7$  de pe tastieră aflat în apropierea rozetei (unde vibrațiile sunt foarte mici). Față de axa longitudinală a cutiei, vibrațiile sunt simetrice ca amplitudine dar de sens contrar, așa cum se observă în oscilogramele punctelor  $A_2$  și  $A_4$ . Rezultate similare s-au obținut și prin modelarea numerică (Fig. 6.39).

### **Analiza spectrală de răspuns în domeniul frecvență și analiza spectrului de putere**

Pentru analiza și prelucrarea semnalelor vibro-acustice ale structurilor analizate în domeniul frecvență, s-au utilizat două modalități diferite de aplicare a analizei Fourier, în concordanță cu posibilitățile tehnice avute la dispoziție:

- platforma Pulse 12 B&K cu softul de achiziționare și prelucrare a semnalelor, cu posibilitățile oferite de lanțul de măsurare a întregului sistem (pre-calibrarea aparatelor, recunoașterea implicită a traductorilor, achiziționarea și prelucrarea simultană a semnalelor);
- metoda indirectă de prelucrare a semnalelor achiziționate prin placa de achiziție conectată la calculator, printr-un program de vizualizare realizat în LabView. Mai departe, datele sub formă de fișiere au fost importate în programul Microcal Origin, unde s-a realizat reprezentarea lor grafică.

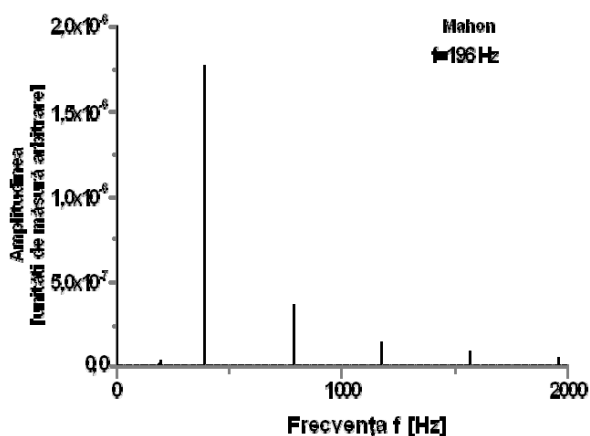
Ambele metode de analiză a semnalelor au oferit rezultate concludente și complementare pentru unele determinări, mare parte dintre ele similare, însă fiecare metodă a prezentat avantaje

și dezavantaje. Din punct de vedere grafic, al posibilităților de operare grafică, Microcal Origin este mult mai avansat decât posibilitățile grafice oferite de platforma Pulse. Din punct de vedere al preciziei de măsurare și al numărului de parametri măsurați, platforma Pulse este net superioară, comparativ cu cealaltă metodă în care multe dintre erorile de măsurare erau date de erorile fiecărei componente a lanțului de generare și măsurare a semnalului.

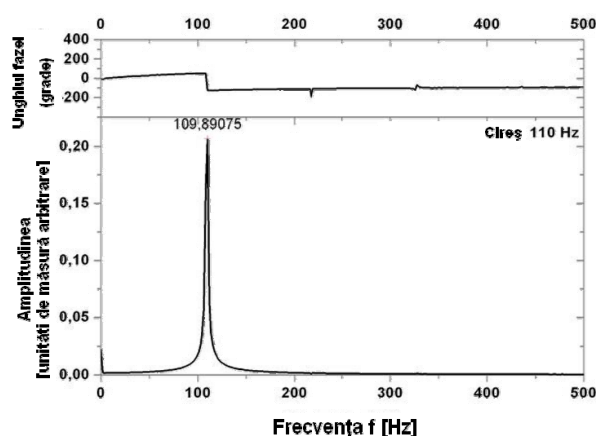
Astfel, în cele ce urmează, vor fi prezentate atât rezultatele obținute cu programul LabView cât și cele determinate cu platforma Pulse, chiar dacă scopul cercetărilor experimentale nu a fost stabilirea performanțelor metodelor de măsurare a semnalelor vibro-acustice.

### ***Influența materialului plăcii asupra răspunsului în domeniul frecvență***

Lățimea benzilor de frecvențe rezonatoare variază în funcție de proprietățile materialului plăcii (masa și elasticitatea sa). Astfel, răspunsul la o excitație armonică este egal cu excitația multiplicată cu funcția de răspuns care ajută la definirea caracteristicilor spectrale ale sistemului (Fig. 6.39 și 6.40). Se știe că la o vibrație armonică, puterea care reprezintă lucrul mecanic efectuat în unitatea de timp, este proporțională cu pătratul amplitudinii (Drăgan, 2003).



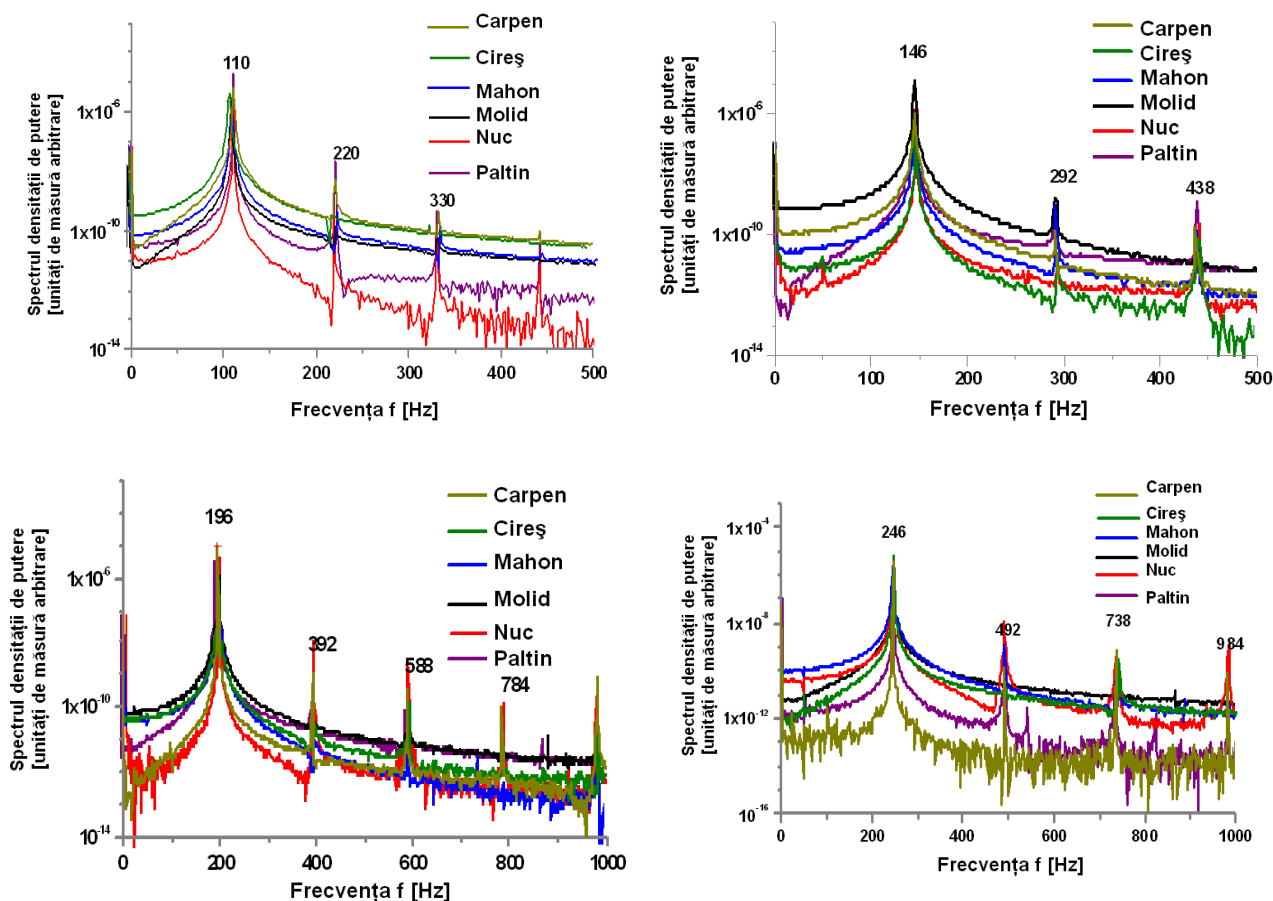
**Fig. 6.39.** Analiza spectrului de frecvență în cazul plăcii de mahon



**Fig. 6.40.** Analiza Fourier a răspunsului forțat al plăcii de cireș

În Fig. 6.41 sunt prezentate graficele de distribuție ale spectrului densității de putere în cazul plăcilor din speciile analizate, solicitate de forțe armonice cu frecvențe diferite. Plăcile din molid de rezonanță au capacitatea de a încărca energia de vibrație pe frecvența de rezonanță, dispersând-o apoi uniform, spre deosebire de celelalte specii a căror bandă de frecvențe e mai largă. Din acest motiv, spatele cutiei de chitară este realizat din plăci de diferite specii ce contribuie la obținerea timbrului chitarei. Liniaritatea curbei de disipare a semnalului pe armonice a plăcilor din molid de rezonanță se datorează uniformității și regularității structurii materialului și debitării radiale a lemnului, comparativ cu celelalte specii a căror structură macroscopică prezintă neomogenități date de modul de debitare a lemnului.





**Fig. 6.41.** Variația spectrului de putere pentru frecvențele de excitație de 196 Hz și 246 Hz, în cazul plăcilor din secii lemnoase diferite

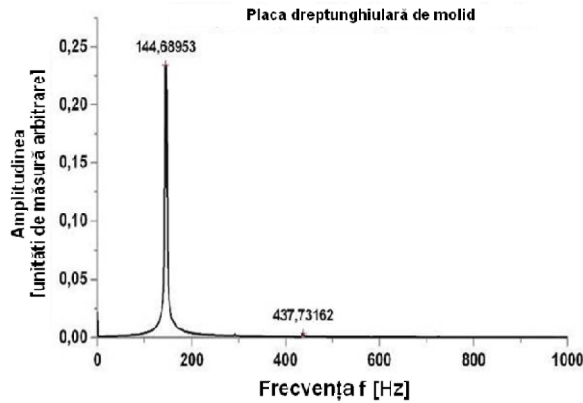
Graficele de variație a spectrului de putere oferă informații utile despre neliniaritatea capacității de disipare a semnalului pe armonice. În cazurile analizate, se observă răspunsul și modul de disipare a energiei de vibrație depinde de natura materialului și frecvența de excitație.

### ***Influența geometriei plăcilor asupra răspunsului în frecvență***

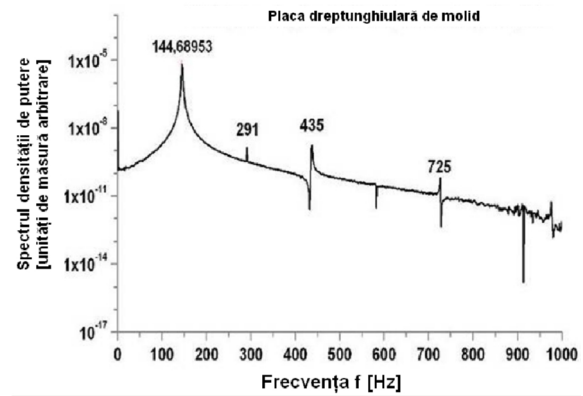
În Fig. 6.42 sunt reprezentate răspunsurile plăcilor dreptunghiulare la vibrațiile forțate corespunzătoare frecvențelor 146 Hz. Din graficele exemplificate reiese că plăcile ajung la frecvența de rezonanță a semnalului de excitație.

Din Fig. 6.43 se observă forma curbei de disipare a semnalului pe armonice: în cazul plăcii de molid neliniaritățile sunt mai reduse decât pentru arin, iar energia de vibrație se distribuie liniar pe armonice. Cu cât numărul armonicilor este mai mare, cu atât lemnul este mai bun din punct de vedere muzical.

- Energia forței de vibrație se disipă după frecvența de rezonanță și armonicile superioare. Curba de disipare a energiei diferă de la o structură la alta și de la o frecvență la alta. În funcție de calitatea lemnului din plăci și bare pot să apară fenomene liniare sau neliniare ale modului de disipare a energiei de vibrație.



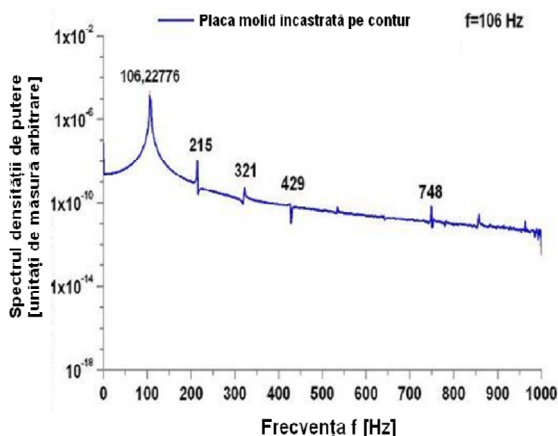
**Fig. 6.42** Transformata Fourier a semnalului accelerometrului în cazul frecvenței de excitație de 146 Hz



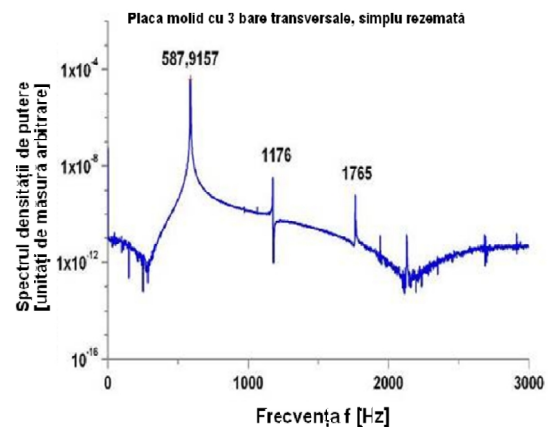
**Fig. 6.43.** Disiparea semnalului util pe armonice în cazul plăcilor dreptunghiulare din placaj de arin și molid.

### ***Influența condițiilor de contur și a sistemelor de bare***

În Fig. 6.44 și Fig. 6.45 sunt prezentate grafic rezultatele analizei Fourier în cazul plăcii încastrate pe contur și a celei rezemate pe două reazeme elastice. Se constată că reducerea gradelor de libertate din legăturile mecanice prin încastrarea plăcilor pe contur așa cum e cazul real al plăcilor din componența corpului de chitară, potențează liniaritatea fenomenelor dinamice la nivelul plăcilor, fapt ce constituie un avantaj din punct de vedere al transmiterii și disipării pe armonice a semnalului.



**Fig. 6.44.** Disiparea semnalului pe armonicele superioare în cazul plăcii încastrate pe contur

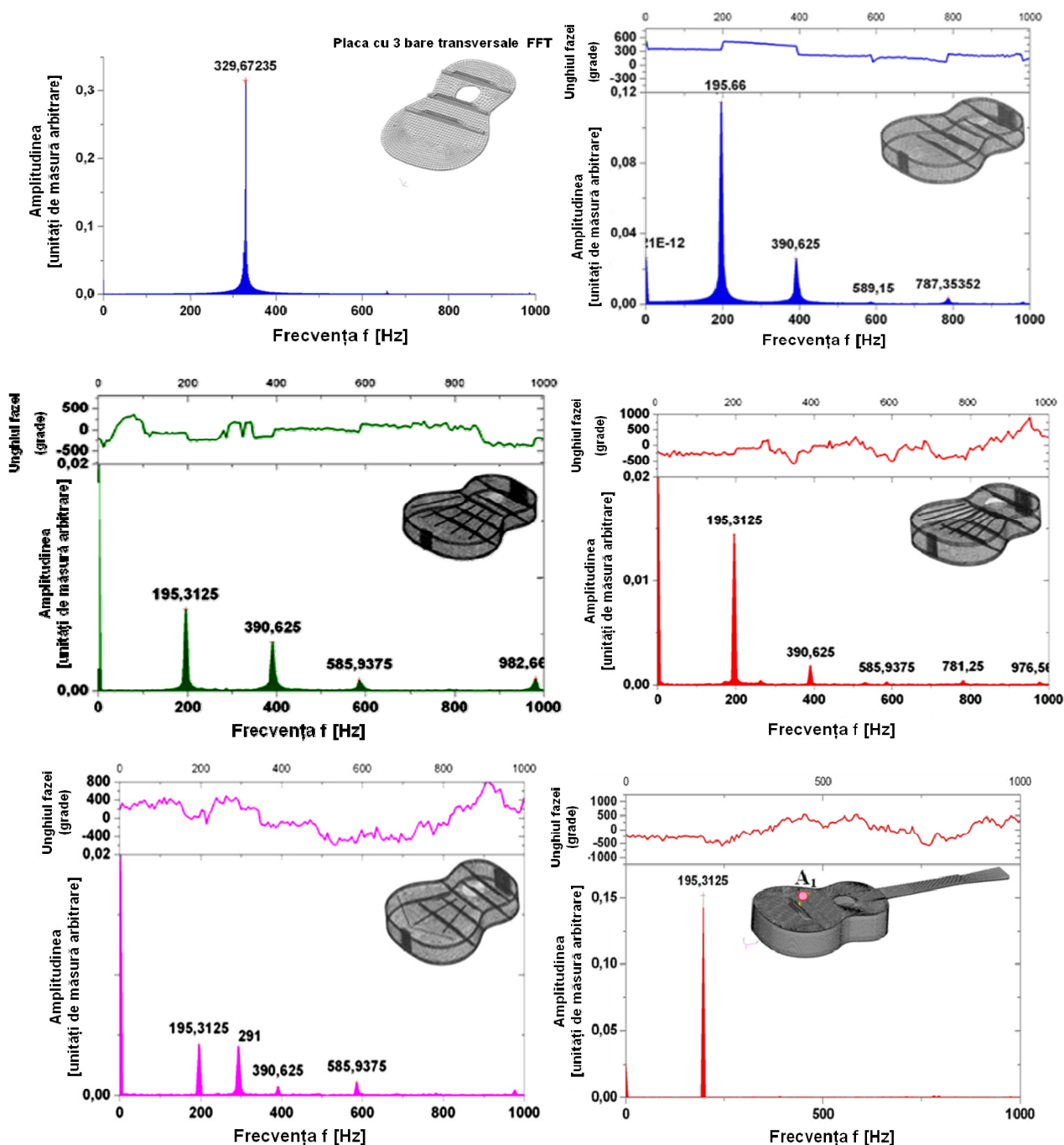


**Fig. 6.45.** Disiparea semnalului util pe armonice în cazul plăcii cu 3 bare transversale rezemată

### ***Influența complexității structurilor din plăci asupra răspunsului în domeniul frecvență***

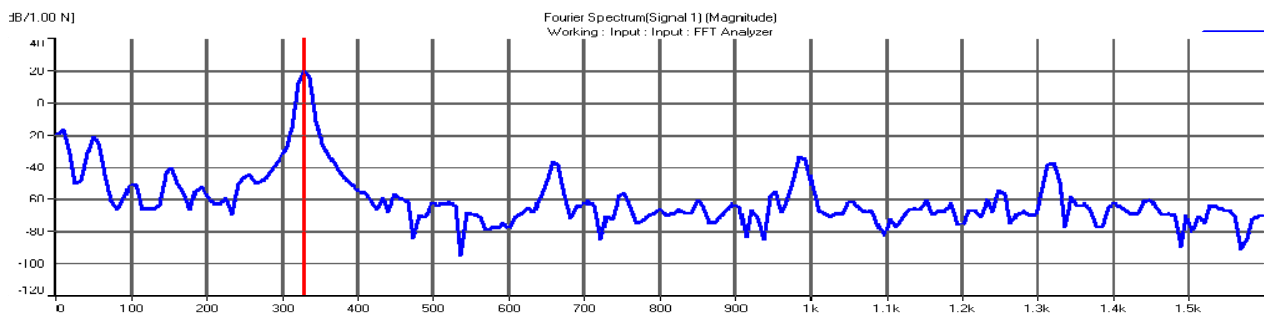
Prelucrarea semnalelor vibro-acustice prin aplicarea transformatei rapide Fourier în cazul diferitelor tipuri de cutii de chitară a relevat faptul că acestea intră în rezonanță atât cu frecvența de excitație a sistemului (în realitate - cu frecvența de excitație a corzilor) cât și cu frecvențele proprii ale structurii. În Fig. 6.46, răspunsul dinamic al structurilor în domeniul frecvenței, la anumite frecvențe de excitație a fost determinat prin aplicarea FFT din programul de prelucrare a datelor –

Microcal Origin. Acesta este reprezentat sub forma spectrului de frecvență, pentru fiecare tip de structură analizată. Se constată că, în cazul corpurilor de chitară fără gât, spectrul de frecvențe prezintă mai multe componente, comparativ cu placa individuală și chitara unde apare o singură componentă corespunzătoare frecvenței de excitație a structurii. Astfel, se constată că spectrul procesului aproape periodic are același aspect în toate cazurile analizate, iar pentru fiecare în parte, se observă că nu pentru toate structurile, frecvențele sunt multiple între ele. Acest fapt se datorează, pe de o parte caracteristicilor structurale (sistem de nervurații, complexitatea structurii) cât și caracteristicilor de material.

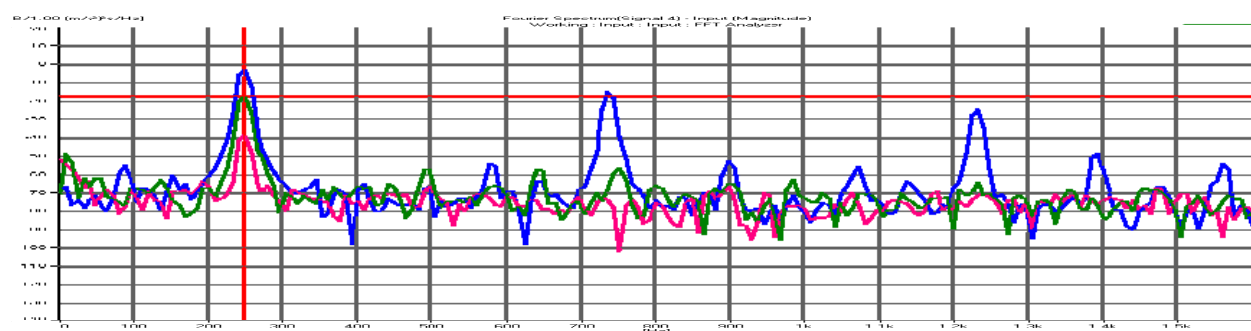


**Fig.6.46.** Transformata rapidă discretă Fourier aplicată semnalului de ieșire al accelerometrului amplasat pe placa de chitară din componența structurilor cu grad diferit de complexitate

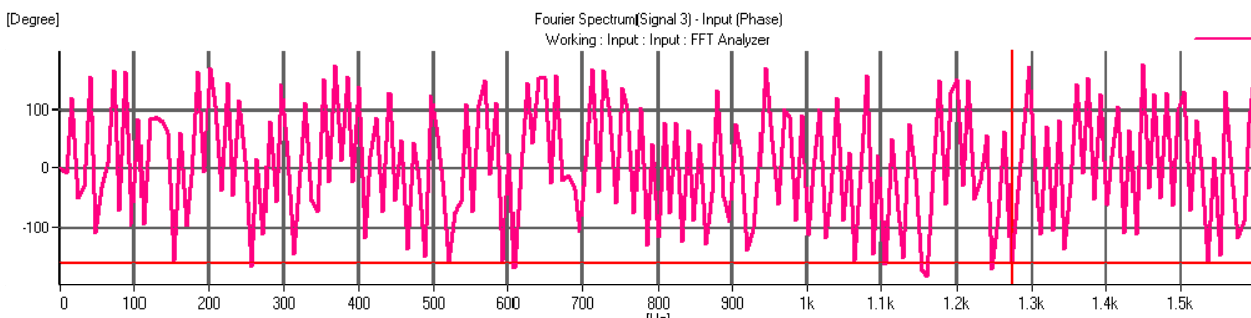
În Fig. 6.47 a, b și c sunt redată capturile grafice ale analizei de prelucrare a semnalului de intrare și ieșire cu ajutorul softului atașat platformei Pulse. Reprezentările grafice, redată simultan de softul de prelucrare Pulse, sunt sub forma spectrelor de frecvență, a spectrului de putere și a spectrului fazelor. Utilizarea softului Pulse a permis și înregistrarea tuturor frecvențelor de rezonanță.



a. Analiza Fourier a semnalului de intrare (forța de excitație captată cu traductorul de forță)



b. Spectrul de putere al semnalului de ieșire captat cu accelerometrele fixate pe plăcile din componența structurii (forța de excitație captată cu traductorul de forță)



c. Analiza în frecvență a spectrului fazelor

**Fig.6.47.** Analiza Fourier a semnalului vibro-acustic achiziționat și prelucrat cu ajutorul softului Pulse

***Influența sistemului de bare a structurii din plăci (gradul de rigiditate al plăcii de față) asupra mărimii intensității forței de excitație pentru a produce aceleași amplitudini de vibrație***

Producerea vibrațiilor plăcilor cu diferite nervurații, în aceleași condiții ale intensității și tensiunii de amplificare a semnalului de excitație necesită intensități diferite ale forței de excitație. În tabelul 6.17 sunt centralizate valorile forțelor de excitație pentru toate tipurile de structuri analizate.

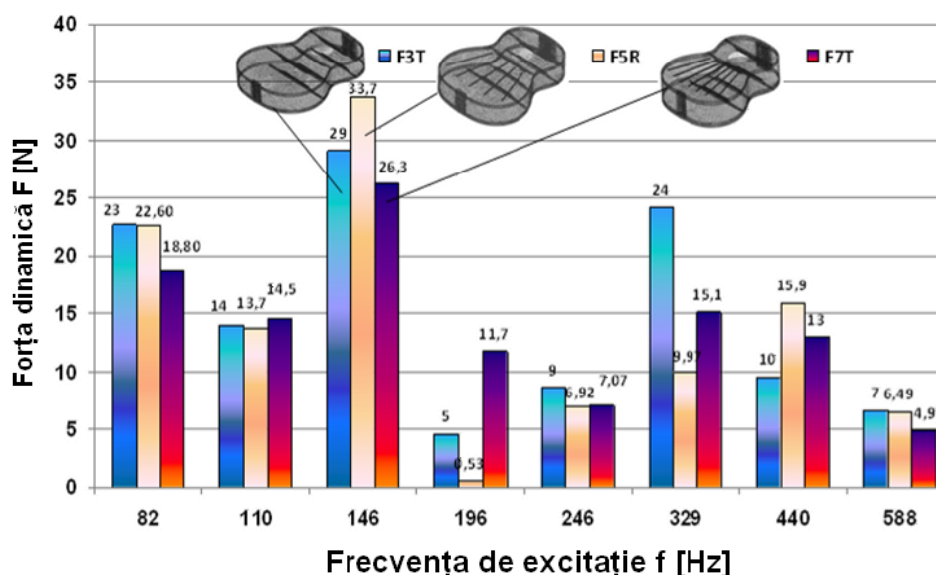
Se constată că valorile obținute sunt apropiate de valorile reale ale forțelor de tensionare a corzilor, valoarea totală fiind indicată în Tabelul 6.5.

**Tabelul 6.5.**

Valorile măsurate ale forței de excitație în funcție de frecvență și tipul de structură

Frecvența/ Structura	82 Hz	110 Hz	146 Hz	196 Hz	246 Hz	329 Hz	Total F [N]	440 Hz	588 Hz
C7BR2T T1	17,3 N	13,7 N	21,3 N	17,9 N	5,83 N	11,8 N	<b>87,83</b>	11,40 N	15,60 N
C7BR2T T2	18,8 N	14,5 N	26,3 N	11,7 N	7,07 N	15,1 N	<b>93,47</b>	13,00 N	4,90 N
C3BT	23,0 N	14,0 N	29,0 N	5,0 N	9,0 N	24,0 N	<b>103,02</b>	10,00 N	7,00 N
C5BR2TFC	18,8 N	15,0 N	28,9 N	3,41 N	10,2 N	11,3 N	<b>87,61</b>	8,50 N	7,60 N
C5BR2TFS	17,2 N	12,5 N	30,6 N	3,98 N	8,42 N	9,12 N	<b>81,82</b>	8,30 N	8,90 N
C5BR2TL	22,6 N	13,7 N	33,7 N	0,53 N	6,92 N	9,97 N	<b>87,42</b>	15,90 N	6,50 N
OPT PIMo	19,5 N	16,9 N	30,2 N	5,98 N	11,5 N	9,87 N	<b>93,95</b>	13,60 N	6,30 N
OPT PIMah	20,6 N	17,9 N	31,9 N	6,36 N	10,9 N	10,1 N	<b>97,76</b>	18,60 N	6,90 N
OPT PITei	19,4 N	15,9 N	30,8 N	5,95 N	10,8 N	8,38 N	<b>91,23</b>	13,40 N	5,90 N

În Fig. 6.48 sunt prezentate valorile intensității forței vibratorii la diferite frecvențe de excitație, măsurate pentru cazurile de sisteme de rigidizare a cutiilor de tipul C3BT, C5BR2T, C7BR2T.

**Fig. 6.48.** Variația intensității forței de excitație în funcție de frecvență și structură

Intensitatea forței de excitație depinde pe de o parte de rigiditatea structurii, iar pe de altă parte de frecvența de excitație. Influența nervurațiilor (ca număr și mod de dispunere) este mai mare în banda de frecvențe corespunzătoare frecvențelor proprii ale structurii (între 146....440 Hz) unde se înregistrează diferențe de până la 95 % între mărimile intensității forței de excitație (exemplul frecvenței de 196 Hz, corpul cu 5 bare și cel cu 7 bare radiale). Legea de variație a intensității forței funcție de structură și frecvență depinde de numeroși factori, pentru care este necesară aprofundarea investigațiilor. De asemenea, un factor ce influențează mărimea forțelor îl reprezintă interacțiunea plăcilor cu fluidul din interior. Astfel, forțele sunt mai mari pentru primele frecvențe de excitație – când plăcile din componența corpului de chitară vibrează în fază. Forța cea

mai mare se înregistrează la trecerea de la vibrațiile plăcilor în fază la antifază, respectiv în jurul frecvenței de 146 Hz. Vibrațiile plăcilor în opoziție de fază implică intensități mai reduse ale forțelor de excitație






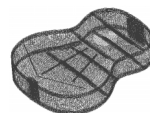
### **Influența sistemului de bare asupra frecvențelor de rezonanță a structurilor**

În evaluarea calității acustice a chitarei, unul din parametri analizați este rezonanța cutiei acustice și timbrul acesteia. Un prim pas în creșterea performanțelor acustice al chitărelor, îl constituie determinarea frecvențelor de rezonanță a tipurilor de corpuri analizate, excitate cu o forță armonică având frecvențele specifice vibrațiilor corzilor de chitară. Pentru stabilirea acestor frecvențe, s-a utilizat softul de achiziție, înregistrare și prelucrare de semnal al platformei Pulse.

În urma analizei Fourier și reprezentării acesteia sub forma spectrului fazelor, s-au înregistrat frecvențele de rezonanță, respectiv valorile frecvențelor în dreptul cărora, faza răspunsului forțat staționar formează un unghi de  $90^0$ . Acestea sunt centralizate în Tabelul 6.6. Se observă că numărul frecvențelor de rezonanță variază de la o structură la alta, chiar și în același caz al sistemului de bare. Acest lucru dovedește faptul că fiecare structură în parte este un unicat din punct de vedere al calităților sale acustice. Cele mai multe frecvențe de rezonanță s-au obținut pentru corpul cu 5 bare radiale și 2 transversale.

**Tabelul 6.6.**

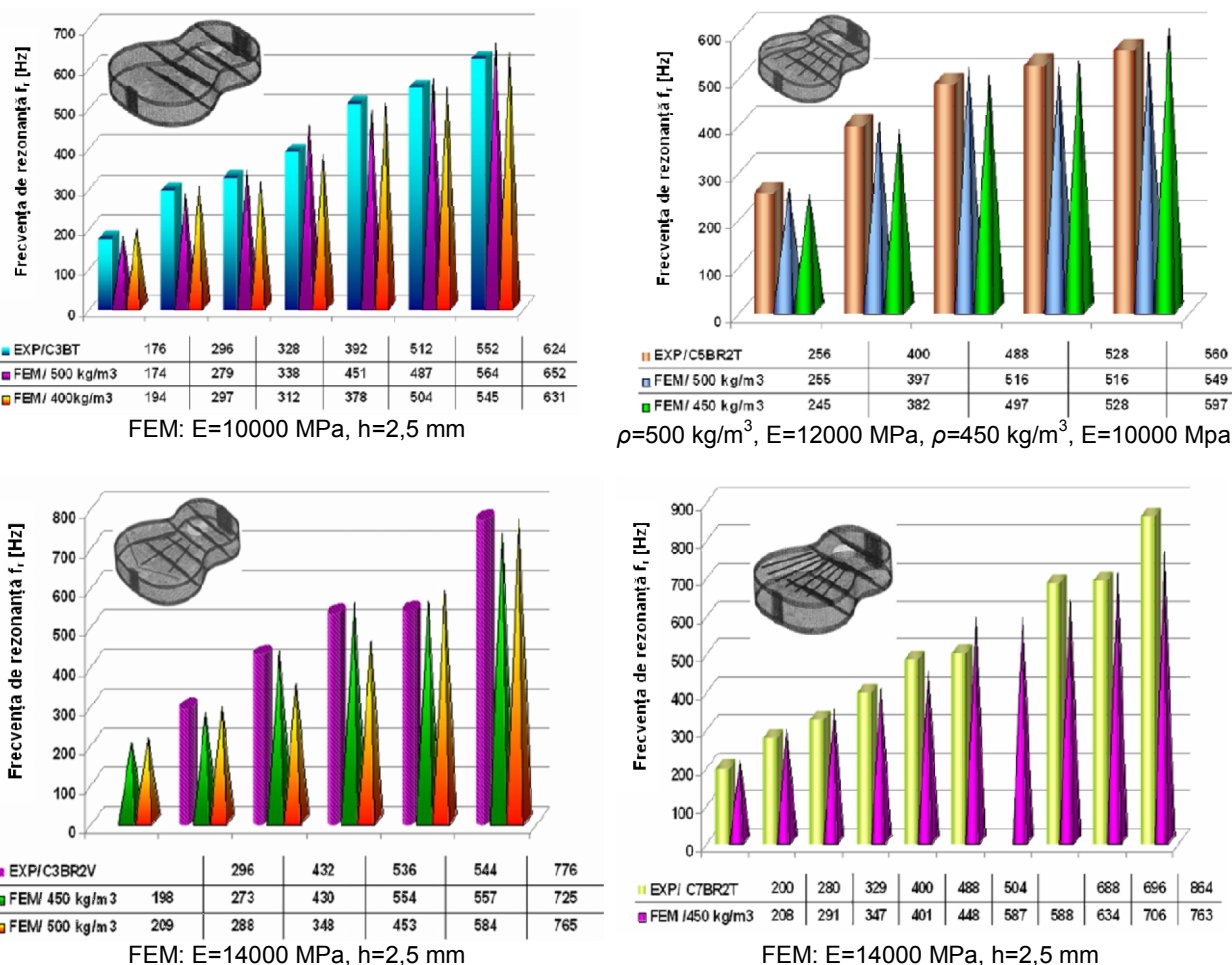
Valorile centralizate ale frecvențelor de rezonanță obținute pe structurile clasice

	C3BT T2 	C3BT T1 	C5BR2TL 	C7BR2T 	C7BR2T 	C3BR2V 
1	280 Hz	48 Hz	16 Hz	80 Hz	56 Hz	48 Hz
2	304 Hz	80 Hz	24 Hz	152 Hz	136 Hz	56 Hz
3	344 Hz	176 Hz	64 Hz	320 Hz	200 Hz	296 Hz
4	432 Hz	296 Hz	120 Hz	408 Hz	280 Hz	432 Hz
5	544 Hz	328 Hz	128 Hz	512 Hz	329 Hz	496 Hz
6	736 Hz	392 Hz	256 Hz	600 Hz	400 Hz	536 Hz
7	744 Hz	512 Hz	400 Hz	640 Hz	488 Hz	544 Hz
8	752 Hz	552 Hz	408 Hz	872 Hz	504 Hz	776 Hz
9	880 Hz	600 Hz	488 Hz	-	688 Hz	816 Hz
10	1144 Hz	624 Hz	528 Hz	-	696 Hz	824 Hz
11	1216 Hz	696 Hz	536 Hz	-	728 Hz	896 Hz
12	1312 Hz	752 Hz	560 Hz	-	864 Hz	1024 Hz
13	1328 Hz	936 Hz	816 Hz	-	936 Hz	1128 Hz
14	1360 Hz	1008 Hz	832 Hz	-	1008 Hz	1144 Hz
15	-	1048 Hz	872 Hz	-	1056 Hz	-
16	-	1128 Hz	1112 Hz	-	-	-
17	-	1224 Hz	1264 Hz	-	-	-
18	-	-	1360 Hz	-	-	-
19	-	-	1488 Hz	-	-	-

Rezultatele, sub forma frecvențelor de rezonanță obținute experimental (EXP), au fost comparate cu frecvențele proprii determinate prin metode numerice (FEM), observându-se că între



cele două tipuri de rezultate există numeroase similitudini (Fig. 6.49). Diferențele sunt de maxim 5%, acestea datorându-se particularităților metodei în sine de investigare, ipotezelor simplificatoare utilizate de softul de modelare, de caracteristicile reale ale materialelor utilizate.



**Fig. 6.49.** Comparații între frecvențele de rezonanță obținute experimental (EXP) și cele determinate numeric (FEM), pentru diferite structuri de plăci și parametri utilizați

Pe lângă validarea rezultatelor teoretice prin cele experimentale, este utilă și necesară corelarea cercetărilor teoretice cu cele experimentale pentru a explica diferite fenomene care nu pot fi evidențiate în mod direct de nici una dintre metodele de investigare. Astfel, prin compararea rezultatelor modelării numerice (FEM) cu cele experimentale, se pot deduce caracteristicile materialului plăcilor de chitară, cunoscând parametrii utilizați în modelare.

#### 6.2.4. Determinarea modurilor de vibrație și analiza lor în funcție de diferiți factori de influență

Plăcile de chitară sunt supuse unei forțe vibratorii transmisă de la corzi prin cordarul de care sunt fixate acestea, pentru față, iar pentru spate, forța se transmite prin eclise și prin aerul din interiorul cutiei sonore. Ca structură independentă, o placă care vibrează, posedă un număr suficient de mare de vibrații proprii. O vibrație proprie se caracterizează printr-un mod de vibrație și

o frecvență a vibrației, cunoscută sub denumirea de frecvență proprie de rezonanță. Prin mod de vibrație se înțelege repartitia liniilor nodale de pe suprafața plăcii, formate din punctele de pe placă ce rămân în poziție de echilibru în timpul vibrației și care desparte zonele vibratorii – cunoscute în literatura de specialitate ca moduri proprii, figurile liniilor nodale, figurile Chladni sau formele modale (Cotta, 1983).

Ernst Florens Friedrich Chladni (30 noiembrie 1756 - 3 aprilie 1827) a fost fizician și muzician german, fiind considerat părintele acusticii, deoarece printre cele mai importante lucrări ale sale se numără studiile asupra vibrațiilor diferitelor plăci și determinările vitezei sunetului în diferite gaze. A dus o activitate de pionierat și în studiul meteorităilor. Una dintre cele mai importante contribuții ale lui Chladni este tehnica de vizualizare ale diferitelor moduri de vibrație ale unei suprafețe. Fizicianul german a repetat experiențele realizate cu plăci de sticlă de către Robert Hooke la Universitatea din Oxford, în 1680. Procedul de a presăra nisip și a produce diferite figuri pe plăcile metalice sau de lemn, prin frecarea marginii cu un arcuș de vioară, a fost descris de Chladni în volumul *Entdeckungen über die Theorie des Klanges (Descoperiri în teoria sunetului, 1787)*. Acesta a observat că, în momentul când placa oscilează pe unul din modurile sale de vibrație, nisipul se ordonează în punctele de minim (nodurile vibrației), formând diferite figuri. În secolul al XX-lea, avântul electronicii a permis folosirea unui difuzor puternic cuplat la un oscilator a cărui frecvență poate fi ajustată cu precizie mare, iar în secolul XXI, difuzorul a fost înlocuit cu dispozitive avansate de control și recepție a mărimilor de intrare în sistem.

Pentru o placă, în funcție de caracteristicile elastice ale acesteia și în limita frecvențelor 16 – 8000 Hz există un număr limitat de figuri vibratorii. Cu cât numărul de figuri ce se obțin pentru o placă este mai mare, cu atât placa răspunde mai bine, demonstrând calități acustice. Formele vibratorii depind de o serie de factori: material, formă, dimensiuni, planeitate, prezența barelor pe placă, condițiile de contur ale structurii, metoda de determinare.









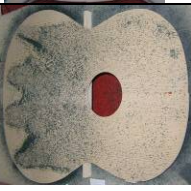





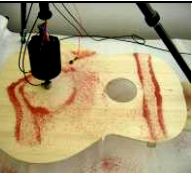
### ***Influența modului de excitație a structurii asupra modurilor proprii ale structurilor din plăci***

Aplicarea celor două metode de excitație a plăcilor cu vibrații forțate, a condus la sesizarea asemănărilor și deosebiriilor, avantajelor și dezavantajelor pe care fiecare metodă o implică. În Tabelul 6.7 sunt redate comparativ modurile proprii obținute la frecvența de 196 Hz prin cele două metode prezentate în subcapitolul 6.2.1.

Se observă că în general forma modurilor proprii este aceeași în ambele cazuri de excitație. Totuși claritatea liniilor nodale este mai mare la structurile solicitate prin contactul direct cu sursa de vibrație dacă frecvența de excitație coincide sau este apropiată de frecvența de rezonanță a structurii. În cercetările întreprinse, s-a constatat că la frecvențe joase (sub 110 Hz), metoda difuzorului nu este la fel de eficientă ca cea a excitatorului de vibrații prin contact nemijlocit. Un alt dezavantaj al metodei 1 este dificultatea controlului presiunii acustice a aerului dintre placă și

difuzor. Ca urmare, în continuarea cercetărilor, s-a optat pentru metoda nemijlocită – cu masa vibrantă.

**Tabelul 6.7.**  
Comparații între figurile Chladni obținute prin metode de excitație diferite, la frecvența de 196 Hz

	PS	P3BT	P5BR2T	P7BR2T	P3BR2V
<b>Plăcile înainte de testare</b>					
<b>Metoda non-contact cu difuzor Metoda 1</b>					
<b>Metoda cu contact direct – cu excitator Metoda 2</b>					

### ***Influența frecvenței de excitație asupra modurilor proprii***

Pentru determinarea influenței frecvenței de excitație asupra modurilor de vibrație, s-a testat placa cu 5 bare radiale (codificată P5BR2T) care a fost așezată pe două reazeme elastice și excitată prin intermediul masei vibrante la frecvențe de excitație iterate cu pasul de 10 – 15 Hz, începând cu frecvența de 100 Hz. În Tabelul 6.8 sunt prezentate modurile proprii obținute în urma creșterii progresive a frecvenței de excitație.

S-a constatat că trecerea de la un mod de vibrație la altul se face treptat, existând forme modale intermediare. Structura nu răspunde la toate frecvențele de excitație, fapt care determină apariția unor linii nodale neclare, slab evidențiate.

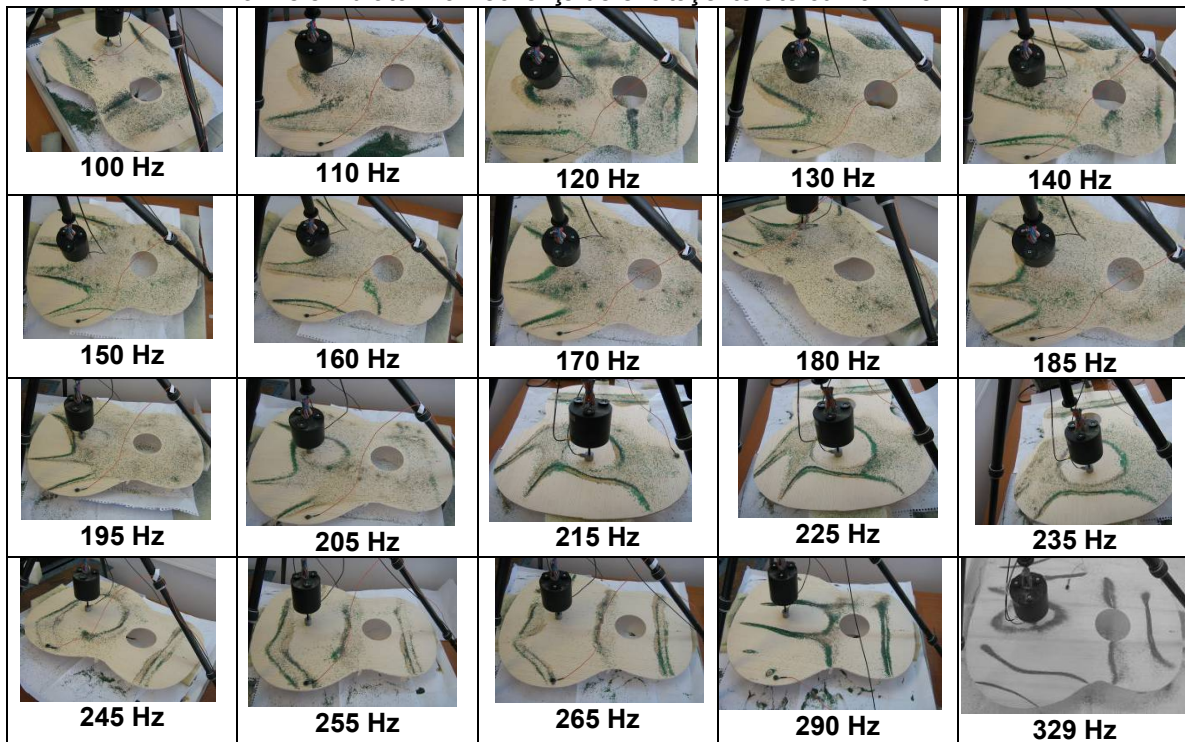
Modurile proprii apar la frecvențele la care faza relativă în spectrul masei dinamice este un extrem local, respectiv unde magnitudinea are un gradient negativ. Pentru structura analizată – placa cu 5 bare radiale, schimbarea modurilor de vibrație se produce la un pas de aproximativ  $20\text{Hz} \pm 5\text{Hz}$ . În mod similar, s-au realizat teste pe corpuri de chitară, constatându-se o comportare asemănătoare, cu particularitățile date de complexitatea structurii.

Liniile nodale clare, ușor sesizabile se formează doar la frecvențele proprii de rezonanță ale plăcii. Pornind de la această principiu, în literatura de specialitate (Richardson 1993, Inta 2006, Rossing 2004) s-au făcut studii centrate pe determinarea frecvențelor de rezonanță a structurilor (plăci sau corpuri) prin intermediul figurilor Chladni.



Tabelul 6.8.

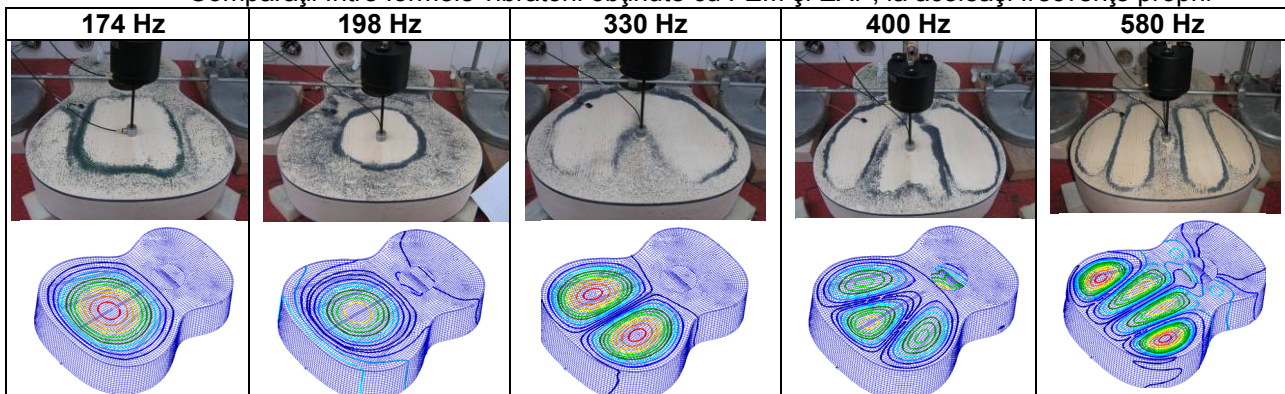
Formele vibratorii la frecvențe de excitație iterate cu 10 – 15 Hz



Frecvența de excitație reprezintă unul dintre cei mai importanți factori ai comportării dinamice a structurilor, atât ca valoare cât și ca intensitate. Atunci când frecvența de excitație se suprapune cu frecvențele proprii ale structurii, se obține rezonanța.

Tabelul 6.9.

Comparații între formele vibratorii obținute cu FEM și EXP, la aceleași frecvențe proprii



Pe baza acestui principiu, în cadrul cercetărilor s-au realizat teste bazate pe generarea frecvențelor de excitație cu valorile obținute prin metoda elementelor finite. În tabelul 6.9 sunt prezentate modurile proprii obținute prin metode experimentale și numerice, în cazul corpului cu 5 bare radiale și 2 transversale (C5BR2T), remarcându-se că modurile de vibrație sunt aproape identice.

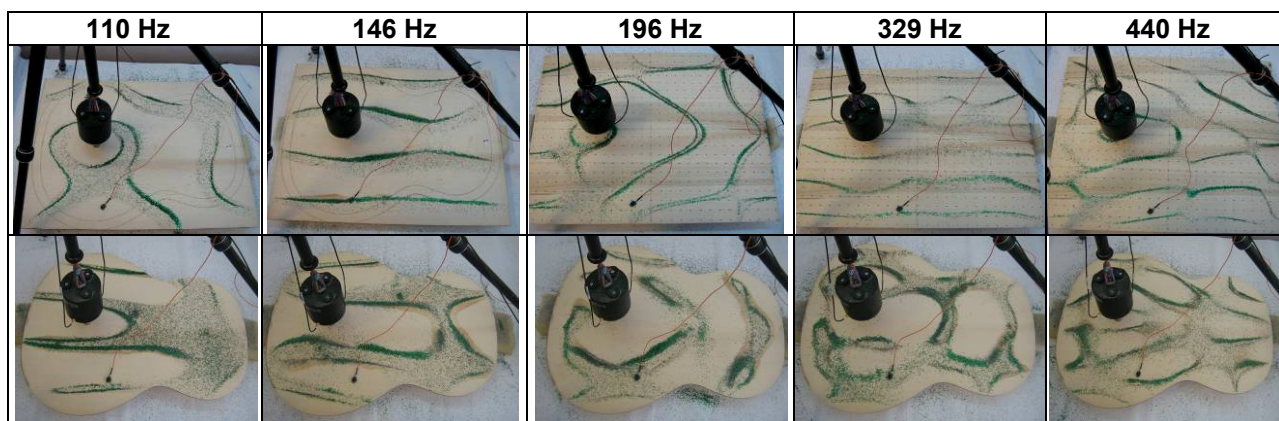
### **Influența formei geometrice a plăcilor asupra modurilor proprii**

În literatura de specialitate există numeroase studii privind modurile de vibrație ale plăcilor plane dreptunghiulare din diferite materiale, dintre care Caldersmith și Rossing (1983), Rossing și Fletcher (2004) au studiat comportarea plăcilor rectangulare din lemn. Aceștia au făcut studii comparative între plăcile plane dreptunghiulare și cele de vioară.

În cercetările experimentale, unul din aspectele urmărite a fost influența formei geometrice a plăcilor asupra răspunsului dinamic al acestora. Din punct de vedere al influenței formei geometrice, s-au testat plăcile ca structuri individuale de formă rectangulară și cele cu geometria de chitară. Plăcile rectangulare din placaj de molid și tei cu lungimea de 500 mm și lățimea de 428 mm au fost testate în aceleași condiții ca și cele de chitară. Modurile de vibrație obținute sunt prezentate în Tabelul 6.10.

**Tabelul 6.10.**

Comparații între modurile de vibrație ale plăcilor dreptunghiulare plane și cele ale plăcilor de chitară



Prin analiza vizuală a modurilor proprii determinate pe plăcile cu geometrie diferită, s-au constatat că modurile de vibrații ale plăcilor dreptunghiulare sunt mult mai clare și evidente decât cele obținute pe plăcile de chitară. În cazul plăcilor rectangulare, liniile nodale tind să se formeze paralel cu laturile plăcii. Datorită raportului aproximativ egal între lungime și lățime, modurile de vibrație ale plăcii dreptunghiulare alternează pe cele două direcții, împărțind placa în zone vibratorii.

Datorită lățimii variabile, placa de chitară prezintă moduri de vibrații distorsionate comparativ cu placa dreptunghiulară, iar zonele de pe placa de chitară rămase în poziție de echilibru sunt mai mari. În general, alura formelor se regăsește la cele două tipuri de plăci studiate. Cu cât placa are o suprafață mai întinsă, cu atât vibrează mai bine la o gamă mai mare de frecvențe. Acest fenomen este valorificat prin geometria plăcii de chitară în sensul că lățimea cea mai mare a corpului de chitară corespunde cu zona cea mai expusă vibrațiilor fiind necesară asigurarea unei suprafețe acustice mari; lățimea cea mai mică se regăsește în apropierea găurii acustice, având rolul de direcționare a aerului din interiorul corpului de chitară spre rozetă.





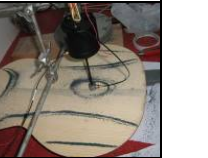







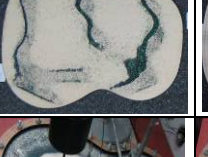










**Influența condițiilor de contur asupra modurilor de vibrație**

Un aspect interesant al investigațiilor experimentale îl reprezintă influența condițiilor de contur asupra vibrațiilor plăcilor, vizibilă prin formele vibratorii determinate. În acest sens, s-au realizat teste în diferite situații de fixare a plăcilor: rezemare elastică pe două reazeme, rezemare elastică pe întreg conturul, încastrare rigidă pe contur, încastrare semirigidă. Modurile de vibrație determinate în condiții de contur variate sunt prezentate în tabelul 6.11.

**Tabelul 6.11.**

Influența condițiilor de contur asupra modurilor de vibrație ale plăcilor

Frecvența	110 Hz	146 Hz	196 Hz	246 Hz	588 Hz
Rezemare pe un reazem elastic					
Rezemare pe două reazeme elastice					
Rezemare pe contur					
Încastrare rigidă					
Încastrare semirigidă					

Acest studiu a vizat tipurile de legături mecanice existente între plăcile de chitară (față și spate) și eclise (rama cutiei) în cadrul corpului de chitară. Astfel, în construcția corpului de chitară, plăcile de față și spate sunt încleiate de eclisă și contra-eclisă.

Chiar dacă această încleiere la  $90^\circ$  se realizează pe o suprafață mică, dată de grosimea eclisei și contra-eclisei (grosimea totală fiind de 5 mm), tipul de legătură mecanică rezultată este încastrarea. În practică, unii lutieri utilizează pentru rigidizarea sporită a plăcilor, contra-eclise cu suprafață mai mare de încleiere. Una din cauzele scăderii performanțelor acustice ale chitarei o constituie încleierea defectuoasă a plăcilor pe eclise sau descleierea acestora după un timp de utilizare.

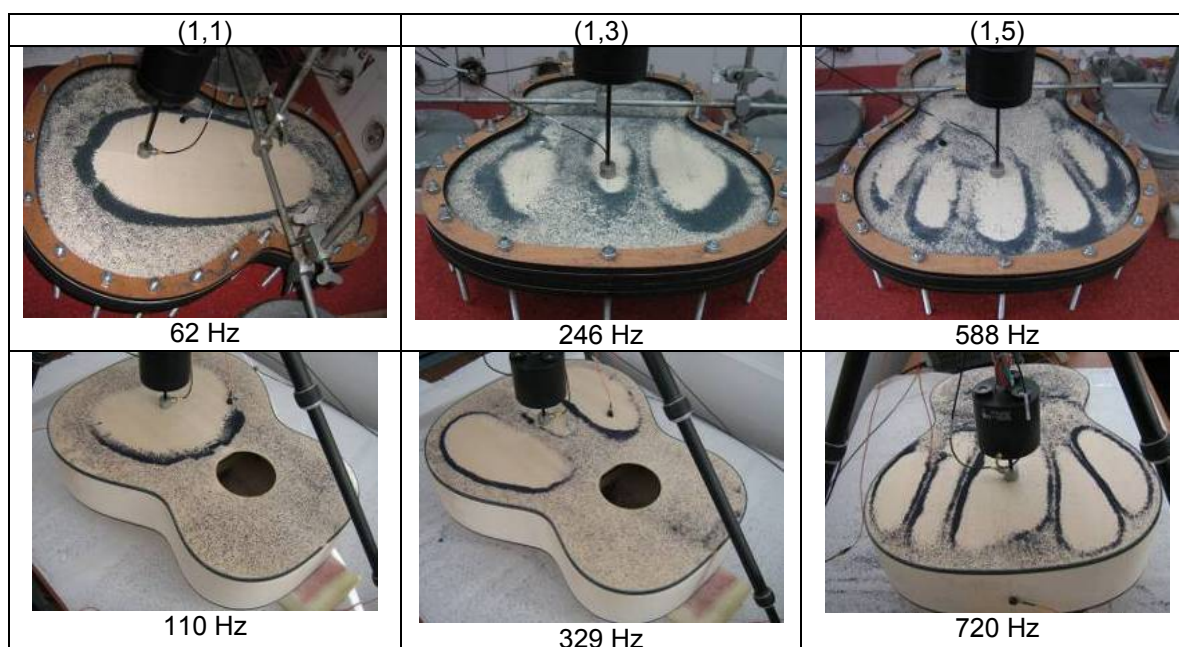


### **Comparații între modurile de vibrație ale plăcilor individuale încastrate pe contur în dispozitiv și cele din structura corpului de chitară**

În Tabelul 6.12 sunt prezentate modurile de vibrație ale plăcii individuale încastrate pe contur în dispozitive și cele ale plăcii integrate în corpul de chitară. Se observă că aceleași moduri de vibrație se obțin la frecvențe diferite în cele două cazuri de structuri: în cazul corpului de chitară (tip Ch7BR2T) figurile Chladni se obțin la frecvențe mai mari decât cele specifice plăcilor individuale. Cu creșterea frecvenței de excitație, modurile proprii tind să se formeze la aceleași frecvențe, indiferent de structură, respectiv șirul rapoartelor frecvențelor celor două structuri este descrescător: 1,77; 1,33; 1,22. Deosebirea se explică prin complexitatea diferită a celor două structuri analizate.

**Tabelul 6.12.**

Comparații între modurile de vibrație ale plăcilor individuale și ale celor integrate în corpul de chitară



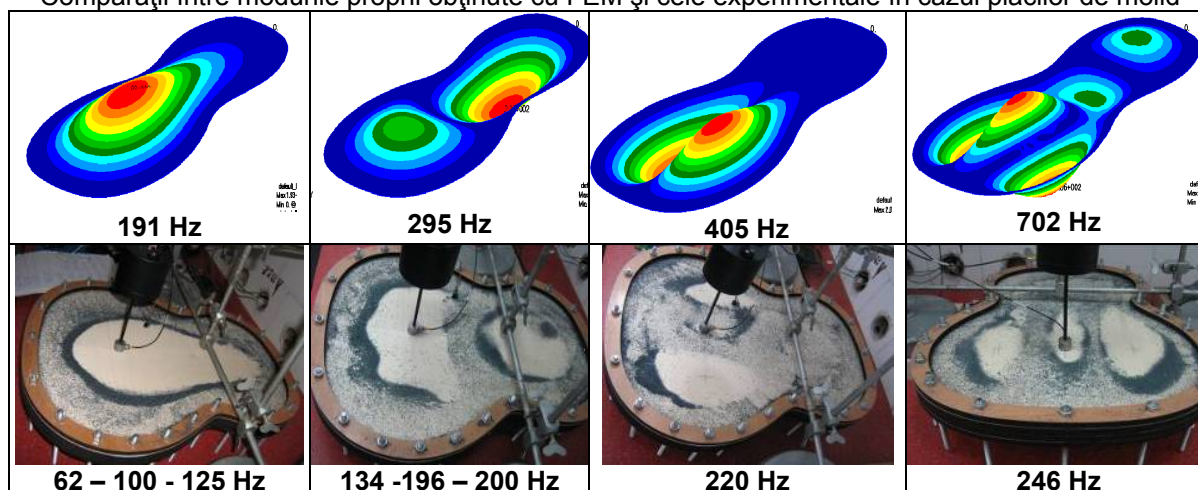
### **Comparații între modurile de vibrație obținute experimental și cele numerice**

În Capitolul 5 au fost prezentate rezultatele investigațiilor teoretice – prin metode numerice și analitice referitoare la analiza modală și comportarea dinamică a structurilor din plăci. În modelarea cu elemente finite s-a utilizat încastrarea structurilor pe contur, ceea ce permite compararea rezultatelor modelării cu FEM și cercetării experimentale.

În Tabelul 6.13 sunt prezentate selectiv modurile de vibrație obținute prin cele două metode de investigare – teoretică cu FEM și experimentală, indicându-se și valorile frecvențelor la care s-a format modul respectiv de vibrație.

Tabelul 6.13

Comparații între modurile proprii obținute cu FEM și cele experimentale în cazul plăcilor de molid



Între valorile frecvențelor proprii determinate prin FEM și cele de rezonanță determinate experimental, există un decalaj care se accentuează cu creșterea modurilor de vibrație. Diferențele sunt date de parametri reali și cei simulați în modelarea numerică, precum și de cele două tipuri de analize studiate – modală (cu FEM) și dinamică (EXP).

### ***Influența speciilor lemnoase asupra modurilor de vibrație***

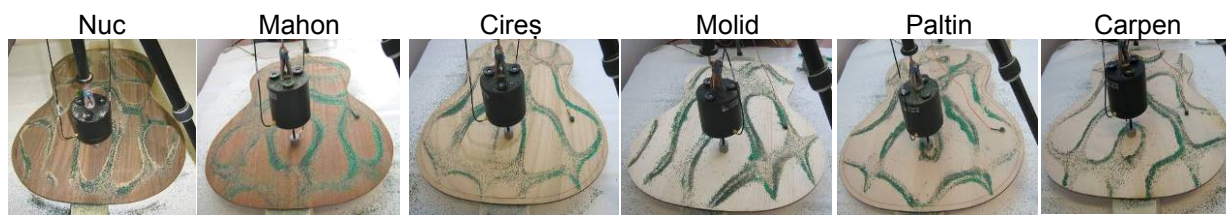
În structura corpului de chitară sunt utilizate o serie de specii lemnoase sub formă de lemn masiv sau material compozit lignocelulozic - placaj. Unul din obiectivele cercetărilor experimentale îl constituie determinarea modului în care specia lemnoasă și orientarea structurii lemnului influențează răspunsul structurii la vibrații forțate.

Plăcile din specii ca: nuc, mahon, cireș, paltin, molid, carpen, au fost testate prin metoda excitatorului de vibrații prin contact direct cu placa. Din punct de vedere al macrostructurii lemnului plăcile au fost diferite, fiind prelevate plăci de pe fluxul tehnologic al fabricării corpurilor de chitară. Astfel, placa din molid de rezonanță prezintă numai structura radială, pe când specii precum nucul, carpenul au o structură tangențială sau semiradială, fiind utilizate cu precădere pentru calitățile estetice ale speciei respective.

Analizând vizual formele modurilor de vibrație ale plăcilor din specii diferite, s-au constatat următoarele aspecte:

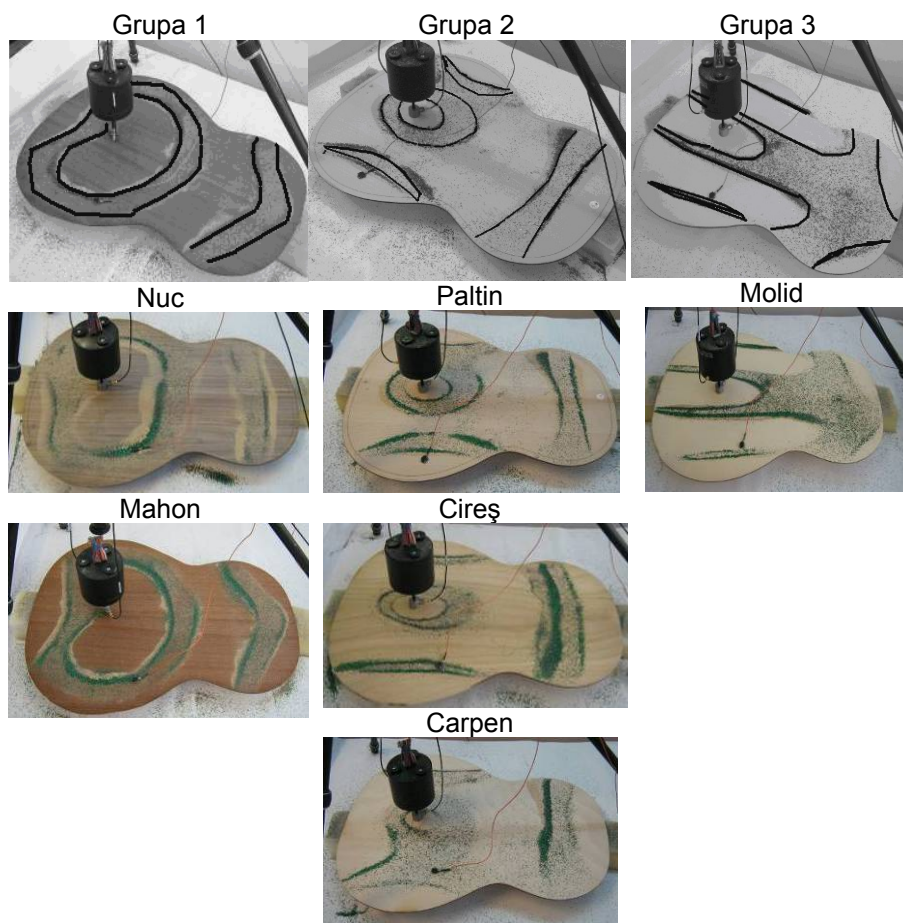
- *Cu creșterea frecvenței, modurile de vibrație devin din ce în ce mai complexe și tind să semene indiferent de specie. Aceasta se explică prin faptul că, la frecvențe joase, caracteristicile speciei (densitate, module de elasticitate, simetrie, direcția fibrelor) se imprimă asupra modurilor de vibrație ale plăcilor; cu creșterea frecvenței, materialul nu mai constituie un factor de influență în răspunsul dinamic al plăcii.*

În Fig. 6.22 sunt exemplificate modurile de vibrație ale speciilor studiate obținute la frecvența de 440 Hz.



**Fig. 6.50.** Formele vibratorii obținute la frecvența de 440 Hz, în cazul plăcilor din specii diferite

- Speciile analizate pot fi grupate după forma modurilor de vibrație obținute la frecvențe joase în trei categorii așa cum se observă în Fig. 6.51. Grupa 2 – paltin, carpen, cireș - poate fi considerată o grupă intermediară între celelalte două, în formele lor vibratorii regăsindu-se atât linii specifice plăcii de molid cât și contururi specifice nukului și mahonului.



**Fig. 6.51.** Gruparea speciilor după asemănările modurilor de vibrație la frecvențe joase (110 Hz)

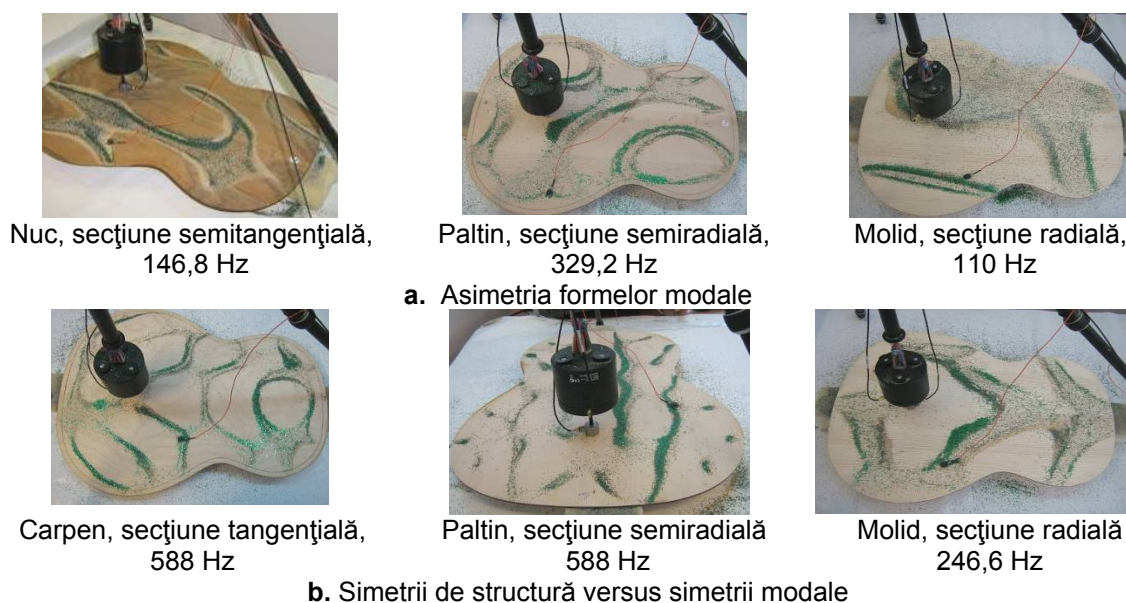
- Modurile proprii obținute la frecvența de 110 Hz în cazul plăcilor din mahon și nuc se regăsesc la frecvența de 146,8 Hz la plăcile din paltin și cireș, iar pentru plăcile de molid, la frecvența de 196 Hz (Fig. 6.52). Corelând aceste rezultate cu frecvențele proprii determinate experimental prin metoda ciocanului de impact, se constată că frecvențele pentru care s-a obținut același mod propriu indiferent de specie, au valori apropiate cu frecvența fundamentală a speciei respective.





**Fig. 6.52.** Moduri de vibrație similare obținute în cazul plăcilor din specii diferite

- Unul din aspectele verificate prin formele vibratorii este simetria structurală a plăcii, aceasta influențând vibrațiile plăcii și implicit acustica chitarei. Nu întâmplător, calitatea estetică și acustică se află într-o strânsă legătură cauzală. Transmiterea sunetului prin lemn este favorizată de o structură regulată, uniformă și omogenă a lemnului, caracteristici ce se regăsesc la lemnul de rezonanță. Din cercetările efectuate, s-a observat că simetria formelor modale depinde de simetria structurii macroscopice a lemnului. Astfel, plăcile din placaj alcătuit din furnire nesimetrice din punct de vedere structural au prezentat asimetrii ale liniilor nodale (Fig. 6.53, a), spre deosebire de plăcile simetrice a căror model este în general simetric față de axa longitudinală (Fig. 6.53, b).



**Fig. 6.53.** Influența simetriei de structură a materialului plăcii asupra modurilor de vibrații

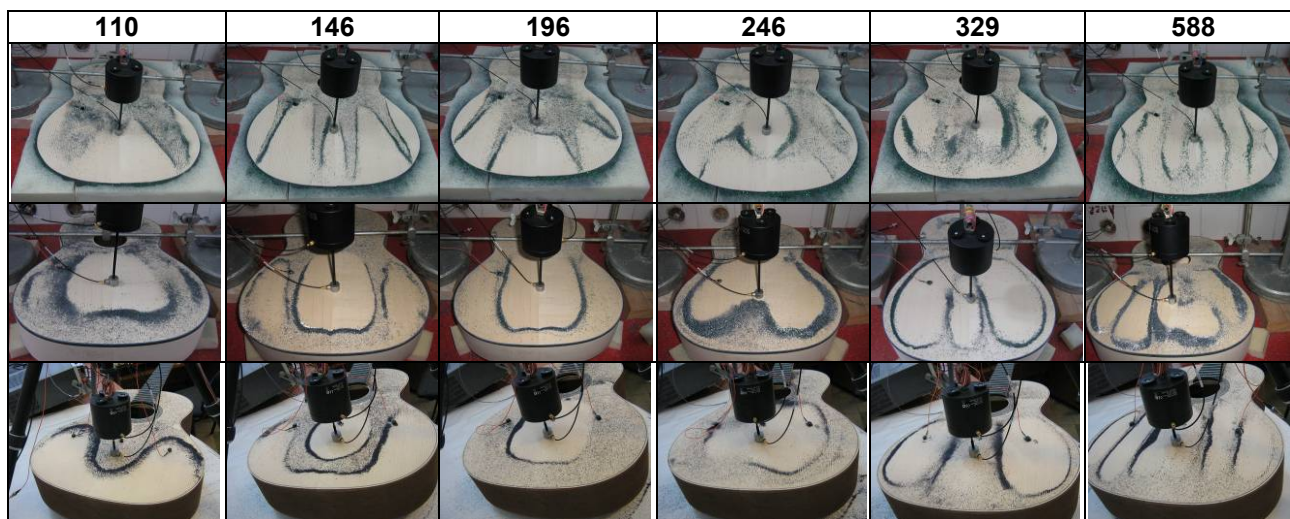
- Figurile Chladni obținute oferă informații utile despre capacitatea plăcilor și a speciilor lemnoase de a răspunde mai bine la frecvențele de excitație. Astfel, nucul și mahunul răspund mai bine la frecvențe joase și medii, comparativ cu cireșul, paltinul și carpenul al căror comportament dinamic este favorizat de frecvențele mai înalte. Fenomenul este confirmat și de valorile frecvențelor proprii prezentate în subcapitolul 6.1.

### ***Influența complexității structurii asupra modurilor de vibrație***

Chitara este un instrument complex atât din punct de vedere constructiv, cât și funcțional. În componența corpului de chitară intră o serie de elemente care luate separat prezintă anumite caracteristici acustice dar nu suficiente pentru a crea singure calitățile psiho-acustice ale chitarei. În același timp, fără proprietățile și prezența uneia dintre componente, răspunsul chitarei la vibrațiile armonice nu ar mai avea aceeași valoare muzicală. În studiul de față interesează modul în care complexitatea formei și structurii din plăci influențează și potențează caracteristicile vibratorii ale corpului de chitară. Astfel, în investigațiile experimentale s-au realizat comparații între comportarea plăcilor ca structuri individuale și comportarea lor în cutia de rezonanță a chitarei fără gât și cu gâtul atașat (Tabelul 6.14). În Tabelul 6.14 sunt prezentate structurile cu sistemul de 7 bare radiale și 2 transversale. Se observă că modurile de vibrație depind de complexitatea structurii, respectiv, plăcile individuale răspund diferit de plăcile integrate în cutia acustică. Complexitatea corpului de chitară corelată cu condițiile de frontieră dintre placă și celelalte elemente componente, produce moduri de vibrație delimitate de contururi închise. Atașarea gâtului de corp influențează răspunsul dinamic: gâtul intră primul în vibrație la frecvențe joase, după care corpul de chitară începe să vibreze la frecvențe înalte. Acest fenomen a fost studiat de cercetători precum Shaheen (2004), Russel (1988). Alții au urmărit în studiile lor doar comportarea dinamică a corpului de chitară, fără gât (Kempton 2002, Kaißer 2007, Becache 1996, 2005, Derveaux 2003).

**Tabelul 6.14.**

Modurile de vibrații ale structurilor din plăci cu grade diferite de complexitate



### ***Influența sistemului de bare de rigidizare asupra modurilor proprii***







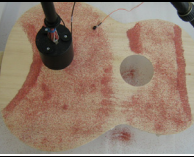



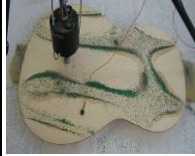













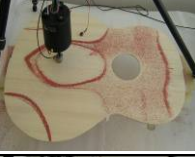

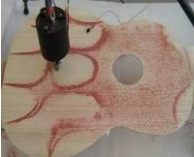








Pe lângă material, formă, dimensiuni, unul din elementele importante care definește o placă de chitară (fața sau spatele) este sistemul de rigidizare aplicat pe partea interioară a plăcii în cadrul corpului de chitară. Acesta are rolul de a oferi plăcii rigiditate și stabilitate la deformațiile datorate solicitărilor ciclice la care este supusă placa de chitară în timpul cântatului. Din acest



punct de vedere, placa de chitară devine o structură complexă și diversă prin însăși existența barelor (nervurațiilor) aplicate în număr, dimensiuni și moduri diferite de dispunere.

**Tabelul 6.15.**

Modurile de vibrație ale plăcilor cu diferite sisteme de bare

Frecvența	PS	P3BT	P5BR2T	P7BR2T	P3BR2V
110 Hz					
146 Hz					
196 Hz					
246 Hz					
329 Hz					
440 Hz					
588 Hz					

Pe placă se aplică două tipuri de bare: de rezonanță – cu grosimi reduse, plasate în zona acustică a chitarei (între cordar și rozetă) al cărui rol principal este de a modula zonele vibratorii ale plăcii și bare de rigidizare amplasate în general pe direcția transversală a plăcii încadrând rozeta și oferind o rigiditate sporită corpului de chitară în zona de îmbinare cu gâtul. Barele de rezonanță sunt aplicate numai pe placa de față, placa de spate fiind prevăzută numai cu bare



transversale. Datorită grosimii reduse a plăcii de față, barele de rezonanță au și rolul de rigidizare al plăcii.

În vederea stabilirii modului în care sistemul de bare influențează apariția și modurile proprii ale structurilor, s-au testat plăci și corpuri de chitară cu structurile prezentate în subcapitolul 6.1.2, Tabelele 6.3 și 6.4. Metoda utilizată a fost cea bazată pe excitarea structurii cu ajutorul unei mase vibrante – conform standurilor experimentale prezentate în Fig. 6.19, 6.20, 6.21, iar pentru determinarea figurilor Chladni, s-a utilizat metoda clasică – cu stratul fin și uniform de nisip. Pentru compararea modurilor de vibrație și determinarea modului în care sistemul de bare influențează răspunsul structurii, acestea au fost excitate la aceleași frecvențe, în aceleași condiții de contur și de laborator.




























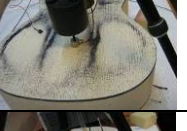






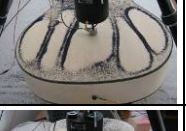









În procesul tehnologic de producție a chitărelor fabricate în România la fabrica de instrumente muzicale S.C. Hora S.A. Reghin, se utilizează diferite sisteme de bare, în funcție de tipul, mărimea și calitatea chitarei în care sunt integrate. Studii științifice privind modul în care sistemul de rigidizare influențează calitatea acustică a chitarei sunt relativ reduse (Vladimirovici, 2004, Writgh 1996, Inta 2006) și în general nu sunt exhaustive, având în vedere interacțiunea numeroșilor factori care contribuie la calitatea acustică a chitarei. Mai mult decât atât, abordările acestor cercetători vizează aspecte ale sistemelor particulare de bare, așa cum și subiectul cercetărilor tezei de doctorat vizează structurile din plăci de chitară fabricate la noi în țară.

S-au obținut numeroase și diverse moduri de vibrații, din care au fost selectate cele mai semnificative și prezentate în Tabelul 6.15. Configurația modurilor de vibrație rezultate pe plăcile cu nervurații diferite prezintă atât asemănări, cât și deosebiri. Astfel, luând ca forme de referință cele obținute la plăcile simple, se constată că harta liniilor nodale este asemănătoare la toate structurile la majoritatea frecvențelor de excitație. Diferențele care apar constau în grosimea și claritatea liniilor nodale, acestea fiind diferite de la o structură la alta. Liniile nodale apar în zonele în care sunt poziționate barele pe placă. Se remarcă faptul că diferențele datorate sistemului de bare se reflectă mai ales în ordinea apariției modurilor de vibrație.

De exemplu, modul de vibrație corespunzător frecvenței de 196 Hz în cazul plăcii simple și a celei cu 3 bare radiale și 2 în V (notată P3BR2V), se regăsește la frecvența de 246 Hz în cazul plăcii cu 7 bare radiale. Figurile Chladni obținute pe placa cu 3 bare transversale (P2BT) diferă de celelalte plăci prevăzute cu alte sisteme de rigidizare, mai ales la frecvențele joase (110 – 196 Hz). La frecvențe joase (sub 100 Hz), comportarea plăcilor este similară indiferent de numărul și modul de dispunere a barelor de rezonanță. Pentru plăcile cu 5 și 7 bare radiale, figurile Chladni sunt similare ca formă, micile diferențe datorându-se numărului de bare și implicit a diferenței de masa a structurii. Placa cu 7 bare radiale prezintă moduri clare și din ce în ce mai complexe o dată cu creșterea frecvenței.

Tabelul 6.16.

Influența sistemelor de bare asupra modurilor de vibrație ale corpurilor de chitară

	Mod	C3BT		5BR2T		C7BR2T		C3BR2V
110 Hz	(1,1) <sub>1</sub>		(1,1) <sub>1</sub>		(1,1) <sub>1</sub>		(1,1) <sub>1</sub>	
146 Hz	(1,1)		(1,3) <sub>1</sub>		(1,3) <sub>1</sub>		(1,3) <sub>1</sub>	
196 Hz	(1,1)		(1,1) <sub>2</sub>		(1,1) <sub>2</sub>		(1,1) <sub>2</sub>	
246 Hz	(1,1)		(1,1) <sub>3</sub>		(1,1) <sub>3</sub>		(1,1) <sub>3</sub>	
329 Hz	(0,1)		(1,3) <sub>1</sub>		(1,2)		(1,2)	
413 Hz	(2,1) <sub>1</sub>		(1,4)		(1,4)		(2,3)	
440 Hz	(2,1) <sub>2</sub>		(1,3) <sub>2</sub>		(2,3) <sub>1</sub>		(1,3)	
588 Hz	(1,3)		(1,5)		(2,3) <sub>2</sub>		(1,4)	
720 Hz	(3,3)		(1,6)		(1,5)		(1,5)	
980 Hz	(5,3)		(2,8)		(2,6)		(2,6)	
1230 Hz	(2,6)		(1,9)		(2,8)		(2,8)	

Varietatea modurilor proprii ale diferitelor structuri de plăci este determinată de frecvențele proprii de rezonanță ale plăcilor. În concluzie, analiza plăcilor cu sisteme diferite de nervurații a relevat faptul că în aceleași condiții de contur, frecvențe de excitație și material, modurile de vibrație ale plăcilor sub nu prezintă deosebiri cantitative mari. În schimb, geometria și grosimea

barelor influențează răspunsul dinamic al plăcilor, fenomen sesizabil la toate plăcile cu nervurații, prin apariția constantă a liniilor nodale aliniate după barele transversale de rigidizare.

O analiză similară privind influența sistemelor de bare asupra răspunsului structurilor s-a realizat și pentru corpuri de chitară, fiind prezentată în Tabelul 6.16. Spre deosebire de plăci ca structuri individuale, în cazul corpurilor de chitară sistemul barelor de rezonanță și rigidizare influențează răspunsul structurii la solicitările armonice.

Din figurile Chladni prezentate în Tabelul 6.16, se poate observa că modurile vibratorii diferă de la o structură la alta în cea mai mare parte, existând și asemănări, cum este cazul pentru frecvența de excitație de 110 Hz, unde toate structurile dau același mod de vibrație, dar cu suprafețe diferite. La frecvențe relativ mici (între 110 – 246 Hz) comportarea structurilor din plăci – corpul de chitară, este similară indiferent de sistemul de bare din interior. Influența pe care sistemul de bare o exercită asupra răspunsului dinamic al corpurilor de chitară se observă la frecvențe mai mari, prin două aspecte:

- formarea unor moduri particulare, ce nu se regăsesc la celelalte structuri;
- succesiunea apariției modurilor de vibrație care diferă de la o structură la alta.

*Cele mai mari deosebiri apar între corpul de chitară cu trei bare transversale de rigidizare și celelalte tipuri de structuri.* Structurile C7BR2T și C3BR2V, deși au sistemele de bare diferite atât ca număr cât și ca mod de dispunere, prezintă numeroase asemănări ale modurilor de vibrație.

### ***Influența fluidului din interiorul cutiei***

Din punct de vedere fizic, chitara este un sistem oscilant cu un grad ridicat de complexitate. Elementul rezonator al chitarei este volumul de aer din cutia sau corpul chitarei, al cărui serie de frecvențe proprii este excitată de vibrațiile elementului vibrator – coarda. Astfel, sunetul vibratorului, de obicei slab și fără muzicalitate, este amplificat și îmbogățit cu frecvențele de rezonanță al căror spectru formează timbrul (Urmă, 1982). În aceste condiții, frecvențele fundamentale sunt determinate de caracteristicile geometrice de la care se propagă unda sonoră, respectiv corzile și plăcile vibrante, iar ansamblul armonicilor este determinat de corpul chitarei, prin formă, dimensiuni, materiale și structură interioară. Potrivit studiilor de specialitate muzicală, Urmă (1982) consideră că o condiție de bază a cutiilor de rezonanță este aceea de nu fi selective în raport cu sunetele muzicale și să prezinte o amortizare mare. Neselectivitatea acustică se obține tocmai din forma variată a cutiilor. Conform teoriei elementelor finite, și volumul de aer din interiorul corpului de chitară poate fi descompus într-o sumă de volume mici, având fiecare o formă simplă, geometrică și deci o frecvență proprie de rezonanță. Aceste volume, considerate izolat și cuplate în combinații, oferă condițiile necesare ca toate sunetele emise de corzile muzicale să fie amplificate în mod egal, neselectiv (Curtu, 2008 – [C25]).

În cercetările experimentale întreprinse, fenomenul aerodinamic a fost studiat atât prin determinarea modurilor de vibrație a spatelui, în condițiile excitării plăcii de față a cutiei, cât și prin




















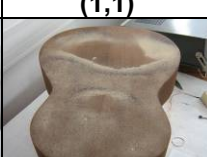



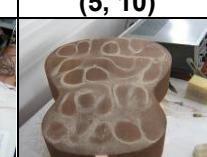


analiza structurală și răspunsul dinamic al plăcii de spate și ecliselor, pe fiecare din aceste componente fiind atașat câte un accelerometru. În Tabelul 6.17 sunt prezentate selectiv și comparativ modurile proprii ale plăcilor de față și spate din structura cutiei cu 5 bare radiale și 2 transversale (C5BR2T) și chitarei cu 7 bare radiale (Ch7BR2T) determinate la aceeași frecvență de excitație.

După cum se observă în imaginile fotografiate în timpul experimentului, modurile vibratorii ale plăcii de spate sunt diferite de cele ale plăcii de față, atât ca formă cât și ca număr de ventre de amplitudine. La frecvențe joase, formele vibratorii ale spatelui sunt aproape identice cu cele ale plăcii de față; la frecvențe medii spre înalte, se constată un defazaj între cele două plăci: spatele vibrează la un mod de vibrație inferior comparativ cu placa de față și pe direcție perpendiculară, iar la frecvențe foarte înalte, spatele vibrează la fel ca și fața.

Tabelul 6.17.

Modurile proprii ale plăcilor (fața și spatele) din structura cutiei de rezonanță

110	196	329	413	588	1230
					
(1,1)	(1,1)	(1,3)	(1,4)	(1,5)	(4,8)
					
(1,1)	(0,0)	(1,1)	(3,1)	(2,2)	(4,8)
					
-	(1,1)	(1,3)	(1,4)	(1,5)	(5, 10)
					
(1,1)	(2,1)	(2,1)	(3,2)	(5,3)	(5,10)

### ***Influența metodei de investigare asupra rezultatelor cercetării – comparații cu rezultatele din literatura de specialitate***

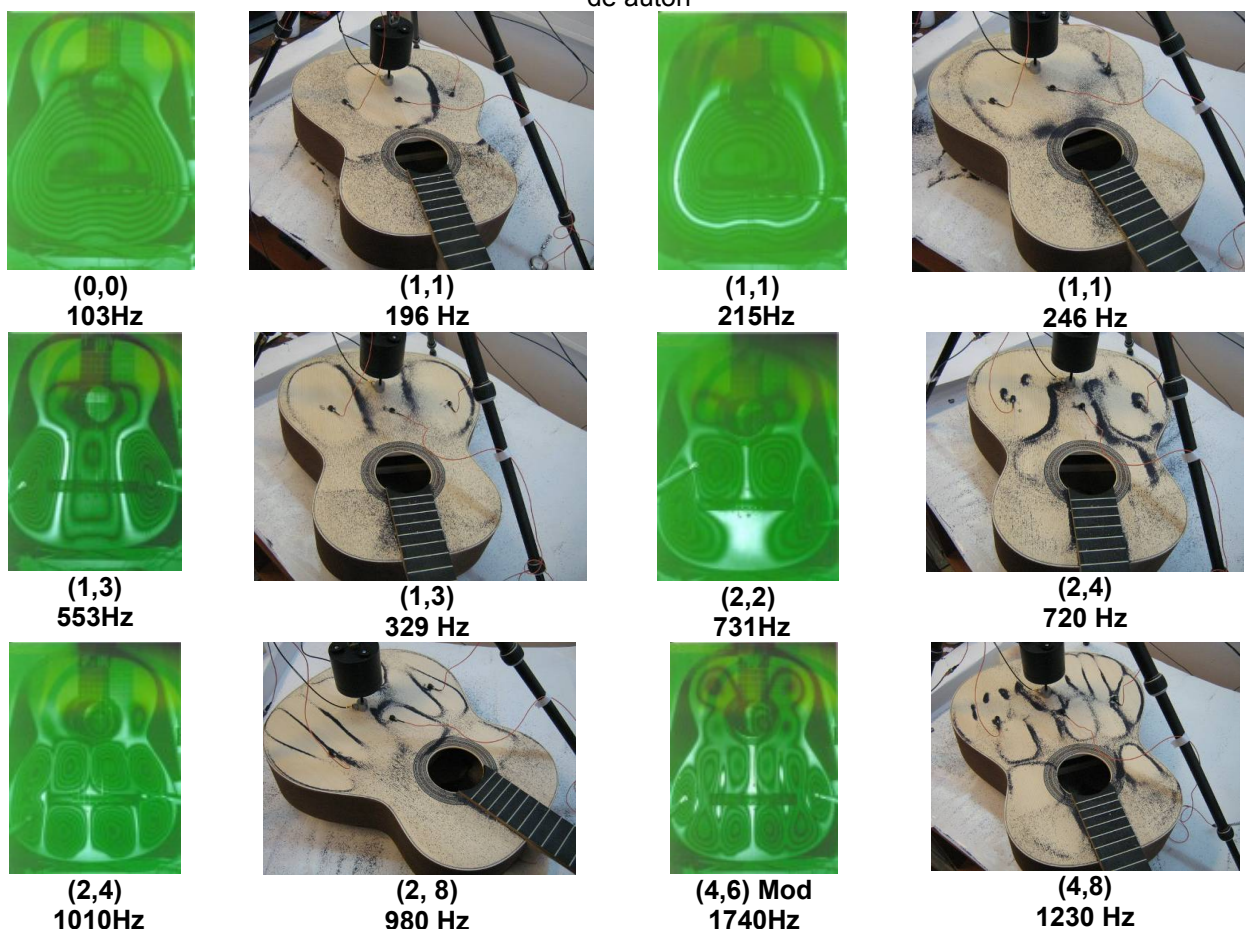
În literatura de specialitate se fac o serie de referințe privind modalitățile de vizualizare a modurilor de vibrație a chitarei sau a plăcilor din construcția chitarei. Comparând figurile Chladni obținute prin metoda interferometriei holografice sau cea cu laser de către echipa de cercetători de la Universitatea din Cardiff, cu cele determinate în laboratorul de Vibrații al Catedrei de RMV din Universitatea Transilvania din Brașov, se constată o *serie de similitudini ale modurilor de vibrații*,

ceea ce confirmă faptul că demersul cercetărilor experimentale realizate este în principiu corect (Tabelul 6.18).

Diferențele încep să apară la frecvențe foarte mari, unde influența tipului de structură, a elementelor existente pe structura de chitară (cordar, corzi etc.) se face resimțită în răspunsul chitarei. Cercetătorii de la Universitatea din Cardiff au determinat modurile proprii de vibrație ale unui tip de chitară – cel luat în studiu de ei, pe când în cercetările efectuate, autorii au obținut aceste modele în urma vibrațiilor forțate întreținute, pe chitara clasică fabricată la noi în țară cu sistemul de 5 bare de rezonanță dispuse radial și 2 transversal.

**Tabelul 6.18.**

Comparații între modurile de vibrație obținute de Richardson (1986) și cele din cadrul cercetărilor efectuate de autori



### **Concluzii privind factorii care influențează formarea modurilor vibratorii**

Prin cercetările experimentale privind determinarea formelor vibratorii ale structurilor din plăci, s-a realizat o analiză critică privind factorii care influențează în mai mare sau mai mică măsură răspunsul dinamic al plăcilor. Astfel, s-a constatat că schimbarea unui parametru (constructiv, funcțional etc.) duce la modificări sensibile ale modurilor de vibrații. Acest studiu este util pentru că oferă informații în legătură cu modul și mărimea influenței fiecărui factor, ajutând proiectanții și fabricanții de chitare să previzioneze comportarea dinamică a instrumentului în



ansamblul său, sub acțiunea cumulată a tuturor factorilor. Totodată, cunoscând aportul elementelor care contribuie sau distorsionează răspunsul dinamic al chitarei, se pot aplica ajustări ale formei și dimensiunilor unor elemente constructive, se pot alege materiale și sortimente de lemn cu calitate superioare, se pot realiza optimizări ale formei și structurii care să ducă în final la îmbunătățirea calității acustice a instrumentului muzical.

### **6.3. Optimizarea formei și structurii plăcilor din componența chitarei**

Demersul investigațiilor teoretice și experimentale au urmărit găsirea relațiilor cauzale între diferiți parametri ce influențează, într-o mai mică sau mai mare măsură, performanțele acustice ale chitarei. Din investigațiile realizate, o concluzie privind optimizarea structurilor de chitară este legată în primul rând de accepțiunea acestui termen. Astfel, în creșterea performanțelor acustice ale chitarei, nu se poate discuta despre o optimizare în sensul propriu-zis, întrucât aceste tipuri de structuri (instrumentele muzicale) prezintă caracteristici distincte, fiind necesară o optimizare specifică structurii, personalizată după caracteristicile acesteia. Astfel, optimizarea chitarei nu se poate reduce la o simplă problemă matematică de optimizare, ci se bazează pe legătura indisolubilă dintre teorie și aplicație. Totuși, în vederea optimizării formei și structurii plăcilor de chitară, s-au analizat elementele constitutive ale problemei de optimizare, respectiv variabilele de proiectare, funcția obiectiv și restricțiile.

Variabilele de proiectare reprezintă grupul de parametri ce pot fi modificați în limitele posibile de schimbare. Acestea se exprimă printr-un vector  $x = (x_1 \ x_2 \ x_3 \ \dots \ x_n)$ . Ele pot lua valori continue sau discrete. În cazul general, se permite ca variabilele de proiectare să aibă o variație continuă, însă din punct de vedere tehnologic, se preferă o variație discretă, într-o listă finită de valori – realizabile tehnologic. Tot o variație discretă se recomandă și în cazul caracteristicilor de material. În studiul de față, variabilele de proiectare  $x$  sunt:

$x_1$  – Grosimea plăcii acustice din structura chitarei;

$x_2$  – Modulul de elasticitate longitudinal;

$x_3$  – Densitatea;

$x_4$  – Modulul de rigiditate;

$x_5$  – Numărul barelor de rigidizare;

$x_6$  – Sistemul de dispunere a barelor.

#### **Funcția obiectiv**

Noțiunea implică existența unei funcții obiectiv  $f(x)$ , care poate fi îmbunătățită ca măsură a eficienței proiectării. În cazul în care există mai multe funcții obiectiv, procedeul se numește optimizare multicriterială. În cazul general, dacă există mai multe funcții obiectiv, acestea se vor reduce prin transformări la o singură funcție obiectiv. Un procedeu intuitiv de reducere a numărului

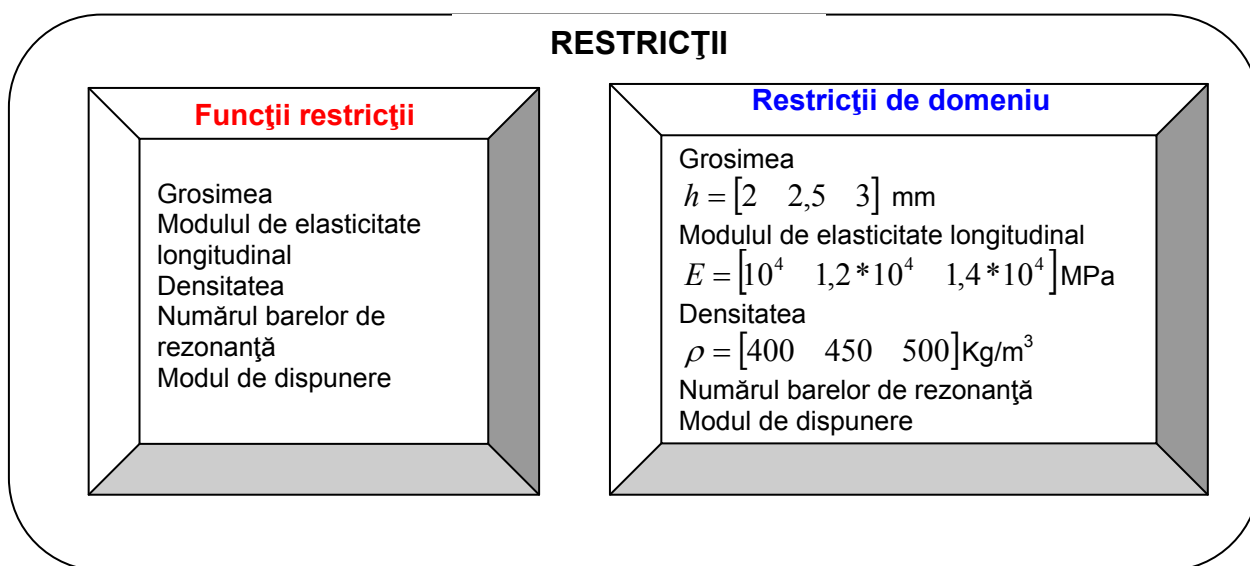
funcțiilor obiectiv este selectarea celor mai importante ca funcție obiectiv, iar celelalte funcții să se transforme în restricții.

Funcția obiectiv este rigidizarea plăcilor de chitară.

### Restricții

În general, restricțiile sunt de două tipuri: funcție restricție și restricție de domeniu impuse variabilelor de proiectare. Funcțiile restricție se referă la mărimile care variază în cadrul modelului; restricțiile de domeniu se referă la limitele în care pot varia variabilele de proiectare.

În cazul particular al implementării optimizării plăcilor de chitară din studiul prezent, s-au adoptat următoarele restricții :



**Fig. 6.54.** Diagrama restricțiilor impuse în procesul de optimizare a structurilor din plăci

*Etape în rezolvarea problemei de optimizare a plăcilor lignocelulozice compozite din structura chitarei clasice*

#### Identificarea și formularea problemei:

- Definirea geometrică;
- Ținând cont de structura și dimensiunile reale ale chitarei, aceasta a fost modelată păstrând dimensiunile de gabarit și forma geometrică de ansamblu – elemente ce intră în categoria restricțiilor;
- Evaluarea tipului și mărimii solicitărilor.

Din punct de vedere mecanic, chitara - poate fi redusă la o structură formată dintr-o bară în consolă reprezentată de gâtul instrumentului și o structură de tip vas cu pereți subțiri reprezentată de cutia acustică. Sistemul de corzi prin intermediul căruia se exercită tensiuni asupra celor două componente este un sistem de fire simple (corzile din nylon) și complexe (corzile din metal – înfășurate similare arcurilor). Cele două structuri (gâtul și cutia) sunt solicitate static de tensiunile din corzile acordate, și dinamic de tensiunile generate de vibrațiile corzilor. Aceste încărcări produc: încovoierea și torsiunea gâtului și plăcii și/sau cutiei sonore a instrumentului având în

vedere următorii factori: modul de dispunere pe cordar a corzilor cu diferite grosimi și din materiale cu proprietăți elastice diferite, eforturile diferite din corzi și variația forței din degete atunci când se dorește schimbarea lungimii de undă prin apăsarea corzii pe tastiera, precum și forțele de excitație care supun structura la solicitări ciclice. Sistemul static este solicitat de forțele de tensionare a corzilor cu valori  $F_{\max}=100$  N care produc momentul de încovoiere  $M_0=F \cdot a$ , unde  $a$  – reprezintă înălțimea cordarului și a prăgușului ( $a=1 \dots 10$  mm).

d. Evaluarea tipurilor de structuri de plăci fabricate la S.C. Hora S.A. Reghin.

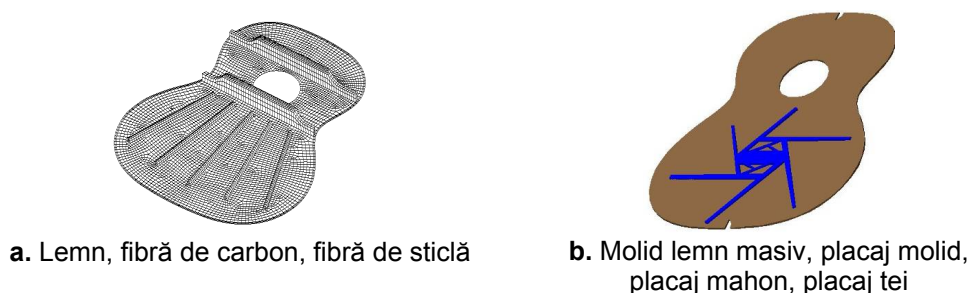
Cercetările teoretice și experimentale întreprinse au evaluat comportarea dinamică a plăcilor din structura cutiei acustice a chitarei. S-au analizat mai multe variante de plăci din punct de vedere al sistemului de bare de rigidizare.

e. Definirea criteriilor de evaluare a mărimilor de răspuns.

S-au investigat următoarele mărimi de răspuns ale optimizării structurale; valorile frecvențelor proprii, modurile de vibrație, amplitudinile și valorile frecvențelor de rezonanță. Criteriile de evaluare a mărimilor de răspuns vor fi stabilite pe baza rezultatelor experimentale și numerice obținute până acum, stabilindu-se o gamă de valori optime față de care structurile optimizate să poată fi clasate astfel: sub limitele intervalului – neconforme, baleiere între limitele optime - optime, peste limitele intervalului optim – neconforme.

f. Selecția topologiei structurii și definirea elementelor de optimizare

În general, se produce o gamă variată de structuri de plăci din componența chitărelor clasice, în concordanță cu renumele firmei (atelierului/fabricii), cu tehnologia de fabricație, cu cererile pieței. Astfel, pentru rezolvarea problemei de optimizare, s-a urmărit pe de o parte păstrarea sistemului de 5 bare radiale și 2 transversale, la care s-a intervenit asupra materialului barelor, prin înlocuirea acestora cu bare din fibră de carbon și fibră de sticlă, iar pe de altă parte, s-a elaborat un nou sistem de rigidizare atât ca formă cât și ca material, bazat pe calcule matematice. Cele două tipuri de sisteme de rigidizare introduse în calcul sunt prezentate în Fig. 6.55. În Fig. 6.55.a, este reprezentată structura cu sistemul de bare tradițional, la care s-a modificat succesiv materialul barelor: lemn (C5BR2T), fibră de sticlă (C5BR2T FS) și fibră de carbon (C5BR2T FC). În Fig. 6.55.b, este reprezentată structura cu o formă nouă a sistemului de rigidizare, model care este realizat din materiale precum: lemn masiv molid (OPT LM), placaj molid (OPT PIMo), placaj mahon (OPT PIMah), placaj tei (OPT PITei).



**Fig. 6.55.** Sisteme de rigidizare optimizate

### Răspunsul dinamic al structurilor optimizate – în domeniul frecvență

Cercetările experimentale, ca și în cazul sistemelor clasice de rigidizare, s-au bazat pe excitarea structurii cu forțe având frecvența de oscilație corespunzătoare valorilor stabilite în strategia de măsurare, iar semnalele de la accelerometre au fost captate, înregistrate și prelucrate cu platforma Pulse. În Fig. 6.56 sunt exemplificate înregistrări din timpul rulării softului de achiziție și prelucrare a semnalului, reprezentând spectrul de putere obținut prin analiza Fourier.

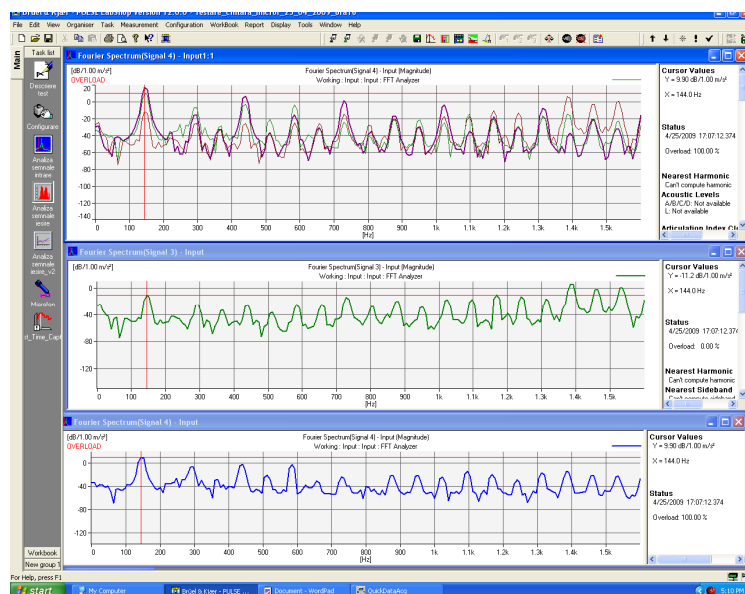


Fig. 6.56. a. Spectrul de putere determinat la frecvența de 146 Hz, în cazul sistemului de rigidizare OPT LM

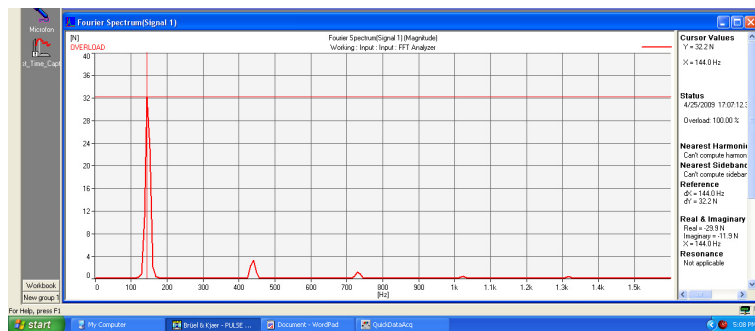


Fig. 6.56. b. Măsurarea intensității forței de excitație, la frecvența de 146 Hz

De pe fiecare înregistrare s-au captat valorile intensității forțelor de excitație, prezentate în Fig. 6.57 și al frecvențelor de rezonanță centralizate în Tabelul 6.19.

În Fig. 6.57 este reprezentată variația forței totale de excitație în raport cu tipul sistemului de rigidizare. Astfel, se constată că cele mai reduse valori ale intensității forței s-au obținut în cazul utilizării fibrei de sticlă ca material pentru sistemul de bare radiale, iar pentru al doilea tip de sistem, structura din placaj de tei.

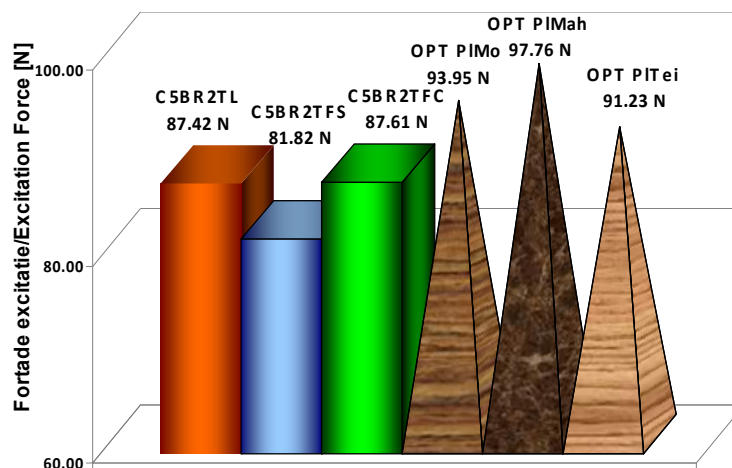


Fig. 6.57. Variația intensității forței de excitație în raport cu tipul sistemului de rigidizare

În Tabelul 6.19 se observă că cele mai multe frecvențe de rezonanță sunt redade de structura rigidizată cu 5 bare radiale din fibră de sticlă.

Tabelul 6.19

Valorile frecvențelor de rezonanță înregistrate pentru structurile optimizate ca formă și material

	C5BR2TL	C5BR2TFS	C5BR2TFC	OPT LM	OPT PIMo	OPT PIMa	OPT PI Tei
	Frecvența de rezonanță FR [Hz]						
1	16	<b>96</b>	56	136	80	80	56
2	24	<b>136</b>	72	240	232	224	120
3	64	<b>176</b>	80	272	400	320	176
4	120	<b>256</b>	280	280	488	328	248
5	128	<b>376</b>	336	360	664	456	256
6	256	<b>400</b>	496	400	672	536	384
7	400	<b>408</b>	776	600	696	688	480
8	408	<b>416</b>	792	832	704	720	576
9	488	<b>424</b>	896	856	712	776	640
10	528	<b>464</b>	904	920	728	880	760
11	536	<b>520</b>	920	928	744	1104	832
12	560	<b>544</b>	1208	968	752	1264	912
13	816	<b>616</b>	1312	1016	776	1352	968
14	832	<b>672</b>	1336	1032	840	1504	1008
15	872	<b>784</b>	-	1280	936	-	1024
16	1112	<b>936</b>	-	-	952	-	1104
17	1264	<b>1040</b>	-	--	1000	-	1208
18	1360	<b>1056</b>	-	-	1112	-	-
19	1488	<b>1072</b>	-	-	1200	-	-
20	-	<b>1144</b>	-	-	-	-	-
21	-	<b>1192</b>	-	-	-	-	-
22	-	<b>1224</b>	-	-	-	-	-
23	-	<b>1320</b>	-	-	-	-	-

Toate structurile, indiferent de forma sistemului de rigidizare sau de material, prezintă numeroase și diverse frecvențe de rezonanță. Stabilirea unei structuri optime nu se poate realiza în mod exhaustiv deoarece în determinările experimentale sau utilizat o serie de ipoteze



simplificatoare pentru evitarea parametrilor aleatori care ar fi putut perturba sistemul și măsurătorile. De aceea, se recomandă ca în cercetările ulterioare, aceste rezultate să fie validate și prin metode acustice, pe structuri finite (chitara cu toate componentele pe care le implică. Există frecvențe comune structurilor, date de forma geometrică a corpurilor de chitară și frecvențe distincte, date de caracteristicile structurale și de material ale corpurilor de chitară analizate.

În Fig. 6.58 sunt redată selectiv variațiile frecvențelor de rezonanță ale sistemelor noi de rigidizare din materialele studiate. Materialele utilizate în construcția sistemului de rigidizare constituie un factor determinant în răspunsul dinamic al structurilor.

Prin compararea cercetărilor experimentale cu cele teoretice (cu FEM), au rezultat graficele din Fig. 6.59, a, b, și c. Și în cazul structurilor optimizate din punct de vedere al materialului barelor, se observă că investigațiile practice au fost în concordanță cu cele teoretice, obținându-se valori apropiate prin cele două metode de cercetare.

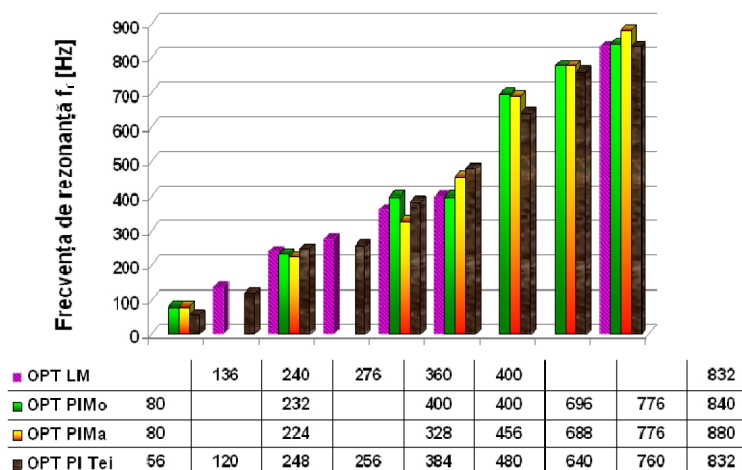


Fig. 6.58. Variația frecvențelor de rezonanță în funcție de materialul sistemului de rigidizare

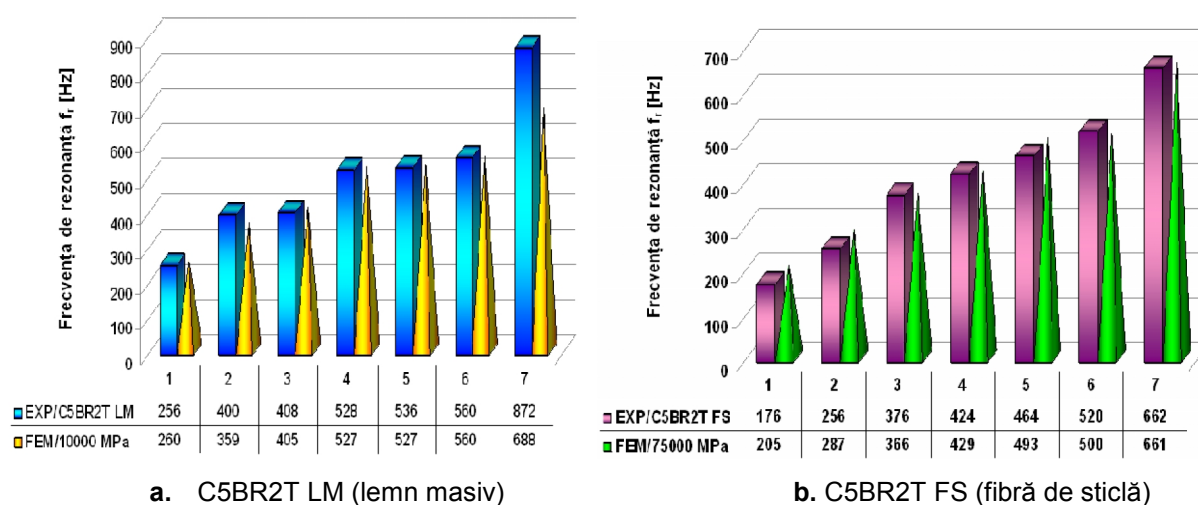
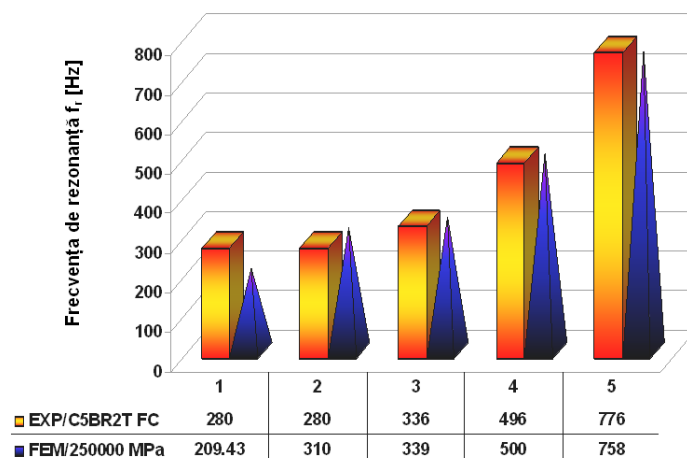


Fig. 6.59. (a și b) Comparații ale frecvențelor de rezonanță obținute cu prin metode numerice și experimentale, în cazul structurilor cu 5 bare radiale din materiale compozite lignocelulozice



C. C5BR2T FC (Fibră de carbon)

**Fig. 6.59. (c)** Comparații ale frecvențelor de rezonanță obținute cu prin metode numerice și experimentale, în cazul structurilor cu 5 bare radiale din materiale compozite lignocelulozice





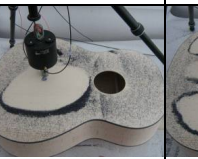

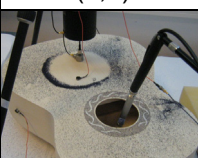
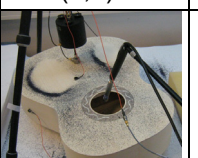
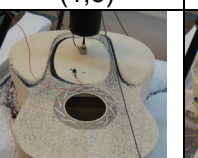
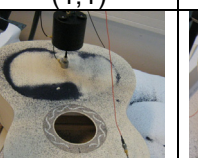
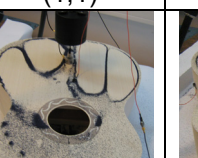
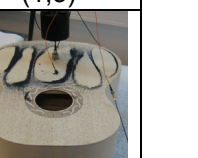
### ***Influența formei sistemului de bare asupra modurilor de vibrație***

În Tabelul 6.20 sunt prezentate comparativ modurile de vibrație ale corpului C5BR2T și cel cu modelul nou de rigidizare, obținute experimental.

Se constată că forma sistemului de rigidizare influențează modurile proprii ale plăcilor de chitară, atât ca formă cât și ca ordine de apariție. Schimbarea formei sistemului de bare – în varianta propusă, produce intrarea în vibrație la frecvențe joase și formarea succesivă a modurilor. Se poate considera că sistemul optimizat prin modificarea formei (OPT XX) prezintă avantaje privind capacitatea sa de vibrație atât la frecvențe joase cât și înalte.

Tabelul 6.20.

Modurile de vibrații ale structurilor optimizate

	82 Hz	110 Hz	146 Hz	196 Hz	246 Hz	329 Hz
C5BR 2T FS C5BR2 T FC	 (1,1)	 (1,1)	 (1,3)	 (1,1)	 (1,1)	 (1,3)
OPT LM	 (1,1)	 (1,2)	 (1,3)	 (1,1)	 (1,4)	 (1,5)

### ***Influența materialului sistemului de bare asupra modurilor vibratorii***

Utilizarea diferitelor materiale pentru sistemul de rigidizare, nu conduce la modificări semnificative ale modurilor proprii e vibrație. Influența acestuia se reflectă în frecvențele de rezonanță.

## 6.4. Concluzii

Cercetările experimentale au relevat pe de o parte factorii care influențează comportarea structurilor din plăci la solicitări ciclice de tipul vibrațiilor armonice, aspecte pe care modelarea numerică sau analitică nu le pot evidenția prin natura algoritmilor și ipotezelor de calcul introduse, iar pe de altă parte au furnizat o serie de date referitoare la frecvențele de rezonanță ale structurilor analizate. În continuare sunt prezentate cele mai importante concluzii, fiecare fiind argumentată prin cercetările experimentale și teoretice. Astfel:

- *Comportarea la vibrații forțate a structurilor din plăci se deosebește de la un tip de cutie la altul. Diferența este dată de contribuția simultană a mai multor factori: speciile lemnoase și caracteristicile elastice ale materialelor din componența fiecărui element în parte (plăci, eclise), tipul de nervurație aplicat pe interiorul plăcii de față, modul de excitare al structurii (contact/non-contact);*
- *Componentele cutiei de chitară răspund diferit la vibrații forțate, fapt pentru care sunetul emis este diferit de cel indus prin excitație. Aceasta are importanță practică pentru că se apropie de fenomenele dezvoltate de vibrațiile corzilor de chitară;*
- *Răspunsul dinamic al cutiilor de chitară diferă substanțial de cel al plăcilor analizate ca structuri individuale;*
- *Varietatea figurilor Chladni în funcție de frecvența de excitație și de structura cutiei acustice (număr și dispunerea barelor de rezonanță) duce la modificări ale modurilor de vibrație (Tabelul 6.17);*
- *La aceeași frecvență, cutiile răspund diferit și datorită frecvențelor proprii ale structurii care sunt mai apropiate sau nu de frecvența de excitație. Frecvențele naturale ale structurii influențează timbrul muzical. Analizele modale realizate au avut ca scop stabilirea acelor parametri care influențează comportarea dinamică a chitarei în vederea optimizării structurii mecanice în concordanță cu obiectivul urmărit;*
- *Răspunsul dinamic al cutiilor de chitară diferă substanțial de cel al plăcilor analizate ca structuri individuale;*
- *Prezența gâtului în structura corpului de chitară produce modificări ale răspunsului dinamic al acesteia, comparativ cu răspunsul cutiei acustice fără gât;*
- *Comportarea la vibrații forțate a structurilor din plăci se deosebește de la un tip de cutie la altul. Diferența este dată de contribuția simultană a mai multor factori: speciile lemnoase și caracteristicile elastice ale materialelor din componența fiecărui element în parte (plăci, eclise), tipul de nervurație aplicat pe interiorul plăcii de față, modul de excitare al structurii (contact/non-contact);*
- *Componentele cutiei de chitară răspund diferit la vibrațiile forțate, fapt pentru care sunetul emis este diferit de cel indus prin excitație;*

- Geometria plăcilor - între plăcile dreptunghiulare și cele cu geometria specifică chitarei, apar diferențe vizibile atât sub forma figurilor Chladni, cât și din punct de vedere al analizei dinamice al răspunsului forțat;
- Condițiile de contur - influențează cu precădere modul de disipare a energiei de vibrație și raportul dintre mărimea de intrare și cea de ieșire;
- Caracteristicile elastice ale materialului plăcilor (specia lemnoasă, sortimentul – placaj, lemn masiv) – se imprimă asupra formării liniilor nodale, asupra răspunsului dinamic la diferite frecvențe și asupra modului de disipare a energiei vibrațiilor;
- Structura (orientarea fibrelor) și anizotropia lemnului – contribuie la creșterea/diminuarea vitezei de propagare a sunetului în lemn, influențând absorbția acustică și capacitatea de a intra în rezonanță la anumite frecvențe de excitație;
- Tipul de excitație utilizat (cu contact/ non-contact) – în cazul real de interpretare muzicală la chitară, intervin simultan ambele tipuri de forme de excitație;
- Lemnul, indiferent de specie prezintă o frecvență proprie și numeroase armonice, fapt ce contribuie la îmbogățirea sunetului muzical;
- Variația coeficientului de amortizare diferă de la specie la specie: cel mai mic înregistrându-se la nuc, iar cel mai mare la carpen;
- Mișcarea de amortizare la vibrații libere se stinge după o curbă exponențială, indiferent de specie. Panta curbei diferă în funcție de specie;
- Cu creșterea modului de elasticitate, deci a rigidității materialului, diferențele dintre valorile obținute experimental și numeric cresc. Explicația constă în aceea că, odată cu creșterea rigidității, energia impulsului trebuie să fie mai mare pentru obținerea aceleași amplitudini;
- Rezultatele teoretice au fost confirmate într-o mare măsură de cele experimentale; cele experimentale sunt reale, pe când celelalte sunt afectate de o serie de ipoteze simplificatoare (forma și densitatea elementelor finite, natura legăturilor mecanice, simplificarea valorilor modulelor de elasticitate, caracteristicile elastice ale lemnului etc.).

În urma cercetărilor teoretice și experimentale au rezultat următoarele valori ai parametrilor optimi ce influențează comportarea vibro-acustică a structurilor din plăci din componența chitarei clasice:

	Parametri vechi	Parametri optimi
Grosimea	$h=2,5...3 \text{ mm}$	$h=2,4...2,8$
Materialul plăcilor	Modulul de elasticitate $E=10000...14000 \text{ MPa}$ $G=4500...5500 \text{ MPa}$ Coeficientul lui Poisson $\nu=0,3...0,4$ $\rho=400...500 \text{ kg/m}^3$	$E=14000 \text{ MPa}$ $G=5000 \text{ MPa}$  $\nu=0,36$ $\rho=500 \text{ kg/m}^3$
Sistemul de bare	Sistemul cu 5 bare radiale, Materialul barelor din lemn Sisteme tradiționale	Sistemul cu 5 bare radiale, Materialul barelor din fibră de sticlă Sistemul OPT PI Mah

# 7

## CONCLUZII ȘI DIRECȚII VIITOARE DE CERCETARE ÎN DINAMICA STRUCTURII CHITAREI CLASICE

Studiul privind optimizarea formei și structurii plăcilor lignocelulozice din componența corpului de chitară a avut ca scop stabilirea, prin cercetări teoretice și experimentale, a legăturilor cauzale privind factorii care influențează comportarea structurilor din plăci la solicitări ciclice de tipul vibrațiilor armonice.

### 7.1. Concluzii

#### 7.1.1. Concluziile privind chitara ca structură, sistem funcțional și istoric

- ✚ Chitara constituie un sistem complex, atât din punct de vedere constructiv cât și funcțional, necesitând precizie de execuție, materiale de calitate și ulterior condiții de utilizare potrivite;
- ✚ Principiul constructiv și funcțional al chitarei este unul din cele mai vechi și răspândite din întreaga lume, chitara în forma ei veche regăsindu-se simultan pe continentul asiatic, european și african în diferite perioade istorice și traversând timpul până în zilele noastre;
- ✚ Sfârșitul secolului al XIX – lea constituie perioada de „revoluție” a chitarei clasice din punct de vedere constructiv, acustic și muzical;
- ✚ Dacă de-a lungul istoriei se constată că din triada design – funcționalitate – acustică – ce guvernează chitara ca instrument muzical, a fost accentuată una dintre componente, în prezent, conceptul asupra chitarei vizează echilibrul dintre design – funcționalitate și acustică a instrumentului;
- ✚ Preocupările privind corelația dintre formă – dimensiuni – structură – materiale și performanță acustică au existat în forme intuitive începând cu perioada barocă, continuând și astăzi la un alt nivel de abordare și înțelegere – științific și tehnologic;
- ✚ În România există o tradiție de peste 50 ani în fabricarea instrumentelor muzicale în sistem industrializat și organizat, reprezentată de fabrica S.C. Hora S.A. România, singura fabrică de instrumente muzicale din Europa.

#### 7.1.2. Concluziile stadiului actual al cercetărilor teoretice și experimentale privind structura, funcționarea și factorii de calitate a chitarei clasice

În cadrul capitolului vizând stadiul actual al cercetărilor, s-a realizat o sinteză a studiilor și a cercetărilor din domeniul interdisciplinar al structurilor din plăci din componența instrumentelor



muzicale cu corzi, cu referire la chitara clasică. Astfel, în urma documentării și informării prin metode clasice și moderne, s-a constatat că:

- ✚ cercetările privind structura și funcționarea mecanică și dinamică a chitarei este inexistentă în literatura de specialitate românească. Totuși, în anii '80 au existat preocupări științifice privind mecanica și dinamica plăcilor și corpurilor de vioară, a căror construcție și mod de funcționare este similară cu cea a chitarei;
- ✚ există o deosebită preocupare pe plan internațional privind cercetările ce au ca obiect de studiu chitara, sub toate formele ei. Plecând de la aceste premise, s-a studiat comparativ munca desfășurată de alți cercetători, mare parte dintre acestea fiind prezentate sintetic în capitolul mai sus menționat.

### **7.1.3. Concluziile privind modelarea analitică și numerică a structurilor din plăci din componența chitarei**

Acest capitol constituie una din provocările științifice ale lucrării, având în vedere faptul că plăcile și corpul de chitară constituie structuri complexe care sunt supuse simultan mai multor modelări matematice. Apoi, funcționarea chitarei, respectiv solicitările complexe care apar la acest tip de structură au trebuit să fie analizate atât separat pentru a stabili proporția și modul în care ele intervin în funcționarea chitarei, cât și analizate corelat, pentru a stabili influențele cumulative ale acționării simultane a acestor solicitări.

Deși s-a studiat deja modelul matematic al chitarei, acesta implică însă aspectele generale privind structura chitarei. Datorită diversității tipurilor de plăci, nervurații și materiale utilizate în construcția chitarei, a fost necesară elaborarea unor modele numerice particularizate pe tipuri de structuri. Modelarea și analiza dinamică a plăcilor și structurilor din plăci a fost realizată atât pentru tipuri și structuri diferite de plăci, cât și pentru materiale cu caracteristici diferite. Matricea parametrilor utilizați a condus la o bază de modele și rezultate care au fost prezentate în capitolul privind cercetările teoretice. Avantajele metodei numerice de cercetare au fost pe de o parte posibilitatea modelării unei game largi și variate de tipuri de structuri, iar pe de altă parte înțelegerea factorilor de influență prin aplicarea unor problematizări și rezolvarea lor prin modelare. Astfel, metoda elementelor finite aplicată structurilor din plăci a relevat valori ale analizei modale și a răspunsului în frecvență comparabile cu cele din literatura de specialitate.

Din calculele prin metoda analitică privind vibrațiile plăcilor lignocelulozice compozite, au rezultat următoarele:

- ✚ Influența densității asupra vitezei de propagare a sunetului în direcție longitudinală: viteza de transmitere a vibrațiilor în lemn în direcție longitudinală crește cu 15-16% o dată cu scăderea densității lemnului cu 30% (Fig. 5.18, a și b);

- ✚ Influența modulului de elasticitate longitudinal în direcție longitudinală asupra vitezei de propagare: creșterea modulului de elasticitate longitudinal ( $E$ ) cu 28-30% duce la creșterea vitezei sunetului în lemn în direcție longitudinală cu 15 % (Fig. 5.18, a și b);
- ✚ Pentru atingerea unei viteze optime de propagare a undelor în lemn, materialul trebuie să se caracterizeze prin densitate redusă ( $300\ldots 450 \text{ kg/m}^3$ ) și modulul de elasticitate longitudinal ridicat (peste 12000 MPa);
- ✚ Frecvența proprie este influențată de dimensiunile plăcilor (grosime, lățime, lungime). Pentru aceeași grosime și lungime a plăcilor, creșterea lățimii plăcii cu 35% duce la scăderea frecvenței fundamentale cu 45 % (Fig. 5.19, a...d);
- ✚ Dublarea grosimii plăcii produce creșterea proporțională a frecvenței fundamentale, indiferent de tipul și structura plăcii, concluzie rezultată atât din modelarea analitică (Fig. 5.19), cât și numerică (Fig. 5.25). Unul din criteriile de calitate acustică îl reprezintă frecvența fundamentală a plăcii de chitară: cu cât frecvența e mai joasă, cu atât se consideră că placa și întreaga structură pot intra în rezonanță la frecvența bas a corzii MI (82,4 Hz); De aici rezultă necesitatea ca plăcile să aibă grosimi foarte mici.
- ✚ Modurile de vibrație se diferențiază de la o structură la alta datorită în special modulului de dispunere al barelor decât numărului acestora. Din acest punct de vedere, după configurația modurilor proprii, plăcile analizate cu FEM se împart în trei categorii: grupa 1 (Fig. 5.29...5.32) – plăcile simple, cu și fără gaură acustică și cele cu nervuri radiale, grupa a II-a (Fig. 5.33) – plăcile numai cu bare transversale, grupa a III-a – plăcile cu bare transversale și radiale (Fig. 5.34...5.38). Barele transversale influențează hotărâtor ordinea de formare a modurilor proprii.
- ✚ Modulul de elasticitate longitudinal influențează mărimea amplitudinilor de vibrație și valoarea frecvenței de rezonanță a plăcii: frecvențele de rezonanță scad cu aproximativ 10%, iar amplitudinile se înjumătățesc odată cu micșorarea modulului de elasticitate longitudinal cu aproximativ 14% - Fig. 5.43 și Fig. 5.47;
- ✚ Între mărimea intensității forței de excitație și cea a amplitudinilor există ca relație proporțională: creșterea cu 20% a intensității forței de excitație produce creșterea cu 20% a amplitudinilor de vibrație, frecvența de rezonanță rămânând constantă (Fig. 5.44);
- ✚ Între coeficientul de amortizare al materialului plăcii de chitară și amplitudinea vibrațiilor există o relație invers proporțională: creșterea valorii coeficientului de amortizare al materialului plăcii produce scăderea amplitudinilor de vibrație, frecvența de rezonanță rămânând neschimbată (Fig. 5.45);
- ✚ Rigidizarea plăcii cu nervurații duce la scăderea frecvenței de rezonanță cu aproximativ 25% și creșterea amplitudinilor tot cu 25% (Fig. 5.46).
- ✚ Barele transversale de rigidizare influențează modurile proprii atât ale plăcilor ca structuri individuale, cât și ale corpurilor de chitară;

- ✚ Modurile proprii ale structurilor din plăci (corpuri de chitară) se deosebesc de cele ale plăcilor individuale cu creșterea frecvenței (Tabelul 5.9). La cutiile formate din plăci cu nervurații combinate din punct de vedere al modului de dispunere (radial – transversal – oblic (C3BR2T.....C7BR2V)), ordinea de apariție a modurilor 3 și 4 este inversă decât în cazul cutiilor simple sau al celor cu sistemul de 3 bare transversale, fenomen similar observat și la plăci;
- ✚ Între modurile de vibrație ale plăcii de față și cele ale spatelui din structura corpului de chitară apar diferențe din punct de vedere al formei și extensiei zonelor vibratorii (Tabelul 5.9);
- ✚ Răspunsul dinamic al structurilor din plăci este mult mai complex decât al plăcilor individuale, observându-se interacțiunea dintre părțile componente: vibrațiile în fază și antifază ale plăcilor de față și spate (Fig. 5.55 și 5.56);
- ✚ Cu creșterea gradului de rigidizare, plăcile din structura corpului de chitară ajung să vibreze în antifază, la moduri și frecvențe mai mici (Fig. 5.56); această mișcare a plăcilor este cunoscută în literatura de specialitate și sub denumirea de mod de respirație;
- ✚ Creșterea densității materialelor plăcilor din structura corpului de chitară (cu 20%) duce la scăderea valorilor frecvenței fundamentale cu 10%, iar creșterea modulului de elasticitate longitudinal cu 30% duce la creșterea frecvențelor proprii cu 15%. Această lege de variație are caracter general pentru toate tipurile de sisteme de rigidizare a structurilor din plăci (Fig. 5.51..... 5.54);
- ✚ În cazul structurilor din plăci, sistemul de bare transversale produce creșterea frecvențelor proprii cu aproximativ 13%, comparativ cu structura formată numai din plăci simple fără nervurații; frecvențele proprii ale cutiilor cu nervurații prezintă variații de maxim 4% pentru un număr maxim de 7 bare de rezonanță și 2 transversale de rigidizare. Peste acest număr de bare, se înregistrează un salt al frecvenței cu aproximativ 23% față de valoarea minimă;
- ✚ Materialul barelor de rezonanță influențează mărimea, aspectul, dispunerea și ordinea de formare a modurilor de vibrație ale plăcii de spate din structura corpului de chitară (Tabelul 5.11);
- ✚ Prima frecvență de rezonanță este identică atât pentru fața cât și pentru spatele de chitară; lateralele (eclise) încep să rezoneze la frecvențe mai înalte decât celelalte părți (Fig. 5.61). Amplitudinile vibrațiilor plăcii de spate sunt de 4 ori mai reduse decât ale feței (Fig. 5.60, b);
- ✚ Mărimea amplitudinilor de vibrație ale plăcilor integrate în corpul de chitară scade cu creșterea gradului de rigidizare a plăcilor, spre deosebire de plăcile individuale, unde tendința era inversă (Fig.5.62);

- ✚ Cu cât crește gradul de complexitate al structurii din plăci (de la placa simplă, individuală la corpul cu gât), cu atât frecvențele proprii înregistrează valori mai mici (Fig. 5.70 - 5.74);
- ✚ Primele moduri proprii, în cazul corpului de chitară cu gât, sunt produse de vibrațiile gâtului; acesta are o comportare similară unei grinzi încastrate la un capăt (Tabelul 5.13, Fig. 5.67...5.69);
- ✚ Din analiza comparativă cu literatura de specialitate, s-a constatat că rezultatele obținute sunt similare atât din punct de vedere al modurilor proprii de vibrație cât și al valorilor frecvențelor. Există o paletă largă de valori ale frecvențelor proprii obținute de cercetători, diferențele fiind determinate de tipul structurii analizate, parametrii introduși în calculul analitic sau numeric utilizat, de tipul softului de modelare, a tipului de elemente finite utilizate ș.a (Tabelul 5.14, 5.15, Fig. 5.76);
- ✚ Rezultatele obținute în cazul plăcii simple analizate cu FEM prezintă o diferență de 0,4% față de Becache (2005) (Tabelul 5.16, 5.17);
- ✚ În cazul modelării chitarei cu 7 bare radiale, rezultatele obținute cu FEM prezintă o abatere de 1% față de cele obținute de Walker (1992) și de 5,4% față de cele determinate de Torres pe chitara cu 7 bare radiale și 2 oblice (Fig. 5.77, Tabelul 5.18);
- ✚ Modelul de bare nou propus și analizat cu FEM a dus la rezultate apropiate de cele ale lui Becache (2004) realizate pe chitara clasică – abaterea fiind de 5%, față de Derveaux (2003) pe chitara clasică, abaterea de 0%, și 10% față de investigațiile experimentale ale lui Richardson (1982), și de 6,8% față de Vladimirovici (2004) cu FEM (Tabelul 5.18).

#### **7.1.4. Concluzii ale cercetării experimentale privind caracteristicile mecanice, elastice și acustice ale structurilor din plăci din componența chitarei clasice**

Configurația geometrică complexă a modelului corpului de chitară, anizotropia lemnului și compozitelor lignocelulozice, diversitatea sistemului de rigidizare a plăcilor, au impus în cadrul investigațiilor teoretice anumite ipoteze și limite de cercetare, respectiv de simulare a fenomenelor reale. De aceea, cercetările experimentale au constituit o urmare firească a amplului studiu realizat de autori. Nici în acest domeniu demersul nu a fost ușor, atât din lipsa unor normative standardizate privind procedurile de măsurare a chitarelor, cât și din considerente tehnice. Studiind metodele de investigare experimentală utilizate de alți cercetători, analizând posibilitățile reale ale aparaturii și dotării din laboratorul catedrei de Rezistența Materialelor și Vibrații, păstrând o permanentă colaborare cu fabrica de instrumente muzicale S.C. Hora S.A., s-a elaborat o metodă de lucru care a dus la obținerea unor rezultate relevante, comparabile cu literatura de specialitate, privind factorii care influențează comportarea dinamică a structurilor din plăci.

Investigațiile experimentale au condus la următoarele concluzii:

- ✚ Standurile experimentale, alegerea metodelor și echipamentelor de testare au fost adecvate tipurilor de structuri testate (Fig. 6.2, 6.19, 6.20, 6.21). Pentru aceasta s-a

consultat atât literatura de specialitate, standardele existente în domeniul vibrațiilor și acusticii, cât și specialiști din domeniu – reprezentanții firmei B&K, cadre didactice, ingineri tehnologi. Etapa propriu-zisă a investigațiilor experimentale a fost precedată de o etapă de tatonare și testare în vederea stabilirii strategiei corecte de măsurare, având în vedere particularitățile structurilor din plăci realizate din materiale lignocelulozice compozite;

- ✚ Înaintea efectuării testelor, aparatele și echipamentele de testate au fost calibrate;
- ✚ Pentru obținerea unor rezultate corecte, obiective și concludente, s-au utilizat aceeași parametri de intrare în sistemul de măsurare (Tabelul 6.2);
- ✚ Valorile decrementului logaritmic și a frecvențelor proprii pentru speciile din structura plăcilor de chitară sunt similare cu cele determinate de cercetători din domeniu, precum și cu cele obținute cu FEM (Fig. 6.14..6.17);
- ✚ Caracteristicile acustice ale speciilor lemnoase influențează comportarea dinamică a plăcilor, atât din punct de vedere al modurilor de vibrație, cât și al răspunsului în domeniul frecvenței (Fig. 6.50, 6.51);
- ✚ La aceeași frecvență de excitație, structurile răspund diferit în funcție de o serie de factori: formă, condiții de contur, material, structură, grad de complexitate. În acest sens, cercetările s-au focalizat pe factorii de influență ai comportării dinamice a structurilor din plăci;
- ✚ Condițiile de contur ale plăcilor influențează configurația modurilor de vibrație și ordinea de apariție a acestora (Tabelul 6.11);
- ✚ În cazul plăcilor individuale, harta liniilor nodale are aceeași alură la toate structurile analizate, indiferent de sistemul de bare. Diferențele mici care apar constau în grosimea și claritatea liniilor nodale, acestea fiind particularizate de la o structură la alta. Liniile nodale tind să se stabilizeze după poziția barelor pe placă. Se remarcă faptul că diferențele date de sistemul de bare se reflectă mai ales în ordinea apariției formelor vibratorii (Tabelul 6.15);
- ✚ La frecvențe joase, comportarea plăcilor, corpurilor de chitară cu gât și fără gât nu depinde de structura de nervurații; acestea influențează modurile superioare de vibrație (Tabelul 6.15, 6.16, 6.17);
- ✚ Rigidizarea structurilor prin adăugirea de noi elemente (bare, pereți laterali și spate, gât) produce scăderea frecvențelor de rezonanță și a apariției modurilor de vibrație (Tabelul 6.16);
- ✚ Modurile de vibrație ale plăcii de spate sunt diferite de cele ale plăcii de față, atât ca formă cât și ca număr de ventre de amplitudine. La frecvențe joase, formele vibratorii ale spatelui sunt aproape identice cu cele ale plăcii de față; la frecvențe medii spre înalte se constată un defazaj între cele două plăci: spatele vibrează la un mod de vibrație inferior comparativ



cu placa de față și pe direcție perpendiculară, iar la frecvențe foarte înalte, spatele vibrează la fel ca și fața (Tabelul 6.17);

- ✚ Între forma forței de excitație și forma răspunsului structurilor există o relație liniară: la o excitație armonică, plăcile răspund armonic, indiferent de structură, specie, grad de complexitate (Fig. 6.23...6.29);
- ✚ Amplitudinile vibrațiilor sunt mai mari cu creșterea gradului de complexitate al structurii (Fig. 6.28);
- ✚ Pentru structurile complexe de tipul cutiilor din plăci, apar fenomene vibratorii complexe – mișcarea în fază și antifază a plăcilor, la diferite moduri și frecvențe. Corpul de chitară se comportă ca un rezonator de tip Helmholtz. Vibrațiile feței și a spatelui în fază și antifază au loc la frecvențe diferite în funcție de sistemul de rigidizare a plăcilor din componența corpului de chitară (Fig. 6.32 ...6.34);
- ✚ Între semnalul de intrare și cel de ieșire se înregistrează un defazaj dat de caracteristicile materialului plăcilor și de viteza de propagare a undelor în lemn (Fig. 6.30). Pe baza acestor studii se pot determina vitezele de propagare a undelor în lemn pe diferite direcții;
- ✚ Intensitatea forței dinamice trebuie să fie diferită de la o structură la alta, în funcție de sistemul de bare și de complexitate (Fig. 6.48 și Tabelul 6.5);
- ✚ Structurile din plăci - corpurile de chitară prezintă o gamă largă de frecvențe de rezonanță (Tabelul 6.6). O parte din valorile obținute experimental se apropie de valorile determinate prin modelare numerică, ceea ce validează modelul matematic obținut prin FEM, caracteristicile și condițiile de frontieră impuse în modelare (Fig. 6.49);
- ✚ Optimizarea plăcilor de chitară implică studierea uneia dintre variabilele de proiectare. În carte sunt prezentate studiile inițiale de optimizare prin analiza comparativă a două tipuri de variabile de proiectare: schimbarea materialului barelor de rezonanță (cele radiale) cu materiale de rigiditate mai mare și pe de altă parte schimbarea sistemului de bare într-o formă nouă, bazată pe cerințele de rigidizare a plăcii de față, rezultatele conducând fie la păstrarea sistemului tradițional de bare, dar din materiale lemnoase sau compozite cu modul de elasticitate ridicat, fie la introducerea unui nou sistem de rigidizare obținut din lemn masiv sau materiale lignocelulozice compozite.

## 7.2. Aspecte personale și originale

Contribuția la dezvoltarea cunoașterii științifice poate fi evaluată prin aportul pe care autorii și l-au adus din diferite perspective ale cercetării științifice. Acestea sunt grupate în:

### a. Aspecte cu caracter de sinteză:

- Sinteza investigațiilor științifice naționale și internaționale în domeniul de cercetare;
- Definirea corectă științific a termenilor specifici staticii și dinamicii plăcilor anizotrope și a termenilor specifici instrumentelor și acusticii muzicale;

- Stabilirea corespondentei între terminologia românească și cea din limbile de largă circulație internațională;
- Stabilirea relațiilor cauzale între particularitățile molidului de rezonanță românesc din nordul Carpaților Orientali (Ocoalele Silvice Moldovița și Tomnatic) și particularitățile constructive ale plăcilor din structura instrumentelor muzicale bazate pe cercetări teoretice și experimentale;
- Compararea caracteristicilor elastice și acustice ale speciilor lemnoase românești (molid, brad, paltin creț, nuc) cu cele ale speciilor străine;
- Crearea unei baze de date privind comportarea la solicitări ciclice a plăcilor subțiri lignocelulozice compozite.

**b. Aspecte cu caracter teoretic și experimental:**

- Modelarea analitică și numerică a structurilor din plăci și a elementelor lor constructive specifice procesului de fabricație românesc;
- Modelarea și simularea comportării dinamice a plăcilor din diferite materiale cu proprietăți elastice diferite și stabilirea relațiilor cauzale dintre acestea și răspunsul dinamic al plăcilor;
- Modelarea și simularea comportării dinamice a plăcilor și structurilor din plăci de complexitate și diversitate mare pe cale teoretică și experimentală cu procedee moderne;
- Utilizarea analizei comparative a rezultatelor prin metode diferite de investigare;
- Stabilirea corelațiilor dintre diferiți factori ce influențează răspunsul plăcilor anizotrope ortotrope la solicitări ciclice armonice prin cercetări experimentale și numerice;
- Proiectarea, execuția, testarea și utilizarea standurilor experimentale adecvate studierii caracteristicilor acustice ale structurilor existente;
- Optimizarea structurilor studiate în vederea creșterii performanțelor acustice ale instrumentelor muzicale;
- Execuția efectivă a unor modele experimentale optimizate;
- Testarea și validarea modelelor optimizate;
- Corelarea mărimilor caracteristice din domeniul acusticii și dinamicii cu semnificația și terminologia din teoria muzicii.

**c. Aspecte cu caracter științific - curricular:**

- Elaborarea rapoartelor de cercetare științifică din cadrul programului de cercetare la doctorat;
- Finalizarea tezei de doctorat;
- Propuneri de capitole de curs de acustica lemnului și materialelor compozite lignocelulozice;
- Colaborarea la coordonarea unor proiecte de diplomă ale absolvenților de la specializările de Inginerie Mecanică și Ingineria Lemnului;

- Conducerea, administrarea și rezolvarea temei contractului de cercetare științifică CNCSIS tip TD 182/2007 al cărui director de program a fost autoarea;
- Colaborarea la rezolvarea unor probleme din contracte științifice de cercetare: CEEEX 49-2006 – RoLight, PNII 17-016/ 2007- MODIS ș.a., coordonate de autor.

#### **d. Contribuții cu impact socio-economic**

- Dezvoltarea de legături cu potențiali beneficiari;
- Implementarea unor noi materiale lignocelulozice cu proprietăți acustice similare lemnului de rezonanță, în vederea îmbunătățirii producției și scăderii costurilor de fabricație;
- Optimizarea structurilor din componența instrumentelor muzicale cu corzi fabricate la noi în țară prin transfer tehnologic.

### **7.3. Elemente de noutate a cărții**

Noutatea lucrării constă în:

- Tematica și obiectul investigațiilor teoretice și experimentale - la noi în țară nemaieexistând o astfel de abordare, atât din punct de vedere al obiectului de studiu – corpurile de chitară clasică, cât și ca metodologie și echipamente;
- Studiarea comparativă a structurilor din plăci de chitară cu sisteme de nervurații diferite, precum și studiarea structurilor cu grade diferite de complexitate (plăci, corpuri, chitare) atât prin metode numerice cât și experimentale, cercetări care atât în țară, cât și pe plan internațional constituie un element de noutate. Studiile internaționale din literatura de specialitate sunt disparate din punct de vedere al configurațiilor geometrice și structurale ale plăcilor, cutiilor sau chitarelor studiate;
- Metodele moderne de cercetare bazate pe softuri și echipamente de ultimă generație;
- Studiarea factorilor de influență (caracteristicile elastice, fizice, acustice și dinamice ale materialelor, geometria și dimensiunile structurilor și elementelor componente, numărul și modul de dispunere a nervurațiilor plăcilor, condiții de frontieră ș.a.) asupra comportării dinamice a structurilor investigate;
- Investigații teoretice și experimentale privind utilizarea materialelor compozite – fibra de carbon și sticlă în construcția sistemului de rigidizare al plăcilor de chitară;
- Studii preliminare privind o nouă viziune asupra formei sistemului de rigidizare bazat pe proporția de aur.

### **7.4. Utilitatea rezultatelor cercetării**

Rezultatele cercetărilor prezintă utilitate științifică, didactică și mai ales tehnologică, acestea fiind relevate atât de contribuțiile aduse, cât și de următoarele aspecte:

- Din punct de vedere *științific*, acestea aduc un aport deosebit în domeniul cunoașterii fundamentale, prin dezvoltarea și aprofundarea cercetărilor referitoare la comportarea dinamică a plăcilor subțiri din materiale lignocelulozice compozite, studiate atât ca structuri individuale de complexități diferite cât și ca structuri integrate în subansamble;
- Din punct de vedere *didactic*, prezintă interes și utilitate atât rezultatele în sine, cât mai ales metodele și procedurile de investigare aplicate. Astfel, anumite subcapitole din carte pot fi valorificate ca teme de laborator pentru studierea caracteristicilor lemnului și a altor materiale ușoare prin metoda ciocanului de impact, pentru studierea și înțelegerea formelor vibratorii ale structurilor, a răspunsului în domeniu timp și frecvență a plăcilor, studierea efectelor condițiilor de contur asupra comportării dinamice a structurilor;
- Din punct de vedere *tehnologic*, cercetările aduc atât o fundamentare științifică a cunoștințelor acumulate prin experiența practică, cât și o bază de date și modele cu ajutorul cărora se pot studia alte aspecte tehnologice în vederea îmbunătățirii proceselor și diminuarea erorilor de fabricație. Modelele propuse ca structuri optimizate deschid o nouă perspectivă de abordare tehnologică a produselor, rezultatele confirmând viabilitatea lor.

## **7.5. Direcții viitoare de cercetare**

Cercetările din cadrul cărții ***Dinamica structurii chitarei clasice*** au deschis drumul unui nou domeniu de investigație teoretică și experimentală – cel al instrumentelor muzicale de fabricație românească.

Deși în cadrul acestor cercetări s-au abordat numeroase aspecte, au rămas neexplorate sau insuficient investigate o serie de elemente care se pot constitui în probleme viitoare de investigații, cum ar fi: studierea prin metode numerice și experimentale ale unui singur tip de structură din punct de vedere al sistemului de bare, de la placă până la produsul finit; studierea influenței peliculei de lac (a finisajului în general) asupra calității acustice a chitarei; studierea chitarei cu corzi; studierea fenomenelor reologice și de oboseală care apar în funcționarea chitarei; investigații experimentale pe componenta acustică a chitarei; crearea unui standard de referință în evaluarea acustică a chitarei clasice, prin colaborare internațională și cercetare statistică; studierea speciilor lemnoase din componența gâtului de chitară din punct de vedere al stabilității în timp la solicitări ciclice variabile; studierea timbrului chitarelor în funcție de speciile lemnoase din componența corpului de chitară – cercetare statistică; studierea fenomenelor termice care apar în timpul cântatului în urma interacțiunii corpului uman cu corpul de chitară și influența asupra caracteristicilor acustice ale chitarei; studierea memoriei lemnului din componența instrumentelor muzicale ș.a.

## BIBLIOGRAFIE

### A

- A1 Alămoreanu, E., Constantinescu, D. M. (2005). Proiectarea plăcilor compozite laminate. Ed. Academiei Române, București, p. 11-30;
- A2 Alm, Jeremy F., Walker, James, S. (2002). Time-Frequency Analysis of Musical Instruments. In Society for Industrial and Applied Mathematics Vol. 44, No. 3, pp. 457–476;

### B

- B1 Bader, R. (2005). Computational Mechanics of the Classical guitar. Springer Verlag Berlin Heidelberg, ISBN 10-3-549-25136-7
- B2 Balcu, I. (1996). Vibrațiile sistemelor mecanice. Ed. Lux Libris, Brașov;
- B3 Barbu, M. (1999). Materiale compozite din lemn. Ed. Lux Libris, Brașov;
- B4 Bécache, E., Chaigne, A., Derveaux, G., Joly, P. (2005). Numerical Simulation of a Guitar. In Computers and Structures 83, p.107–126, [www.elsevier.com/locate/compstruc](http://www.elsevier.com/locate/compstruc);
- B5 Beldeanu, E. (2001). Produse forestiere și studiul lemnului I, Ediția a II a, Editura Universității Transilvania din Brașov;
- B6 Beldeanu, E., Pescăruș, P. (1996). Research on The Acoustic Quality Classeso Resonance Spruce Wood of Romania. In Proceedings of 10<sup>th</sup> International Symposium on Nondistructive Testing of Wood;
- B7 Beldeanu, E., Pescăruș, P. (1992). Researches on Some Spruce Resonance Wood Traits. In Bulletin of the Transilvania University of Brașov, Series B I Silviculture, Vol. XXXIV;
- B8 Beldie, I. P. (1965). Determinarea frecvențelor proprii ale plăcii viorii, în vederea acordării acestora. În Rev. Industria Lemnului, nr. 4;
- B9 Benade, A. H. (1975). The Wolf Tone in Violin Family Instruments. In Catgut Acoustical Society Newsletter, 24;
- B10 Besnainou, C. (2000). Introduction To the Use of Composite Materials in Musical Instruments. In Catgut Acoustic Society Journal 4(2):9-10;
- B11 Bratu, P. (2000). Vibrațiile sistemelor elastice. Ed. Tehnica, Bucuresti;
- B12 Brooke, M. (1992). Modeling Guitar Radiation Fields Using the Boundary Element Method. PhD Thesis, University of Wales College of Cardiff;
- B13 Bucur, V. (2006). Acoustic of Wood. Springer-Verlag Berlin Heidelberg New York, ISBN-13 978-3-540-26123-0, p.173-216;
- B14 Buzdugan, Gh., Fetcu, L., Rades, M. (1979). Vibrații mecanice. Ed. Didactică și Pedagogică, Bucuresti;

### C

- C1 Caldersmith, G. W. (1976). Low Range Guitar Function and Design. Catgut Acoustical Society Newsletter, 27, 19-25;
- C2 Caldersmith, G. W. (1978). Guitar as a Reex Enclosure. J. Acoustical Society of America, 63 (5), 1566-1575ș
- C3 Caldersmith, G. W. (1981). Physics at the Workbench of the Luthier. In Catgut Acoustical Society Newsletter 35, 15;
- C4 Caldersmith, G. W. (1985). Radiation from Lower Guitar Modes. In American Lutherie (Quart. J. Guild of American Luthiers), 2 (Summer '85), 20-24;
- C5 Caldersmith, G. W. (1986). Vibration Geometry and Radiation Fields in Acoustic Guitars. In Acoustics Australia, 14 (2), 47-52;
- C6 Caldersmith G. W., Williams J. (1986). Meet Greg Smallman. In American lutherie (Quart. J. Guild of American Luthiers), 8 (Winter '86), 30-34;



- C6 Cerbu, C., Curtu, I. (2007). Mecanica materialelor compozite. Ed. Universității Transilvania din Brașov, ISBN 978-973-635-951-4;
- C7 Chiriacescu, S. (1982). Vibrații în construcția de mașini. Reprografia Universității Transilvania din Brașov, România;
- C8 Chiriacescu, S. (2007). Sisteme mecanice liniare: o introducere. Ed. Academiei Române, București ISBN 978-973-27-1492-8;
- C9 Christensen, O. (1980) Simple Models for Low-Frequency Guitar Function. In J. Acoustical Society of America, 68 (3), 758-766;
- C11 Christensen, O. (1983). The Response of Played Guitars at Middle Frequencies. In Acustica, 53, 45-48;
- C12 Christensen, O. (1984). An Oscillator Model for Analysis of Guitar Sound Pressure Response. Acustica, 54, pp. 289 -295;
- C13 Ciofoaia, V., Curtu, I. (2000). Teoria elasticitatii corpurilor izotrope și anizotrope. Reprografia Universității Transilvania din Brașov, Romania;
- C14 Ciofoaia, V., Rusu, I., Curtu, I., Stanciu, M. D. (2007). Aspecte privind analiza încovoierii neliniare a plăcilor circulare prin metode teoretice si experimentale. In Proceeding-ul Celei de-a XXXI a Conferințe Naționale " Mecanica Solidelor" CNMS 2007, 27 - 29 septembrie 2007, Chișinău, Moldova, ISBN 978-9975-45-048-5, p. 74-77;
- C15 Cotta, N. (1983). Proiectarea și tehnologia fabricării produselor industriale din lemn. Editura Didactică și Pedagogică, București, România;
- C16 Crawford, F.,S. (1983). Cursul de fizica. Unde – Berkley, vol III, Editura Tehnică și Pedagogică București ;
- C17 Curtu I., (1999). Rezistența materialelor. Reprografia Universitatii Transilvnia din Brasov, Romania;
- C18 Curtu, I., Ghelmeziu, N. (1984): Mecanica lemnului și a materialelor pe bază de lemn. Ed. Tehnică, București, România;
- C19 Curtu, I., ș.a. (1981). Calculul de rezistență în industria lemnului, Ed. Tehnica Bucuresti;
- C20 Curtu, I., Stanciu, M. D., Baba M. (2007). Aspects Regarding to the Influence of the Anisotropy on the Statically Modeling of the Guitar. In Proceedings of the 2nd International Conference „Computational mechanics and virtual engineering COMEC 2007”, 11-13 oct. 2007, Brașov, Romania, ISBN 978-973-598-117-4, p. 87 pe CD;
- C21 Curtu, I., Stanciu, M. D., Ciofoaia, V. (2007). Some Aspects Concerning the Ligno – Cellulose Composite Materials. In Bulletin of Transilvania University of Brasov (CNCSIS B), supliment BRAMAT 2007, International Conference of Materials Science and Engineering, feb. 22 – 24, 2007, Brașov, Romania, ISSN 1223 9631, p. 58 (Book of Abstracts) și p. 264 - 270 pe CD;
- C22 Curtu, I., Stanciu, M. D., Baba, M. (2008). The Numerical Modeling of the Acoustic Plates on the Guitar Structures. In Annals of the University of Petrosani – Mechanical Engineering, vol. 10(XXXVII),(CNCSIS B), Ed. Universitas Petroșani Romania, 2008, ISSN 1454-9166, p. 41-46;
- C23 Curtu, I., Stanciu, M. D., Itu, C., Grimberg, R. (2008). Numerical Modelling of the Acoustic Plates as Constituents of Stringed Instruments. In Proceedings of the 6<sup>th</sup> International Conference of DAAAM Baltic Industrial Engineering, 24-26<sup>th</sup> April 2008, Tallinn, Estonia, ISBN 978-9985-59-783-5 (ISTP/ISI Proceeding of Thomson p. 53-58, 2008;
- C24 Curtu, I., Stanciu, M. D., Savin, A. (2008). The Propagation of Forced Vibrations in Coupled Plates of Guitars. in Proceedings of the 19th International DAAAM SYMPOSIUM "Intelligent Manufacturing & Automation: Focus on Next Generation of Intelligent Systems and Solutions" - (ISI Thomson Proceeding), 22-25 Octombrie 2008, Trnava, Slovacia, ISSN 1726-9679, ISBN 978-3-901509-68-1, pp. 345-346;
- C25 Curtu, I., Stanciu M. D., Grimberg, R. (2008). Correlations between the Plates' Vibrations from the Guitar's Structure and the Physical, Mechanical and Elastically Characteristics of the Composite Materials. Proceedings of the 9th WSEAS International Conference on Acoustics & Music: Theory & Applications (AMTA '08) (ISI Thomson Proceeding), Advanced Technology For Acoustics & Music, Bucharest, Romania, June 24-26, 2008, ISBN: 978-960-6766-74-9, ISSN 1790-5095;
- C26 Curtu, I., Stanciu, M. D., Baba, M. (2008). The Numerical Modeling of the Acoustic Plates on the Guitar Structures (Cislovne Modelirovanie akustuceskih plastin konstrukcie gitari) In Zbornik naukvihnapati HTY, HPI, Conf. Bîsoki tehnologii masino, Institutul Politehnic din Harkov, Ukraina, Nr. 1/2008, p. 294-298 ;
- C27 Curtu, I., Stanciu, M. D., Itu, C., Savin, A. (2008). Aspects Regarding to the Frequency Response of the Acoustic Plates with Finite Element Method. In Buletinul Institutului Politehnic din Iași, publicat de Univeritatea Tehnică "Gh. Asachi", Iași, Tomul LIV (LVIII), Fasc. 1, Sectia Construcții de Mașini, 2008,

(CNCSIS B) ISSN 1011-2855, p. 277-282. The papers published in this volume were presented at the 3<sup>rd</sup> International Conference Advanced Concepts in Mechanical Engineering ACME 2008 Iași, Romania June 5 - 6, 2008;

- C28 Curtu I, Stanciu, M. D., Cretu, N., Rosca, I. (2009). Modal Analysis of Different Types of Classical Guitar Bodies. In Proceedings of the 10<sup>th</sup> WSEAS International Conference on Acoustics & Music: Theory & Applications – AMTA09 (ISTP/ISI Proceeding of Thomson) 23-25 March 2009, Prague, Czech Republic, ISBN 978-960-474-061-1, ISSN1790-5095, pp. 30-34;
- C29 Curtu I, Stanciu, M. D., Roșca, C., Crețu, N. (2009). Experimental Research Regarding the Dynamical Behavior of Classical Guitar. In Proceedings of the 10<sup>th</sup> WSEAS International Conference on Acoustics & Music: Theory & Applications – AMTA09 (ISTP/ISI Proceeding of Thomson) 23-25 March 2009, Prague, Czech Republic, ISBN 978-960-474-061-1, ISSN 1790-5095, pp. 53-58;
- C30 Curtu I., Stanciu, M. D. (2009). Metode analitice și numerice în determinarea frecvențelor proprii ale plăcilor lignocelulozice, In Buletinul AGIR Creativitate, Inventica, Robotica 2009, Ed. AGIR, Anul XIV, nr. 1, ian-martie 2009, ISSN 1224-7928, p.10-14;
- C31 Curtu, I., Stanciu M. D., Roșca, I.C., Crețu, N. (2009). About Structural Modification of Guitar's Plates. In Proc. of The 7<sup>th</sup> Edition of International Conference „Wood Science and Engineering in the Third Millennium”, ICWSE 2009, 4-6 June 2009, ISSN 1843-2689, Brașov, pp. 645-653, IUFRO și UEA;
- C32 Curtu, I., Stanciu M. D., Itu, C., Savin, A., Roșu, D.(2009). Research Regarding Structural Optimization of Classical Guitar Body. In Proc. of The 7<sup>th</sup> Edition of International Conference „Wood Science and Engineering in the Third Millennium”, ICWSE 2009, 4-6 June 2009, Brașov, ISSN 1843-2689, pp. 654-662, IUFRO și UEA;

## D

- D1 Darabonț, Al., Iorga, I., Ciodaru, M. (1983). Măsurarea zgomotului și vibrațiilor în tehnică, Ed. Tehnică București;
- D2 Derveaux, G., Chaigne, A., Bechache, E., Becache, P. (2003). Time-Domain Simulation of A Guitar: Model and Method. In Acoustical Society of America, 114(6) pp. 3368-3383, 0001-4966/2003/114(6)/3368;
- D3 Dinwoodie, J. M. (1989). Wood Nature's Cellular, Polymeric Fibre-Composite. The Institute of Metals North American Publication Center USA, ISBN 0-901462-35-7;
- D4 Drăgan, B. (2003). Controlul vibrațiilor și al zgomotului, Ed. Gh. Asachi Iași, ISBN 973-621-057-X;

## E

- E1 Ezcurra, A., Elejabarrieta, M. J., Santamaría, C. (2006). Internal Fluid Influence on the Dynamic Behaviour of the Resonance Box of The Guitar. <http://www.sea-acustica.es/Sevilla02/mus06015.pdf> (data descărcării 2006);
- E2 Elejabarrieta, M. J., Ezcurra, A., Santamaría, C. (2007). Resonance Box of Guitar: Structure-Fluid Interaction. 19th International Congress on Acoustics Madrid, 2-7 septembrie 2007;

## F

- F1 Filipovici, J. (1965). Studiul Lemnului (I, II), Editura Didactică și Pedagogică, București;
- F2 Firth, I. M. (1977). Physics of the Guitar at the Helmholtz and First Top Plate Resonances. In J. Acoustical Society of America, 61 (2), p. 588-593;
- F3 Firth, I. M. (1978). The Action of the Cello at the Wolf Tone. In Acustica, 39, p. 252-263;
- F4 Fletcher, N. H., and Rossing, T. D. (1991). The Physics of Musical Instruments. Springer-Verlag publications, New York;
- F5 French M., Lewis K. (1995). Modal Analysis of an Acoustic Guitar [Originally published in: Proceedings of the 13th International Modal Analysis Conference, Nashville, Feb. 1995;
- F6 French, M., Hosler, H. (1997). Mechanical Modelling of Wood Microstructure, an Engineering Approach. In Testing of acoustic stringed musical instruments – Astley, R. J., Harrington, J.J., Stol, K. A., In IPENY Transactions, vol. 24, no. 1/EMCh;
- F7 French, M., Hosler, H. (2001). Testing of Acoustic Stringed Musical Instruments: Part 3. The Mechanics Of Guitar May/June 2001 Experimental Techniques;

## G

- G1 Geambașu, N. (1995). Cercetări privind gospodărirea arboretelor de molid cu lemn de rezonanță și claviatură. Ed. Tehnică Silvică, București;
- G2 Ghelmeziu, N. (1961). Îmbunătățirea calității instrumentelor muzicale. În Rev. Industria Lemnului, nr. 9;

- G3 Ghelmeziu, N., Beldie, I.P. (1970). Despre caracteristicile lemnului de rezonanță de molid. In Buletinul Institutului Politehnic din Braşov, Vol. XII, Seria B – Economie Forestieră, p. 315-326;
- G4 Goia, I., Vlase, S., Țierean, M., ș.a. (2007). Rezistența materialelor - capitole speciale probleme, Ed. Lux Libris, Braşov, ISBN 978-973-9458-92-4;
- G5 Gordis, J. H. (2008). Estimating the Stiffness of Ukulele and Guitar Necks. Naval Postgraduated School, Dept. Of Mechanical Engineering Code ME/Go Monterey, Ca;  
<http://www.ukuleles.com/Technology/neck.html>;
- G6 Gordon, W. (1991). Towards a Physical Model of the Guitar. PhD Thesis, University of Wales, Cardiff, Wales;
- G7 Gough, C. E. (1980). The Resonant Response of a Violin G-String and the Excitation of the Wolf-Note. In *Acustica*, 44, 113-123;
- G8 Gough, C. E. (1981). The Theory of String Resonances on Musical Instruments. In *Acustica*, 49, 124-141;
- G9 Gough, C. E. (1983). Acoustical Studies of Stringed Instruments Using String Resonances. In *Proc. Stockholm Music Acoustics Conference*, Pub. Royal Swedish Academy of Music, 46 (2), 19-45;
- G10 Gough, C. E. (1984). The Non-Linear Free Vibration of a Damped Elastic String. In *J. Acoustical Society of America*, 75 suppl., 1770-1776;
- G11 Grey, J. M. (1977). Multidimensional Perceptual Scaling of Musical Timbres. In *J. Acoustical Society of America*, 61 (5), 1270-1277;
- G12 Grimberg R., Savin A., Bârsănescu P., Stanciu M. D., Iftimie N. I. (2008). Use of Fiber Bragg Gratings for Monitoring Complex Structures from Carbon Epoxy Composite. In *Proceedings of 2nd International Conference Advanced Composite Materials Engineering and Advanced in Human Body Protection to Vibrations COMAT 2008*, vol. 1A, 09-11 Octombrie 2008, Braşov, Romania, ISSN 1844-9336, pp.51-54;
- G13 Grimberg, R., Curtu, I., Savin, A., Stanciu, M. D., Andreescu A., Leițoiu S., Brumă, A., Bârsănescu, P. (2009). Elastic Waves Propagation in Multilayered Anisotropic Composite – Application to Multilayered Lignocellulose Composite. In *Proc. of The 7<sup>th</sup> Edition of International Conference „Wood Science and Engineering in the Third Millennium”*, ICWSE 2009, 4-6 June 2009, Braşov, ISSN 1843-2689, pp. 688-695, IUFRO si UEA;

## H

- H1 Haines, D. (2000). The Essential Mechanical Properties of Wood Prepared for Musical Instruments In. *Catgut Acoustic Society Journal* , Vol 4(2):20-32;
- H2 J. Huber, J. (1991). The Development of the Modern Guitar. The Bold Strummer Ltd;
- H3 Hutchins, C. M. (1962). The Physics of Violins. In *Scientific American*, November 1962, 78-92;
- H4 Hutchins, C. M. (1981). The Acoustics of Violin Plates. In *Scientific American*, October 1981;

## I

- I1 Inta Ra. (2007). The Acoustics of the Steel String Guitar. PhD Thesis, The University of New South Wales, Australia, September;

## J

- J1 Jansson, E. V. (1971). A Study of Acoustical and Hologram Interferometric Measurements of the Top Plate Vibrations of a Guitar. In *Acustica*, 25, 95-100;
- J2 Jansson, E. V. (1973). Coupling of String Motions to Top Plate Motions in a Guitar. Preliminary report, Quart. Progr. and Status Rep. 1973/4, 19-38;
- J3 Jansson, E. V. (1977). Acoustical Properties of Complex Cavities. Prediction and Measurement of Resonance Properties of Violin-Shaped and Guitar-Shaped Cavities. In *Acustica*, 37 (4), 211-221;
- J4 Jansson, E. V. (2002). Acoustics for Violin and Guitar Makers - The Function, Tone and Tonal Quality of The Guitar - Fourth edition 2002 <http://www.speech.kth.se/music/acviguit4/part6.pdf>;

## K

- K1 Kaißer, Gregor, Richter, Jan (2007). Influences of Geometry and Material Constants on the Eigenfrequencies of a 3D FEM Body of Classical Guitar. În cadrul seminarului Modellierung musikalisch-akustischer Sachverhalte, Universitatea din Hamburg, 2007;
- K2 Kempton, Adam (2002). Modal Analysis of Guitar Bodies. <http://online.physics.uiuc.edu/courses/> ;

## L

- L1 Lai, J., Burgess, M. (1990). Radiation Efficiency of Acoustic Guitars. In J. Acoustical Society of America, 88, 1222-1227;  
 L2 Levitt, H. (1971). Transformed Up-Down Methods in Psychoacoustics. In J. Acoustical Society of America, 49 (2), 467-477;

## M

- M1 Marshall, K. (1985). Modal Analysis of a Violin. In J. Acoustical Society of America, 77 (2), 695-709;  
 M2 Marty, S. M. (1987). Assessments of Innovations in the Construction of the Classical Guitar. In J. Catgut Acoustical Society, 47, 26-33;  
 M3 McIntyre, M. E. and Woodhouse J. (1978). The Acoustics of Stringed Musical Instruments. Interdisciplinary Science Reviews, 3 (2), 157-173.  
 M4 Meyer, J. (1982). Fundamental Resonance Tuning of Guitar. Journal of Guitar Acoustics, 5, 19-44 (Translated from the original: Das Musikinstrument 23, 179-186, (1974);  
 M5 Meyer, J. (1983a). Quality Aspects of the Guitar Tone. Pub. Royal Swedish Academy of Music, 38, 51-75;  
 M6 Meyer, J. (1983b). The Function of the Guitar Body and its Dependence upon Constructional Details. Pub. Royal Swedish Academy of Music, 38, 77-100;  
 M7 Moral, J., Jansson, E. V. (1982). Eigenmodes, Input Admittance and the Function of the Violin. In Acustica, 50, 329-337;  
 M8 Munteanu, M. (1998). Metode numerice în dinamica structurilor mecanice - suport de curs și laborator, Reprografia Universității Transilvania din Brașov;

## P

- P1 Pierce, A. D. (1981). Acoustics: An Introduction to Its Physical Principles and Applications. McGraw-Hill, New York;

## R

- R1 Richardson, B. E. (1982). A Physical Investigation into Some Factors Affecting the Musical Performance of the Guitar. PhD Thesis, University College, Cardiff;  
 R2 Richardson, B. E., Roberts G. (1983). The Adjustment of Mode Frequencies in Guitars: A Study by Means of Holographic Interferometry and Finite Element Analysis. In Proc. Stockholm Music Acoustics Conference, Pub. Royal Swedish Academy of Music, 46 (2), 285-302;  
 R3 Richardson, B. E. (1984). Investigations of Mode Coupling in the Guitar. In Proc. Inst. Acoust. 6, 81-88;  
 R4 Richardson, B. E., Walker G. P. (1986). Mode Coupling in the Guitar. In Proc. 12<sup>th</sup> International Congress on Acoustics, K3-2;  
 R5 Richardson, B. E. (1990). Good Vibrations, Physics Education. Pub. IOP, 25 (1), 35-40;  
 R6 Richardson, B. E. (1994). The Guitar: Its Past, Present and Future. Acoustics bulletin, IOA.  
 R7 Richardson, B. E. (1995). The Art and Science of Guitar Construction. In Proc. International Symposium on Musical Acoustics;  
 R8 Richardson, B. E., Walker, G. P., Brooke M. (1990). Synthesis of Guitar Tones from Fundamental Parameters Relating To Construction. In Proc. Inst. Acoustics 12, 757- 764;  
 R9 Richardson, B. E., Brooke M. (1993). Modes of Vibration and Radiation Fields of Guitars. Proc. Inst. Acoustics, 15 (3);  
 R10 Roberts, G. W. (1986). Vibrations of Shells and Their Relevance to Musical Instruments. PhD Thesis, University College, Cardiff;  
 R11 Rossing, T. D. (1988). Sound Radiation from Guitars. American Lutherie (Quart. J. Guild of American Luthiers), 16 (Winter '88), 40-49;  
 R12 Rossing, Thomas D. (1990). The Science of Sound. Addison – Wesley;  
 R13 Rossing, T., Fletcher, N. (2004). Principle of Vibrational Sound – Second Edition. Springer Science, New York;  
 R14 Roșca, C. (2002). Vibrații mecanice. Ed. Infomarket Brașov, ISBN 973-8204-24-0;  
 R15 Russell, D. (1998). Modal Analysis of an Acoustic Folk Guitar. PhD., Applied Physics, Kettering University, <http://paws.kettering.edu/~drussell/guitars/hummingbird.html>;

## S

- S1 Sali, S., Kopac, J. (2002). Positioning of Braces on a Guitar Soundboard. V: WICKS, Alfred L. (ed.), SINGHAL, Raj (ed.). Proceedings of IMAC-XX: a Conference on Structural Dynamics, Los Angeles, California, February 4-7, 2002, (Proceedings of the International Modal Analysis Conference & Exhibit, 20). Bethel, Connecticut: SEM, 2002, vol. 1, pp. 709-715;

- S2 Sali, S., Kopac, Janez. (2000). Modelling of Frequency Response Function of a Guitar. V: Katalinic, Branko (ed.). Annals of DAAAM for 2000 & Proceedings of the 11th International DAAAM symposium "Intelligent Manufacturing & Automation: Man - Machine - Nature", University of Rijeka, 19-21st October 2000, Opatija, Croatia. Vienna: DAAAM International, 2000, pp. 415-416.
- S3 Sali, S., Kopac, J. (2000). Measuring a Frequency Response of a Guitar. V: Wicks, Alfred L. (ed.), Demichele, Dominick J. (ed.). Proceedings of IMAC-XVIII: A Conference on Structural Dynamics, San Antonio, Texas, February 7-10, 2000, (Proceedings of the International Modal Analysis Conference & Exhibit, 18). Bethel, Connecticut: SEM, 2000, vol. II, pp. 1375-1379;
- S4 Sali S., Kopac, J. (2001). Optimisation of Guitar Quality. 7th International Scientific Conference on Production Engineering, Lumbarda, KorCula, Croatia, June 14-15, 2001. CIM 2001: computer integrated manufacturing and high speed machining. Zagreb: Croatian Association of Production Engineering, 2001, pp. VI-129 - VI-137;
- S5 Sali, Samo, Kopac, Janez. (2002). Positioning of Braces on a Guitar Soundboard. In Proceedings of IMAC-XX: a Conference on Structural Dynamics, Los Angeles, California, February 4-7, 2002, (Proceedings of the International Modal Analysis Conference & Exhibit, 20). Bethel, Connecticut: SEM, 2002, vol. 1, pp. 709-715. [COBISS.SI-ID 4968731];
- S6 Shaheen, P. M. (2004). Sensitivity Analysis of the Natural Frequency and Modal Effective Weight of Mode (0,0) Of The Top And Back Plate Of An Acoustic Steel-String Guitar Using Fem. PhD Thesis, 2004;
- S7 Schelleng, J. C. (1963). The Violin as a Circuit. J. Acoustical Society of America, 35, 326-338;
- S8 Shigeru Yoshikawa. (2007). Acoustical Classification of Wood for String Instruments. The Journal of the Acoustical Society of America, Vol. 122, nr.1, pp: 574-580, July 2007;
- S9 Schleske, M. (1990). Speed of Sound and Damping of Spruce in Relation To the Direction of Grains and Rays. In J. Catgut Acoustical Society, 1 (6) Series II, 16-20;
- S10 Shlychkov. V. (2001). Investigation of the Dynamic Characteristics of the Sound Rating Elements of String Musical Instruments: Computation And Experiment. XI Session of the Russian Acoustical Society, Moscow;
- S11 Schwab, H. L., K. C. Chen. (1976). Finite Element Analysis of a Guitar Soundboard. In Catgut Acoustical Society Newsletter 25, 13-15;
- S12 Sloane, I.. (1976). Classic Guitar Construction. Omnibus Press, London;
- S13 Stanciu, M. D., Curtu, I. (2007). Muzica Lemnului. In: PROLIGNO (CNCSIS B+), vol. 3, Nr. 2-2007, pp. 61-68, ISSN 1841-4737;
- S14 Stanciu, M. D., Curtu, I. (2007). Aspects Concerning the Mechanical Structures on the Classical and Acoustic Guitars. In Proceedings of ICWSE (International Conference – Wood Science and Engineering in the Third Millenium), 20 – 22 June, 2007, 6<sup>th</sup> Edition, Transilvania University of Braşov, pp. 438 – 445, Editura Universităţii Transilvania din Braşov, ISSN 1843 – 2689;
- S15 Stanciu, M. D., Curtu, I. (2007). Corelaţii între caracteristicile elastice şi acustice ale lemnului de rezonanţă - In Proceeding-ul celei de-a XXXI Conferinţe Naţionale "Mecanica Solidelor" CNMS 2007, 27 - 29 septembrie 2007, Chişinău, Moldova, ISBN 978-9975-45-048-5, pp. 328-331;
- S16 Stanciu, M. D., Curtu, I. (2007). Reserches Concerning the Acoustic Properties of Tone Wood Used on Musical Instruments Structures. In Proceedings of 11<sup>th</sup> International Research/Expert Conference „Trends in the Development of Machinery and Associated Technology” TMT 2007 – Hammamet, Tunisia, 05 – 09 septembrie 2007. Conferinţă organizată de: University of Zenica (Bosnia Herţegovina); Universitat Politecnica de Catalunya (Spania) şi Bahcesehir Universitesi Istambul (Turcia), pp. 807 – 810., ISBN 978-9958-617-34-8;
- S17 Stanciu, M. D., Curtu, I. (2007). Some Aspects Regarding to the Materials Used on Musical Instruments. In Bulletin of Transilvania University of Braşov (CNCSIS B), supliment BRAMAT 2007, International Conference of Materials Science and Engineering, feb. 22 – 24, 2007, Braşov, Romania, ISSN 1223 9631, p. 92 (Book of Abstracts) şi pp. 433 - 438 pe CD;
- S18 Stanciu, M. D. Curtu, I., Itu, C., Grimberg, R. (2008). Analiza dinamica prin metoda elementelor finite a plăcilor acustice din componenţa chitarei. În PROLIGNO (CNCSIS B+), vol. 4, Nr. 1-2008 (martie), p. 41-54, ISSN 1841-4737, indexata BDI – EBSCO;
- S19 Stanciu, M. D., Curtu I. (2008). Dynamical Analysis of Ligno-Cellulose Plates with Numerical and Analytical Methods. In Proceedings of 7<sup>th</sup> Scientific/Research Symposium with International Participation: Metallic and nonmetallic materials MNM2008, Zenica 22-23 May 2008 (Bosnia Herţegovina), pp. 551-556 pe CD, ISBN: 978-9958-785-10-8, In Book of Abstract pp. 134;
- S20 Stanciu, M. D., Curtu, I., Itu C., Savin, A. (2008). Researches Concerning to the Free and Forced Vibrations of the Acoustic Ligno-Cellulose Plates. In Proceedings of the 12<sup>th</sup> International Research/Expert Conference "Trends in the Development of Machinery and Associated Technology TMT 2008" , 25-30 august 2008, ISBN 978-9958-617-41-6, pp. 957 -960;

- S21 Stanciu, M. D., Curtu, I., Itu C. (2008). Influence of Strengthening Bars of Guitar's Plates on the Normal Modes of Vibrations Using FEM. In Proceedings of the 19th International DAAAM SYMPOSIUM "Intelligent Manufacturing & Automation: Focus on Next Generation of Intelligent Systems and Solutions" (ISI Proceeding), 22-25 Octombrie 2008, Trnava, Slovakia, ISSN 1726-9679, ISBN 978-3-901509-68-1, pp. 1295-1296;
- S22 Stanciu, M. D., Crețu, N., Roșca, I., Curtu, I. (2008). Experimental Research Regarding the Underdamped Free Vibration of Lignocellulose Plates from Guitar's Body. In (CNCSIS B+), PROLIGNO vol. 4, Nr. 4-2008 (decembrie), pp. 65-77, ISSN 1841-4737, indexată BDI – EBSCO;
- S23 Stanciu, M. D., Curtu, I., Roșca, C., Crețu, N. (2008). Diagnosis of Dynamical Behaviour of Ligno-Cellulose Composite Plates in the Construction of the Classical Guitar. In Bulletin of the Transilvania University of Brașov, Vol. 1 (50) - 2008, Series I, ISSN- 2065-2119 (CNCSIS B+), pp. 55-60;
- S24 Stanciu, M. D., Curtu, I., Itu, C. (2009). Influența geometriei și a proprietăților fizico-mecanice și elastice ale materialelor lignocelulozice asupra frecvențelor proprii ale plăcilor de chitară utilizând FEM. In Buletinul AGIR Creativitate, Inventica, Robotica 2009, Ed. AGIR, Anul XIV, nr. 1, ianuarie-martie 2009, ISSN 1224-7928, pp. 15-18;
- S25 Stanciu M. D., Curtu, I. (2009). Fenomene statice și dinamice în analiza structurală a cutiilor de chitară, În Buletinul AGIR Creativitate, Inventica, Robotica 2009, Ed. AGIR, Anul XIV, nr. 1, ianuarie-martie 2009, ISSN 1224-7928, pp. 19-25;
- S26 Stanciu, M. D., Curtu, I. (2009). The Influences of Guitar Plates on The Vibrations of Guitar. In Proc. of 8th Youth Symposium on Experimental Solid Mechanics, 20-23 May 2009, Gyor Ungaria, ISBN 978-963-9058-26-2, pp. 24-25, pe CD ISBN 978-963-9058-27-2;
- S27 Stanciu, M. D., Curtu, I. (2009). Experimental Research Regarding the Acoustic Features of Wood Species Used on Classical Guitar Construction. In Proc. of 8th Youth Symposium on Experimental Solid Mechanics, 20-23 May 2009, Gyor Ungaria, ISBN 978-963-9058-26-2, pp. 64-65, pe CD ISBN 978-963-9058-27-2;
- S28 Stanciu M. D., Curtu, I., Roșca, I. C., Savin, A., Steigmann, R. (2009). The Influences of Boundary Conditions on the Dynamic Behaviour of Lignocellulose Composite Plates. In Buletinul Institutului Politehnic din Iași, Tomul LV (LIX) Fasc. 4, Secția Științe și Ingineria Materialelor, publicat de Univ. Tehnică „Gh Asachi” din Iași, ISSN 1453-1690, pp. 365-370;
- S29 Stanciu M. D., Curtu, I., Crețu, N., Grimberg, R. (2009). Researches Concerning the Dynamic Behaviour of Lignocellulose Plates with Different Stiffening Braces. In Buletinul Institutului Politehnic din Iași, Tomul LV (LIX) Fasc. 4, Secția Științe și Ingineria Materialelor, publicat de Univ. Tehnică „Gh Asachi” din Iași, ISSN 1453-1690, pp. 371-378;
- S30 Sumi T., Ono T. (2008). Classical Guitar Top Board Design by Finite Element Method Modal Analysis Based on Acoustic Measurements of Guitars of Different Quality. In Acoust. Sci. & Tech. 29, 6 (2008) [http://www.jstage.jst.go.jp/article/ast/29/6/381/\\_pdf](http://www.jstage.jst.go.jp/article/ast/29/6/381/_pdf);
- S31 Szava, I., Curtu, I., Ciofoaia, V. (2007). Vibrații mecanice. Ed. Universității Transilvania din Brașov, ISBN 978-973-598-119-8;

## T

- T1 Torres Torres, J., A., Boullosa, R. Ruiz. (2006). Obtención de modulos de elasticidad para simular tapa real de guitarra mediannte MEF. Originalmente publicado en el XXI Congreso de la Sociedad Mexicana de Instrumentación, Ensenada B. C. Mexico;
- T2 Torres Torres, J., A. (2006). Análisis modal de la tapa armónica de una guitarra clásica mediante la aplicación de ansys. Originalmente publicado en el XXI Congreso de la Sociedad Mexicana de Instrumentación, Ensenada B. C. Mexico;
- T3 Tsai, S. W., Wu, E. M. (1971). A General Theory of Strength for Anisotropic Materials. In Journal of Composite Materials, 5, pp. 58-80;

## U

- U 1 Urma, Dem. (1983). Acustică și muzică. Editura Enciclopedică, București;

## V

- V1 Vaida, P.V. (1958). Instrumente muzicale cu coarde și arcuș. Ed. Tehnică București;
- V2 Vernet, D. (2001). Influence of the Guitar Bracing Using Finite Element Method, Technical Report The University of New South Wales and Ecole Normale Supérieure, August;
- V3 Vladimirovici, S. (2004). Calculation Method for the Component Elements of Guitar. PhD Thesis. Technical State Institute of Marii, 2004;



## W

- W1 Wright, H. (1996). The Acoustics and Psychoacoustics of the Guitar. PhD Thesis. University of Wales, College of Cardiff;
- W2 Walker, G. P. (1991). Towards a Physical Model of the Guitar. PhD Thesis, University of Wales College of Cardiff;
- W3 Weinreich, G. (1983). Violin Radiativity: Concepts and Measurements. Proceedings of Stockholm Music Acoustics Conference, Pub. Royal Swedish Academy of Music, 46 (2), 99-109;
- W4 Weinreich, G. (1993). Radiativity revisited: Theory and Experiment Ten Years Later. In Proceedings of Stockholm Music Acoustics Conference, Pub. Royal Swedish Academy of Music, 79, 432-437;

## Altele

- \*\*\* Technical Documentation of S.C. Hora S.A. Reghin Romania;
- \*\*\* Curs master Diagnoza vibrațiilor mecanice –c onf. dr. ing. Ivan Gabriela;
- \*\*\* Curs master MEF – prof. dr. ing. Munteanu Mircea;
- \*\*\* Curs master Stabilitatea structurilor mecanice – prof. dr. ing. Chiriacescu Sergiu;
- \*\*\* Curs master Vibrații mecanice –șef. lucr. dr. ing. Munteanu Rodica;
- \*\*\* Curs master Reologie și fluaj – prof. dr. ing. Ioan Curtu, prof. dr. ing. Szava Ioan;
- \*\*\* <http://www.gliga.ro>;
- \*\*\* Documentație Tehnică – S.C. Hora S.A. Reghin Romania.
- \*\*\* [http://www.hora.ro/pages/cellos\\_ro.htm](http://www.hora.ro/pages/cellos_ro.htm);
- \*\*\* Microsoft Multimedia Catalogue – Musical Instruments;
- <http://www.madehow.com/Volume-1/Guitar.html>;
- [http://www.gropius.de/intro\\_en.html](http://www.gropius.de/intro_en.html);
- <http://www.redgateguitars.com/>;
- [www.classsicalguitars.ca](http://www.classsicalguitars.ca);
- <http://maliposamusic.com/OptiGuitarBridg.htm>;
- <http://www.newmillguitar.com/newlucas.html>;
- [http://www.athensmusician.net/archive/2001-05-01\\_geneimbody1.shtml](http://www.athensmusician.net/archive/2001-05-01_geneimbody1.shtml);
- [http://en.wikipedia.org/wiki/Truss\\_rod](http://en.wikipedia.org/wiki/Truss_rod);
- <http://www.frets.com>;
- <http://www.phys.unsw.edu.au/music/guitar/guitarchladni.html>;
- <http://www.woodanatomy.ch/species.php?code=PCAB>;
- <http://www.tonewood.ch/fromtreetosoundboard.html>;
- <http://sinierderidder.free.fr/gb/maingb.html>;
- STAS 9868/2-74 Instrumente muzicale cu coarde și arcuș. Metode de acordare a plăcilor de vioară;
- STAS 10825-76 Semifabricate pentru instrumente muzicale cu coarde ciupite;
- STAS 11363-85 Instrumente muzicale cu coarde ciupite. Condiții tehnice generale de calitate;

**Alte lucrări de aceeași autori**

1. Curtu I., Stanciu M. D., Coșereanu, C., Vasile O. (2012). Assessment of Acoustic Properties of Biodegradable Composite Materials with Textile Inserts. În *Rev. Materiale Plastice*, Vol. 49, nr. 1, Ianuarie 2012, ISSN 0025-5289, București, Romania, pp. 68 – 72;
2. Stanciu, M.D., Curtu, I., Coșereanu, C., Lica, D., Nastac, S. (2012). Research Regarding Acoustical Properties of Recycled Composites. În *Proceedings of the 8<sup>th</sup> International Conference of DAAAM Baltic Industrial Engineering*, 19 – 21 April, 2012, Tallinn, Estonia, ISBN 978-9949-23-265-9, pp. 741 – 746;
3. Terciu O.M., Curtu, I., Teodorescu Drăghicescu, H. (2012). Effect of Wood Particle Sizes on Tensile Strength in Case of Polymeric Composites. În *Proceedings of the 8<sup>th</sup> International Conference of DAAAM Baltic Industrial Engineering*, 19 – 21 April, 2012, Tallinn, Estonia, ISBN 978-9949-23-265-9, pp. 747 – 752;
4. Nastac, S., Anghelache, D., Stanciu, M. D., Curtu, I. (2012). On Acoustic Panels with High Performances for Pollutant Individual Working Place Insulation. În *Proceedings of the 8<sup>th</sup> International Conference of DAAAM Baltic Industrial Engineering*, 19 – 21 April, 2012, Tallinn, Estonia, ISBN 978-9949-23-265-9, pp. 69 – 73;
5. Itu, C., Curtu, I., Năstac S., Stanciu, M. D. (2011). Particular Issues on Dynamics of Flexible Structures. În *E-Proceedings of the International Conference Challenges of the Knowledge Society, CKS – CERDOCT Doctoral Schools*, București, 14-15 Aprilie 2011, ISSN 2247 – 0875, ISSN – L 2247 – 0875, pp. 663 – 668. <http://cerdoct.univnt.ro/>;
6. Stanciu, M. D., Curtu, I., Itu, C., Nastac, S., Savin, A. (2011). The Dynamic Behavior of Sound Barrier in Case of Accidental Impact with Stones from Road Traffic. În *E-Proceedings of the International Conference Challenges of the Knowledge Society, CKS – CERDOCT Doctoral Schools*, București, 14-15 Aprilie 2011, ISSN 2247 – 0875, ISSN – L 2247 – 0875, pp. 669– 673. <http://cerdoct.univnt.ro/>;
7. Dateș, N. R., Curtu, I., (2011). Îmbinări în lemn cu tije metalice (buloane) – comportament reologic. În *Buletinul AGIR*, ISSN 1224-7928, An XVI, nr. 1/2011, BDI: Index Copernicus International, [http://www.buletinulagir.agir.ro/numar\\_revista.php?id=57](http://www.buletinulagir.agir.ro/numar_revista.php?id=57;);
8. Dateș, N. R., Curtu, I., (2011). Rheological Behavior, in Natural Environment Conditions of Wood Joints of a Roof Structure. În *Buletinul AGIR*, ISSN 1224-7928, An XVI, nr. 1/2011, BDI: Index Copernicus International, [http://www.buletinulagir.agir.ro/numar\\_revista.php?id=57](http://www.buletinulagir.agir.ro/numar_revista.php?id=57;);
9. Stan, G., Curtu, I. (2011). Metode și procedee de măsurare a proprietăților panourilor stradale fonoabsorbante. În *Buletinul AGIR*, ISSN 1224-7928, An XVI, nr. 1/2011, BDI: Index Copernicus International, [http://www.buletinulagir.agir.ro/numar\\_revista.php?id=57](http://www.buletinulagir.agir.ro/numar_revista.php?id=57;);
10. Terciu, O. M., Curtu, I. (2011). Tendințe în utilizarea materialelor moderne la componentele auto interioare. În *Buletinul AGIR*, ISSN 1224-7928, An XVI, nr. 1/2011, BDI: Index Copernicus International, [http://www.buletinulagir.agir.ro/numar\\_revista.php?id=57](http://www.buletinulagir.agir.ro/numar_revista.php?id=57;);
11. Curtu, I., Stanciu, A. (2011). Determinarea caracteristicilor mecanice a epruvetelor realizate din materialcompozit de tip MAT&ROVING. În *Buletinul AGIR*, ISSN 1224-7928, An XVI, nr. 1/2011, BDI: Index Copernicus International, <http://www.buletinulagir.agir.ro/>;
12. Curtu I., Stanciu, M. D., Ciofoaia, V. (2011). The Modal Analysis of Plates Made of Woven Composite Materials. În *Buletinul AGIR*, ISSN 1224-7928, An XVI, nr. 1/2011, BDI: INDEX COPERNICUS INTERNATIONAL, [http://www.buletinulagir.agir.ro/numar\\_revista.php?id=57](http://www.buletinulagir.agir.ro/numar_revista.php?id=57;);
13. Stanciu M. D., Curtu I., Timar, I. (2011). Considerații teoretice și practice privind sursele sonore de zgomot produse de traficul urban. În *Buletinul AGIR*, ISSN 1224-7928, An XVI, nr. 1/2011, BDI: Index Copernicus International, [http://www.buletinulagir.agir.ro/numar\\_revista.php?id=57](http://www.buletinulagir.agir.ro/numar_revista.php?id=57;);
14. Cerbu, C., Curtu, I. (2011). Mechanical Characterization of the Glass Fibres/Rubber/Resin Composite Material. În revista *Materiale Plastice*, 1/2011, MPLAAM 48(1) 2011, ISSN 0025/5289, pp. 93-97;
15. Curtu, I., Stanciu, A., Stanciu, M. D., Savin, A., Grimberg, R. (2011). Research Regarding the Static Behavior of Layers from Structure of ROVING And MAT Composite. În *Buletinul Institutului Politehnic Iași, Proceedings of conference The Eighth International Congress In Materials Science And Engineering ISSIM 2011 26–29 May 2011 Iași–Romania*, ISSN 1453-1690, pp. 57-62, <http://www.congres.sim.tuiasi.ro/>;
16. Curtu, I., Stanciu, M. D., Floroiu, M., Coman, M. (2011). The Wooden Churches of Maramureș – Elements of Timber Civilization in Romania. În *Proceedings of 1<sup>o</sup> Congresso Ibero-Latino Americano da Madeira na Construção*, Coimbra, Portugalia 7 – 9 iunie 2011, ISBN 987-989-96461-2-4, pp. 67-69 (Book of Abstract) și pe CD lucrarea in extenso, <https://www.dec.uc.pt/cimad11/en/>;

17. Botiș, M., Curtu, I., Stanciu, M. D., Floroiu, M., Coman, M., Terciu, O. (2011). Researches regarding FEM analysis of stress and strain state from the structure of wooden churches. In Proceedings of 1<sup>o</sup> Congresso Ibero-Latino Americano da Madeira na Construção, Coimbra, Portugalia 7 – 9 iunie 2011, ISBN 987-989-96461-2-4, pp. 169 - 170 (Book of Abstract) și pe CD lucrarea in extenso, <https://www.dec.uc.pt/cimad11/en/>;
18. Coșoreanu, C., Cismaru, M., Porojan, M., Curtu, I., Cismaru, I., Lica, D. (2011). Research on the Physical and Mechanical Charactersitics of Some Laminated Wood – Textile Composites. In Proceedings of 1<sup>o</sup> Congresso Ibero-Latino Americano da Madeira na Construção, Coimbra, Portugalia 7 – 9 iunie 2011, ISBN 987-989-96461-2-4, pp. 233 - 234 (Book of Abstract) și pe CD lucrarea in extenso, <https://www.dec.uc.pt/cimad11/en/>;
19. Diaconu, C., Curtu, I., Coșoreanu, C., Moraru, Gh., Stanciu, M. D. (2011). Large Curved Surface Sustained by 3D Spherical Structure Formed by 90 Equal Wooden Bars. In Proceedings of 1<sup>o</sup> Congresso Ibero-Latino Americano da Madeira na Construção, Coimbra, Portugalia 7 – 9 iunie 2011, ISBN 987-989-96461-2-4, pp. 111 – 112 (Book of Abstract) și pe CD lucrarea in extenso, <https://www.dec.uc.pt/cimad11/en/>;
20. Terciu, O. M., Curtu, I., Cerbu, C., Stanciu, M.D. (2011). Structures of Composite Materials Reinforced with Natural Fibres Subjected to Mechanical Stresses. In Proceedings of The 4th International Conference on Structural Analisys of Advanced Materials – ICSAAM 2011, ISSN 2247-8337, Sinaia 7-11 septembrie 2011, pe CD, pp.339 – 346, <http://andu.3x.ro/old/index.html>;
21. Stanciu, M.D., Curtu, I., Itu C., Nastac, S., Timar, I. (2011). On Static and Dynamic Behavior of Noise Barriers Structures Using FEA. in Proceedings of 10<sup>th</sup> International Conference in Vibration Problems, ISBN 978-80-7372-759-8, pp.491-496, <http://www.icovp.org/index.asp>;
22. Curtu, I., Itu, C., Nastac, S., Stanciu, M.D. (2011). On Dynamic Characterization of Flexible Structures Due to Impulsive Actions. In Proceedings of 10<sup>th</sup> International Conference in Vibration Problems, Praga 05-08 septembrie 2011, ISBN 978-80-7372-759-8, pp. 255-261, <http://www.icovp.org/index.asp>;
23. Stanciu, M.D, Curtu, I., Cerbu, C., Timar I., Itu C. (2011). The Simulation OF Accidental Impact with Stones from Road Traffic in Case of Noise Barriers Made of Different Materials. In Proceedings of 15<sup>th</sup> International Research/Experts Conference “Trends in the Development of Machinery and Associated Technology –TMT 2011, Praga 12-18 septembrie 2011, ISSN 1840 – 4944, pp. 629-632. <http://www.tmt.unze.ba/program.php>;
24. Cerbu, C., Stanciu, M. D., Roșca, C., Curtu, I. (2011). Aspects Concerning to the Forced Vibration of the Rectangular Plate Made of Glass/Rubber Composite Materials. In Proceedings of 15<sup>th</sup> International Research/Experts Conference “Trends in the Development of Machinery and Associated Technology –TMT 2011, Praga 12-18 septembrie 2011, ISSN 1840 – 4944, pp. 625-628, <http://www.tmt.unze.ba/program.php>;
25. Stanciu, S. V., Curtu, I., Stanciu, M. D., Ștefan, D. (2010). Optimization of Coordinate Measuring Machine Using Steppers. In Proceedings of the 5th IASME – WSEAS International Conference on Continuum Mechanics (CM'10), WSEAS Mech. Eng. Series, WSEAS Press University of Cambridge U.K., 23-25 februarie 2010, pp. 141 – 146, ISSN 1790-5095, ISBN 978-960-474-158-8, (ISI - Thomson);
26. Fotin, A., Cismaru, I., Cismaru, M., Coșoreanu, C., Brenci, L. M., Curtu, I. (2010). The Tool Influence on the Quality of the Birch Wood Straight Milled Surfaces. In Proceedings of the 7<sup>th</sup> International Conference of DAAAM Baltic Industrial Engineering, 22-24 aprilie 2010, Tallin Estonia, ISBN 978-9985-59-982-2, p. 269-275, <http://innomet.ttu.ee/daaam/>;
27. Coșoreanu, C., Lica, D., Curtu, I., Lunguleasa, A., Cismaru, I., Brenci, L., Fotin, A. (2010). Mechanical Testing of Beech Veneer Sandwich Composite. In Proceedings of the 7<sup>th</sup> International Conference of DAAAM Baltic Industrial Engineering, 22-24 aprilie 2010, Tallin Estonia, ISBN 978-9985-59-982-2, p. 417-422, <http://innomet.ttu.ee/daaam/>;
28. Motoc Luca, D., Curtu, I. (2010). A Micromechanical Based Approach for Dynamical Properties Evaluation in Case of Polymeric Composite Materials. In Proceedings of the 7<sup>th</sup> International Conference of DAAAM Baltic Industrial Engineering, 22-24 aprilie 2010, Tallin Estonia, ISBN 978-9985-59-982-2, p. 423-428, <http://innomet.ttu.ee/daaam/>;
29. Cerbu, C., Curtu, I., Ciofoaia, V., Roșca, I. C., Hanganu, L. C. (2010). Effects of the Wood Species on the Mechanical Characteristics in Case of Some E-Glass Fibres/Wood Flour/Polyester Composite Materials. In Rev. Materiale Plastice, MPLAAM 47 (1) 2010, Vol. 47, nr. 1 – martie 2010, București Romania, ISSN 0025/5289 – ISI (CNCSIS A), pp.109-114, <http://www.revmaterialeplastice.ro/> (ISI - Thomson);
30. Stanciu, M. D., Curtu, I. (2010). Using Advanced Method to Determine the Acoustical Parameter of Lignocellulose Composite Materials. In Proceedings of the 12<sup>th</sup> International Conference AFASES 2010, organizată de Academia Forțelor Aeriene Henri Coandă din Brașov, 27-29 mai 2010, pe CD –

- ISBN 978-973-8415-76-8., [http://www.afahc.ro/sesiune/test\\_pag.html](http://www.afahc.ro/sesiune/test_pag.html);
31. Terciu, O., Dateş, R. N., Curtu, I. (2010). Aspecte teoretice şi experimentale privind testarea la încovoiere a îmbinărilor în lemn cu bulon utilizate în construcţii. În Buletinul AGIR – Creativitate, Inventica, Robotica, anul XV, nr. 1, ianuarie-martie 2010, ISSN 1224-7928, pp. 34-37;
  32. Dateş, R. N., Terciu, O., Curtu, I. (2010) Aspecte teoretice şi experimentale privind testarea la tracţiune a îmbinărilor în lemn cu bulon utilizate în construcţii. În Buletinul AGIR – Creativitate, Inventica, Robotica, anul XV, nr. 1, ianuarie-martie 2010, ISSN 1224-7928, pp. 42 – 45;
  33. Stan, G., Curtu, I. (2010). Design şi performanţe acustice ale barierelor stradale fonoabsorbante alcătuite din elemente vegetale şi roci. În Buletinul AGIR – Creativitate, Inventica, Robotica, anul XV, nr. 1, ianuarie-martie 2010, ISSN 1224-7928, pp. 38-41;
  34. Curtu, I., Stanciu, M.D. (2010). Correlation Between Experimental Method and FEM Regarding Normal Modes of Anisotropic Plates. În Acta Technica Napocensis, Seria Applied Mathematics and Mechanics 53, Vol. II, 2010, Universitatea Tehnica din Cluj – Napoca, ISSN 1221-5872, pp. 229-234, (CNCSIS B+);
  35. Coşereanu, C., Curtu, I., Lica, D. (2010). Research on Stresses and Deformations of the Lignin-Cellulose Based Panels. În Acta Technica Napocensis, Seria Applied Mathematics and Mechanics 53, Vol. II, 2010, Universitatea Tehnica din Cluj – Napoca, ISSN 1221-5872, pp. 235-238. (CNCSIS B+);
  36. Curtu, I., Stanciu, M. D., Motoc Luca, D. (2010). Diagnosis of Dynamic Behaviour of Ligno-Cellulose Composite Plates. În Proceedings of 14th European Conference on Composite Materials, Published by Budapest University of Technology and Economics, Department of Polymer Engineering, Budapest, ISBN 978-963-313-008-7, pp. 75, <http://eccm14.pt.bme.hu/>;
  37. Motoc Luca, D., Curtu, I., Soica, A., Semenescu, A. (2010). Multiphasic Polymeric Composite Materials Variation with Extreme Environmental Conditions. În Rev. Materiale Plastice, MPLAAM 47 (2) 2010, Vol. 47, nr.2–iunie 2010, Bucureşti Romania, ISSN 0025/5289 – ISI (CNCSIS A), pp.236-239;
  38. Motoc Luca, D., Curtu, I., Câmpăan, M. (2010). Environmental Effects on Multiphase Polymeric Composite Materials' Thermal Properties. In Proceedings of 14th European Conference on Composite Materials, Published by Budapest University of Technology and Economics, Department of Polymer Engineering, Budapest, ISBN 978-963-313-008-7, pp. 71;
  39. Cosereanu, C., Lazarescu, C., Curtu, I., Lica, D., Sova, D., Brenci, L., Stanciu, M. D., Research on New Structures to Replace Polystyrene Used for Thermal Insulation of Buildings. În Rev. Materiale Plastice, MPLAAM 47 (3) 2010, Vol. 47, nr. 3–septembrie 2010, Bucureşti Romania, ISSN 0025/5289 – ISI (CNCSIS A), pp.341-345;
  40. Stanciu, M. D., Curtu, I., Timar, I., Roşca, C. (2010). Research Regarding the Acoustical Properties of Composite Materials Used for Reduction of The Traffic Noise. În Proceedings of 1st EAA-EuroRegio 2010, Congress on Sound and Vibration, 15 – 18 September 2010, Ljubljana, Slovenia, ISBN 978-961-269-283-4, cod lucrare 193, website: <http://lab.fs.uni-lj.si/sda/euroregio>; Abstractul lucrării publicat in: The Journal of the European Acoustics Association (EAA) *Acta Acustica united with Acustica* – International Journal of Acoustica, Vol. 96, Supplement 1 – 2010 – pp. S1-S108, E21 466, ISSN 1610-1928, p. S49, cod 193;
  41. Cerbu, C., Itu, C., Curtu, I. (2010). The Problem of Using Composite Materials Reinforced with Fibres to Manufacture Some Components of Garden Chairs. În PROLIGNO, Vol. 6, no. 3, 2010 (septembrie), ISSN 1841-4737, Editura Universităţii Transilvania din Braşov, pp. 51 – 60;
  42. Curtu, I., Stanciu, M.D., Simaschievici, H. (2010). Using Experimental and Numerical Method for Determining Dynamic Behaviour of Anisotropic Plates. În Proceedings of International Scientific Conference: Mining and Metallurgical Industry: Achievements, Problems and Future Development-2010, Ukraina, Krivoy Rog, 25-28 May 2010, ISBN 978-966-7830-33-5, pp. 100-106;
  43. Stanciu, M. D., Curtu, I., Roşca, I. C. (2010). Application of Modal Analysis on the Behaviour Diagnosis of Lignocelluloses Plates. În Proceedings of 14th International Research/Experts Conference „Trends in the Development of Machinery and Associated Technology” TMT2010, 11-18 September 2010 – Mediterranean Cruise, ISSN 1840-4944, pp. 281-284 <http://www.tmt.unze.ba>;
  44. Stanciu, M. D., Curtu, I., Timar, I. (2010). Measurement of Resonance Frequency and Other Properties of Lightweight Structures Using Advanced Methods. În Proceedings of 14th International Research/Experts Conference „Trends in the Development of Machinery and Associated Technology” TMT2010, 11-18 September 2010 – Mediterranean Cruise, ISSN 1840-4944, pp. 465-468 <http://www.tmt.unze.ba/>;
  45. Stanciu, M. D., Timar, I., Curtu, I., Roşca, I. C. (2010). Evaluation of Acoustics Properties of Composite Materials with Potential Application in the Sound Barriers Structures. În Proceedings Vol. IV – Advanced Transport Systems and Road Traffic of the 11th International Congress on

- Automotive and Transport Engineering CONAT2010, ISSN 2069-0401, pp. 91 – 96. <http://www.conat.ro/conat2010>;
46. Stan, G., Terciu, O. M., Cerbu, C., Curtu, I. (2010). Sound Propagation in Composite Plates Used in the Construction of Soundproofing Panels. În Proceedings Vol IV – New Materials, Manufacturing Technologies and Logistics of the 11th International Congress on Automotive and Transport Engineering CONAT2010, ISSN 2069-0401, pp. 109-116. <http://www.conat.ro/conat2010>;
47. Terciu, O. M., Stan, G., Curtu, I., Cerbu, C. (2010). Lignocellulosic Composites for Automotive Industry În Proceedings Vol. IV – New Materials, Manufacturing Technologies and Logistics of the 11th International Congress on Automotive and Transport Engineering CONAT2010, ISSN 2069-0401, pp. 117-124;
48. Grimberg, R., Savin, A., Curtu, I., Stanciu, M.D., Bârsănescu, P., Silva F., Steigmann R. (2010). Water Adsorption Influence on CFRP Integrity. În Proceedings of the 3rd International Conference Advanced Composite Materials Engineering COMAT 2010, vol. 1, 27-29 October, 2010, Braşov, p. 111 – 115;
49. Grimberg, R., Curtu, I., Stanciu, M.D., Savin, A., Iftimie, N., Steigmann, R., Bârsănescu, P. (2010). Ultrasound Evaluation of Elastic Properties of CFRP. În Proceedings of the 3rd International Conference Advanced Composite Materials Engineering COMAT 2010, vol. 1, 27-29 October, 2010, Braşov, pp. 105 – 110;
50. Stan, G., Terciu, M., Cerbu, C., Curtu, I. (2010). Recyclable Materials Used in Construction of Street Barriers. În Proceedings of the 3rd International Conference Advanced Composite Materials Engineering COMAT 2010, vol. 1, 27-29 October, 2010, Braşov, pp. 235 – 240;
51. Stanciu A., Purcărea, R., Curtu, I., Cotoros, D. (2010). Analysis of Mechanical Properties of Roving and Mat-Roving Composites Subjected to Bending. În Proceedings of the 3rd International Conference Advanced Composite Materials Engineering COMAT 2010, vol. 1, 27-29 October, 2010, Braşov, pp. 288 – 292;
52. Curtu, I., Stanciu, M. D., Ciofoaia, V., Timar, I., Grimberg, R., Itu, C. (2010). Dynamical Behaviour of Woven Composite Materials Used to Attenuate the Noise Level. În Proceedings of the 16th International Conference The Knowledge Based Organization – Applied Technical Sciences and Advanced Military Technologies, 25-27 November 2010, Sibiu, ISSN 1843-6722, pp. 66 – 70;
53. Timar, J., Stanciu, M. D., Cofaru, C., Curtu, I., Florea, D., Covaciu, D. (2010). Advanced Method Used to Measure Noise Levels of Industrial Areas with Potential in Military Applications. În Proceedings of the 16th International Conference The Knowledge Based Organization – Applied Technical Sciences and Advanced Military Technologies, 25-27 November 2010, Sibiu, ISSN 1843-6722, pp. 525 – 530;
54. Curtu, I., Stanciu, M. D., Năstăsescu, V. (2010). Professional Line in Bologna Process. În Proceedings of the 12<sup>th</sup> International Conference AFASES 2010, organizată de Academia Forţelor Aeriene Henri Coandă din Braşov, 27-29 mai 2010, pe CD – ISBN 978-973-8415-76-8;
55. Curtu, I., Stanciu, M. D., Floroiu, M., Ispas, D. (2010). Results of Implementing Bologna Process in Curricula Design. În Proceedings of the 6th International Seminar on the Quality Management in Higher Education Vol. 1, 8-9 Iulie 2010, Tulcea, Romania, ISBN 978-973-662-566-4, ISBN Vol. 1 978-973-662-567-1, pp.103-106;
56. Curtu, I., Floroiu, M., Baias, F., Stanciu, M. D. (2010). Quality Assurance and Trans-National Education. În Proceedings of the 6th International Seminar on the Quality Management in Higher Education Vol. 1, 8-9 Iulie 2010, Tulcea, Romania, ISBN 978-973-662-566-4, ISBN Vol. 1 978-973-662-567-1, pp. 417-420;
57. Cerbu, C., Ciofoaia, V., Curtu, I., Vişan, A. (2009). The Effects on the Immersion Time on the Mechanical Behaviour in Case of The Composite Materials Reinforced with E-Glass Woven Fabrics. În Rev. Materiale Plastice, MPLAAM 46 (2) 2009, Vol. 46, nr. 2–iunie 2009, Bucureşti Romania, ISSN 0025/5289 – ISI (CNCSIS A), pp.201-205;
58. Cerbu, C., Curtu, I. (2009). Flexural Tests in Case of Some Composites Reinforced with Carpinus/Beech Woof Flour. În Annals of the University of Petroşani, Mechanical Engineering, Vol. 11 (XXXVIII), ISSN 1454-9166, Ed. Universitas Petroşani – Romania, 2009, pp. 29-36;
59. Curtu, I., Stanciu, M.D., Grimberg, R. (2009). Aspects Regarding Dynamic Behaviour of Lignocellulose Plates with Different Strutting Systems. În Annals of the University of Petroşani, Mechanical Engineering, Vol. 11 (XXXVIII), ISSN 1454-9166, Ed. Universitas Petroşani – Romania, 2009, pp. 43-52;
60. Grimberg, R., Bârsănescu, P., Curtu, I., Leişoiu, S., Savin, A. (2009). Correlation Between Structures and Phase Transition and Ultrasound Characteristics at Fiber Reinforced Plastics Composites. În Proceedings of the 10th International Conference of the Slovenian Society for Non-Destructive Testing - Application of Contemporary Non-Destructive Testing in Engineering - September 1-3, 2009, Ljubljana, Slovenia, ISBN 978-961-90610-7-7, pp.59-65;

61. Coșoreanu, V., Porojan, M., Lunguleasa, A., Lica, D., Curtu, I. (2009). The Influences of the Adhesive Type to the Textile Composite Mechanical Properties. În Proceedings of XIX Symposium – Adhesives in Woodworkink Industry, Zvolen, September 2-3, 2009, ISBN 978-80-228-2024-0, pp. 107;
62. Cerbu, C., Curtu, C. (2009). Advantages of the Admixture of the Oak Wood Flour for Matrix in E-Glass Composite Materials. În Proceedings of the 1st International Conference on Manufacturing Engineering Quality and Production System MEQAPS'09 (vol. II), published by WSEAS Press, ISBN 978-960-474-122-9 and ISSN 1790-2769, pp. 306-309;
63. Stanciu, M. D., Curtu, I., Lica, D., Crețu, N., Savin, A., Nastac, S. (2009). A Practical Evaluation Method of Dynamical Behaviour of Clssical Guitar Bodies. În Proceedings of the 13th International Research/Expert Conference Trends in the Development of Machinery and Associated Technology TMT2009, 16-21 October 2009, Hammamet, Tunisia, ISSN1840-4944, pp. 565-568;
64. Stanciu, M. D., Curtu, I., Coșoreanu, C., Itu, C., Rusu, S., Năstac, S. (2009). New Concept About Stiffness of Guitar Soundboard Based on Golden Section Numbers. În Proceedings of the 13th International Research/Expert Conference Trends in the Development of Machinery and Associated Technology TMT2009, 16-21 October 2009, Hammamet, Tunisia, ISSN1840-4944, pp. 569-572;
65. Cerbu, C., Ciofoaia, V., Curtu, I., Vlăduță, C. (2009). Impact Behaviour of the Composite Materials Randomly Reinforced with E-Glass Fibres. În Proceedings of the 13th International Research/Expert Conference Trends in the Development of Machinery and Associated Technology TMT2009, 16-21 October 2009, Hammamet, Tunisia, ISSN1840-4944, pp. 125-128;
66. Cerbu, C., Curtu, I. (2009). Particularities Concerning the Mechanical Behaviour in Wet Environment in Case of a Hybrid Composite Material with Wood Flour. În PROLIGNO, Vol. 5, Nr. 3/septembrie 2009, ISSN 1841-4737, CNCSIS B+, indexată în Academic Search Complete, pp. 37-46;
67. Coșoreanu, C., Curtu, I., Lunguleasa, A., Lica, D., Porojan, M., Brenci, L., Cismaru, I., Iacob, I. (2009). Influence of Synthetic and Natural Fibres on The Characteristics of Wood Textile Composite. În Rev. Materiale Plastice, MPLAAM 46 (3) 2009, Vol. 46, nr. 3 – septembrie 2009, București Romania, ISSN 0025/5289 – ISI (CNCSIS A), pp.305-309;
68. Stanciu, M. D., Curtu, I., Lica, D., Roșca, I. C., Grimberg, R. (2009). Aspects Regarding the Resonance Frequencies of Guitar Bodies with Different Strutting System. În Proceeding of 5th International Vilnius Conference EURO Mini Conference Knowledge Based Technologies and OR Methodologies for Strategic Decision of Sustainable Development (KORS-2009), Septeber 30 – October 3, 2009, Vilnius, Lithuania, ISBN 978-9955-28-182-6, pp. 415-422;
69. Curtu, I., Stanciu, M. D., Itu, C., Grimberg, R. (2009). Analiza cu metoda elementului finit (FEM) a structurilor mecanice din plăci lignocelulozice. În Lucrarile celei de a IV – a Conferințe a Academiei de Științe Tehnice din Romania vol. I, Iași, 19-20 noiembrie 2009, pp. 163-168, ISSN: 2066-6586;
70. Curtu, I., Savin, A., Stanciu, M. D., Roșca, C. I. (2009). Cercetări experimentale privind comportarea dinamica a structurilor din plăci lignocelulozice din perspectiva interdisciplinara. În Lucrările celei de a IV – a Conferințe a Academiei de Științe Tehnice din Romania vol. I, Iași, 19-20 noiembrie 2009, pp. 169-174, ISSN: 2066-6586;
71. Dateș, R. N., Terciu, O. M., Curtu, I. (2009). Theoretical and Experimental Research of Bolted Wood Joints. În Lucrarile celei de a IV – a Conferințe a Academiei de Științe Tehnice din Romania vol. I, Iasi, 19-20 noiembrie 2009, pp. 175-180, ISSN: 2066-6586;
72. Grimberg, R., Andreescu, A., Savin, A., Curtu, I., Brumă, A. (2009). Focusing of the Electromagnetic Field Using Metamaterials; Applications. În Lucrările celei de a IV – a Conferințe a Academiei de Științe Tehnice din Romania vol. I, Iași, 19-20 noiembrie 2009, pp. 181-186, ISSN: 2066-6586;
73. Stan, G., Curtu, I. (2009). Materiale reciclabile utilizate la construcția barierelor stradale. În Lucrările celei de a IV – a Conferințe a Academiei de Științe Tehnice din Romania vol. II, Iași, 19-20 noiembrie 2009, pp. 205-210, ISSN: 2066-6586;
74. Stan G., Curtu, I. (2009). Aspects of the Influence of Noise from the Highways on Animals in Urban Areas. În Lucrările celei de a IV – a Conferințe a Academiei de Științe Tehnice din Romania vol. II, Iași, 19-20 noiembrie 2009, pp. 210-216, ISSN 2066-6586;
75. Brenci, L. M., Cismaru, I., Coșoreanu, C., Curtu, I., Lica, D., Fotin, A. (2009). The Influences of the Profiled Milling Parameters to the Quality of the Surface. În Annals of DAAAM for 2009& Proceedings of the 20th International DAAAM Symposium "Intelligent Manufacturing & Automation: Focus on Theory, Practice and Education" 25-28th November 2009, Viena, Austria, - ISI Proceedings, ISSN 1726-9679, ISBN 978-3-901509-70-4, pp. 0413-0414;
76. Pascu, A., Oleksik, V., Curtu, I., Avrigean, E. (2009). Determination of Forces at the Bending of Perforated Plates with Slotted Holes Through Experimental And FEM. În Annals of DAAAM for 2009 & Proceedings of the 20th International DAAAM Symposium "Intelligent Manufacturing & Automation: Focus on Theory, Practice and Education" 25-28 th November 2009, Viena, Austria, -



- ISI Proceedings, ISSN 1726-9679, ISBN 978-3-901509-70-4, pp. 0799-0800;
77. Pascu, A., Oleksik, V., Curtu, I., Avrigean, E. (2009). Stress and Strain Field Distribution in Ankle Foot Orthosis (Afo) Using FEM. În Annals of DAAAM for 2009 & Proceedings of the 20th International DAAAM Symposium "Intelligent Manufacturing & Automation: Focus on Theory, Practice and Education" 25-28 th November 2009, Viena, Austria, - ISI Proceedings, ISSN 1726-9679, ISBN 978-3-901509-70-4, pp. 0801-0802;
  78. Nastac, S., Debeleac, C., Curtu, I., Stanciu, M. D., Leopa, A. (2009). On Dynamics Stochastic Evaluation of Embedded Systems Protection Against Vibration. În Annals of DAAAM for 2009& Proceedings of the 20th International DAAAM Symposium "Intelligent Manufacturing & Automation: Focus on Theory, Practice and Education" 25-28 th November 2009, Viena, Austria, - ISI Proceedings, ISSN 1726-9679, ISBN 978-3-901509-70-4, pp. 1619-1620;
  79. Dateş, R. N., Terciu, O., Baba, M., Stan, G., Curtu, I. (2009). Behaviour of Bolted Wood Joints to Traction Test. În Annals of DAAAM for 2009 & Proceedings of the 20th International DAAAM Symposium "Intelligent Manufacturing & Automation: Focus on Theory, Practice and Education" 25-28 th November 2009, Viena, Austria, - ISI Proceedings, ISSN 1726-9679, ISBN 978-3-901509-70-4, pp. 1785-1786;
  80. Curtu, I., Stanciu, M. D., Nastac, S., Savin, A. (2009). The Structural Analyses of Classical Guitar Body Through Experimental Methods. În Annals of DAAAM for 2009& Proceedings of the 20th International DAAAM Symposium "Intelligent Manufacturing & Automation: Focus on Theory, Practice and Education" 25-28 th November 2009, Viena, Austria, - ISI Proceedings, ISSN 1726-9679, ISBN 978-3-901509-70-4, pp. 1789-1790;
  81. Stanciu, M. D., Curtu, I., Moţoc Luca, D., Stanciu, V. S. (2009). Determination of the Acoustic Characteristics of Ligno-Cellulose Plates by Non-Invasion Method. În Annals of DAAAM for 2009 & Proceedings of the 20th International DAAAM Symposium "Intelligent Manufacturing & Automation: Focus on Theory, Practice and Education" 25-28th November 2009, Viena, Austria, - ISI Proceedings, ISSN 1726-9679, ISBN 978-3-901509-70-4, pp. 1799-1800;
  82. Luca Motoc, D., Curtu, I. (2009). Dynamic Mechanical Analyses of Multiphase Polymeric Composite Materials. În Rev. Materiale Plastice, MPLAAM 46 (4) 2009, Vol. 46, nr. 4-decembrie 2009, Bucureşti Romania, ISSN 0025/5289 – ISI (CNCSIS A), pp.462-466.

# Lista tabelelor

- Tabelul 2.1. Tipuri de chitare clasice produse la S.C. Hora S.A. Reghin, România
- Tabelul 3.1. Viteza medie de propagare a ultrasunetelor în diferite specii
- Tabelul 3.2. Valorile principalelor caracteristici acustice ale molidului de rezonanță
- Tabelul 3.3. Parametrii elastici ai placajului de molid utilizat în construcția chitarei clasice (preluat după Bucur, 2006)
- Tabelul 3.4. Parametrii elastici pentru diferite tipuri de placaje din componența instrumentelor muzicale (după Bucur 2006)
- Tabelul 3.5. Valorile frecvențelor proprii primelor 8 moduri de vibrații, obținute de French M., Lewis K., (1995)
- Tabelul 3.6. Rezultatele experimentale și teoretice obținute de Shaheen (2004)
- Tabelul 3.7. Valorile frecvenței și factorului de calitate obținute pentru cele trei tipuri de fluide (Ezecurra, 2004)
- Tabelul 3.8. Valorile frecvențelor proprii obținute prin modelare numerică de Vladimirovici (2006)
- Tabelul 5.1. Caracteristicile tronsoanelor din structura chitarei
- Tabelul 5.2. Valorile frecvențelor fundamentale ale plăcilor analizate cu FEM, cu grosimea  $h=2,5\text{mm}$  și densitatea  $\rho=450\text{ kg/m}^3$ , coeficientul lui Poisson  $\nu=0,36$
- Tabelul 5.3. Influența găurii acustice asupra frecvențelor proprii ale plăcilor de chitară, pentru:  $E=13000\text{ MPa}$ ,  $G=2300\text{ MPa}$ ,  $\nu=0,4$ ,  $\rho=500\text{ kg/m}^3$ ,  $h=2,5\text{ mm}$
- Tabelul 5.4. Valorile frecvențelor proprii și a armonicelor corpului de chitară cu plăci simple pentru diferite valori ale modulelor de elasticitate și densități
- Tabelul 5.5. Valorile frecvențelor proprii și a armonicelor corpului de chitară cu plăci cu 3 bare transversale pentru diferite valori ale modulelor de elasticitate și densități
- Tabelul 5.6. Valorile frecvențelor proprii și a armonicelor corpului de chitară cu plăci cu 3 bare radiale și 2 transversale pentru diferite valori ale modulelor de elasticitate și densități
- Tabelul 5.7. Valorile frecvențelor proprii și a armonicelor corpului de chitară cu plăci cu 5 bare radiale și 2 transversale pentru diferite valori ale modulelor de elasticitate și densități
- Tabelul 5.8. Modurile de vibrație obținute în cazul corpurilor de chitară studiate
- Tabelul 5.9. Comparatii între modurile proprii ale plăcilor ca structuri individuale și a celor din componența cutiei acustice a chitarei
- Tabelul 5.10. Valorile comparative ale frecvențelor proprii și a armonicelor pentru diferite materiale ale barelor de rezonanță cazul corpului de chitară cu 5 bare radiale și 2 transversale
- Tabelul 5.11. Harta distribuției liniilor nodale în cazul corpului de chitară cu sistemul de rigidizare format din 5 bare radiale și 2 transversale, din materiale cu proprietăți diferite
- Tabelul 5.12. Valorile frecvențelor proprii obținute în modelarea celor 3 tipuri de chitare analizate
- Tabelul 5.13. Analiza modală a chitarei clasice cu plăci simple - cazul 1
- Tabelul 5.14. Comparatie între rezultatele referitoare la modurile proprii de vibrații ale plăcilor obținute de diferiți autori (Bécache 2005, Wright 1996, Vladimirovici 2004, Stanciu 2008)
- Tabelul 5.15. Comparatie între formele modale ale corpurilor de chitară obținute de diferiți autori
- Tabelul 5.16. Rezultate comparative între valorile frecvențelor pentru primele 5 moduri proprii, obținute de diferiți autori (Bécache ș.a. 2005, Stanciu 2008 [S18])
- Tabelul 5.17. Rezultate comparative între valorile frecvențelor obținute de Vladimirovici 2004 și Stanciu 2008
- Tabelul 5.18. Centralizarea comparativă a frecvențelor proprii obținute de diferiți cercetători prin investigații analitice, numerice și experimentale
- Tabelul 6.1. Caracteristicile fizice ale plăcilor testate
- Tabelul 6.2. Valorile mărimilor de intrare în sistem
- Tabelul 6.3. Tipuri de plăci studiate
- Tabelul 6.4. Tipuri de structuri din plăci – corpuri de chitară
- Tabelul 6.5. Valorile măsurate ale forței de excitație în funcție de frecvență și tipul de structură
- Tabelul 6.6. Valorile centralizate ale frecvențelor de rezonanță obținute pe structurile clasice
- Tabelul 6.7. Comparatii între figurile Chladni obținute prin metode de excitare diferite, la frecvența de 196Hz

Tabelul 6.8. Formele vibratorii la frecvențe de excitație iterate cu 10 - 15 Hz

Tabelul 6.9. Comparații între formele vibratorii obținute cu FEM și EXP, la aceleași frecvențe proprii

Tabelul 6.10. Comparații între figurile Chladni ale plăcilor dreptunghiulare plane și cele ale plăcilor de chitară

Tabelul 6.11. Influența condițiilor de contur asupra formelor vibratorii ale plăcilor

Tabelul 6.12. Comparații între modurile vibratorii ale plăcilor individuale și cele integrate în corpul de chitară

Tabelul 6.13. Comparații între formele modale obținute cu FEM și cele experimentale în cazul plăcilor de molid

Tabelul 6.14. Formele vibratorii ale structurilor din plăci cu grade diferite de complexitate

Tabelul 6.15. Modurile de vibrație ale plăcilor cu diferite sisteme de bare

Tabelul 6.16. Influența sistemelor de bare asupra modurilor de vibrație ale corpurilor de chitară

Tabelul 6.17. Modurile proprii ale plăcilor (fața și spatele) din structura cutiei de rezonanță

Tabelul 6.18. Comparații între modurile de vibrație obținute de Richardson (1986) și cele din cadrul cercetărilor efectuate de autori

Tabelul 6.19. Valorile frecvențelor de rezonanță înregistrate pentru structurile optimizate ca formă și material

Tabelul 6.20. Modurile de vibrație ale structurilor optimizate



### **Dr. ing. Mariana Domnica STANCIU**

Este absolventă a Facultății de Ingineria Lemnului, Universitatea Transilvania din Brașov, în 2008 a obținut titlul de master inginer în Dinamica Structurilor Mecanice și titlul de doctor în Inginerie Mecanică în anul 2009. În timpul facultății a participat la concursul profesional de Rezistența Materialelor "C. C. Teodorescu" obținând premiul I pe țară, cu punctaj maxim. A participat la numeroase simpozioane și conferințe naționale și internaționale, a publicat încă din timpul facultății și apoi și pe durata doctoratului o serie de lucrări și articole (peste 100). Este membră în echipele de cercetare ale unor contracte științifice și a coordonat ca director de proiect un contract științific de tip TD. În prezent este cercetător în cadrul programului postdoctoral al Universității Transilvania din Brașov.

### **Prof. univ. dr. ing. dr. h. c. Ioan CURTU**

Este profesor universitar la Universitatea Transilvania din Brașov, conducător științific de doctorat din 1988 în domeniul Rezistenței Materialelor, Elasticității și Plasticității, peste 23 teze de doctorat finalizate, Doctor Honoris Causa al Academiei Tehnice Militare București (2008), al Universității „Dunărea de Jos” din Galați (2011) și al Universității Tehnice Gh. Asachi din Iași (2011). A obținut premiul *Traian Săvulescu* al Academiei Române (1990). A efectuat studii și cercetări în domeniul rezistenței, elasticității, reologiei și testării lemnului și compozitelor lignocelulozice, materializate în peste 550 articole și lucrări științifice publicate la conferințe internaționale, în baze de date și simpozioane naționale. A publicat la edituri centrale peste 24 de cărți, iar pe plan local, 17 manuale universitare. A coordonat programe TEMPUS, cu Banca Mondială, fiind director la peste 20 proiecte de cercetare științifică. A efectuat stagii de informare și specializare în străinătate, a fost bursier DAAD. Este Președintele Agenției Române de Asigurare a Calității în Învățământul Superior (ARACIS) din 2006 și *Membru Titular al Academiei de Științe Tehnice din România*, secția: *Mecanică Tehnică*, precum și *Membru al Academiei de Științele Naturii din Federația Rusă*.

*“...au reușit să sesizeze elementele teoretice și cele practice ce caracterizează chitara clasică și să evidențieze factorii care influențează comportarea dinamică a structurilor studiate, în vederea optimizării plăcilor din compozite lignocelulozice. O mențiune specială se cuvine modului de tratare teoretică a problemelor analizate, folosind noțiuni din matematicile superioare moderne, dar și competenței cu care au fost executate un număr impresionant de experimente.”*

**Acad. prof. dr. docent, Radu P. VOINEA (2009)**

*“...studiul realizat vine să completeze cercetările și realizările efectuate în domeniile producerii vibrațiilor și propagării acustice (cercetările fiind la nivel mediu până în prezent), sprijinind astfel îmbunătățirea acusticii chitarelor executate de S.C. Hora S. A. Reghin.”*

**Director tehnic ing. Dorin MAN**

*“...referirile generate de amploarea și noutatea cercetărilor efectuate în România vizează aspecte distincte ale problematicilor tehnice analizate, în contextul modalităților de valorizare a calităților expresive de care dispune chitara clasică, integrând-o definitoriu în ansamblul estetic al nevoii de frumos ce caracterizează pe deplin universul complex al ființei umane. Bine structurată și cu o informație densă, lucrarea se constituie într-o modalitate de lucru utilă deopotrivă cercetătorului cât și interpretului.”*

**Prof. univ. dr. Stela DRĂGULIN**